

# การจำลองเชิงตัวเลขและการวิเคราะห์การไฟลในถังตกผลึกเพื่อผลิตน้ำตาล

นางสาวจารุวรรณ ตั้งต้นสกุลวงศ์

วิทยานิพนธ์นี้เป็นส่วนหนึ่งของการศึกษาตามหลักสูตรปริญญาวิศวกรรมศาสตรมหาบัณฑิต  
สาขาวิศวกรรมเครื่องกล  
มหาวิทยาลัยเทคโนโลยีสุรนารี  
ปีการศึกษา 2546  
ISBN 974-533-271-2

# **NUMERICAL SIMULATION AND ANALYSIS OF FLOW IN CRYSTALLIZER FOR SUGAR PRODUCTION**

**Miss Jaruwan Tangtonsakulwong**

**A Thesis Submitted in Partial Fulfillment of the Requirements for the Degree of  
Master in Mechanical Engineering  
Suranaree University of Technology  
Academic Year 2003  
ISBN 974-533-271-2**

# การจำลองเชิงตัวเลขและการวิเคราะห์การไหลในถังตกผลึกเพื่อผลิตน้ำตาล

## NUMERICAL SIMULATION AND ANALYSIS OF FLOW IN CRYSTALLIZER FOR SUGAR PRODUCTION

มหาวิทยาลัยเทคโนโลยีสุรนารี อนุมัติให้นับวิทยานิพนธ์ฉบับนี้เป็นส่วนหนึ่งของการศึกษา  
ตามหลักสูตรปริญญามหาบัณฑิต

คณะกรรมการสอบวิทยานิพนธ์

(รองศาสตราจารย์ ร.อ. ดร.กนต์ธร ชานิประศาสน์)  
ประธานกรรมการ

(รองศาสตราจารย์ ดร.ทวิช จิตรสมบูรณ์)  
กรรมการ (อาจารย์ที่ปรึกษาวิทยานิพนธ์)

(ผู้ช่วยศาสตราจารย์ ดร.เอกชัย จันทสาโร)  
กรรมการ

(อาจารย์ ดร.จิระพล ศรีเสรีสุพล)  
กรรมการ

(รองศาสตราจารย์ ดร.ทวิช จิตรสมบูรณ์)  
รองอธิการบดีฝ่ายวิชาการ

(รองศาสตราจารย์ น.อ.ดร.วรพจน์ บำบัด)  
คณบดีสำนักวิชาวิศวกรรมศาสตร์

จากรูรรน ตั้งดันสกุลวงศ์ : การจำลองเชิงตัวเลขและการวิเคราะห์การไหลในถังตกผลึกเพื่อผลิตน้ำตาล (NUMERICAL SIMULATION AND ANALYSIS OF FLOW IN CRYSTALLIZER FOR SUGAR PRODUCTION) อาจารย์ที่ปรึกษาวิทยานิพนธ์ : รองศาสตราจารย์ ดร.ทวิช จิตรสมบูรณ์ อาจารย์ที่ปรึกษาวิทยานิพนธ์ร่วม : ผู้ช่วยศาสตราจารย์ ดร.เอเดรียน ฟลัค, 154 หน้า ISBN 974-533-271-2

ลักษณะการไหลในถังตกผลึกเป็นปัจจัยสำคัญในกระบวนการผลิตผลึก เช่น มีผลกระทบโดยตรงต่อความสม่ำเสมอของขนาดผลึกที่ได้ งานวิจัยนี้มีจุดประสงค์เพื่อจำลองเชิงตัวเลขและการวิเคราะห์การไหลในถังตกผลึกจำลองของน้ำตาลประเภทต่อเนื่อง โดยการทำความเข้าใจถังตกผลึกนี้ มีลักษณะเป็นทรงกระบอกก้นมน ภายในมีใบพัดเพื่อปั่นให้ของไหลในถังหลงค้านล่าง ซึ่งในการจำลองนี้ใบพัดจะถูกแทนที่ด้วยแหล่งกำเนิดโมเมนตัม โดยการใช้โปรแกรมสำเร็จรูปเชิงพาณิชย์ “CFX5.5.1” เป็นโปรแกรมหลักในการจำลองการไหลในสามมิติ โปรแกรมนี้ใช้กรรมวิธีปริมาตรจำกัดและกริด ไร้โครงสร้าง (Unstructured grid) เป็นพื้นฐานในการทำงาน ทั้งนี้ได้กำหนดการไหลให้เป็นการไหลแบบเฟสเดียว ซึ่งใช้สารละลายน้ำตาลซึ่งเป็นของไหลหลักในการศึกษา และไม่พิจารณาถึงผลกระทบจากอุณหภูมิ ผลการจำลองแสดงให้เห็นว่าการไหลภายในถังตกผลึกไม่เป็นเอกรูป และการเปลี่ยนโมเมนตัมในแนวแกนทำให้ความเร็วในแนวแกนมีค่าเพิ่มขึ้น แต่ไม่ทำให้รูปแบบการไหลทั่วไปภายในถังผลึกเปลี่ยนไปมากนัก นอกจากบริเวณปากทางเข้าของห้องห่ออด ออก ซึ่งรูปแบบการไหลขึ้นอยู่กับขนาดของโมเมนตัมที่ให้จากแหล่งกำเนิด ตลอดจนการคุณภาพของการจากถังแบบ Isokinetic ก็ขึ้นอยู่กับค่าโมเมนตัมที่ให้เช่นกัน โดยที่ค่าโมเมนตัมเท่ากับ  $18000 \text{ kg/m}^2/\text{s}^2$  ทำให้การไหลบริเวณปากห้องห่อใกล้เคียงการคุณภาพแบบ Isokinetic มากที่สุด ซึ่งเป็นผลดีต่อการตกผลึกทำให้ขนาดของผลึกที่ได้มีการกระจายแบบเอกซ์โพเนนเชียลอันเป็นรูปแบบการกระจายที่จะทำให้ได้ผลึกมีคุณภาพดีที่สุด อย่างไรก็ตามสังเกตได้ว่าที่ตำแหน่งจุดกึ่งกลางของก้นถังมีความเร็วต่ำกว่าบริเวณรอบข้างในทุกค่าของโมเมนตัมที่ให้จากแหล่งกำเนิด ซึ่งให้เห็นว่าจะเป็นอุปสรรคต่อการลดลงของผลึกในบริเวณดังกล่าวซึ่งอาจนำไปสู่การตกกองของผลึกน้ำตาล และจับกันเป็นก้อนแข็งอยู่ที่ก้นถังอันจะทำให้การควบคุมคุณภาพผลึกทำได้ยากขึ้น

สาขาวิชา วิศวกรรมเครื่องกล  
ปีการศึกษา 2546

ลายมือชื่อนักศึกษา \_\_\_\_\_  
ลายมือชื่ออาจารย์ที่ปรึกษา \_\_\_\_\_  
ลายมือชื่ออาจารย์ที่ปรึกษาร่วม \_\_\_\_\_

JARUWAN TANGTONSAKULWONG: NUMERICAL SIMULATION AND ANALYSIS OF FLOW IN CRYSTALLIZER FOR SUGAR PRODUCTION. THESIS ADVISOR: ASSOC. PROF. TAWIT CHITSOMBOON, Ph.D. CO -THESIS ADVISOR: ASST. PROF. ADRIAN FLOOD, Ph.D. 154 PP. ISBN 974-533-271-2

## CRYSTALLIZER/CFD/ISOKINETIC WITHDRAWAL/SUGAR/MIXING

The characteristics of a flow field in a crystallizer are key factors for a crystallization process. For example, this directly influence the crystal size distribution. The aim of this research is to numerically simulate the fluid flow in a small-scale (experimental) cylindrical round bottomed, continuous cooling crystallizer for sugar. Inside the tank, an impeller to force the downward flow in the draft tube is also included. For simplification and reducing the execution time consumed by the simulation software, the impeller is adequately modeled by using a momentum source. The commercial software “CFX 5.5.1” was employed to perform the 3D simulation with the finite volume method using an unstructured mesh. One phase flow, non conducting fluid is determined, since heat transfer is not significant in the isothermal crystallizer study. Sucrose solution is assumed as the test fluid is examined. The simulation results show that the flow pattern in the crystallizer is non-uniform. The axial momentum strongly increases the axial flow velocity but only slightly influences the flow pattern, except the flow near the outlet tube that depends on the momentum applied. Also, the isokinetic withdrawal depends on the momentum applied. The momentum source of  $18000 \text{ kg/m}^2/\text{s}^2$  gives the most similar flow to the isokinetic withdrawal. This leads to the exponential crystal-sized distribution, which is the optimum distribution. Furthermore, the velocity at the center of the tank’s bottom is lower than that of the surrounding region. As a result, sugar crystals may settle and cause the collection of the settled crystals at the bottom. This leads to difficulty in quality control for the obtained product.

School of Mechanical Engineering  
Academic Year 2546

Student's Signature \_\_\_\_\_  
Advisor's Signature \_\_\_\_\_  
Co-advisor's Signature \_\_\_\_\_

## กิตติกรรมประกาศ

วิทยานิพนธ์นี้จะสำเร็จลุล่วงไม่ได้หากไม่ได้รับความกรุณาอย่างยิ่งจากท่าน รองศาสตราจารย์ ดร.ทวิช จิตรสมบูรณ์ อาจารย์ที่ปรึกษาวิทยานิพนธ์ และ ผู้ช่วยศาสตราจารย์.ดร.เอเดรียน ฟลัค อาจารย์ที่ปรึกษาวิทยานิพนธ์ร่วม ผู้ทำวิจัยขอกราบขอบพระคุณท่านอาจารย์ทั้งสองที่ได้ให้โอกาส ให้ความช่วยเหลือสนับสนุนตลอดจนชี้แนะแนวทางในการศึกษาและการทำวิจัย ทำให้ผู้ทำวิจัยมี กำลังใจและกำลังทรัพย์ที่จะสามารถผ่านอุปสรรคต่างๆ ไปได้ด้วยดี ขอกราบขอบพระคุณท่าน รองศาสตราจารย์ ร.อ. ดร.กนต์ธร ชานินประสาสน์ ที่ได้ให้โอกาสในการทำงานหลาย ๆ ด้านทำให้ ผู้ทำวิจัยได้รับประสบการณ์อันเป็นประโยชน์ยิ่งที่จะหาจากห้องเรียนไม่ได้ ตลอดจนคำแนะนำอัน เป็นประโยชน์ทั้งในด้านการเรียนและการดำเนินชีวิต กราบขอบพระคุณท่านอาจารย์ รอง ศาสตราจารย์ น.อ.ดร. วรพจน์ บำเพ็ญ ผู้ช่วยศาสตราจารย์ ดร.เอกชัย จันทสาโร และคณะอาจารย์ใน สาขาวิชาชีวกรรมเครื่องกลทุกท่านที่ได้ประสิทธิ์ประสาทความรู้ แนะนำแนวทางที่ถูกที่ควรด้วย ความเมตตาเสมอมา นอกจากนี้ขอขอบคุณกลุ่มนักศึกษาที่ได้ให้ความช่วยเหลือทั้งแรงกาย และแรงใจและกำลังทรัพย์ด้วยความซาบซึ้ง

- คุณอาจารย์พรรดา ศรีอัครวิทยา และคุณทักษนิย์ ทิพย์สาร เจ้าหน้าที่และธุรการประจำ สำนักวิชาชีวกรรมศาสตร์
- คุณครรฑา โพธิ์สว่าง วิศวกรประจำศูนย์เครื่องมือวิทยาศาสตร์และเทคโนโลยี 5 และ พนักงานทุกท่าน
- คุณวสันต์ จันทร์หยาด คุณพรสรารค์ ทองใบและ คุณโศรภูษา แข็งการ นักศึกษา บัณฑิตศึกษา สาขาวิชาชีวกรรมเครื่องกล มหาวิทยาลัยเทคโนโลยีสุรนารี
- สถาบันวิจัยและพัฒนา มหาวิทยาลัยเทคโนโลยีสุรนารี ที่ให้ทุนสนับสนุนการทำวิจัย ท้ายนี้ขอกราบขอบพระคุณคุณแม่กิมเง็ก คุณพ่อชัยยงค์ และพี่น้องๆ ตั้งต้นสกุลวงศ์ ที่ได้เลี้ยง ดู อบรมสั่งสอน และส่งเสริมการศึกษาเป็นอย่างดี สมาชิกในครอบครัวทุก ๆ คน รวมถึงพี่นัดชัย กุลวรรณนิชพงษ์ ที่ให้กำลังใจอย่างอบอุ่น ให้การช่วยเหลืออย่างดียิ่งตลอดจนให้คำแนะนำอันเป็น ประโยชน์ด้วยดีเสมอมา

จารวรรณ ตั้งต้นสกุลวงศ์

## สารบัญ

หน้า

บทคัดย่อ (ภาษาไทย) .....	ก
บทคัดย่อ (ภาษาอังกฤษ) .....	ข
กิตติกรรมประกาศ .....	ค
สารบัญ .....	ง
สารบัญรูป .....	ช
สารบัญตาราง .....	จ
คำอธิบายสัญลักษณ์และคำย่อ .....	ท
<b>บทที่</b>	
<b>1 บทนำ .....</b>	<b>1</b>
1.1 ความเป็นมาและความสำคัญของปัจุหा .....	1
1.2 วัตถุประสงค์การวิจัย .....	2
1.3 ขอบเขตของการวิจัย .....	2
1.4 ประโยชน์ที่คาดว่าจะได้รับจากการทำวิจัย .....	3
1.5 โครงสร้างและการจัดรูปเล่มวิทยานิพนธ์ .....	3
<b>2 ปรัชณ์วรรณกรรมและงานวิจัยที่เกี่ยวข้อง .....</b>	<b>5</b>
2.1 กล่าวนำ.....	5
2.2 นำatalazukrosและความสามารถในการละลาย .....	6
2.3 การตกผลึกและการกระบวนการตกผลึก .....	8
2.3.1 Cooling Crystallization .....	9
2.3.2 Evaporative Crystallization .....	11
2.3.3 Vacuum Crystallization.....	12
2.3.4 Drowning-out Crystallization.....	13
2.3.5 Pressure Crystallization.....	13
2.3.6 Reaction Crystallization .....	14

## สารบัญ (ต่อ)

หน้า

2.4 อุปกรณ์สำหรับกระบวนการตัดผลลัพธ์และการเลือกใช้ .....	14
2.5 กระบวนการดูดออกแบบไอโซไคเนติก (Isokinetic Withdrawal) .....	21
2.6 งานวิจัยที่เกี่ยวข้องกับการให้ผลในดังตัดผลลัพธ์และถังกวน .....	24
2.7 สรุป .....	33
<b>3 การดำเนินการวิจัย .....</b>	<b>35</b>
3.1 การทดสอบโปรแกรม .....	35
3.1.1 การให้ผลในชั้นผิวนางในย่านความเร็วต่ำ .....	35
3.1.2 การให้ผลผ่านแผ่นบนแบบความเร็วต่ำภายใต้ความดัน .....	37
3.1.3 การให้ผลในท่อแบบความเร็วต่ำภายใต้ความดัน .....	40
3.1.4 การให้ผลผ่านสิ่งกีดขวางแบบไม่อัดตัวที่สภาพวงตัว .....	42
3.1.5 การให้ผลผ่านแผ่นบนแนวเนื่องจาก แหล่งกำเนิดไมemenตัมในแนวแกน .....	45
3.1.6 การให้ผลในท่อเนื่องจากการให้แหล่งกำเนิด ไมmenตัมในแนวแกนและแนวรัศมี .....	48
3.2 ลักษณะของถังตัดผลลัพธ์และหลักการทำงาน .....	51
3.3 การจำลองลักษณะทางกายภาพของถังตัดผลลัพธ์ .....	53
3.4 การสร้างเมช (Mesh) .....	55
3.4.1 ขั้นตอนในการกำหนดเมช .....	55
3.4.2 ลักษณะของเมชที่สร้างขึ้นภายใต้ถังตัดผลลัพธ์ .....	56
3.5 เสื่อนไขในการจำลอง การกำหนดเสื่อนไขค่าข้อมูลและค่าเริ่มต้น .....	57
3.5.1 เสื่อนไขในการจำลอง .....	57
3.5.2 การกำหนดเสื่อนไขค่าข้อมูล .....	57
3.5.2.1 พื้นผิวน้ำตัดที่ทางเข้าของท่อน้ำเข้า .....	58
3.5.2.2 พื้นผิวน้ำตัดของปลายท่อดูดออก .....	58
3.5.2.3 พื้นผิวสมมาตร (Symmetry Plane) .....	58

## สารบัญ (ต่อ)

หน้า

3.5.2.4 บริเวณที่เป็นผนังของตัวถังตกผลึก ผนังท่อ และผนังแผ่น กันแนวตั้ง .....	58
3.5.3 การกำหนดค่าเริ่มต้นในการคำนวณ .....	59
3.6 สรุป .....	60
4 ผลการจำลองและการอภิปรายผล .....	61
4.1 ผลการจำลอง .....	61
4.1.1 ค่าแหล่งกำเนิดโน้ม-men ตั้ม $0 \text{ kg/m}^2/\text{s}^2$ .....	61
4.1.2 ค่าแหล่งกำเนิดโน้ม-men ตั้ม $1000 \text{ kg/m}^2/\text{s}^2$ .....	64
4.1.3 ค่าแหล่งกำเนิดโน้ม-men ตั้ม $10000 \text{ kg/m}^2/\text{s}^2$ .....	66
4.1.4 ค่าแหล่งกำเนิดโน้ม-men ตั้ม $15000 \text{ kg/m}^2/\text{s}^2$ .....	69
4.1.5 ค่าแหล่งกำเนิดโน้ม-men ตั้ม $18000 \text{ kg/m}^2/\text{s}^2$ .....	71
4.1.6 ค่าแหล่งกำเนิดโน้ม-men ตั้ม $30000 \text{ kg/m}^2/\text{s}^2$ .....	74
4.1.7 ค่าแหล่งกำเนิดโน้ม-men ตั้ม $50000 \text{ kg/m}^2/\text{s}^2$ .....	76
4.2 อภิปรายผลการจำลอง .....	79
4.2.1 ความเป็นอกรูปของรากไอลภากยในถังตกผลึก .....	79
4.2.2 ความเป็นไอโซไคเนติกส์ในการดูดออก .....	79
4.3 สรุป .....	83
5 สรุปและข้อเสนอแนะ .....	84
5.1 สรุปผลการวิจัย .....	84
5.2 ข้อเสนอแนะในการวิจัยต่อไป .....	85
เอกสารอ้างอิง .....	86
ภาคผนวก ก โครงสร้างและการทำงานของโปรแกรม CFX 5 .....	89
ภาคผนวก ข การตรวจสอบโปรแกรม .....	93
ภาคผนวก ค ตารางสรุปงานวิจัยที่เกี่ยวข้อง .....	106

## สารบัญ (ต่อ)

หน้า

ภาคผนวก ง รายละเอียดของ code บางส่วนที่เกี่ยวข้องกับการกำหนดค่าเข้าสู่โปรแกรม .....	109
ประวัติผู้เขียน .....	154

สารบัญ

รูปที่	หน้า
2.1 แผนภูมิแสดงส่วนประกอบของน้ำตาลจากอ้อย.....	6
2.2 ลักษณะของผลึกน้ำตาล (Pennington and Baker, 1990) .....	7
2.3 ความสามารถในการละลายนำของน้ำตาลซูโคโรส.....	8
2.4 กราฟแสดงความสามารถในการละลายของสารทั่วไป.....	9
2.5 ความสามารถในการละลายของสารละลายอนินทรีย์ .....	10
2.6 ความสามารถในการละลายของสารละลายอินทรีย์.....	10
2.7 ความสามารถในการละลายของสารละลายอนินทรีย์ .....	12
2.8 ความสามารถในการละลายของสารละลายอินทรีย์.....	12
2.9 ความสามารถของการละลายของสารละลายบางประเภท .....	13
2.10 แผนภาพจังตอกผลึกที่ใช้ในอุตสาหกรรม.....	15
2.11 ถังตอกผลึกแบบทำความสะอาดเย็นที่มีปั๊มทำให้เกิดการไหลวน และตัวทำความสะอาดเย็นด้านนอก .....	16
2.12 ถังตอกผลึกแบบทำให้เป็นไอที่มีหม้อต้มภายนอก .....	17
2.13 ถังตอกผลึกแบบสุญญากาศที่มีการแยกถังตอกผลึก และถังสำหรับการระเหย .....	18
2.14 ถังตอกผลึกแบบสุญญากาศที่ทำงานอย่างต่อเนื่องและมีอุปกรณ์สำหรับปั๊บ .....	19
2.15 ถังตอกผลึกแบบสุญญากาศที่มีอุปกรณ์สำหรับปั๊บบรรจุอยู่ภายในท่อ .....	19
2.16 ถังตอกผลึกแบบสุญญากาศในแนวราบ 5 ชั้นที่ไม่มีส่วนที่เคลื่อนที่.....	20
2.17 การตอกผลึกในกระบวนการผลิตแคลเซียมไนเตรท .....	21
2.18 การไหลของอนุภาคเมื่อการดูดออกไม่เป็นไอโซไคนเดติกส์ .....	23
2.19 ลักษณะการเกิดวงรอบของการไหลภายในถังกวน .....	31
3.1 แผนภาพแผ่นเรียบ.....	36
3.2 รูปความเร็วบางส่วน ที่ระยะ x ต่าง ๆ ของการไหล ของชั้นผิวนางผ่านแผ่นเรียบ .....	36

## สารบัญรูป (ต่อ)

รูปที่	หน้า
3.3 ความเร็วจากการจำลองผลด้วยโปรแกรม CFX เปรียบเทียบกับคำตอบของบลาเซียส.....	37
3.4 แผนภาพแผ่นคุณนา.....	38
3.5 รูปความเร็วที่บริเวณปลายท่อ.....	38
3.6 การกระจายตัวของความดันตลอดความยาวของท่อ.....	39
3.7 ความเร็วของการไหลที่ความสูงต่าง ๆ เทียบกับค่าจากทางทฤษฎี.....	39
3.8 แผนภาพท่อสำหรับปัญหาการไหลในท่อภายใต้ความดัน.....	40
3.9 รูปความเร็วที่ตำแหน่งต่าง ๆ .....	41
3.10 การกระจายตัวของความดันความดันตลอดความยาวท่อ.....	41
3.11 ความเร็วของการไหลเปรียบเทียบกับความเร็วทฤษฎี.....	42
3.12 แผนภาพท่อที่มีสิ่งกีดขวางอยู่ภายใน .....	43
3.13 ความดันตลอดแนวความยาวของท่อที่มีสิ่งกีดขวาง .....	44
3.14 ความดันบริเวณโกลด์สิงก์กีดขวาง.....	44
3.15 รูปความเร็วภายในท่อที่มีสิ่งกีดขวาง .....	45
3.16 เส้นแนวการไหลภายในท่อที่มีสิ่งกีดขวาง .....	45
3.17 แผนภาพท่อที่ติดตั้งแหล่งกำเนิดโมเมนตัม .....	46
3.18 แผนภาพลักษณะการกำหนดพื้นที่ทางของโมเมนตัมภายในโคลเมน.....	46
3.19 การกระจายตัวของความดันตลอดความยาวท่อ.....	47
3.20 รูปความเร็วภายในท่อ .....	48
3.21 เส้นแนวการไหลภายในท่อ .....	48
3.22 แผนภาพท่อกรณีที่ติดตั้งแหล่งกำเนิดโมเมนตัมภายใน .....	48
3.23 การกระจายตัวของความดันตลอดความยาวท่อ.....	49
3.24 เส้นแนวการไหลภายในท่อ .....	49
3.25 รูปความเร็วภายในท่อ .....	50
3.26 เส้นแนวการไหลเมื่อให้แหล่งกำเนิดโมเมนตัมในแนวรัศมี .....	50
3.27 ความดันตลอดแนวความยาวท่อเมื่อให้แหล่งกำเนิดโมเมนตัมในแนวรัศมี .....	51

## สารบัญรูป(ต่อ)

รูปที่	หน้า
3.28 ถังตอกผลึกจำลองในห้องปฏิบัติการวิศวกรรมเคมี .....	52
3.29 ถังตอกผลึกจำลองที่สร้างขึ้นโดยใช้โปรแกรม CFX5.5.1 (ผ่าครึ่ง) .....	54
3. 30 รายละเอียดของถังตอกผลึกจำลองที่สร้างขึ้นโดยใช้โปรแกรม CFX5.5.1 .....	54
3.31 การแบ่งเมซภายในถังตอกผลึก .....	57
3.32 การกำหนดเงื่อนไขค่าของของถังตอกผลึก.....	59
4.1 รูปความเร็วที่แหล่งกำเนิดโมเมนตัม = $0 \text{ kg/m}^2/\text{s}^2$ .....	62
4.2 รูปความเร็วบริเวณใกล้ปากท่อดูดออกที่แหล่งกำเนิดโมเมนตัม = $0 \text{ kg/m}^2/\text{s}^2$ .....	62
4.3 เส้นแนวการไหล ที่แหล่งกำเนิดโมเมนตัม = $0 \text{ kg/m}^2/\text{s}^2$ .....	63
4.4 ค่อนทัวร์ของขนาดของความเร็วของการไหลในถังตอกผลึก ที่ค่าแหล่งกำเนิดโมเมนตัม = $0 \text{ kg/m}^2/\text{s}^2$ .....	63
4.5 รูปความเร็วที่แหล่งกำเนิดโมเมนตัม = $1000 \text{ kg/m}^2/\text{s}^2$ .....	64
4.6 รูปความเร็วบริเวณใกล้ปากท่อดูดออกที่ แหล่งกำเนิดโมเมนตัม = $1000 \text{ kg/m}^2/\text{s}^2$ .....	65
4.7 เส้นแนวการไหล ที่แหล่งกำเนิดโมเมนตัม = $1000 \text{ kg/m}^2/\text{s}^2$ .....	65
4.8 ค่อนทัวร์ของขนาดของความเร็วของการไหลในถังตอกผลึก ที่ค่าแหล่งกำเนิดโมเมนตัม = $1000 \text{ kg/m}^2/\text{s}^2$ .....	66
4.9 รูปความเร็วที่แหล่งกำเนิดโมเมนตัม = $10000 \text{ kg/m}^2/\text{s}^2$ .....	67
4.10 รูปความเร็วบริเวณใกล้ปากท่อดูดออกที่ แหล่งกำเนิดโมเมนตัม = $10000 \text{ kg/m}^2/\text{s}^2$ .....	67
4.11 เส้นแนวการไหล ที่แหล่งกำเนิดโมเมนตัม = $10000 \text{ kg/m}^2/\text{s}^2$ .....	68
4.12 ค่อนทัวร์ของขนาดของความเร็วของการไหลในถังตอกผลึก ที่ค่าแหล่งกำเนิดโมเมนตัม = $10000 \text{ kg/m}^2/\text{s}^2$ .....	68
4.13 รูปความเร็ว ที่แหล่งกำเนิดโมเมนตัม = $15000 \text{ kg/m}^2/\text{s}^2$ .....	69
4.14 รูปความเร็วบริเวณใกล้ปากท่อดูดออกที่ แหล่งกำเนิดโมเมนตัม = $15000 \text{ kg/m}^2/\text{s}^2$ .....	70

## สารบัญรูป (ต่อ)

รูปที่		หน้า
4.15	เส้นแนวการไฟล ที่แหล่งกำเนิดโมเมนตัม = $15000 \text{ kg/m}^2/\text{s}^2$ .....	70
4.16	ค่อนทัวร์ของขนาดของความเร็วของการไฟลในถังตอกผลึก ที่ค่าแหล่งกำเนิดโมเมนตัม = $15000 \text{ kg/m}^2/\text{s}^2$ .....	71
4.17	รูปความเร็วที่แหล่งกำเนิดโมเมนตัม = $18000 \text{ kg/m}^2/\text{s}^2$ .....	72
4.18	รูปความเร็วบริเวณใกล้ปากท่อดูดออกที่ แหล่งกำเนิดโมเมนตัม = $18000 \text{ kg/m}^2/\text{s}^2$ .....	72
4.19	เส้นแนวการไฟล ที่แหล่งกำเนิดโมเมนตัม = $18000 \text{ kg/m}^2/\text{s}^2$ .....	73
4.20	ค่อนทัวร์ของขนาดของความเร็วของการไฟลในถังตอกผลึก ที่ค่าแหล่งกำเนิดโมเมนตัม = $18000 \text{ kg/m}^2/\text{s}^2$ .....	73
4.21	รูปความเร็วที่แหล่งกำเนิดโมเมนตัม = $30000 \text{ kg/m}^2/\text{s}^2$ .....	74
4.22	รูปความเร็วบริเวณใกล้ปากท่อดูดออกที่ แหล่งกำเนิดโมเมนตัม = $30000 \text{ kg/m}^2/\text{s}^2$ .....	75
4.23	เส้นแนวการไฟล ที่แหล่งกำเนิดโมเมนตัม = $30000 \text{ kg/m}^2/\text{s}^2$ .....	75
4.24	ค่อนทัวร์ของขนาดของความเร็วของการไฟลในถังตอกผลึก ที่ค่าแหล่งกำเนิดโมเมนตัม = $30000 \text{ kg/m}^2/\text{s}^2$ .....	76
4.25	รูปความเร็วที่แหล่งกำเนิดโมเมนตัม = $50000 \text{ kg/m}^2/\text{s}^2$ .....	77
4.26	รูปความเร็วบริเวณใกล้ปากท่อดูดออกที่ แหล่งกำเนิดโมเมนตัม = $50000 \text{ kg/m}^2/\text{s}^2$ .....	77
4.27	เส้นแนวการไฟล ที่แหล่งกำเนิดโมเมนตัม = $50000 \text{ kg/m}^2/\text{s}^2$ .....	78
4.28	ค่อนทัวร์ของขนาดของความเร็วของการไฟลในถังตอกผลึก ที่ค่าแหล่งกำเนิดโมเมนตัม = $50000 \text{ kg/m}^2/\text{s}^2$ .....	78
4.29	ตำแหน่งของจุด A .....	80
4.30	ความสัมพันธ์ระหว่างความเร็วที่ตำแหน่ง A กับค่าแหล่งกำเนิดโมเมนตัม .....	80
4.31	ความสัมพันธ์ระหว่างความดันที่ตำแหน่ง A กับค่าแหล่งกำเนิดโมเมนตัม .....	81
4.32	เปรียบเทียบเส้นแนวการไฟลที่จุด A เมื่อค่าแหล่งกำเนิดโมเมนตัมเปลี่ยนไป .....	82

## สารบัญรูป (ต่อ)

รูปที่	หน้า
ก.1 การเขื่อมโยงกันของโปรแกรมย่อย .....	91
ข.1 กริดในแนวแกน x และแกน y (บางส่วน) สำหรับปัญหาการไฟล์ในชั้นผิวบาง .....	94
ข.2 เสื่อนไขค่าขอบสำหรับปัญหาการไฟล์ในชั้นผิวบางผ่านแผ่นเรียบ .....	95
ข.3 กริด (บางส่วน) สำหรับปัญหาการไฟล์ผ่านแผ่นคุ่นนานภายในได้ความดัน.....	97
ข.4 การกำหนดเสื่อนไขค่าขอบสำหรับปัญหาการไฟล์ ผ่านแผ่นคุ่นนานภายในได้ความดัน .....	98
ข.5 การแปลงโ dik เมนที่ใช้ในการคำนวณ (บางส่วน).....	99
ข.6 ลักษณะของกริด (บางส่วน) .....	99
ข.7 การกำหนดเสื่อนไขค่าขอบสำหรับปัญหาการไฟล์ในท่อภายในท่อภายในท่อ ได้ความดัน .....	100
ข.8 การแปลงกริดสำหรับปัญหาการไฟล์ในท่อ ผ่านสิ่งกีดขวาง (ภาพขยายและภาพเต็ม).....	101
ข.9 การกำหนดเสื่อนไขค่าของของปัญหาการไฟล์ในท่อผ่านสิ่งกีดขวาง.....	102
ข.10 กริดไวร์โครงสร้างที่กำหนดภายในโ dik เมน.....	103
ข.11 ลักษณะการกำหนดเสื่อนไขค่าขอบภายในโ dik เมน .....	103
ข.12 กริดที่ให้ใช้ภายในโ dik เมน .....	104
ข.13 ลักษณะการกำหนดเสื่อนไขค่าขอบภายในโ dik เมน .....	105
ข.14 ลักษณะการให้โ dik เมนต้มในแนวแกน .....	105

## สารบัญตาราง

ตารางที่

หน้า

ก.1 สรุปงานวิจัยที่เกี่ยวข้อง ..... 107

## คำอธิบายสัญลักษณ์และคำย่อ

$\varepsilon$	Turbulent energy dissipation rate
$\rho$	ความหนาแน่น
$\mu$	ความหนืดพลศาสตร์
$\forall$	ปริมาตร
$\Delta_w$	ความอิ่มตัวยิ่งขวด
$A$	พื้นที่หน้าตัด
$Anh$	Anhydrite มวลของสารละลายเมื่อเอานำออก
$D$	เด็นผ่านศูนย์กลางของห่อ
$F$	แรง
$h$	ความสูง
$h$	ฟังก์ชันการแบ่งแยก = $\frac{n_j}{n}$
$L$	ความยาว
LDA	Laser Doppler Anemometry
LDV	Laser Doppler Velocimetry
MSMPR	Mixed Suspension Mixed Product Removal
$N$	ความเร็วรอบของใบพัด
$n$	ความหนาแน่นเฉลี่ยของผลึกภายในสั่งตกผลึก
$n_j$	ความหนาแน่นของผลึกในปริมาตรควบคุม
$P$	ความดัน
PIV	Particle Imaging Velocimetry
$r$	ระยะในแนวรัศมี
$R$	รัศมีของห่อ
Re	เลขเรย์โนลด์
$S_{mx}$	ค่าแหล่งกำเนิด โมเมนตัมต่อหน่วยปริมาตร
$t$	อุณหภูมิ ( $^{\circ}\text{C}$ )

## คำอธิบายสัญลักษณ์และคำย่อ (ต่อ)

$u$	ความเร็วในทิศ $x$
$U$	ความเร็วที่ Frees - Stream
$V_{iso}$	ความเร็วที่ทำให้เกิดเงื่อนไขการดูดออกแบบไอโซไคแนติกส์
$W$	ความสามารถในการละลายของน้ำตาลซูโครส
$w$	ความสามารถในการละลายของสารทั่วไป
$w_{eq}$	ความเข้มข้นอิมตัวอิมตัว

## บทที่ 1

### บทนำ

#### 1.1 ความเป็นมาและความสำคัญของปัญหา

ความสม่ำเสมอของขนาดของผลึกน้ำตาลเป็นปัจจัยที่สำคัญประการหนึ่งที่มีผลทึ้งต่อกระบวนการผลิตและการตลาดสำหรับอุตสาหกรรมการผลิตน้ำตาล ด้วยอย่างปัญหาในด้านการผลิต เช่น การกรองผลึก ในกรณีของผลึกที่มีขนาดเล็กเกินไปจะทำให้เกิดการอุดตันในเยื่อกรอง ส่งผลให้ความดันภายในสูงขึ้นและเกิดการนีกขาดของเยื่อกรองได้ (McCabe, Smith, and Harriott, 1993) ผลกระทบนี้ทำให้เสียเวลาและเสียค่าใช้จ่ายในการซ่อมบำรุง ในกรณีของผลึกที่มีขนาดใหญ่จนเกินไปจะก่อให้เกิดปัญหาในการนำผลึกออกจากถังผลึก เนื่องจากผลึกมีน้ำหนักมากและไม่สามารถถอดออกได้ เกิดการตกตะกอนไปรวมกันที่ก้นถังและจับกันเป็นแผ่นแข็ง (Bakker et al., 1998) นอกจากนี้การได้ผลึกหลายขนาดในกระบวนการผลิต ทำให้เสียค่าใช้จ่ายและเวลาในการแยกผลึกมากขึ้น ส่วนปัญหาทางด้านการตลาดซึ่งถือเป็นปัญหาหลักที่สำคัญ ได้แก่ ผลึกที่ได้มีขนาดไม่ยูนิฟอร์มในช่วงที่ต้องการ กล้ายเป็นผลิตภัณฑ์คุณภาพต่ำ ขายไม่ได้ราคาหรือได้ราคาต่ำ (McCabe, Smith, and Harriott, 1999) สำหรับผลึกน้ำตาลที่มีขนาดใหญ่จะลดลงช้าเมื่อนำไปใช้งาน หรือเมื่อผสมเข้ากับอาหารแล้วเข้ากันได้ไม่ดีเท่าที่ควร ส่งผลให้รժาติของอาหารเปลี่ยนไป (Mathlouthi, 1995) ทำให้ไม่ได้รับความนิยมในหมู่ผู้บริโภคบางกลุ่ม

สืบเนื่องจากปัญหาดังกล่าวข้างต้น ทำให้อุตสาหกรรมผลิตน้ำตาลในปัจจุบันให้ความสำคัญต่อขนาดและความสม่ำเสมอของขนาดของผลึกเพิ่มมากขึ้น ปัจจัยที่มีผลต่อความสม่ำเสมอของขนาดผลึกนั้นมีหลายประการด้วยกัน (Mermann, 2001) เช่น

- ก. ลักษณะการไหล และการผสมของสารละลายภายในถังผลึก
- ข. อุณหภูมิในการตกผลึก
- ค. ความเข้มข้นของสารละลายที่เข้าถังผลึก
- ง. สถานะ การอิ่มตัวของสารละลาย

ลักษณะการไหล การผสมกัน และการกระจายความหนาแน่นของประชากรผลึกในถังผลึก เป็นปัจจัยที่มีผลผลกระทบต่อขนาดของผลึกที่จะเกิดขึ้น ขนาดของผลึกจะสม่ำเสมอได้ก็ต่อเมื่อมีการผสมกันดีพอ แต่เนื่องจากในทางปฏิบัติ การวัดการกระจายความหนาแน่นของประชากรผลึกในถังตกผลึกทำได้ยาก ประกอบกับอุปกรณ์ที่ใช้สำหรับการตกผลึกในห้องทดลองมีขนาดเล็ก จึงนิยม

ประมาณว่าการกระจายความหนาแน่นของประชากรผลึกในแต่ละตำแหน่งภายในถังมีความแตกต่างกันน้อยมาก และไม่พิจารณาผลกระทบของการผสมกันและการกระจายความหนาแน่นของประชากรผลึกภายในถังผลึก (Sha and Palosaari, 2000) ดังนั้นสมมุติฐานเบื้องต้นอีกอันหนึ่งที่นิยมนำมาใช้ร่วมในการวิเคราะห์กระบวนการตัดผลึกเพื่อให้เกิดความง่ายในการวิเคราะห์มากขึ้นคือ สมมุติฐาน MSMPR (Mixed Suspension Mixed Product Removal) (Randolph and Larson, 1988) กล่าวคือมีการผสมกันโดยสมบูรณ์ของสารละลาย ทั้งขาเข้าและขาออก รวมทั้งสารละลายภายในถังทุกตำแหน่งจะมีคุณสมบัติเดียวกัน อย่างไรก็ตาม ในสารละลายบางประเภท เมื่อเกิดการตัดผลึก สารละลายที่เหลือจะมีความหนาแน่นลดลง (ความแตกต่างของความหนาแน่นระหว่างสารละลายกับอนุภาคมีค่าสูง) ก็จะมีแนวโน้มให้เกิดการกระจายความหนาแน่นในแต่ละตำแหน่งภายในถังแตกต่างกันໄດ่งง่ายขึ้น สมมุติฐาน MSMPR ก็จะไม่เป็นจริง หากนำมาใช้ก็อาจเกิดความผิดพลาดสูง โดยเฉพาะในระบบที่ใหญ่ขึ้น เช่นในกรณีอุตสาหกรรมทั่วไปที่ถังตัดผลึกมีขนาดใหญ่นั้น เป็นการยากที่จะทำให้ของผสมในถังผลึกผสมกันเป็นอย่างดีได้ เพราะจะทำให้สิ่นเปลืองพลังงานมาก ไม่คุ้มต่อต้นทุนการผลิต ความหนาแน่นของประชากรผลึกในถังในแต่ละตำแหน่งจึงต่างกันมาก อันจะก่อให้เกิดผลเสียดังที่ได้กล่าวในข้างต้น

สืบเนื่องมาจากในทางปฏิบัตินี้ การทดลองเพื่อศึกษาลักษณะการไหลตลอดจนปัจจัยต่าง ๆ ที่มีผลต่อการไหลในถังผลึกมีความยุ่งยากและมีค่าใช้จ่ายสูง แต่ในปัจจุบันคอมพิวเตอร์มีสมรรถนะสูง สามารถนำมาประยุกต์ใช้เพื่อวิเคราะห์การไหลในถังตัดผลึกน้ำตาลได้ ทำการใช้คอมพิวเตอร์ช่วยในการจำลองผล เป็นแนวทางหนึ่งที่น่าสนใจ ที่จะนำไปสู่การพัฒนาคุณภาพของผลึกน้ำตาลได้ และยังช่วยลดต้นทุนในการทำวิจัยอีกด้วย

## 1.2 วัตถุประสงค์การวิจัย

งานวิจัยวิทยานิพนธ์นี้มีจุดประสงค์เพื่อจำลองการไหลของของไหลเฟสเดียวในถังตัดผลึกน้ำตาล โดยใช้โปรแกรมวิเคราะห์การไหลเชิงพาณิชย์ “CFX5.5.1” และวิเคราะห์สาเหตุที่มีผลกระทบต่อความสม่ำเสมอของขนาดของผลึกที่ได้

## 1.3 ขอบเขตของการวิจัย

1.3.1 จำลองการไหลในถังตัดผลึกจากสารละลายน้ำตาลประเภทใช้ความเย็น (Cooling crystallizer) ซึ่งมีขนาดเท่าถังตัดผลึกจำลองในห้องปฏิบัติการวิศวกรรมเคมี อาคารศูนย์เครื่องมือและวิทยาศาสตร์ 5 มหาวิทยาลัยเทคโนโลยีสุรนารี

1.3.2 จำลองการไหลในถังตัดผลึกเป็นการไหลแบบเฟสเดียว

- 3.1.3 ไม่พิจารณาผลกระแทบเนื่องจากอุณหภูมิ
- 3.1.4 กำหนดให้ของไอลในถังตอกผลึกที่ใช้จำลองผลเป็นของไอลที่อัดตัวไม่ได้
- 3.1.5 จำลองผลด้วยกรรมวิธีเชิงตัวเลข โดยใช้โปรแกรมช่วยวิเคราะห์การไอล “CFX5.5.1” ซึ่งเป็นโปรแกรมที่ใช้แก้สมการนาเวียร์สโตค (Navier-Stokes) แบบสามมิติ
- 3.1.6 ใบพัดที่ใช้สำหรับปั่นของไอลให้ไอลลงด้านล่างในถังปั่นจะถูกจำลองด้วยแหล่งกำเนิดโวเมนตัม

#### **1.4 ประโยชน์ที่คาดว่าจะได้รับจากการทำวิจัย**

- 1.4.1 เป็นแนวทางในการออกแบบถังตอกผลึกเพื่อให้ได้ความสม่ำเสมอของขนาดผลึกมากขึ้น
- 1.4.2 ลดปัญหาการอุดตันของเยื่อกรองในกระบวนการกรองผลึก และลดขั้นตอนในการแยกผลึก อันจะเป็นผลดีในการลดต้นทุนและเวลาในการผลิต
- 1.4.3 ส่งเสริมอุตสาหกรรมภายในประเทศ เช่น อุตสาหกรรมผลิตน้ำตาล
- 1.4.4 เพิ่มพูนความรู้ในทางวิศวกรรม ประสบการณ์การทำงานตลอดจนระเบียบวิธีวิจัย อันจะนำไปสู่การพัฒนางานวิจัยในด้านอื่นๆ ที่เป็นประโยชน์ต่อส่วนรวมต่อไป

#### **1.5 โครงสร้างและการจัดรูปเล่มวิทยานิพนธ์**

- วิทยานิพนธ์นี้แบ่งออกเป็น 5 บท ซึ่งมีรายละเอียดโดยย่อในแต่ละบทดังนี้
- 1.5.1 บทที่ 1 นำเสนอที่มาและความสำคัญของปัญหา วัตถุประสงค์ ขอบเขตของวิทยานิพนธ์ ตลอดจนประโยชน์ที่คาดว่าจะได้รับจากการวิจัยนี้
  - 1.5.2 บทที่ 2 กล่าวถึงทฤษฎีพื้นฐานเกี่ยวกับน้ำตาล สารละลายน้ำตาล การตอกผลึกของสารละลายน้ำตาล อุปกรณ์ที่ใช้ในอุตสาหกรรมการตอกผลึก ทฤษฎีการดูดผลักกันที่ออกจากถังผลึก ปริมาณน้ำรับประทานและงานวิจัยที่เกี่ยวข้อง
  - 1.5.3 บทที่ 3 เป็นการทดสอบโปรแกรมคอมพิวเตอร์ที่ใช้ในงานวิจัย โดยทำการทดสอบกับปัญหาการไอลมาตรฐานเพื่อตรวจสอบความละเอียด ความถูกต้อง และเสถียรภาพของคำตอบที่ได้จากการจำลองผล การสร้างกริด การกำหนดเงื่อนไขขอบ และค่าเริ่มต้นสำหรับปัญหาการตอกผลึกของสารละลายน้ำตาลในถังตอกผลึก
  - 1.5.4 บทที่ 4 นำเสนอผลการจำลองและอภิปรายผลการจำลองจากการทดสอบย่อย 7 กรณี ที่กำหนดโดยการให้ค่าแหล่งกำเนิดโวเมนตัมที่ต่างกัน
  - 1.5.5 บทที่ 5 เป็นข้อสรุปที่ได้จากการจำลอง และเสนอแนะแนวทางเพื่อการพัฒนางานวิจัยขั้นนี้ให้มีประสิทธิภาพ ความถูกต้องและความสมจริงมากยิ่งขึ้น

นอกจากนี้ วิทยานิพนธ์นี้ยังประกอบด้วยภาคผนวกทั้งสิ้น 3 บท ดังนี้

1.5.6 ภาคผนวก ก. อธิบายถึงขั้นตอนการทำงานและโครงสร้างของโปรแกรม CFX ที่นำมาใช้ในการจำลองผล

1.5.7 ภาคผนวก ข. นำเสนอรายละเอียดการสร้างกริด การกำหนดเงื่อนไขขอบ และค่าเริ่มต้นของปัญหาการไหลมาตรฐานที่นำมาใช้ทดสอบโปรแกรมในบทที่ 3

1.5.8 ภาคผนวก ค. แสดงตารางสรุปงานวิจัยที่เกี่ยวข้อง

1.5.9 ภาคผนวก ง. แสดงรายละเอียดของ code บางส่วนที่เกี่ยวข้องกับการกำหนดค่าเข้าสู่โปรแกรม

## บทที่ 2

### ปริทศน์วรรณกรรมและงานวิจัยที่เกี่ยวข้อง

#### 2.1 กล่าวนำ

ปัจจุบันน้ำตาลเข้ามามีบทบาทในชีวิตประจำวันของมนุษย์อย่างกว้างขวางตั้งแต่การนำมาประกอบอาหาร การนำน้ำตาลมารักษาบาดแผล หรือรักษาโรค ตลอดจนใช้ในการปฐมพยาบาล เท่าที่มีหลักฐานบันทึกในประวัติศาสตร์ที่พ่อจะเชื่อถือได้ด้วย เช่น กันว่าราปีกริสต์ศักราช 500 ชาวนอร์เเซียเป็นชาติแรกที่สามารถผลิตน้ำตาลในรูปเม็ดผลึกได้ โดยมีชื่อเรียกเป็นภาษาสันสกฤตว่า ชาครร่า (อัลฟิธ์ ปัทมะเวณุ, 2536) และต่อมาได้เรียกเพียงกันไปตามห้องถินต่าง ๆ จนกลายมาเป็นคำว่าซูการ์ในภาษาอังกฤษนั่นเอง

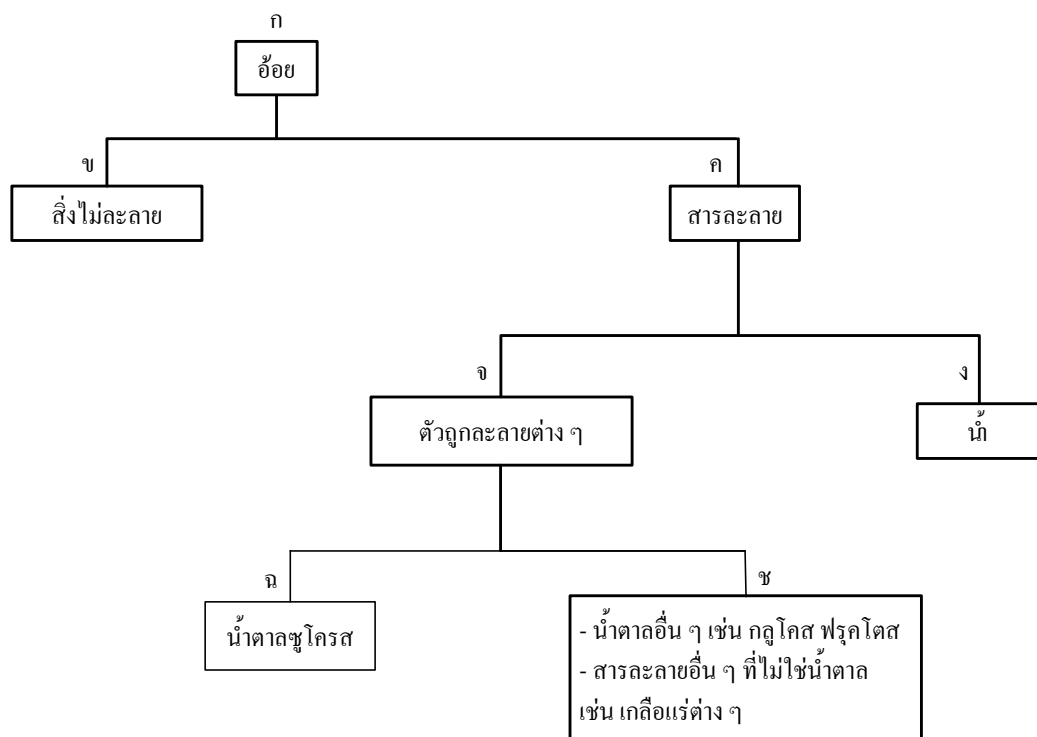
สำหรับการผลิตน้ำตาลภายในประเทศไทยนั้น เพิ่งจะมีการนูกเบิกทำน้ำตาลรายแบบเม็ดผลึกเมื่อประมาณปี 2496 โดยมีผู้นำชาวพิลิปปินส์เจ็คคุนด้วยกันเข้ามาสอนกรรมวิธีผลิตน้ำตาลให้แก่คนไทยเป็นครั้งแรกที่โรงงานน้ำตาลจังหวัดลำปางจังหวัดทั้งปัจจุบันคนไทยมีฝีมือเดียว ต้มและปั่นน้ำตาลเป็นเม็ดได้เป็นอย่างดี ต่อมามีชาวช/ginดานดาเข้ามาสร้างโรงงานน้ำตาลที่จังหวัดชลบุรี และตามมาด้วยชาวไಡหวนที่ได้นำกรรมวิธี Middle Juice Carbonation Process มาใช้ร่วมกับชาวฝรั่งเศสสร้างโรงงานน้ำตาลที่จังหวัดสุพรรณบุรีเมื่อปี พ.ศ.2499 ซึ่งเป็นความก้าวหน้าอีกขั้นหนึ่งของโรงงานผลิตน้ำตาลในประเทศไทย หลังจากนั้นชาวไಡหวนได้เข้ามาสร้างโรงงานน้ำตาลสูรศักดิ์ (น้ำตาลตะวันออก) และต่อมามาชาวญี่ปุ่นและชาวอังกฤษได้เข้ามาเผยแพร่การผลิตน้ำตาลรีไฟน์ (Refined Sugar) อีกกรรมวิธีหนึ่งที่เรียกว่า Talofloc Process ที่โรงงานน้ำตาลบ้านโป่งและโรงงานน้ำตาลมิตรผล

อุตสาหกรรมน้ำตาลได้เริ่มพัฒนาจากอดีตจนกระทั่งปัจจุบัน ประเทศไทยได้พัฒนาจนกระทั่งกลายเป็นศูนย์ผลิตใหญ่ที่สามารถส่งออกน้ำตาลได้เป็นอันดับสามของโลก ซึ่งถือเป็นนิมิตรหมายอันดีเนื่องจากการผลิตน้ำตาลถือเป็นอุตสาหกรรมที่เกื้อหนุนการเกษตรภายในประเทศไทย นั่นคือใช้อ้อยเป็นวัตถุคิดในการผลิต ซึ่งถือเป็นการสนับสนุนเกษตรกรที่ปลูกอ้อยไปด้วยอีกด้วย

## 2.2 น้ำตาลซูโครัสและความสามารถในการละลาย

น้ำตาลจากธรรมชาติมีหลายประเภท เช่น น้ำตาลแล็กโตส (Lactose) พบรูปในน้ำนม น้ำตาลกลูโคส (Glucose) พบรูปในผลไม้ต่าง ๆ และน้ำตาลฟรุกโตส (Fructose) พบรูปในน้ำผึ้ง เป็นต้น โดยปกติพืชส่วนใหญ่จะเก็บพลังงานที่ได้จากการสังเคราะห์ด้วยแสงในรูปของแป้ง แต่พืชบางประเภท มีน้ำย่อยพิเศษที่ช่วยสังเคราะห์และเก็บพลังงานไว้ในรูปของน้ำตาลซูโครัส (Sucrose) ได้ น้ำตาลซูโครัสเป็นสารประกอบของน้ำตาลในธรรมชาติสองตัว คือ น้ำตาลกลูโคส และน้ำตาลฟรุกโตส ซึ่งเป็นผลิตภัณฑ์ธรรมชาติที่พืชสีเขียวสังเคราะห์ขึ้นจากการรับอนุโถกไซด์ น้ำและแร่ธาตุบางชนิดผ่านกระบวนการสังเคราะห์ด้วยแสงที่เกิดขึ้นที่รังค์วัตถุสีเขียวที่เรียกว่าคลอโรฟิลล์ (Chlorophyll) ทำให้ได้น้ำตาลซูโครัส ซึ่งถือว่าเป็นคาร์โบไฮเดรทธรรมชาติที่อุดมสมบูรณ์ที่สุดตัวหนึ่ง

น้ำตาลจากอ้อย และน้ำตาลจากหัวผักกาดแดง (Beetroot) โดยปกติถือว่าเป็นน้ำตาลซูโครัสเนื่องจากมีส่วนประกอบส่วนใหญ่เป็นซูโครัส อย่างไรก็ตามในบางกรณีอาจจะเรียกน้ำตาลซูโครัสว่าแซคคาโรส (Saccharose) ส่วนประกอบของน้ำตาลจากอ้อยแสดงไว้ใน แผนภูมิในรูปที่ 2.1

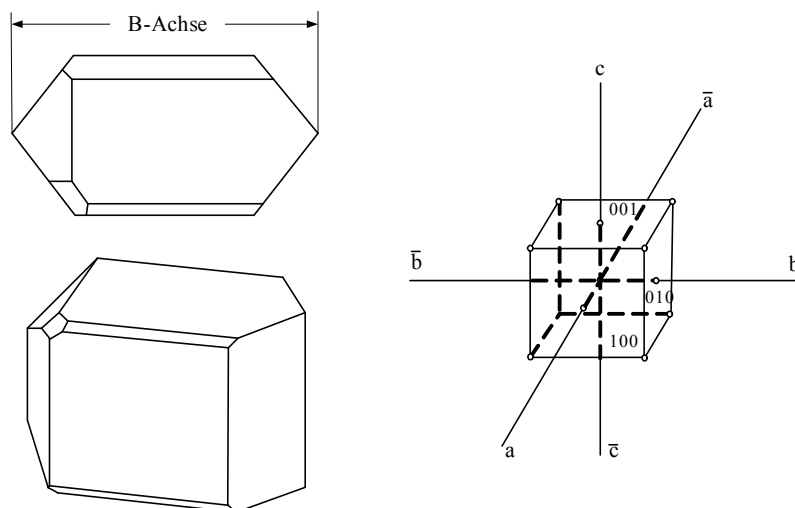


รูปที่ 2.1 แผนภูมิแสดงส่วนประกอบของน้ำตาลจากอ้อย

โนเมเลกุลของซูโกรสประกอบด้วย คาร์บอน 12 อะตอม ไฮโดรเจน 12 อะตอม และออกซิเจน 11 อะตอมซึ่งเป็นสูตรเคมีได้ดังนี้



น้ำหนักโนเมเลกุลของซูโกรสมีค่าเป็น 342.30 kg/kmol และจะเสื่อมที่สุดเมื่ออุ่นในรูปผลึก ซูโกรสบริสุทธิ์จะไม่มีสี ไม่มีกลิ่น และมีรสหวานอย่างชัดเจน ผลึกซูโกรสจะหลอมละลายที่ช่วง อุณหภูมิระหว่าง 160 °C ถึง 186 °C ขึ้นอยู่กับตัวทำละลายและความบริสุทธิ์ของซูโกรส ความ ถ่วงจำเพาะของผลึกซูโกรสเท่ากับ 1.588 ในกรณีที่มีผลึกจำนวนมากเกากันอุ่น ความถ่วงจำเพาะ จะขึ้นอยู่กับขนาดเดลี่ยของผลึกและการกระจายตัวของขนาดผลึก ซึ่งมีค่าประมาณ 0.8 รูปที่ 2.2 แสดงรูปผลึกของน้ำตาลซูโกรส



รูปที่ 2.2 ลักษณะของผลึกน้ำตาล (Pennington and Baker, 1990)

ซูโกรสละลายได้ดีที่สุดในน้ำ นอกจากนี้ยังสามารถละลายในแอลกอฮอล์ได้รวมทั้งตัวทำ ละลายมีข้ออื่น ๆ ด้วย แต่จะไม่ละลายใน อีเทอร์ เบนซิน และตัวทำละลายอินทรีย์ไม่มีข้อต่าง ๆ ความสามารถในการละลายน้ำของซูโกรสเปลี่ยนเป็นสมการ ได้ดังนี้

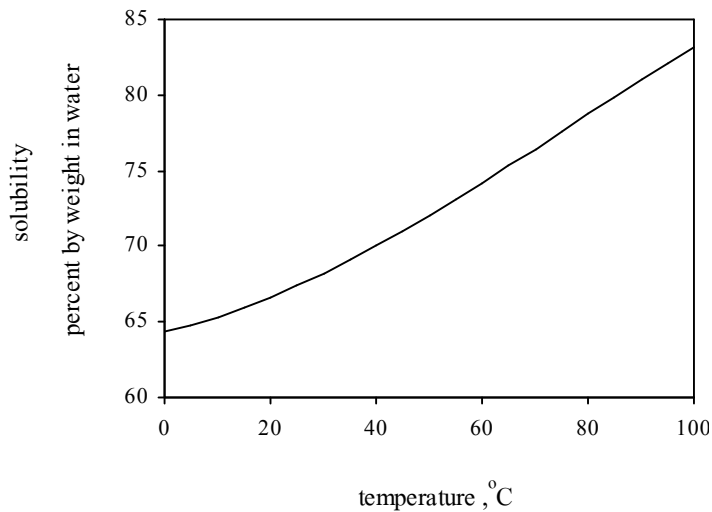
$$W = 64.397 + 0.07251t + 0.0020569t^2 - 9.035 \times 10^{-6}t^3 \quad (2.2)$$

เมื่อ

$t$  กีวิ อุณหภูมิ (°C)

$W$  กีวิ ความสามารถในการละลาย (เปอร์เซ็นต์ต่อน้ำโดยมวล)

โดยสามารถเปลี่ยนเป็นแผนภูมิได้ดังรูปที่ 2.3

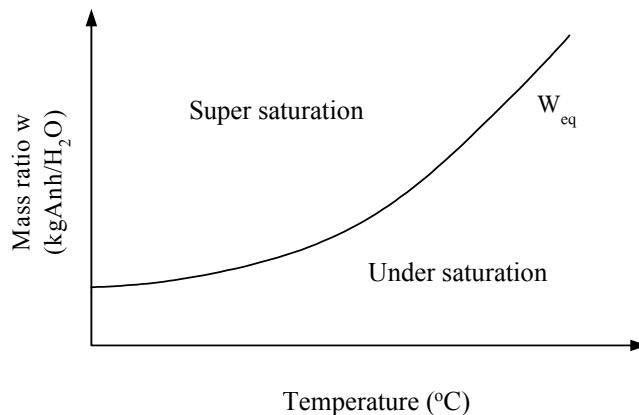


รูปที่ 2.3 ความสามารถในการละลายน้ำของน้ำตาลซูโครัส

### 2.3 การตกผลึกและกระบวนการตกผลึก

การตกผลึกคือการเปลี่ยนแปลงสถานะของชาตุหนึ่งชาตุใดหรือหลายชาตุจากสถานะของไหลด หรือของแข็งที่มีโครงสร้างที่ไม่เป็นระเบียบ (Amorphous solid) หรือสถานะก้าช ไปสู่สถานะของแข็งที่มีโครงสร้างเป็นระเบียบชัดเจนแน่นอน (Crystalline state)

ในของเหลว การตกผลึกจะเกิดขึ้น ได้ที่ต่อเมื่อสารตั้งต้นมีความเข้มข้นอยู่เหนือจุดอิ่มตัว ขึ้ง化 (Super saturation) ทึ้งนี้ถึงแม้จะ ไม่มีการให้คำจำกัดความที่ชัดเจนสำหรับคำว่าสารละลาย (Solution) และคำว่าสารหลอมเหลว (Melt) ในกระบวนการตกผลึกจำเป็นต้องแยกความหมายของ การตกผลึกจากสารละลาย กับการตกผลึกจากสารหลอมเหลวออกจากกัน โดยทั่วไปคำว่าสารละลายจะหมายถึงสารที่เกิดจากการรวมกันของสารอย่างน้อยสองชนิดขึ้นไป โดยมีตัวทำละลายและตัวถูกละลาย ส่วนคำว่าสารหลอมเหลวหมายถึงการนำสารตั้งแต่หนึ่งชนิดขึ้นไปมาหลอมให้อยู่ในสภาพของเหลว สำหรับกระบวนการตกผลึก การตกผลึกจากสารละลายหมายถึง การตกผลึกโดยสารหลัก (ตัวถูกละลาย) เพียงชนิดเดียวเปลี่ยนรูปมาเป็นผลึก เมื่อผ่านกระบวนการ ตกผลึกแล้วตัวทำละลายไม่ได้ตกผลึกออกมากด้วย ส่วนการตกผลึกจากสารหลอมเหลว กรณีที่มีสารสองชนิดขึ้นไป สารทั้งหมดจะตกผลึกออกมากด้วยกัน โดยอาจจะเป็นผลึกในรูปของสารประกอบ หรืออาจตกผลึกแยกชนิดกันก็ได้



รูปที่ 2.4 กราฟแสดงความสามารถในการละลายของสารทั่วไป

เมื่อ แกนตั้งเป็นอัตราส่วนของมวลของสารละลายเมื่อเอาน้ำออก (Anhydrate, ตัวย่อ Anh) แกนนอนเป็นอุณหภูมิ (°C) โดยที่ความอิ่มตัวยังคงสามารถหาได้จาก

Super Saturation

$$\Delta w = w - w_{eq} \quad (2.3)$$

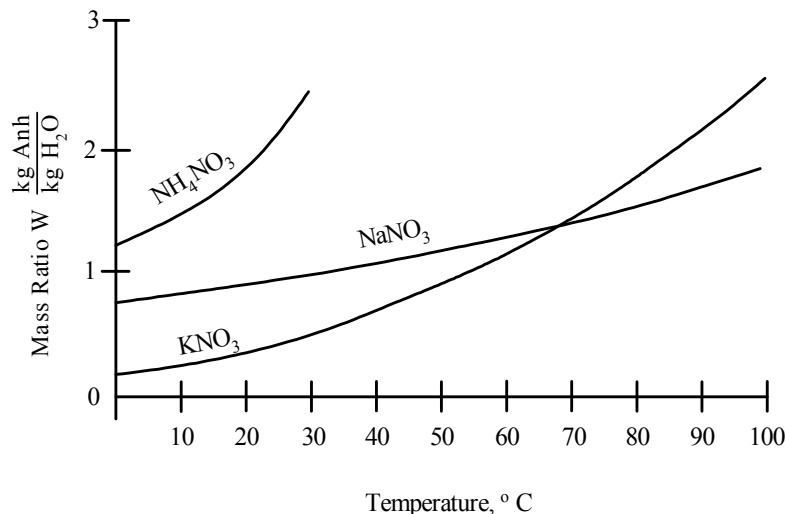
การตกผลึกที่ค่า  $\Delta w$  แตกต่างกันจะทำให้ได้ขนาดของผลึก และคุณภาพผลึกตลอดจนรูปร่างของผลึกแตกต่างกันไป ทั้งนี้ในกระบวนการตกร่องน้ำที่จะทำให้ได้ผลึกที่มีการกระจายตัวของขนาดของผลึกที่ดีนั้น  $\Delta w$  ควร มีค่าสม่ำเสมอตลอดถังผลึกให้มากที่สุด นั่นคือในกระบวนการตกร่องน้ำที่ต้องควบคุมสารละลายภายในถังให้สมกันเป็นอย่างดีนั่นเอง

กลไกสำคัญที่ควบคุมการตกร่องน้ำที่ต้องทำให้เป็นกระบวนการถ่ายเทมวลเพียงอย่างเดียว ในขณะที่กระบวนการตกร่องน้ำจะมีการถ่ายเทความร้อนเข้า เป็นอีกปัจจัยหนึ่งที่เกี่ยวข้องด้วย ตามที่ได้กล่าวไว้ในหัวข้อที่ผ่านมา การตกร่องน้ำที่มีความสัมพันธ์กับจุดอิ่มตัวยังคง ของสารละลาย ซึ่งสารแต่ละประเภทจะมีกรรมวิธีในการทำให้เป็นสารละลายอิ่มตัวยังคงได้ต่างกัน กระบวนการตกร่องน้ำสามารถแยกประเภทตามกรรมวิธีการทำให้เป็นสารละลายอิ่มตัวยังคง ดังนี้ (Mersmann, 2000)

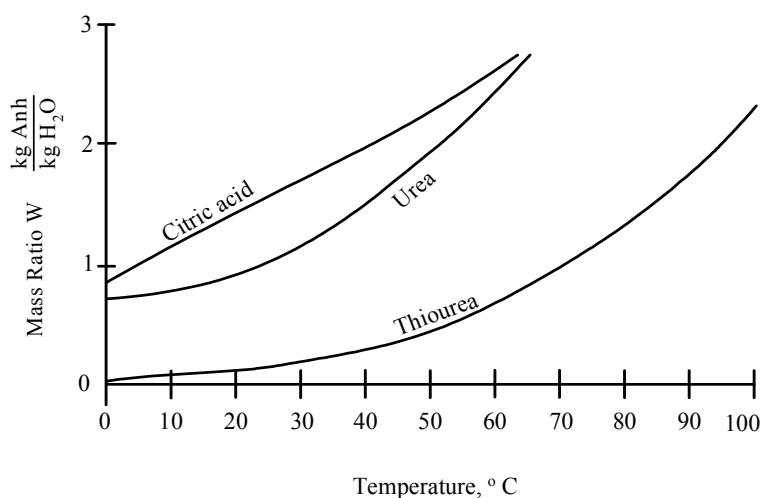
### 2.3.1 Cooling Crystallization

เป็นกระบวนการตกร่องน้ำที่อาศัยการให้ความเย็นแก่สารละลายเพื่อทำให้เกิดการอิ่มตัวยังคงในสารละลายตั้งก่อน มีความหมายสัมกับสารละลายที่ความสามารถในการละลายเปลี่ยนแปลงไปได้่ายตามอุณหภูมิ เช่น ไปตัดเชิง โซเดียม แอมโมเนียม ในเครท และ คอปเปอร์ ซัลเฟต กระบวนการนี้อาศัยหลักการง่าย ๆ คือ ทำให้สารละลายร้อนขึ้นก่อนเพื่อเพิ่มความสามารถ

ในการละลาย และเพิ่มตัวถูกละลายลง ไปให้มากขึ้น หรือปล่อยให้ตัวทำละลายระเหย ในขั้นนี้สารละลายจะมีสภาวะความเข้มข้นต่ำกว่าจุดอิ่มตัว ซึ่งจะถูกส่งเข้าไปภายในถังตอกผลึก



รูปที่ 2.5 ความสามารถในการละลายของสารละลายนินทรีย์



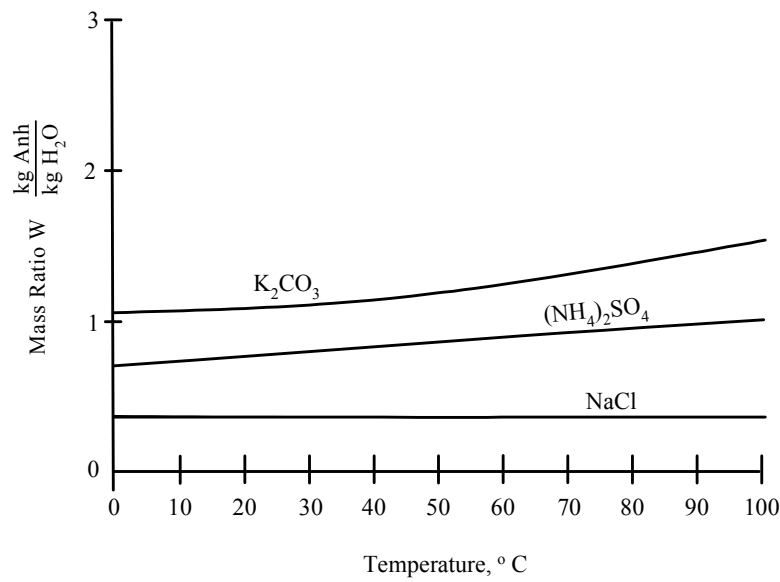
รูปที่ 2.6 ความสามารถในการละลายของสารละลายนินทรีย์

หลังจากนั้นจะให้ความเย็นแก่สารละลายให้มีอุณหภูมิต่ำลงจนกระทั่งสถานะของความเข้มข้นกลับมาอยู่เหนือเส้นอิ่มตัว นั่นคือความสามารถในการละลายลดลง (สารละลายจะเกิดการอิ่มตัวอย่างยิ่งขวด) ในขณะที่ปริมาณตัวถูกละลายยังมีเท่าเดิม ทำให้ตัวถูกละลายส่วนที่เหลือที่ไม่สามารถละลายได้เกิดการตกผลึกออกมาก ทั้งนี้การให้ความเย็นอาจทำเป็นปลอกท่อด้านนอกหรือ

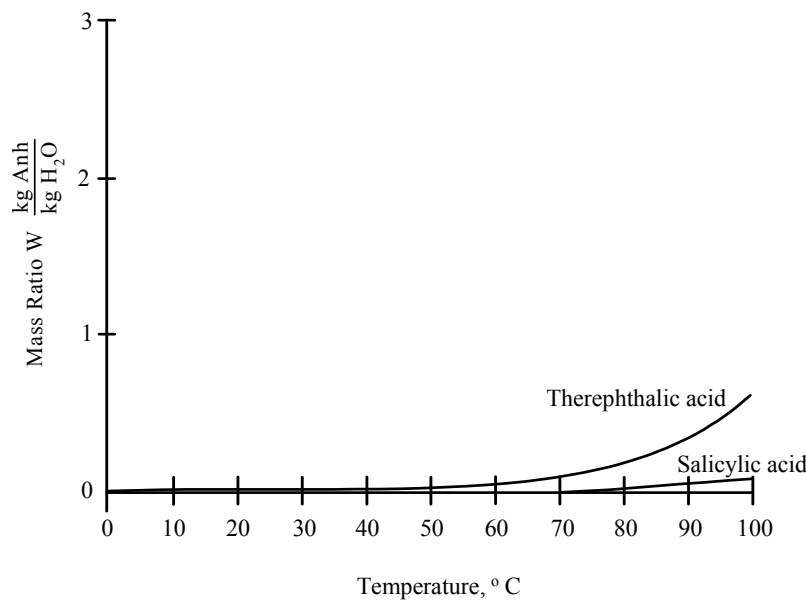
เป็นท่อให้ความเย็นภายในก์ได้ สำหรับกระบวนการตกรถิกในระบบเด็ก ๆ จะใส่สารละลายเข้าไปภายในถังก่อน แล้วจึงให้ความเย็น (Batch operation) วิธีนี้มีข้อเสียคือความเย็นที่ให้กับรถิกจะไม่สม่ำเสมอ และเนื่องจากอุณหภูมิ ณ จุดอิ่มตัวยิ่ง华ด เป็นปัจจัยที่มีผลกระทบต่องานและรูปร่างของรถิก การตกรถิกใน Batch mode จึงส่งผลให้ได้ขนาดรถิกไม่สม่ำเสมอและมีรูปรถิกต่างกัน วิธีแก้ไขคือพยายามทำให้อุณหภูมิ ณ จุดอิ่มตัวยิ่ง华ดมีค่าคงที่ รถิกที่ออกมาก็จะสม่ำเสมอขึ้น สำหรับในระบบที่ใหญ่ขึ้น โดยปกติจะให้สารละลายไหลเข้าถังอย่างช้า ๆ และต่อเนื่อง (Continuous mode) โดยมีการดูดสารละลายออกจากถังต่อเนื่อง เช่นกัน ซึ่งจะช่วยแก้ไขปัญหาดังกล่าวได้ในระดับหนึ่ง

### 2.3.2 Evaporative Crystallization

เป็นการตกรถิกโดยการให้ความร้อนแก่สารละลายเพื่อให้เกิดการระเหย เมื่อตัวทำละลายน้ำอยู่ สารละลายจะเข้มขึ้นจนกระทั่งเป็นสารละลายอิ่มตัวยิ่ง华ด วิธีการนี้เหมาะสมที่จะใช้กับสารละลายที่มีความสามารถในการละลายค่อนข้างคงที่หรือเปลี่ยนไปน้อยมากตามอุณหภูมิ สารละลายที่ใช้น้ำเป็นตัวทำละลาย เช่น สารละลายโซเดียมคลอไรด์ และโอมโนเนียมซัลไฟด์ และไปตัสเซียน รวมทั้งสารละลายกรด terephthalic ในเมธานอล (methanol) กระบวนการนี้เริ่มต้นจาก การปล่อยสารละลายที่เป็น Under saturate ให้ไหลเข้าไปภายในถังตกรถิกแล้วต้มจนกระทั่ง อุณหภูมิถึงจุดเดือด ตัวทำละลายจะระเหยออกไปที่บิรเวณผิวด้านบนทำให้เกิดสภาพการอิ่มตัวยิ่ง华ด และเกิดการตกรถิกตามมา และเช่นเดียวกันกับ Cooling crystallization การตกรถิกใน Batch mode มีข้อเสียคือทำให้ขนาดของรถิกที่ได้ไม่สม่ำเสมอ วิธีการแก้ไขปัญหาดังกล่าวคือพยายามทำให้การระเหยคงที่ที่สุด แต่ถึงแม้ว่ามีการปรับปรุงตามวิธีการดังกล่าวแล้วก็ตาม ประสิทธิภาพของ การตกรถิกใน Batch mode ก็ยังน้อยกว่าใน Continuous mode เช่นเดิม ลักษณะความสามารถในการละลายของสารที่เหมาะสมจะใช้กับวิธีการตกรถิกแบบ Evaporative เป็นดังรูปที่ 2.7 และ 2.8



รูปที่ 2.7 ความสามารถในการละลายของสารละลายอินทรีย์



รูปที่ 2.8 ความสามารถในการละลายของสารละลายอินทรีย์

### 2.3.3 Vacuum Crystallization

การตกผลึกประเภทนี้ สารละลายจะถูกทำให้ระเหยและทำให้เย็นตัวลงในเวลาเดียวกัน โดยการลดความดันและอุณหภูมิ การทำให้เกิดสูญญากาศ (Vacuum) จะทำหนึ่งของไอลด้วยอาจจะทำได้ถึง 6 ระดับขึ้น ในขณะเกิดการระเหย สารละลายจะเกิดการสูญเสียพลังงานส่วน

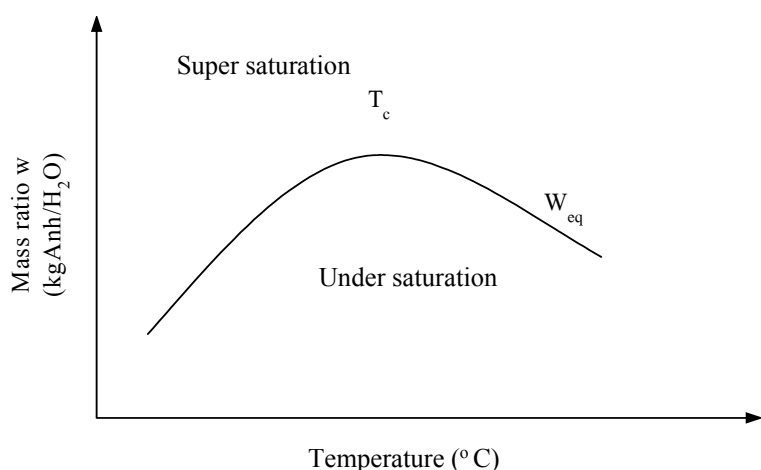
หนึ่งไปเพื่อใช้ในการระเหย (ความร้อนแห่งของการถ่ายเป็นไออกซิเจน) ทำให้สารละลายเย็นตัวลงและเข้าสู่สภาวะอิ่มตัวยิ่งขวดและตกผลึกออกมานำางล่วง ปัญหาที่เกิดขึ้นบ่อยๆ ของการตกผลึกประเทกนี้คือการเกิดตะกรันขึ้นที่พนังภายในของอุปกรณ์ วิธีแก้ไขคือการล้างอุปกรณ์ด้วยตัวทำละลายหรือใช้สารละลายที่มีความเข้มข้นต่ำกว่าความเข้มข้นที่สภาวะอิ่มตัวมาก ก็ได้

#### 2.3.4 Drowning-out Crystallization

เป็นกระบวนการตกผลึกโดยการเติมสารบางประเทกลงไปในสารละลายเพื่อช่วยลดความสามารถในการละลายของตัวถูกละลาย ทำให้เกิดการอิ่มตัวยิ่งขวด ได้รับชื่อสารที่เติมลงไปเรียกว่า Displacement agent หรือ impurity การตกผลึกของสารอินทรีย์หลายประเทกทำได้โดยการเติมสารอินทรีย์ลงไป กระบวนการตกผลึกแบบนี้สามารถใช้ร่วมกับกระบวนการตกผลึกแบบอื่นได้ ซึ่งบางครั้งสามารถช่วยประหัดพลังงานในการทำให้เกิดการระเหยหรือการทำความเย็นได้เป็นอย่างมาก

#### 2.3.5 Pressure Crystallization

เป็นกระบวนการที่ใช้กับสารละลายประเทกที่ความสามารถในการละลายเพิ่มขึ้นตามอุณหภูมิจนถึงระดับหนึ่ง หลังจากนั้นเมื่ออุณหภูมิขึ้นอีกความสามารถในการทำละลายจะลดลงดังแสดงในรูปที่ 2.9



รูปที่ 2.9 ความสามารถของการละลายของสารละลายบางประเทก

วิธีการตกผลึกจะทำโดยให้ความร้อนที่อุณหภูมิสูงกว่าค่าอุณหภูมิสูงสุดในถังอัดความดัน การให้ความดันนั้นเพื่อไม่ให้ตัวถูกละลายระเหยขึ้นมาได้ เมื่อให้ความร้อนมากขึ้นจนกระทั่งอุณหภูมิสูงกว่าอุณหภูมิ  $T_c$  จนกระทั่งเกิดสารละลายอิ่มตัวยิ่งขวดจะทำให้เกิดการตกผลึกออกมาน

### 2.3.6 Reaction Crystallization

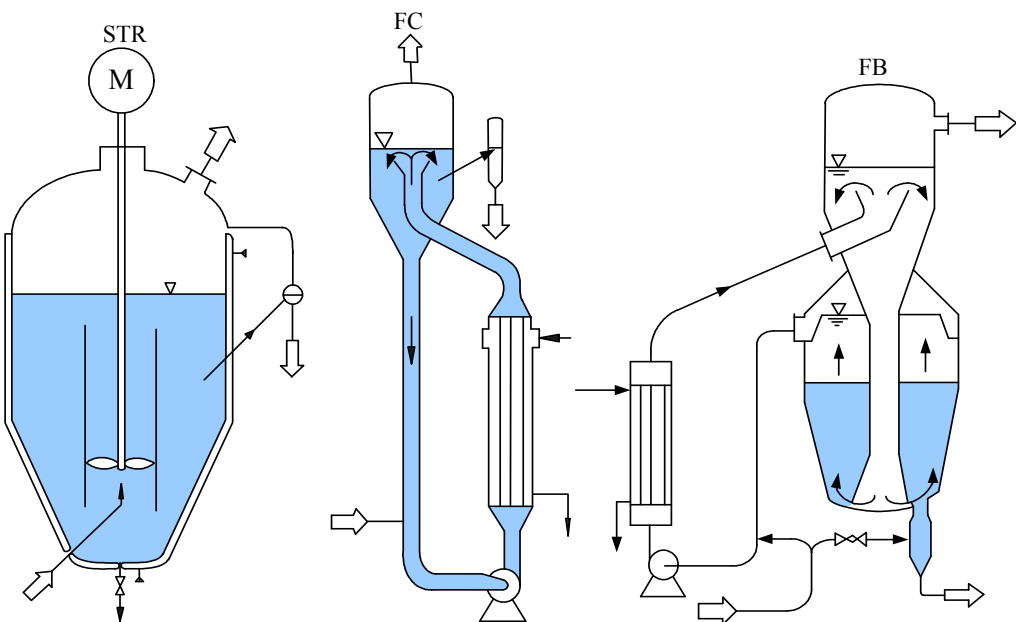
เป็นการนำสารต่างๆ แต่ส่องชนิดขึ้นไปมาทำปฏิกิริยา กัน แล้วเกิดสภาพว่าอิ่มตัวยิ่งๆ วดทำให้ได้ผลึกออกมานะ เช่น การนำกรดและเบสมาทำปฏิกิริยา กัน จะได้ผลิตภัณฑ์เป็นผลึกเกลือ เป็นต้น บางครั้งเรียกว่า การตกผลึกแบบนี้ว่า Precipitation crystallization

สำหรับการตกผลึกจากสารหลอมเหลว นั้นสามารถแยกประเภทได้เป็นสองกรณีคือ กรณีที่ 1 ผลึกเกิดขึ้นเป็นชั้นบาง แยกตัวออกจากสารหลอมเหลว ผลึกที่เกิดไม่ได้ผสมอยู่ในตัวสารหลอมเหลว

กรณีที่ 2 ผลึกผสมอยู่ในสารหลอมเหลว ไม่ได้เกิดการเกาะกันเป็นชั้นของผลึก การตกผลึกจากสารหลอมเหลวมีกลไกที่ยุ่งยากซับซ้อนกว่าการตกผลึกจากสารละลายมากต้องอาศัยอุปกรณ์ในการตกผลึกที่ยุ่งยากซับซ้อนกว่าเนื่องจากมีกระบวนการถ่ายเทความร้อนที่จะต้องคำนึงถึงด้วย

## 2.4 อุปกรณ์สำหรับกระบวนการตกผลึกและการเลือกใช้

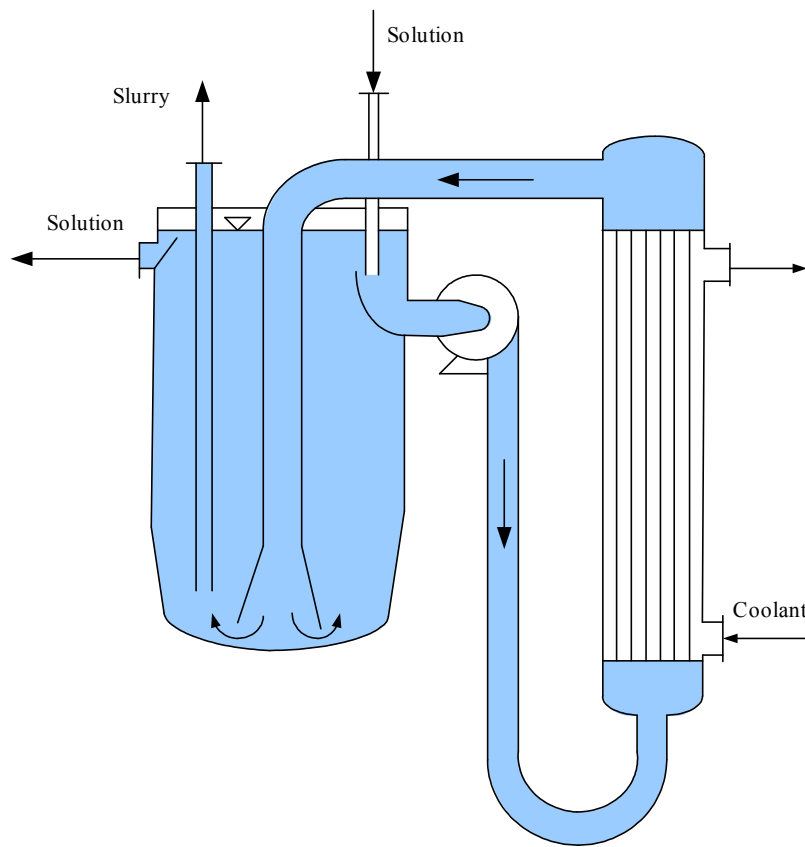
การเลือกใช้อุปกรณ์ในการตกผลึกขึ้นอยู่กับกระบวนการต่างๆ ที่เกี่ยวข้องและเป็นปัจจัยที่สำคัญต่อการตกผลึกและการไหลภายในถังตกผลึกที่ทำให้เกิดการผสมกันดีและเกิดสภาพว่าอิ่มตัว สำหรับการตกผลึก โดยอุปกรณ์ที่เลือกใช้นั้นขึ้นอยู่กับประเภทของการตกผลึก เช่น การตกผลึกจากสารละลายหรือการตกผลึกจากสารหลอมเหลว สำหรับการตกผลึกจากสารละลาย อุปกรณ์สำหรับการตกผลึกที่ใช้ในอุตสาหกรรมส่วนใหญ่จะแบ่งออกเป็น 3 แบบคร่าวๆ ตามลักษณะการผลักดันให้เกิดการไหลของสารละลายภายในถังตกผลึกดังนี้ แบบแรกเป็นถังตกผลึกแบบวน (Stirred vessel, STR) ภาพซ้ายมือในรูปที่ 2.10 ถังตกผลึกประเภทนี้จะใช้วิธีการผลักดันให้เกิดการไหลภายในถังโดยวิธีง่ายๆ คือใช้ใบพัดในการวนสารเพื่อให้เกิดการผสมกันอย่างทั่วถึงภายในถังตกผลึก แบบที่สอง (รูปกลาง) คืออุปกรณ์ตกผลึกแบบหมุนด้วยแรง (Forced Circulation , FC) วิธีการที่จะทำให้สารละลายเกิดการหมุนวนภายในระบบจะเป็นการใช้เครื่องมือประเภทหีบ เช่น ปั๊ม มากช่วยในการขับดันให้สารละลายเกิดการไหลวนในระบบ โดยระบบจะถูกแยกออกเป็นสองส่วน ด้วยกันคือส่วนของการทำความเย็นและส่วนของการตกผลึก สารละลายรวมทั้งผลึกในถังบางส่วนจะถูกปั๊มดูดเข้าไปสู่ห้องทำความเย็นหรือความร้อนเพื่อทำให้เกิดสภาพว่าอิ่มตัวยิ่งๆ แล้วไหลวนกลับเข้ามาที่ห้องสำหรับตกผลึกอีกครั้งข้อเสียของทั้งสองแบบข้างต้นคือ อุปกรณ์ที่นำมาช่วยผลักดันให้เกิดการไหลจะต้องมีขนาดใหญ่ให้เกิดการแตกหักเสียหาย ซึ่งระบบทั้งสองนี้ไม่เป็นที่นิยมในปัจจุบัน



รูปที่ 2.10 แผนภาพถังตกผลึกที่ใช้ในอุตสาหกรรม (Mersmann, 2000)

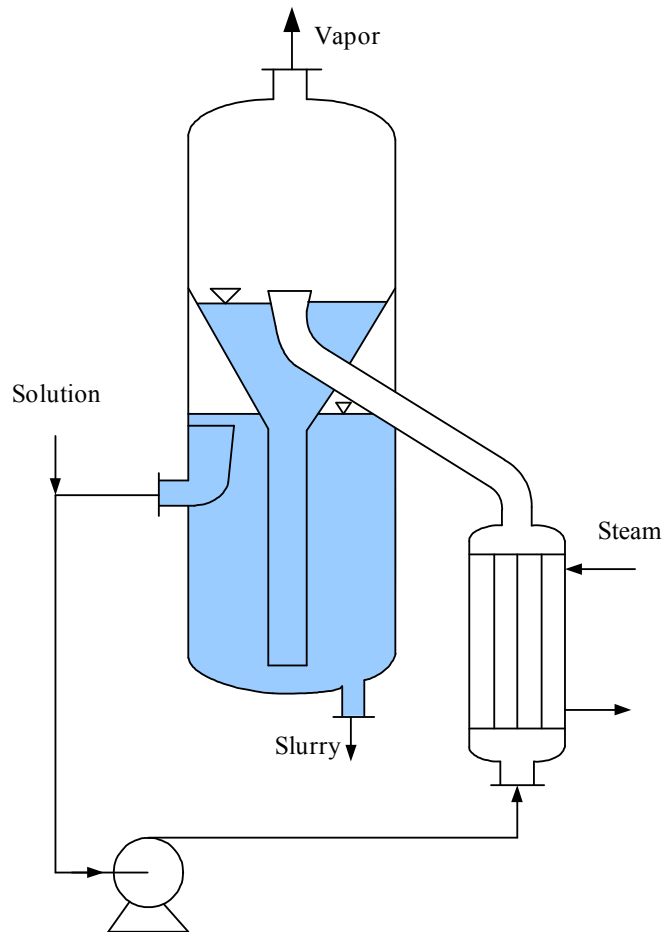
ข้อเสียของถังตกผลึกทั้งสองแบบนี้ทำให้มีการพัฒนาระบบการตกผลึกที่ดีกว่า ปัจจุบันนิยมใช้อุปกรณ์แบบที่ 3 ซึ่งแสดงในรูปที่ 2.10 ภาพรวมมีอุปกรณ์แบบ Fluidized bed อุปกรณ์แบบนี้จะใช้ปืนเข้ามาช่วยในการผลักดันการไหลเข่นเดียวกับแบบที่สอง แต่จะออกแบบให้กลไกการไหลของสารละลายเป็นตัวช่วยแยกผลึกเพื่อให้ผลึกมีคุณภาพที่ดีขึ้น ซึ่งรูปร่างของถังตกผลึกจะซับซ้อนกว่ากรณีแบบที่สอง ข้อดีของอุปกรณ์ประเภทนี้ คือ ผลึกที่ได้มีขนาดสม่ำเสมอมากกว่าสองแบบแรก ความแตกต่างเมื่อเทียบกับสองแบบแรก คือ ส่วนทำความเย็นหรือส่วนให้ความร้อนจะถูกแยกออกจากมาตรฐานอยู่ด้านนอก และจัดระบบการไหลภายในถังให้ผลึกที่มีขนาดโตตกลงไปด้านล่าง ผลึกขนาดเล็กเท่านั้นที่จะไหลไปตามสารละลายเข้าอุปกรณ์ที่ขับดันให้เกิดการไหลวน (โดยประมาณ เล็กกว่า 100 ไมครอน ซึ่งผลึกขนาดนี้จะไม่ถูกในพัดดีให้แตก แต่จะไหลไปตามส่วนที่เป็นของเหลว) ส่วนที่ไหลเข้าไปในตัวให้ความร้อนหรือตัวทำความเย็นจะถูกแยกเป็นสารละลายอิ่มตัวยิ่งๆ ซึ่งจะถูกแยกส่วนโดยสิ้นเชิงกับบริเวณที่เกิดการตกผลึก บริเวณนี้เรียกได้ว่าเป็น Virtual crystal free zone คุณภาพของผลึกที่ได้โดยรวมจะดีกว่าสองแบบแรกมาก มีความสม่ำเสมอมากกว่า และผลึกมีขนาดโตกว่า

ถังตกผลึกทั้งสามแบบดังกล่าวข้างต้น สามารถนำไปประยุกต์ใช้กับกระบวนการการตกผลึกประเภทต่าง ๆ เช่น การตกผลึกแบบทำความเย็น การตกผลึกแบบให้ความร้อน หรือการตกผลึกแบบทำปฏิกิริยา ทั้งนี้ขึ้นกับลักษณะของการตกผลึกที่เหมาะสมสำหรับสารละลายแต่ละประเภท ตัวอย่างของถังตกผลึกที่มีใช้ในอุตสาหกรรมทั่ว ๆ ไปมีดังต่อไปนี้



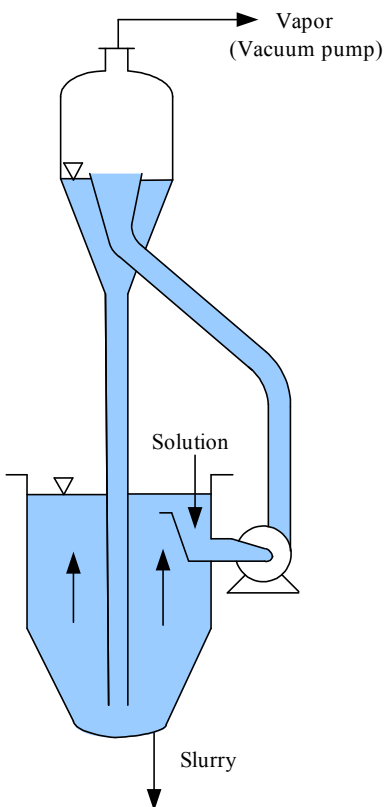
รูปที่ 2.11 ถังตกผลึกแบบทำความเย็นที่มีปั๊มทำให้เกิดการไหลวนและตัวทำความเย็นด้านนอก

รูปที่ 2.11 แสดงอุปกรณ์การตกผลึกแบบทำความเย็น ซึ่งประกอบไปด้วยอุปกรณ์ขับดันให้สารละลายหมุนวนในระบบ และส่วนทำความเย็นอยู่ภายนอก กรณีนี้ของไอลจฉุกปล่อยเข้าสู่ระบบอย่างช้า ๆ ความแตกต่างของอุณหภูมิของสารละลายภายในอุปกรณ์กับสารละลายที่ใส่เข้าไปที่ทางเข้าจะถูกควบคุมไม่ให้เกิน  $2^{\circ}\text{K}$  หลังจากนั้นจะถูกปั๊มดูดเข้าสู่ส่วนทำความเย็น เกิดสภาวะการอิ่มตัวยิ่งขวด และไอลวนกลับมาภายในถังอีกครั้ง เมื่อถึงบริเวณที่ปากท่อขยายออก จะเกิดการตกผลึกขึ้นที่บริเวณดังกล่าว



รูปที่ 2.12 ถังตกผลึกแบบทำให้เป็นไอที่มีหน้มือต้มภายในออก

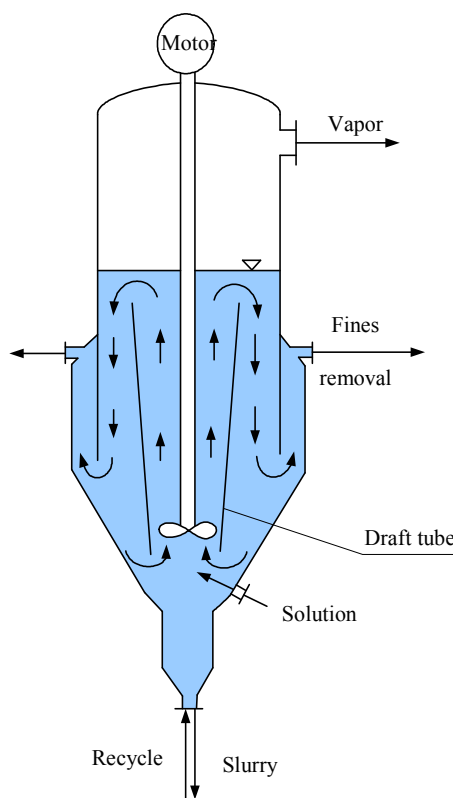
รูปที่ 2.12 เป็นอุปกรณ์การตกผลึกแบบทำให้เป็นไอ ซึ่งใกล้เคียงกับแบบทำความเย็นที่แสดงในรูปที่ 2.11 ความแตกต่างอยู่ที่การเปลี่ยนจากการให้ความเย็นเป็นการให้ความร้อน แล้ว ให้หลักลับเข้าถัง บริเวณผิวของสารละลายด้านบน (Free surface) จะเกิดการระเหยกลาญเป็นไอ ทำ ให้สารละลายเป็นมีความอิ่มตัวยิ่งขวดและเกิดการตกผลึก ผลึกที่มีขนาดโตจะตกกองลงไป ด้านล่าง สารละลายที่เหลือจะถูกดูดออกจากด้านบน รวมถึงอนุภาคเล็ก ๆ ด้วย เพื่อไปรวมกับ สารละลายใหม่ แล้วส่งกลับมาในระบบอีกรั้งเพื่อให้ความร้อนหมุนเวียนกันไปเรื่อย ๆ เป็นระบบ



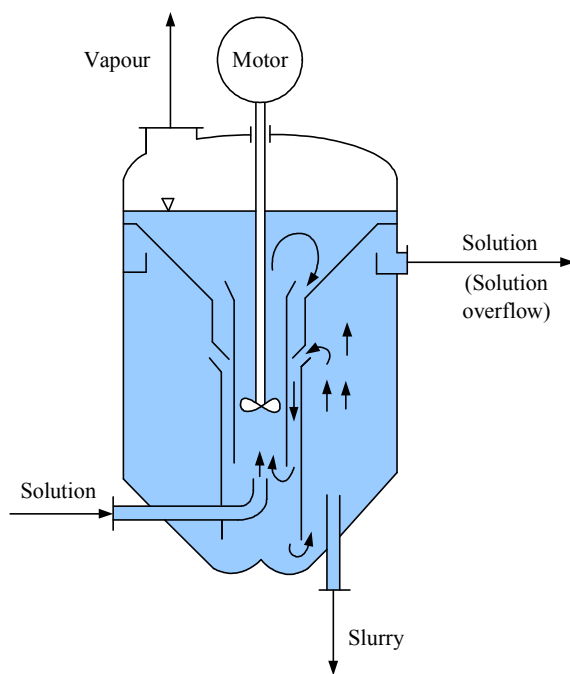
รูปที่ 2.13 ถังตกรถลีกแบบสุญญากาศที่มีการแยกถังตกรถลีกและถังสำหรับการระเหย

รูปที่ 2.13 เป็นอุปกรณ์ตกรถลีกแบบสุญญากาศซึ่งแยกชุดถังตกรถลีกกับถังที่เกิดการระเหยออกจากกันโดยไม่มีอุปกรณ์แลกเปลี่ยนความร้อนเข้ามาเกี่ยวข้อง อุปกรณ์ดังกล่าวถือว่าเป็นระบบเปิด (Opening model) คือ ส่วนที่เป็นตัวถังสำหรับตกรถลีกจะอยู่ภายใต้ความดันบรรยายกาศ

รูปที่ 2.14 เป็นอุปกรณ์แบบสุญญากาศเช่นกัน แตกต่างกันตรงที่มีอุปกรณ์ปั๊มภายในถังเพื่อทำให้เกิดการผสมกันและไม่ได้แยกถังส่วนที่ระเหยกับส่วนที่ตกรถลีกออกจากกัน ซึ่งคล้ายกับแบบที่นิยมใช้ในอุตสาหกรรมก่อนหน้านี้ แต่ปรับปรุงตัวถังให้กล้ากว่าเดิม ให้สามารถบรรจุส่วนช่วยในการแยกรถลีกได้มากขึ้น ส่วนที่ให้ลอกดันไปและส่วนให้หล่อผ่านใบพัดจะเป็นเพียงสารละลายที่มีแค่ผลึกขนาดเล็กปนอยู่เท่านั้น รถลีกขนาดใหญ่จะตกตะกอนสู่เบื้องล่างและถูกดูดออกไป

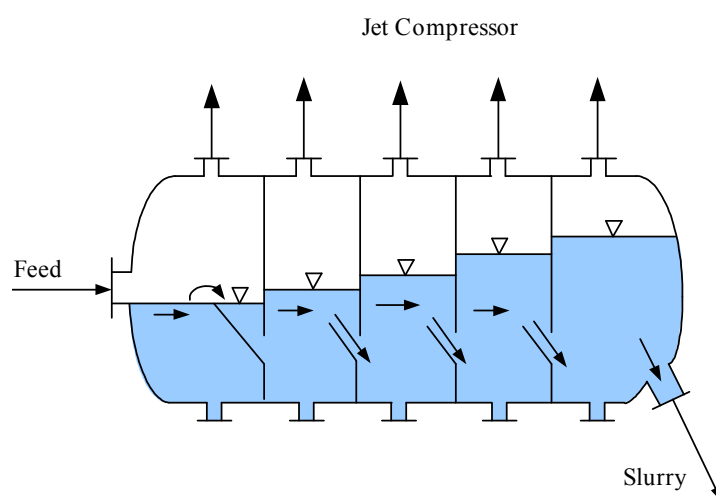


รูปที่ 2.14 ถังตอกผลึกแบบสุญญากาศที่ทำงานอย่างต่อเนื่องและมีอุปกรณ์สำหรับปั่น



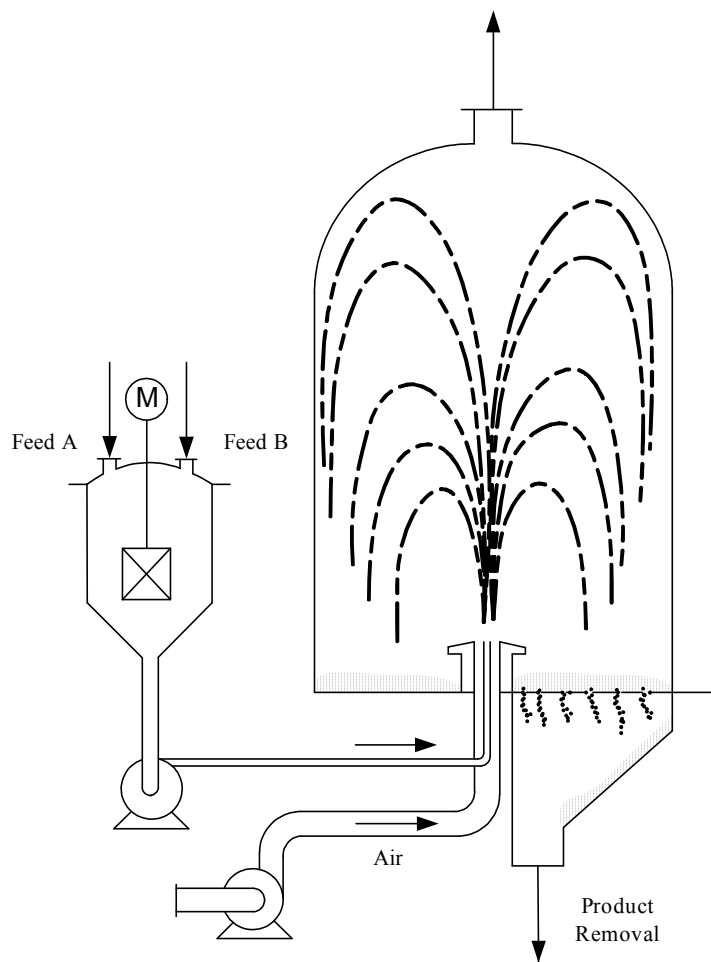
รูปที่ 2.15 ถังตอกผลึกแบบสุญญากาศที่มีอุปกรณ์สำหรับปั่นบรรจุอยู่ภายในท่อ

รูปที่ 2.15 เป็นอุปกรณ์แบบสุญญากาศที่มีการปรับปรุงให้มีท่อภายในสองชั้น สำหรับรูปที่ 2.16 เป็นอุปกรณ์แบบสุญญากาศที่ไม่มีอุปกรณ์ขับดันของไอลเข้ามาเกี่ยวข้อง ของไอลจะไอลต่อเนื่องทางเดียว โดยเริ่มจากห้องที่มีความดันต่ำกว่าความดันบรรยายกาศห้องแรกทางด้านซ้ายมือซึ่งจะถูกทำให้เย็นและไอลต่อเนื่องไปยังห้องถัดไปโดยความดันจะลดต่ำลงเรื่อยๆ จนกระทั่งห้องสุดท้ายที่มีความดันต่ำที่สุด ผลิตภัณฑ์ที่ได้จะออกที่ทางออกเพียงครั้งเดียว ไม่มีการไอลวนกลับเข้ามาในระบบใหม่ อุปกรณ์แบบนี้เหมาะสมสำหรับการทำความเย็นแบบสุญญากาศเท่านั้น ไม่เหมาะสมกับแบบที่ทำให้เกิดการระเหย



รูปที่ 2.16 ลังตอกพลีกแบบสุญญากาศในแนวราบ 5 ชั้นที่ไม่มีส่วนที่เคลื่อนที่

อุปกรณ์ตอกพลีกแบบสุดท้ายเป็นอุปกรณ์ที่ทำการตอกพลีกโดยการเป่าอากาศและฉีดละล่องของสารละลายขึ้นไปพร้อมกัน ตัวทำละลายจะเกิดการระเหยและลอยออกจากไปที่ห่อค้านบน ส่วนตัวถูกละลายจะตอกพลีกและตกลงมาด้านล่าง ในรูปที่ 2.17 เป็นภาพการทำพลีกของแคลเซียมไนเตรทซึ่งเคมถูกละลายอยู่ในแมมนีนิมไนเตรท



รูปที่ 2.17 การตอกผลึกในกระบวนการผลิตแคคเลเซียมไนเตรท

## 2.5 กระบวนการดูดออกแบบไอโซไซเคนติก (Isokinetic Withdrawal)

ขั้นตอนที่สำคัญในกระบวนการตอกผลึกน้ำตาลก็คือการดูดออกของจากถังตอกผลึก รูปแบบการให้บริเวณใกล้ๆ ท่อดูดออกทั้งภายในท่อ และภายนอกท่อเพื่อให้ได้ผลึกที่มีคุณภาพดีจะต้องเป็นแบบไอโซไซเคนติก ซึ่งการดูดออกแบบไอโซไซเคนติกสามารถอธิบายได้ดังต่อไปนี้

พิจารณาการให้บริเวณที่ร้อนนอกเข้าสู่ท่อดูดออกซึ่งเป็นฟังก์ชันของความเร็วและพื้นที่หน้าตัดดังสมการต่อไปนี้

$$Q = AV = \text{constant} \quad (2.4)$$

ดังนั้น

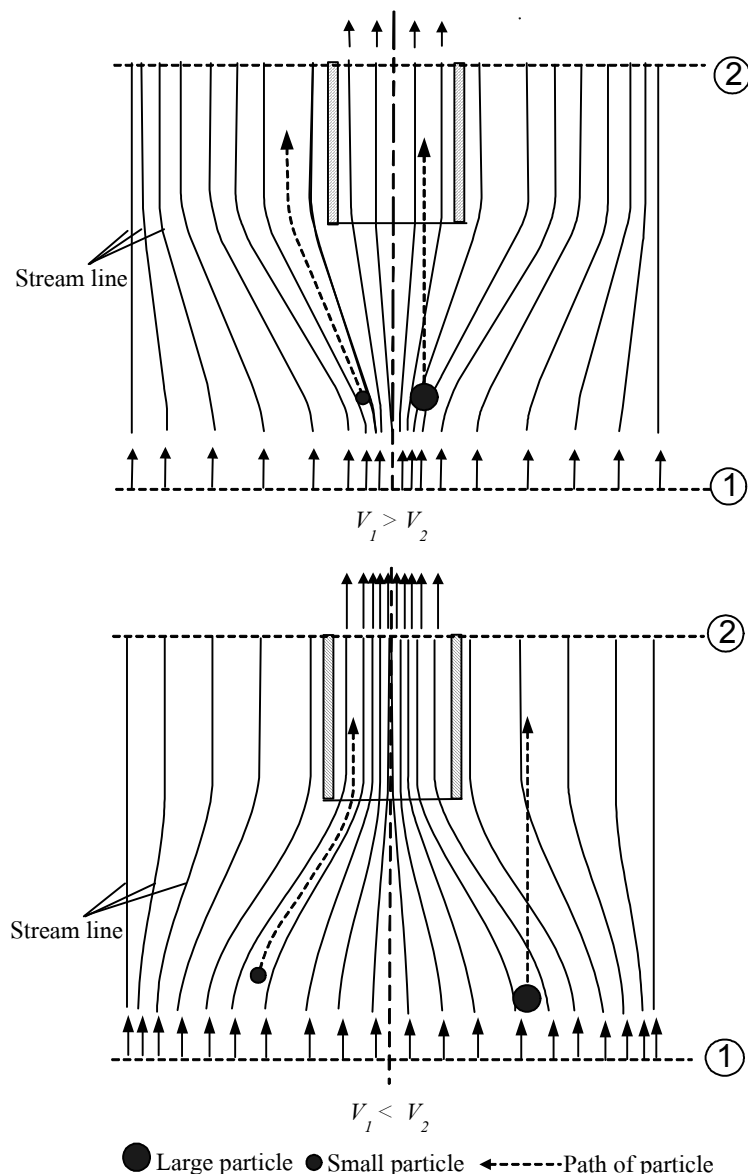
$$A_1 V_1 = A_2 V_2 \quad (2.5)$$

ตัวที่อยู่ หมายถึงตำแหน่งที่น้ำ

## ตัวท้อบ 2 หมายถึงคำแห่งง่ายน้ำ

หากความเร็วเฉลี่ยภายในท่อมีค่ามากกว่าความเร็วภายนอกท่อ นั่นคือ  $V_1 > V_2$  ของไหลดีจะไหลดเข้าสู่ท่อจะต้องไหลดผ่านพื้นที่ภายนอกท่อที่กว้างกว่าพื้นที่หน้าตัดของท่อ เป็นเหตุให้รูปทรงความเร็วและเส้นแนวการไหลดมีแนวโน้มลู่เข้าสู่ปากท่อคุดออก (ดูรูปที่ 2.18) ในทางกลับกัน หากความเร็วเฉลี่ยภายในท่อมีค่าน้อยกว่าความเร็วภายนอกก็จะเกิดปรากฏการณ์ที่ทำให้มองเห็นรูปร่างความเร็วและเส้นแนวการไหลดมีแนวโน้มลู่ออกจากปากท่อ ทั้งนี้การเกิดปรากฏการณ์สองประเพณฑ์ที่กล่าวมาเรียกว่าเป็นการคุดออกแบบไม่เป็นไอโซไคเอนติก หากความเร็วเฉลี่ยภายในท่อมีค่าโดยประมาณเท่ากับความเร็วภายนอกท่อ จะไม่ทำให้เกิดการลู่เข้าหรือบานออกจากท่อคุดออกซึ่งเราเรียกปรากฏการณ์นี้ว่าการคุดออกแบบไอโซไคเอนติก

การคุดออกแบบไอโซไคเอนติกจะมีผลกระทบต่อกระบวนการตกผลึกในแม่น้ำของการแบ่งแยก (Classification) ของสารละลายน้ำในแม่น้ำ (Mersmann, 1995) ผลกระทบจากการคุดออกที่ไม่เป็นไอโซไคเอนติกคือจะทำให้เกิดการแยกขนาดของผลึก กล่าวคือการที่ความเร็วเฉลี่ยภายในท่อ มีค่ามากกว่าความเร็วเฉลี่ยภายนอกท่อและเกิดการการลู่เข้าสู่ท่อคุดออกดังได้กล่าวไว้ข้างต้น จะทำให้ผลึกที่มีขนาดเล็ก ๆ ที่มักจะลอยตามเส้นแนวการไหลดสามารถลอยเข้าสู่ท่อคุดออกได้โดยง่ายในขณะที่ผลึกที่มีขนาดใหญ่ ซึ่ง มีน้ำหนักมากกว่า จะลอยตัวตามเส้นแนวการไหลดผ่านไปได้โดยไม่เข้าสู่ท่อคุดออก เนื่องจากของไหลดมีแรงที่จะผลักเม็ดผลึกในทิศที่จะลู่เข้าสู่ปากท่อไม่มากพอ ปรากฏการณ์ที่เกิดขึ้นนี้จะทำให้ผลึกที่ลอยเข้าสู่ท่อคุดออกส่วนใหญ่เป็นผลึกที่มีขนาดเล็ก ทำให้เกิดการแบ่งแยกขนาดของผลึก ผลึกขนาดเล็กจะถูกดึงออกจากแม่น้ำ คงเหลือเฉพาะผลึกขนาดใหญ่ไว้ในแม่น้ำไปในทางกลับกันหากความเร็วเฉลี่ยภายในท่อคุดออกมีค่าต่ำกว่าความเร็วภายนอกท่อและเกิดการเบี่ยงออกจากท่อ ก็จะทำให้ผลึกที่มีขนาดเล็กซึ่งไหลดตามเส้นแนวการไหลดเกิดการไหลดเบี่ยงออกจากท่อตามไปด้วย ในขณะที่ผลึกขนาดใหญ่จะสามารถลอยเข้าสู่ท่อคุดออกได้ กรณีนี้จะทำให้เกิดการแบ่งแยกขนาดของผลึก โดยที่ผลึกที่ยังคงเหลืออยู่ในแม่น้ำส่วนใหญ่เป็นผลึกขนาดเล็ก ๆ ส่วนผลึกขนาดใหญ่จะถูกแยกออกภายนอกแม่น้ำ รูปที่ 2.18 เปรียบเทียบผลกระทบของการคุดออกแบบไม่เป็นไอโซไคเอนติก



รูปที่ 2.18 การไฟลของอนุภาคเมื่อการดูดออกไม่เป็นไอโซไคเนติกส์

(Mersmann and Rennie, 2000)

โดยปกติในการตกผลึกต้องการการผสมกันเป็นอย่างดีภายในถังผลึก ตลอดจนสารละลายที่ดูดออกมีคุณสมบัติเหมือนสารละลายภายในถังทุกประการ ซึ่งจะทำให้การกระจายตัวของขนาดของผลึกภายในถังเป็นแบบเอ็กซ์ไปเนนเชียลและให้ผลึกที่มีคุณภาพ การแบ่งแยกขนาดของผลึกดังกล่าวจะทำให้สารละลายภายในถังมีความหนาแน่นของผลึก และการกระจายตัวของขนาดของผลึกเปลี่ยนไป การเจริญเติบโตของผลึกซึ่งขึ้นอยู่กับคุณสมบัติของสารละลายภายในถังก็จะเปลี่ยนแปลงไปด้วย ทำให้การควบคุมคุณภาพของขนาดของผลึกเป็นไปได้ยาก ดังนั้นเป้าหมายของ

การดูดออกที่ต้องการให้เกิดขึ้นในกระบวนการตกรถหลักจะเป็นการดูดออกแบบ “ไอโซไกเนติก” ซึ่งจะทำให้การควบคุมการตกรถหลักเพื่อให้ได้ผลลัพธ์คุณภาพดีสามารถทำได้ง่ายขึ้น

## 2.6 งานวิจัยที่เกี่ยวข้องกับการไหลในถังตกรถหลักและถังกวาน

ปัจจัยที่มีผลกระทบต่อการตกรถหลักนั้นมีมาหลาย ลักษณะการไหลในถังตกรถหลักก็เป็นอีกปัจจัยหนึ่งที่มีผลกระทบเป็นอย่างมากต่อการเริ่มต้นโดยของรถหลัก เช่น การไหลที่ทำให้เกิดการผสมกันภายในถังรถหลักที่ไม่ดีพอจะก่อให้เกิดการกระจายความหนาแน่นของรถหลักที่ไม่สม่ำเสมอ และลักษณะการกระจายความหนาแน่นของรถหลักที่ไม่เท่ากันภายในถังจะส่งผลให้เกิดความไม่สม่ำเสมอของสภาพความอิ่มตัวอิ่งขาดของสารละลายที่แตกต่างกันในแต่ละตำแหน่งภายในถังในระหว่างการตกรถหลัก ซึ่งจะมีผลมีผลลัพธ์เนื่องไปถึงคุณภาพของรถหลักที่ได้

ในส่วนนี้จะเป็นการนำเสนองานวิจัยที่เกี่ยวข้องกับผลกระทบของการไหลภายในถังตกรถหลักทั้งจากการทดลอง การจำลองการไหลด้วยคอมพิวเตอร์ และการสร้างแบบจำลองทางคณิตศาสตร์ ตลอดจนงานวิจัยในระบบที่คล้ายกับระบบการตกรถหลัก เช่น การไหลในถังกวาน โดยมีรายละเอียดดังต่อไปนี้

Sha and Palosaari (2000) ได้ศึกษาการกระจายขนาดของรถหลัก (Crystal-size distribution) ด้วยการทดลองเพื่อชี้ให้เห็นความสำคัญและผลกระทบของการผสมกันที่ไม่สมบูรณ์ที่มีต่อการกระจายความหนาแน่นของของผสมภายในถังตกรถหลัก การทดลองดังกล่าวได้ใช้ถังตกรถหลักประเภทต่อเนื่อง (Continuous crystallizer) โดยไม่ได้พิจารณาถึงผลกระทบจากอุณหภูมิ การทดลองชี้ให้เห็นว่าการผสมกันที่ไม่สมบูรณ์ของของผสมภายในถังตกรถหลัก หรือความเข้มข้นในการผสมที่ต่างกัน ส่งผลให้การกระจายของความหนาแน่นภายในถังมีค่าไม่เท่ากัน การวิเคราะห์อัตราการเริ่มต้นโดยของรถหลักโดยใช้สมมุติฐาน MSMPR จะพบว่า อัตราการเริ่มต้นโดยของรถหลักจะขึ้นอยู่กับ Residence time เป็นหลัก แต่ในถังรถหลักที่มีการผสมกันไม่สมบูรณ์นั้น ค่าดังกล่าวจะได้รับผลกระทบจากความเข้มข้นในการผสม และตำแหน่งของห้องห่อดูดออก นอกจากนี้การผสมกันที่ไม่สมบูรณ์ยังมีผลกระทบต่อการกระจายความอิ่มตัวของสารละลายหลัก ซึ่งมีผลต่อเนื่องไปถึงการเริ่มต้นโดยของรถหลักอีกด้วย งานวิจัยนี้เน้นให้เห็นถึงผลกระทบจากการผสมกันที่ไม่สมบูรณ์ในถังรถหลักอย่างเป็นรูปธรรม เพื่อใช้เป็นแนวทางในการวิเคราะห์การตกรถหลักแบบใหม่ ซึ่งเดิมนิยมใช้สมมุติฐาน MSMPR เพื่อลดความซับซ้อนในการวิเคราะห์ นั่นคือ ต้องสมมุติฐานว่าการกระจายตัวของความหนาแน่นของรถหลักภายในถังเป็นเอกรูป แต่งานวิจัยนี้ได้เสนอว่าการผสมกันที่ไม่สมบูรณ์จะทำให้เกิดการกระจายตัวของความหนาแน่นของสารละลายภายในถัง และจะส่งผลกระทบต่อคุณภาพของรถหลัก โดยเฉพาะอย่างยิ่งในระบบที่ใหญ่ขึ้น เช่น กระบวนการตกรถหลักในอุตสาหกรรม

ซึ่งเป็นไปได้ยากที่การผสมกันภายในถังผลึกจะมีความเป็นเอกรูป การวิเคราะห์แบบเดิมที่ใช้สมมุติฐาน MSMPR จะมีความผิดพลาด เป็นผลให้การทำนายผลไม่ตรงตามความเป็นจริง

Barresi and Baldi (1987) ได้ทดลองเพื่อศึกษาปรากฏการณ์การผสมกันในถังกวนโดยสังเกตพฤติกรรมการกระจายตัวของอนุภาคในถัง ผลการทดลองที่ได้สนับสนุนงานวิจัยของ Z. Sha และคณะ (2001) ที่นำเอา Computational Fluid Dynamics (CFD) มาช่วยในการทำนายรูปทรงความเร็วและเศษส่วนปริมาตร (Volume fraction) ภายในถังตกลงผลการทดลองแสดงให้เห็นอย่างชัดเจนว่าการกระจายตัวของอนุภาคมีความเป็นเอกรูปมากขึ้นเมื่อเพิ่มความเร็วรอบของใบพัดบริเวณที่ไม่มีอนุภาคปะปนที่ส่วนบนของตัวถังจะขยายบริเวณกว้างขึ้นเมื่อความเร็วรอบของใบพัดต่ำลง และความสูงจากก้นถังของบริเวณที่มีความหนาแน่นของอนุภาคสูงที่สุดจะเพิ่มขึ้นเมื่อเพิ่มความเร็วของใบพัด เช่นกัน นอกจากนี้อนุภาคขนาดใหญ่เกิน 300 ไมครอนจะไม่สามารถถูกดึงดูดในถังที่ความเร็วใบพัด 600 รอบต่อนาที ในขณะที่บริเวณส่วนบนของถังจะมีเฉพาะอนุภาคเล็ก ๆ เท่านั้นที่สามารถถูกดูดขึ้นไปได้

Shamlou, Ayazi and Koutsakos (1989) ได้ทำการทดลองโดยใช้ความเข้มข้นในการผสมที่แตกต่างกันหลายค่า ในถังตกลงผลึกที่มีก้นมน ค่าของความเข้มข้นในการผสมที่ต่างกันจะทำให้เกิดการกระจายความหนาแน่นซึ่งไม่เหมือนกัน อีกทั้งยังพบว่า ที่ค่าความเข้มข้นของการผสมคงที่ขนาดของอนุภาคที่ต่างกันทำให้ค่าการกระจายของความหนาแน่นมีความแตกต่างกันออกไปอีกดังนั้นเมื่อมีผลึกหลายขนาดภายในถังจะทำให้ดำเนินการในถังมีการกระจายความหนาแน่นไม่เท่ากัน ยิ่งไปกว่านั้นการกระจายขนาดของผลึกในท่อคุดออก และภายในถังตกลงผลึกมีความแตกต่างกันถึงแม้ความเข้มข้นในการผสมจะมีค่าคงที่ ซึ่งทำให้เวลาที่ของไอล่าไอลาร์กินในถังกับเวลาที่ผลึกถูกดึงดูดในถังผลึกมีค่าแตกต่างกัน นอกจากนี้เวลาที่ถูกดูดขึ้นมาในถังของผลึกขนาดต่างกันจะมีค่าไม่เท่ากัน

Buurman, Resoort and Plaschkes (1986) ได้ศึกษาวิจัยโดยทำการทดลองกับถังปั่นทึ้งขนาดใหญ่และขนาดเล็กเพื่อหากฎการขยายส่วน (scale up rule) และหาความสัมพันธ์ของการกระจายตัวของอนุภาคระหว่างถังขนาดใหญ่กับขนาดเล็ก โดยใช้ Pitched blade turbines (PBT) ใน การปั่นของผสมภายในถัง เพื่อพิจารณาการผสมในบริเวณต่าง ๆ ผลลัพธ์ที่ได้แสดงให้เห็นว่าโดยส่วนใหญ่บริเวณที่มีการกระจายความหนาแน่นของผลึกค่อนข้างสูงและสม่ำเสมอจะอยู่บริเวณด้านล่างของถัง ส่วนบริเวณด้านบนของถังนั้นจะมีการกระจายความหนาแน่นของผลึกน้อยกว่าหรือบางส่วนอาจจะไม่มีอนุภาคอยู่เลย (clear liquid layer) ซึ่งลักษณะดังกล่าวขึ้นอยู่กับความเร็วในการปั่นตลอดจนลักษณะของใบพัดและตัวถัง รวมทั้งลักษณะทางกายภาพของระบบ อย่างไรก็ตาม

สิ่งที่เห็นได้อย่างเด่นชัดก็คือ ระดับความสูงของบริเวณที่มีอนุภาคผสมอยู่นั้นเป็นสัดส่วนโดยตรงกับความเร็วของ การปั่น

การจะได้ค่าการกระจายตัวของความหนาแน่นของสารละลายในถังผลึกตลอดจนตัวแปรอื่น ๆ ที่มีผลต่อการเจริญเติบโตของผลึกจากการทดลองนั้นเป็นเรื่องยาก เนื่องจาก การวัดค่าต่าง ๆ ในถังทดลองไม่ว่าจะในงานวิจัยหรือแม้แต่ในวงการอุตสาหกรรมมีขั้นตอนที่ยุ่งยากซับซ้อนตลอดจนอุปกรณ์และเครื่องมือมีราคาแพง อีกทั้งค่าตัวแพงมาก ไม่สามารถวัดได้ทุกจุดภายในถัง ส่งผลให้การศึกษาปัจจัยต่าง ๆ ในถังทดลองโดยการนำความรู้ทาง Computational Fluid Dynamics (CFD) มาช่วยในการทำนายเป็นอีกทางเลือกหนึ่งที่น่าสนใจ

Bakker, Fasano and Myers (1998) ได้นำ CFD มาใช้ในงานวิจัย โดยงานวิจัยนี้มีจุดประสงค์หลักอยู่ที่การศึกษาผลกระบวนการของตำแหน่งการวางใบพัดในถังกว้าง จำนวนของใบพัดในถังปั่น ความเร็ว รอบของใบพัด ประเภทของใบพัดและขนาดของใบพัด โดยทำการจำลองการไหลในถังปั่นแบบ ทรงกระบอก สิ่งที่แตกต่างจากงานวิจัยของ Sha et al, (2001) คือ Bakker et al, (1998) ไม่ได้เติมอนุภาคขนาดต่าง ๆ ลงไป แต่ใช้จำลองการไหลแบบเฟสเดียว และพิจารณาฐานปรคลวมเร็วประกอบ กับผลการทดลองซึ่งเติมอนุภาคลงในถังปั่น ซึ่งมีข้อดีคือการจำลองการไหลแบบเฟสเดียวมีความซับซ้อนน้อยกว่าการทำนายการไหลแบบหลายเฟส ซึ่งเป็นประโยชน์ต่องานวิจัยอื่น ๆ ในการทำนายลักษณะการกระจายตัวของผลึกหรืออนุภาคในภาชนะต่าง ๆ โดยมองจากรูปปรคลวมเร็ว และเส้นแนวการไหล ผลที่ได้จากการจำลองในระบบใบพัดเดียวเมื่อพิจารณาจากรูปปรคลวมเร็ว และเส้นแนวการไหล พบร่วมกับการวางใบพัดในตำแหน่งที่สูงหรือการใช้ใบพัดขนาดใหญ่จะทำให้เกิดการไหลข้อนกลับ การไหลในถังจะแยกออกเป็นสองส่วนอย่างชัดเจน คือส่วนบนเหนือใบพัดและส่วนล่างใต้ใบพัด และเกิดการหมุนวนที่ตำแหน่งกลางก้นถัง ซึ่งเป็นสาเหตุสำคัญของการตกร่องของผลึกและขับตัวกันเป็นก้อนแข็งที่กันถัง การเพิ่มความเร็วของการหมุนของใบพัด หรือลดระดับความสูงจากก้นถังหรือแม้แต่การลดขนาดของใบพัดจะช่วยแก้ปัญหาการตกร่อง ที่กันถังได้บ้าง และสามารถลดปัญหาการไหลข้อนกลับของของไหลซึ่งทำให้การไหลแบ่งเป็นสอง วงรอบได้ด้วย การใส่จำนวนใบพัดเพิ่มเข้าไปโดยที่ระยะไม่ห่างจากใบพัดในแรกมานักจะทำให้รูปรูปคลวมเร็วมีความเป็นเอกลักษณ์มากขึ้น เมื่อเทียบกับผลการทดลองแล้วจะเห็นว่าการกระจายตัวของอนุภาคเป็นเอกลักษณ์นี้ เช่นกัน หากระยะที่ว่างของใบพัดห่างกันจนเกินไปจะทำให้รูปรูปคลวมเร็วมีการไหลข้อนกลับเกิดเป็นวงรอบสองวง เมื่อเทียบกับผลการทดลองจะเห็นว่าเกิดความแตกต่างของขั้นของผสมที่มีการกระจายของความหนาแน่นต่างกัน ได้อย่างชัดเจนซึ่งหมายความว่า การผสมกันยังไม่ดีพอนั่นเอง และเนื่องจากใบพัดที่จะใช้ในถังปั่นมีได้หลายประเภทในการทดลอง

และการจำลองได้ใช้ใบพัดสองประเทตซึ่งนิยมใช้ในห้องปฏิบัติการ โดยให้ผลการทดลองและผลการจำลองที่คล้ายคลึงกัน

การพบลักษณะการไหลข้อนกลับโดยพิจารณาจากรูปด้านข้างความเร็วและเส้นแนวการไหลในถังของ Bakker et al, (1998) นี้สอดคล้องกับการทดลองของ Jaworski et al,(1991) ซึ่งใช้ Laser Doppler Velocimetry (LDV)ในการตรวจความเร็ว และพบว่าปรากฏการณ์ดังกล่าวทำให้บริเวณก้นถังมีความเร็วตามแนวแกนของถังต่ำกว่าบริเวณอื่น ซึ่งจะทำให่อนุภาคเกิดการตกตะกอนในบริเวณนี้ ผลที่ได้ชี้ชัดว่าเป็นการขาดท่อน้ำคาดว่าจะอยู่ในจุด stagnation point ได้อย่างสมบูรณ์ภายในบริเวณนี้ ผลที่ได้ชี้ชัดว่าเป็นการขาดท่อน้ำคาดว่าจะอยู่ในจุด stagnation point และไม่ทำให้เกิดการจับรวมตัวของผลึกบริเวณดังกล่าว

นอกจากนี้ Bakker, Laroche, Wang and Calabrese (1998) ยังได้ศึกษารูปแบบการไหลในถังกวน ซึ่งใช้ Pitched blade turbine ซึ่งมีจำนวนใบพัดสี่ใบ และการไหลอยู่ในย่านความเร็วต่ำโดยใช้เทคนิคกริดเดลีน (Sliding grid) ผลการจำลองแสดงในรูปของรูปประมวลความเร็วและเบรี่ยบกับผลการทดลองที่ได้จากการใช้ Laser-Doppler Velocimetry มีความคล้ายคลึงกัน โดยพบว่าที่ความเร็วรอบของใบพัดต่ำ ๆ จะเกิดรูปแบบการไหลในแนวรัศมีมากกว่าในแนวแกน และในทางกลับกันถ้าหากเพิ่มความเร็วรอบของใบพัดให้สูงขึ้นจะเกิดความเร็วในแนวแกนมากขึ้นและมีความเร็วในแนวรัศมีน้อยลง

Maggioris, Goulas, Alexopoulos, Chatzi and Kiparissides (1998) ใช้ CFD ในการทำนายการก่อตัวของเม็ดโพลีเมอร์ในถังปฏิกรณ์ซึ่งมีลักษณะไกล์เคียงกับถังกวนที่ใช้ในการผสมสารทั่วไป โดยนำผลที่ได้จากการจำลองการไหลในถังผลึกดังกล่าวไปใช้ในการวิเคราะห์ และศึกษาฟังก์ชันการแตกหักและการหลอมรวมกันของเม็ดโพลีเมอร์ ฟังก์ชันทั้งสองนี้จะขึ้นอยู่กับขนาดของเม็ดโพลีเมอร์ อัตราการสูญเสียพลังงาน (Energy dissipation rate) และลักษณะทางกายภาพของระบบ ณ เวลาหนึ่ง ๆ การจำลองจะพิจารณาการไหลแบบเฟสเดียวโดยใช้น้ำเป็นของไหลหลัก อัตราการสูญเสียพลังงานจะพิจารณาที่ค่าเฉลี่ยต่อหน่วยปริมาตร และพิจารณารูปประมวลความเร็ว โดยในบริเวณที่มีอัตราการสูญเสียพลังงานสูงจะทำให้เกิดการแตกหักสูง ซึ่งคาดการณ์ว่าการแตกหักดังกล่าวเกิดจากการที่เม็ดโพลีเมอร์กระแทกกันมากเนื่องจาก Shear rate ที่สูง บริเวณที่มีการหมุนวนจะเกิดจากการประสานกันของเม็ดโพลีเมอร์ ซึ่งมีผลเป็นอย่างมากต่อคุณภาพของผลิตภัณฑ์และความสัมมูลิ่งวัสดุ เนื่องจากมีเม็ดโพลีเมอร์ที่ไม่ได้ขนาดที่จะต้องคัดออกอีกด้วย

Sahu, Kumar, Patwardhan and Joshi (1999) ได้เสนอแนวคิดในการทำนายอัตราการสูญเสียพลังงานแบบปั๊มน้ำ (Turbulent energy dissipation rate:  $\varepsilon$ ) สำหรับแบบจำลอง  $k - \varepsilon$  ใน

การทำนายรูปแบบการไหลในถังกวน แนวคิดนี้เรียกว่า Zonal modeling ซึ่ง Sahu และคณะได้เสนอว่าการทำนายค่า  $\epsilon$  ภายในถังกวนไม่ควรจะใช้ค่าเดียวทั่วถัง เนื่องจากรูปแบบการไหลภายในถังแตกต่างกันไม่เป็นเอกลักษณ์ ดังนั้น ควรจะแบ่งค่าดังกล่าวให้เหมาะสมสำหรับแต่ละพื้นที่ในที่นี่ได้แน่นำให้แบ่งพื้นที่ข่ายอย่างน้อยสองส่วนคือส่วนล่างใต้ใบพัดและส่วนบนเหนือใบพัด เมื่อได้ผลจากการจำลองความเร็วภายในถังพลีก จะนำค่าดังกล่าวไปเปรียบเทียบกับค่าความเร็วที่ได้จากการวัดโดยใช้เทคนิค LDV ผลการจำลองดังกล่าวใกล้เคียงกับค่าที่ได้จากการวัด แต่ยังไม่เป็นที่น่าพอใจเนื่องจากเมื่อเทียบกับวิธีการอื่นที่ใช้ในการทำนายค่า  $\epsilon$  แล้วก็ยังไม่เห็นผลที่แตกต่างอย่างชัดเจน

ปี 2001 Sha, Oinas, Louhi-Kultanen, Yang and S.Palosaari ได้นำ CFD มาใช้ในการจำลองการไหลในถังพลีกเพื่อหาค่าฟังก์ชันการแบ่งแยก (classification function) ซึ่งมีผลกระทบเนื่องมาจากขนาดของพลีก ฟังก์ชันดังกล่าวเป็นไปตามสมการ

$$h(z_0, f(N, D), L) = \frac{n_j}{n} \quad (2.6)$$

เมื่อ

$n_j$  คือ ความหนาแน่นของประชากรพลีกแต่ละปริมาตรควบคุม (Control volume)

$n$  คือ ความหนาแน่นของประชากรพลีกเฉลี่ยภายในถัง

การจำลองการไหลจะทำให้ได้ค่าเศษส่วนปริมาตร (Volume fraction) ซึ่งสามารถนำมาคำนวณค่าฟังก์ชันการแบ่งแยกได้ อย่างไรก็ตามเป็นที่น่าสังเกตว่าการจำลองการไหลนี้ไม่ได้พิจารณาผลกระทบจากการดูดผลิตภัณฑ์ออก และไม่พิจารณาผลกระทบของท่อดูดออกโดยประมาณว่าความหนาแน่นของพลีกในท่อดูดออกเท่ากับความหนาแน่นของประชากรพลีกถังที่ตำแหน่งที่ติดตั้งท่อดูดออกนั้น ๆ

โปรแกรมวิเคราะห์การไหลสามมิติ CFX4.2 ถูกนำมาช่วยในการจำลองการไหลสามมิติในถังพลีกที่มีน้ำเป็นของเหลวหลักและเติมอนุภาคขนาดต่าง ๆ ลงไปรวม 6 ขนาดด้วยกัน ทำการจำลองที่ความเร็วรอบของใบพัดหลายความเร็วรอบ แยกตามขนาดของอนุภาค เพื่อศึกษาผลกระทบของความเร็วจากการปั่นของใบพัดด้วย นอกจากนี้การจำลองการไหลภายในถังเน้นไปที่ผลกระทบจากความเร็วจาก การปั่นของใบพัดด้วย นอกจานี้ การจำลองการไหลภายในถังเน้นไปที่ผลกระทบจากความเร็ว ของการปั่นของใบพัดด้วย ผลกระทบของรัฐบาลความสูงจากก้นถัง และผลกระทบจากรูปร่างของตัวถังเอง พนบว่าที่ก่อตัวมาทั้งหมดมีผลต่อการกระจายความหนาแน่นในถังและก่อให้เกิดความแตกต่างของค่าฟังก์ชันการแบ่งแยก ซึ่งสนับสนุนทฤษฎีและการทดลองของ Zouliang Sha and Seppo Palosaari (2000) กล่าวคือ พลีกที่มีขนาดต่างกันจะมีการกระจายความหนาแน่นที่แตกต่างกัน ทั้งนี้ขึ้นอยู่กับความเร็วรอบของใบพัดที่ใช้ด้วย พลีกที่มีขนาดเล็กกว่า

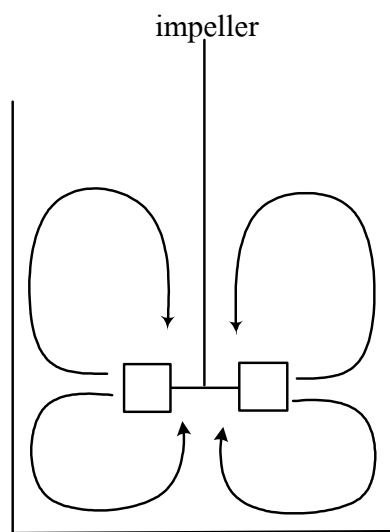
100 ไมครอน จะให้ค่าฟังก์ชันการแบ่งแยกที่คงที่ไม่ worse ใช้ความเร็วรอบของใบพัดเท่าใด ก็ตาม นั้นหมายถึงการกระจายตัวในถังตกรถิกที่ค่อนข้างทั่วถึงและสม่ำเสมอ ส่วนรถิกที่มีขนาดใหญ่กว่า 100 ไมครอน ค่าฟังก์ชันการแบ่งแยกจะขึ้นอยู่กับความเร็วรอบของใบพัดที่ใช้ปั่น ที่ความเร็วรอบของใบพัดสูง จะให้การกระจายตัวของรถิกสม่ำเสมอกว่าส่วนที่ความเร็วรอบต่ำ ๆ นอกจากนี้ยังขึ้นกับขนาดของรถิกอีกด้วย เมื่อพิจารณาผลกระบวนการทางการทดลองเปลี่ยนรูปร่างของถังรถิกในการจำลองพบว่า ค่าฟังก์ชันการแบ่งแยกมีค่าเปลี่ยนแปลงไปด้วยเมื่อรูปร่างของถังรถิกเปลี่ยนแปลงไป การสร้างท่อหนา (Draft tube) ลงไปในถังจะก่อให้เกิดการหมุนเวียนของไหลดี บริเวณปลายท่อ และการกระจายตัวของอนุภาคมีค่าต่ำที่บริเวณผนังท่อนานอก ซึ่งคาดว่าน่าจะเกิดจากการเลี้ยวตัวของการไหลบริเวณปลายท่อหนา และก่อให้เกิดแรงหนีศูนย์ รถิกที่มีขนาดโตจึงถูกเหวี่ยงออกไปที่บริเวณผนังของถังตกรถิกมากกว่า ทำให้ปริมาณของรถิกที่บริเวณไกลส์ผนังท่อนานอกน้อยกว่าค่าต่ำ

ก่อนการจำลองการไหลในถังตกรถิกตามที่ได้กล่าวมา Sha, Palosaari, Oinas and Ogawa, (2001) ได้จำลองการไหลในถังปั่นสารซึ่งมีลักษณะไกลส์เดียงกับถังตกรถิกและได้ผลลัพธ์ ซึ่งสนับสนุนกัน กล่าวคือรูปร่างความเร็วทั้งในแนวแกนและแนวรัศมีได้รับผลกระทบโดยตรงจากขนาดของอนุภาคที่อยู่ในถังรถิกและความเร็วรอบของใบพัดในถังปั่น และบริเวณที่มีเศษส่วนปริมาตรของอนุภาคต่ำอยู่ที่ส่วนบนของถังและได้ใบพัด เมื่อเพิ่มขนาดของอนุภาคที่เติมเข้าไปมีผลทำให้ความสม่ำเสมอของและการกระจายตัวของอนุภาคในถังลดลง นอกจากนี้พบว่าอนุภาคขนาด 700 ไมครอนขึ้นไปจะไม่ลอยตัวในถังปั่น แต่จะกองตัวอยู่บริเวณกลางก้นถังและมุนของก้นถัง ซึ่งเกิดจากผลกระทบของ Stag nation point และแรงหนีศูนย์ ตามลำดับ บริเวณที่ไม่มีอนุภาคปะบ่นอยู่จะเห็นได้อย่างชัดเจนที่ส่วนบนของตัวถัง บริเวณไกลส์ผนังด้านข้างของตัวถังก็จะมีเศษส่วนปริมาตรสูงกว่าบริเวณอื่น ๆ ซึ่งเป็นผลกระทบจากแรงหนีศูนย์ขึ้นกัน และบริเวณที่มีเศษส่วนปริมาตรของอนุภาคสูงสุดมักจะอยู่ที่บริเวณเหนือใบพัด โดยตำแหน่งความสูงของบริเวณดังกล่าวจะต่ำลง เมื่อเพิ่มขนาดของอนุภาคให้โดยขึ้น อนึ่งความสามารถของโปรแกรมที่ใช้มีข้อจำกัด ขนาดของอนุภาคที่เติมลงไปกำหนดได้เพียงขนาดเดียวเท่านั้น สำหรับการคำนวณแต่ละครั้ง นอกจากนี้รูปร่างของอนุภาคต้องเป็นทรงกลมเท่านั้น ซึ่งจะทำให้ค่าที่ได้จากการคำนวณมีค่าที่แตกต่างไปจากที่ควรจะเป็น เพราะรถิกจริง ๆ ไม่ได้มีรูปร่างเป็นทรงกลม ดังนั้นในระบบการตกรถิกในภาชนะเล็ก ๆ ซึ่งขนาดของรถิกมีขนาดใหญ่เมื่อเทียบกับถังตกรถิกที่ใช้ ผลการคำนวณที่ได้อาจมีค่าไม่แม่นยำ หากค่าที่ได้ต้องนำไปคำนวณหาค่าอื่น ๆ ต่อไปจะทำให้เกิดความผิดพลาดได้

Brucato, Micale, Montante and Scuzzarella (2002) ได้ศึกษาความหนาของชั้นของไหลดีที่ไม่มีอนุภาคปะบ่นอยู่ (clear liquid layer) บริเวณด้านบนของถังกว้างโดยจำลองการไหล

ภายในถังกวนที่มีอนุภาคอยู่ภายใน ขนาดของอนุภาคที่ใช้มีขนาดเดียวกับที่ใช้ในการทดลอง คือ พลีกซิลิกาขนาด 212 – 250 ไมครอนที่ความเร็วรอบต่าง ๆ กัน โปรแกรมที่ใช้ในการช่วยวิเคราะห์ การไหล คือ CFX 4.4 เมื่อนำผลที่ได้ไปเปรียบเทียบกับการทดลองได้ผลสนับสนุนกัน อย่างไรก็ตามงานวิจัยนี้เน้นที่ผลกระทบจากความเร็วรอบของใบพัดเท่านั้น และผลการจำลองซึ่งให้เห็นว่าชั้นของไอลที่ไม่มีอนุภาคปะปนทางด้านบนของตัวถังจะมีความหนาเปลี่ยนไปเมื่อความเร็วรอบของใบพัดเปลี่ยนไป การเพิ่มความเร็วของใบพัดจะทำให้ความหนาของชั้นของไอลที่ไม่มีอนุภาค ปะปนมีค่าน้อยลง และในทางกลับกัน การลดความเร็วของใบพัดก็ทำให้ความหนามีค่าเพิ่มขึ้น ชั้นของไอลที่ไม่มีอนุภาคปะปนที่แยกตัวอย่างชัดเจนกับส่วนที่มีอนุภาคปะปนอยู่เป็นจำนวนมากนั้น หากเกิดขึ้นภายในถังคงพลีกจะก่อให้เกิดความไม่เป็นเอกธุปของความอิ่มตัวของเนื้อของไอลหลัก และมีผลต่อการเติบโตของเม็ดพลีก บริเวณนี้จะเป็นบริเวณที่ไม่มีการตกพลีกหรือมีการตกพลีกน้อย เนื่องจากอนุภาคส่วนใหญ่จะลงไปอยู่ที่ด้านล่างและโடด้านล่างทำให้ความเข้มข้นของบริเวณนี้มีค่า สูงกว่าบริเวณด้านล่างซึ่งมีพลีกหนาแน่น

Lamberto, Alvarez and Muzzio (1999) ได้ศึกษาการไอลในย่านความเร็วต่ำในถังกวน โดยทำการทดลองเปรียบเทียบกับผลการจำลองการไอลภายในถังกวนที่ใช้ใบพัดปั่นของไอลในแนวรัศมี เพื่อพิจารณาผลกระทบของขนาดของใบพัดและระยะความสูงจากก้นถังของใบพัด การทดลองนี้ใช้เทคนิค Particle Imaging Velocimetry (PIV) เพื่อหาความเร็วของของไอลโดยใช้สารละลาย Glycerine ซึ่งเติมผง Silver-Coated Hallow Glass Beads ขนาด 10 ไมครอนลงไปให้มีความเข้มข้น 10 มิลลิกรัมต่อลิตร ทั้งนี้ขนาดของอนุภาคที่เติมลงไปนั้นถือว่ามีขนาดเล็กพอที่จะไอลตามการไอลได้ โดยอนุภาคไม่มีผลที่จะทำให้การไอลมีรูปแบบที่เปลี่ยนไป หรือกล่าวได้ว่า อนุภาคนี้ไม่รบกวนการไอล ผลการทดลองนี้สนับสนุนผลที่ได้จากการจำลองอีกด้วย นั่นคือ รูปแบบการไอลภายในถังถูกแบ่งออกเป็นสองวงรอบโดยอยู่เหนือน้ำในพัดหนึ่งวงรอบและอีกหนึ่งวงรอบอยู่ใต้ใบพัดดังรูป 2.19 ขนาดและตำแหน่งของวงรอบการไอลจะสัมพันธ์กับค่าเรโนลด์ (Reynolds number) และตำแหน่งของการวางใบพัด (สำหรับในงานวิจัยนี้พิจารณาค่าเรโนลด์ ในช่วง 50-100 )



รูปที่ 2.19 ลักษณะการเกิดวงรอบของการไหลภายในถังกวน

Montante, Lee, Brucato and Yannesis (2001) ศึกษาผลกระทบของตำแหน่งการวางใบพัดแบบ Rushton Radial Turbine ในถังกวนซึ่งงานวิจัยนี้มีความใกล้เคียงกับงานวิจัยของ Lamberto et al., (1999) กล่าวคือ เป็นการจำลองเพื่อเปรียบเทียบกับการทดลอง ซึ่งในการทดลองของ Montante et al., ได้นำเทคนิค Laser Doppler Anemometry (LDA) มาใช้และทำการจำลองภายในถังผลึกโดยพิจารณาการไหลแบบเฟสเดียวเท่านั้น และพิจารณาฐานแบบการไหลจากรูปทรงความเร็วภายในถัง จากผลกระทบทดลองและผลการจำลองการไหลที่ได้นั้นพบว่าให้ผลที่สนับสนุนกัน นอกจากนี้ยังพบว่า ที่ตำแหน่งความสูงของใบพัดจากก้นถังต่อความสูงของของไหลเป็น 0.15 เท่านั้นเป็นตำแหน่งที่รูปแบบการไหลเริ่มแบ่งตัวออกเป็นสองวงรอบของการไหลวน หากวง ตำแหน่งในพัดที่ตำแหน่งต่ำกว่านี้ รูปแบบการไหลจะมีเพียงวงรอบเดียวซึ่งจะทำให้มีความเป็นเอก รูปภายในตัวถังมากขึ้น ทั้งนี้การวิเคราะห์เพิ่มเติมหาด้วยปริริมิติที่มีนัยสำคัญต่อการเกิดวงรอบที่ เกิดขึ้นน่าจะเป็นประโยชน์อย่างยิ่งในการขยายผลงานวิจัยและประยุกต์ใช้ให้เป็นประโยชน์ในด้าน อื่น ๆ ต่อไป

Liiri, Koiranen and Aittamaa (2002) นำเสนอแบบจำลองทางคณิตศาสตร์เพื่อใช้ในการ วิเคราะห์ขนาดที่ໂດที่สุดของผลึกที่แตกหักเสียหายเนื่องจากการกระแทกกับใบพัดและกระแทกกับ ตัวถัง โดยปรับปรุงมาจากแบบจำลองที่ Gahn and Mersmann (1999) ได้เสนอไว้ ซึ่งแบบจำลอง แบบเก่าได้นำความเร็วเฉลี่ยภายในถังมาใช้ในการคำนวณ และไม่คิดความเร็วในแนวสัมผัสที่ผลึก กระแทกกับใบพัด แต่แบบจำลองใหม่ของ Liiri และคณะ ได้นำความเร็วที่ตำแหน่งนั้น ๆ มาคิดแทน การใช้ความเร็วเฉลี่ยของการไหลตลอดถัง และยังได้นำความเร็วในแนวสัมผัสใบพัดมาพิจารณา

ประกอบด้วย โดยค่าตัวแปรเพรเดพะจุดที่เกี่ยวข้องทั้งหมดได้มาจาก การจำลองการไหลภายในถังตอกผลึก ผลการคำนวณที่ได้สอดคล้องกับการทดลองของ Kee and Rielly (2000) ซึ่งพบว่า การกระบวนการกันระหว่างผลึกกับใบพัดเป็นสาเหตุหลักของการแตกหักเสียหายของผลึกซึ่งทำให้เกิด Secondary nucleation การเกิดปรากฏการณ์ดังกล่าวมีผลกระทบอย่างมากต่อการเจริญเติบโตของผลึกซึ่งผลลัพธ์เนื่องของปัจจัยทางดังกล่าวคือการควบคุมกระบวนการตกผลึกให้ได้ผลึกที่มีขนาดตามช่วงที่ต้องการนั้นเป็นไปได้ด้วยความลำบากมากขึ้น อย่างไรก็ตามเพื่อเป็นการเปลี่ยนวิกฤตให้เป็นโอกาส อาจสามารถใช้แนวคิดนี้ในการจะทำให้ผลึกที่มีขนาดใหญ่ๆ จนเกินไปแตกหักลงได้

Ginter and Loyalka (1995) ได้ศึกษาปัจจัยที่เกี่ยวข้องกับการเจริญเติบโตของผลึกซึ่งขึ้นอยู่กับการกระจายของขนาดของผลึกและพบว่า ลักษณะของผลึกที่มีขนาดแตกต่างกันจะทำให้การเจริญเติบโตของผลึกซึ่งขึ้นอยู่กับขนาดนั้นมีความแตกต่างกันออกไป

Kramer, Bijkstra, Verheijen and Van Rosmalen (2000) ได้ใช้เทคนิค CFD ในการจำลองการไหลภายในถังตอกผลึกเพื่อแสดงให้เห็นว่า รูปแบบการไหลภายในถังผลึกที่ใช้กันในอุตสาหกรรมไม่มีความเป็นเอกลักษณ์ ซึ่งชี้ให้เห็นอย่างชัดเจนว่า สมมุติฐาน MSMPR นั้นไม่สามารถนำมาวิเคราะห์และหาความสัมพันธ์ของตัวแปรต่าง ๆ ภายในถังตอกผลึกได้ โดยเสนอว่า การวิเคราะห์ต่าง ๆ ควรจะใช้ตัวแปรที่ดำเนินการนั้น ๆ ในการคำนวณซึ่งจะทำให้ได้ค่าที่สมเหตุสมผลมากกว่า

Liu, Andreasen and Laroche (2000) ได้ทำการวิเคราะห์การ pemulsion ที่ใช้ใบพัดสำหรับปั่นสารในแนวรัศมี โดยพิจารณาการไหลในย่านความเร็วต่ำซึ่งพบได้ว่า ในการกวนสารจำพวกสารอินทรีย์หรือโพลีเมอร์ซึ่งมีความหนืดสูง การวิเคราะห์ดังกล่าวจะใช้ข้อมูลจากการจำลองการไหลภายในถังกวน การจำลองนี้จะมีการปล่อยอนุภาคจำนวนมาก ซึ่งในสภาวะเริ่มต้นกำหนดให้รวมตัวกันเป็นรูปทรงกลมและปล่อยเข้าสู่ระบบการไหลที่ดำเนินการต่อต้านกันไป โดยทำการจำลองการปล่อยหมึกลงในถังกวนซึ่งได้ทำการทดลองจริงในห้องทดลองมาก่อนหน้านี้ โปรแกรมที่ใช้ในการจำลองการไหล คือ Fluent โดยใช้วิธีการพิจารณาแบบลากของจีบน (Lagrangian approach) ผลการจำลองแสดงให้เห็นแนวการเคลื่อนที่ของอนุภาคเล็ก ๆ ในถังกวนนั้น อย่างไรก็ตาม การติดตามดูการเคลื่อนที่ของอนุภาคนั้นสามารถติดตามดูได้จากเส้นแนวการไหลของระบบนั้น ๆ ที่สภาวะคงตัว

Rigby, Lane and Evans (2000) ได้ใช้เทคนิค CFD ในการจำลองการไหลภายในถังกวนสารเพื่อศึกษารูปแบบการไหลในบริเวณที่ใบพัดกวาดผ่านไปภายในถังกวนตลอดจนรูปแบบการไหลบริเวณใกล้ผิวดองใบพัดว่า มีรูปแบบเช่นไร การจำลองนี้ใช้ใบพัดสำหรับปั่นสารในแนวรัศมี

และผลที่ได้จากการจำลองมีความสอดคล้องกับผลที่ได้จากการทดลอง ซึ่งเก็บข้อมูลในช่วงบริเวณที่ใกล้ใบพัดตลอดจนบริเวณที่เกิดการหมุนวนของการไหลซึ่งแบ่งออกเป็นสองวงรอบภายในตัวถัง

Nasr-Et Din and Mac Taggart (1996) ได้ศึกษาการกระจายตัวของความเร็วขั้นของอนุภาคภายในของใบหลัก โดยใช้เทคนิคการคุณตัวอย่างอุกมาวด์ที่คำแนะนำต่าง ๆ กัน งานวิจัยนี้พบว่า ความหนาแน่นของอนุภาคสัมพันธ์กับตำแหน่งที่คุณตัวอย่างอุกมาวด์ ทั้งในแนวแกนและแนวรัศมี นอกจากนี้ค่าความหนาแน่นของอนุภาคดังกล่าวยังขึ้นกับขนาดของอนุภาค โดยเฉลี่ย และปริมาณของอนุภาคอิกด้วย อย่างไรก็ตามยังพบด้วยว่าการใช้ห่อคุณตัวอย่างอุกมาวด์ที่มีลักษณะของห่อแตกต่างกันจะให้ผลการทดลองที่แตกต่างกันออกไปอีกทั้งยังพบว่าค่าที่วัดได้นั้น ขึ้นกับความเร็วที่ใช้ในการคุณตัวอย่าง ในการคุณตัวอย่างนี้ ผู้วิจัยคาดหวังว่าตัวอย่างของไอลในถังที่ถูกคุณตัวอย่างนี้จะมีความหนาแน่นของอนุภาคเท่ากับความหนาแน่นของอนุภาคภายในถัง ณ เวลาที่ทำการวัดนั้น ๆ อย่างไรก็ตามสารละลายที่ถูกคุณตัวอย่างนี้ค่าที่วัดได้อาจจะไม่ได้มีความหนาแน่นของอนุภาคเท่ากับความหนาแน่นของอนุภาคภายในถังที่ถูกคุณตัวอย่างนี้ แต่กับความหนาแน่นของอนุภาคภายในถังที่ถูกคุณตัวอย่างนี้เป็นการคุณตัวอย่างแบบ Isokinetic หรือไม่

Gros, Kilpio and Nurmi (2001) ได้เสนอแบบจำลองทางคณิตศาสตร์เพื่อนำไปใช้ในการจำลองพฤติกรรมการเจริญเติบโตอย่างช้า ๆ ของผลึกภายในถังต่อกลีซึ่งต่อกลีจากสารที่มีความหนีคุณตัวอย่างแบบไอลต่อเนื่อง แบบจำลองดังกล่าวอยู่ภายใต้สมมติฐานที่ว่าระบบอยู่ในสภาพคงตัว ไม่มีการก่อตัวของนิวเคลียสใหม่ ไม่มีการแตกหักเสียหายของกลีกตลอดการเจริญเติบโตของกลีก จะขึ้นอยู่กับขนาด และสมมติให้มีการตกลงกันของกลีก แบบจำลองที่ได้ถูกนำมาจำลองกับระบบการตกลงกันของสารละลายน้ำตาลซึ่งมีโครงสร้างและผลการจำลองที่ได้เป็นที่น่าพอใจ ผู้วิจัยคาดหวังว่าแบบจำลองนี้จะเป็นประโยชน์สำหรับระบบอื่น ๆ ที่คล้ายคลึงกัน

สรุปภาพโดยรวมของงานวิจัยที่เกี่ยวข้องสามารถสรุปได้ที่ภาคผนวก ค.

## 2.7 สรุป

บทนี้ได้นำเสนอทฤษฎีพื้นฐานของน้ำตาล สารละลายน้ำตาล การตกลงกันของสารละลายน้ำตาลในถังต่อกลี การคุณตัวอย่างจากถังต่อกลี อุปกรณ์สำหรับอุตสาหกรรมการตกลงกันน้ำตาล ซึ่งเป็นพื้นฐานที่สำคัญของงานวิจัยนี้ นอกจากนี้ได้นำเสนอผลการประทับน้ำร้อนกรรมเพื่อศึกษาถึงพัฒนาการของงานวิจัยที่เกี่ยวข้อง ทั้งในส่วนของการตกลงกันของสารละลายน้ำตาล การตกลงกันของสารละลายน้ำตาลในถังต่อกลี โปรแกรมคอมพิวเตอร์ เพื่อใช้เป็นแนวทางในการพัฒนาแบบจำลองของระบบการตกลงกันที่ใช้ในงานวิจัยนี้ต่อไป

เห็นได้ชัดว่างานวิจัยที่ได้ทำมาในอดีตยังไม่ได้มีการศึกษาวิจัยในประเด็นของการดูด  
ออกแบบ ไอโซไคเนติกส์ ซึ่งเป็นแนวทางการศึกษาวิจัยในวิทยานิพนธ์นี้

## บทที่ 3

### การดำเนินการวิจัย

การตอกผลึกจากสารละลายแบบทำความสะอาดเป็นกระบวนการที่มีความซับซ้อนน้อยกว่าวิธีอื่น อัตราการ “หล่อองของ” ให้เข้าสู่ถังผลึกจะมีค่าต่ำมากและมีอุณหภูมิแตกต่างจากสารละลายในถังไม่มากนัก โดยส่วนใหญ่ไม่เกิน  $2^{\circ}\text{C}$  (Mersmann, 1995) จึงประมาณได้ว่ากระบวนการตอกผลึกดังกล่าวเป็นกระบวนการตอกผลึกที่อุณหภูมิกที่ ดังนั้นกลไกหลักที่ควบคุมการตอกผลึกประเภทนี้จึงเป็นกระบวนการถ่ายเทมเวลาเท่านั้น การศึกษาปัจจัยต่าง ๆ ที่มีผลต่อขนาดของผลึกจึงไม่จำเป็นต้องพิจารณาผลการทดสอบจากอุณหภูมิ ด้วยคุณลักษณะดังกล่าว การตอกผลึกโดยการทำความสะอาดเป็นน้ำจึงเป็นที่นิยมที่จะนำมาใช้เป็นกรณีศึกษาเพื่อพัฒนาและประยุกต์ใช้กับการตอกผลึกประเภทอื่น ๆ งานวิจัยนี้ เป็นการศึกษาการตอกผลึกแบบทำความสะอาดโดยการจำลองการ “หล่อ” โดยโปรแกรมคอมพิวเตอร์ ในบทนี้จะกล่าวถึงรายละเอียดของขั้นตอนต่าง ๆ ที่ใช้ในการดำเนินงานวิจัย เริ่มตั้งแต่การทดสอบโปรแกรม คุณสมบัติของสารละลายที่จะใช้ ลักษณะและการทำงานของถังตอกผลึกตลอดจนการสร้างแบบจำลอง การสร้างเมช การกำหนดเงื่อนไขค่าข้อมูล การกำหนดค่าเริ่มต้นของถังตอกผลึกและการคำนวณหาคำตอบดังนี้

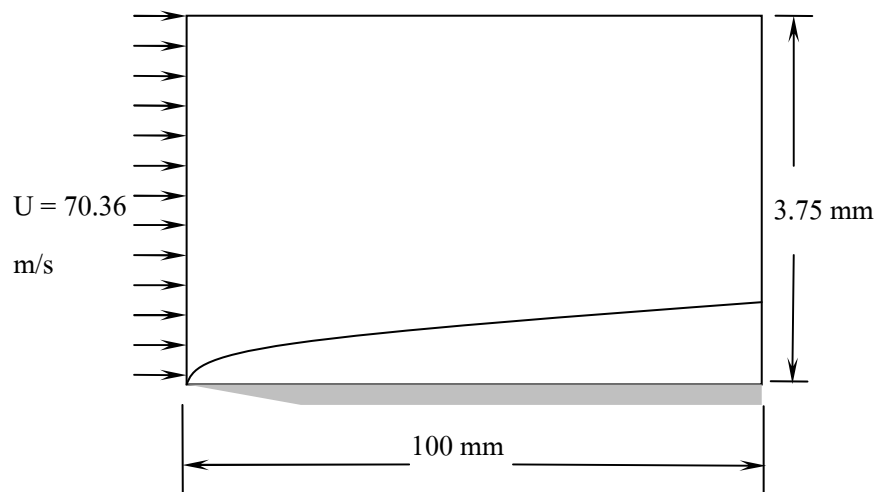
#### 3.1 การทดสอบโปรแกรม

ความเชื่อถือได้และเสถียรภาพของโปรแกรมที่นำมาใช้จำลองผลกระทบเป็นปัจจัยที่สำคัญ และต้องทำการทดสอบความถูกต้อง ความละเอียด และความแม่นยำของผลการจำลองที่ได้อ่ายลักษณะ เอียดก่อนที่จะนำมาใช้งาน นอกจากนี้ผู้ใช้โปรแกรมเองก็ต้องได้รับการฝึกฝนทดสอบการใช้โปรแกรมให้ถูกต้องไปด้วยพร้อม ๆ กัน การจำลองการ “หล่อ” ในถังตอกผลึกโดยใช้โปรแกรม CFX ในงานวิจัยนี้ก็ต้องได้รับการทดสอบเช่นเดียวกัน ซึ่งการทดสอบโปรแกรมดำเนินการโดยการจำลองการ “หล่อ” มาตรฐาน

##### 3.1.1 การ “หล่อ” ในชั้นผิวบางในย่านความเร็วต่ำ

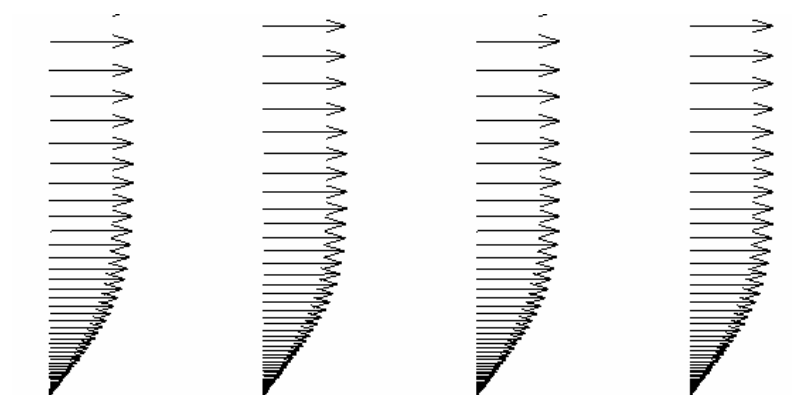
การ “หล่อน” เป็นการ “หล่อ” ในชั้นผิวบางผ่านแผ่นเรียบ ซึ่งมีค่าตอบทางทฤษฎีที่เรียกว่า ค่าตอบของบลัสเซียส (Blasius solution) (ทวิช จิตรสมบูรณ์ และ สุวรรณ อัตตามคร, 2542) สำหรับการเปรียบเทียบ โดยทั่วไปพิจารณาการ “หล่อ” เป็นแบบสองมิติ แต่สำหรับโปรแกรมCFX ที่ใช้ในการจำลองมีข้อจำกัดคือจะต้องกำหนดขอบเขตของโคเมนเป็นสามมิติเท่านั้น อย่างไรก็ตาม ด้วย

การกำหนดความหนาของเมชในแนวแกนที่ 3 (แกน $\perp$ ) ให้มีความหนาเพียง 1 เมช ซึ่งถือว่าน้อยกว่าความหนาของ เมชในแนวแกนที่เหลือมาก ทำให้แบบจำลองที่ได้มีความใกล้เคียงกับการทำทดลองในสองมิติ ลักษณะของ โอดเมนที่จะทำการจำลองเป็นดังรูปที่ 3.1



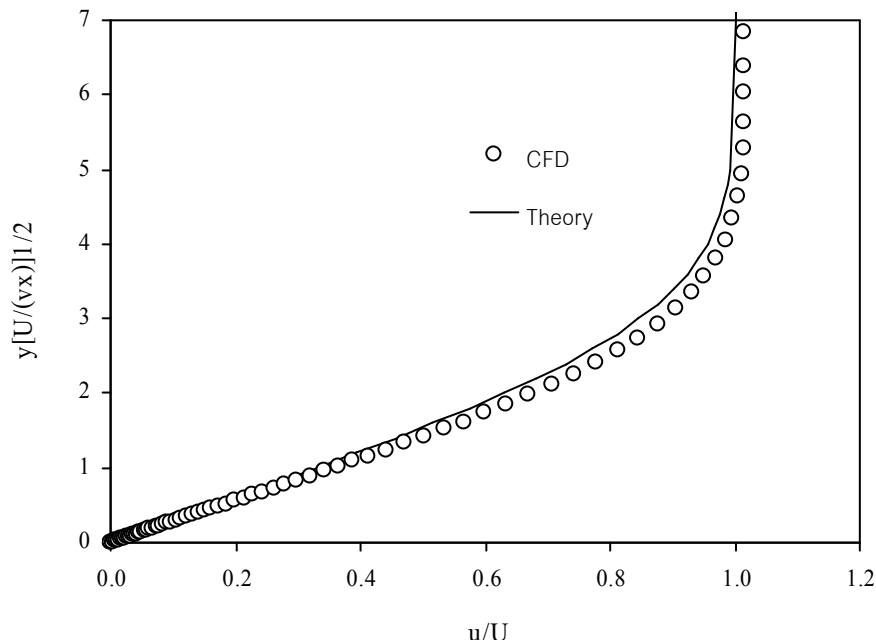
รูปที่ 3.1 แผนภาพแผ่นเรียบ

ในการคำนวณกำหนดให้ของไอลเป็นอากาศมีความหนาแน่น  $1.018 \text{ kg/m}^3$  และความหนืด  $2.06 \times 10^{-5} \text{ kg/m}\cdot\text{s}$  ไอลผ่านแผ่นเรียบยาว  $100 \text{ mm}$  โดยมีความเร็วต่างทางเข้าเป็นความเร็วค่าเดียว (Uniform flow) มีค่าเป็น  $70.36 \text{ m/s}$  มีความดันเท่ากับ  $101325 \text{ Pa}$  (รายละเอียดการทำอัดสอดงไว้ โดยละเอียดในภาคผนวก ก.1)



รูปที่ 3.2 รูปความเร็วบางส่วน ที่ระยะ  $x$  ต่าง ๆ ของการไอลของชั้นผิวนางผ่านเรียบ

จากผลการจำลองในรูปที่ 3.2 สรุปได้ว่ารูปทรงความเร็วที่ระบุ  $x$  ต่าง ๆ มีค่าน้อย เมื่อออยู่่ใกล้แผ่นเรียบ และมีค่าเพิ่มขึ้นเมื่อความสูงเพิ่มขึ้น จนกระทั่งมีค่าคงที่ในที่สุด ซึ่งใกล้เคียงกับผลที่ได้ในทางทฤษฎี รูปที่ 3.3 แสดงการเปรียบเทียบผลลัพธ์ที่ได้จากการคำนวณทางทฤษฎีและจากการจำลองผลด้วยโปรแกรม CFX ในรูปของตัวแปรไร้มิติ



รูปที่ 3.3 ความเร็วจากการจำลองผลด้วยโปรแกรม CFX เปรียบเทียบกับคำตوبของบลาเซียส

ทั้งนี้การจำลองการไหลในโอดเมนเดียวกันแต่ใช้เมชที่ขยายกว่า คือ 50 เมชทั้งในแนวแกน  $x$  และแกน  $y$  ให้ผลการจำลองที่ใกล้เคียงกับทฤษฎีน้อยกว่าที่ 100 เมชทั้งในแกน  $x$  และแกน  $y$  ซึ่งชี้ให้เห็นว่า หากทำการจำลองโดยใช้เมชที่ละเอียดมากขึ้นจะได้คำตوبที่ใกล้เคียงกับคำตوبของบลาเซียสมากขึ้นด้วย อย่างไรก็ตามการปรับเมชให้ละเอียดมากขึ้นส่งผลให้ใช้เวลาในการคำนวณมากขึ้นไปด้วย

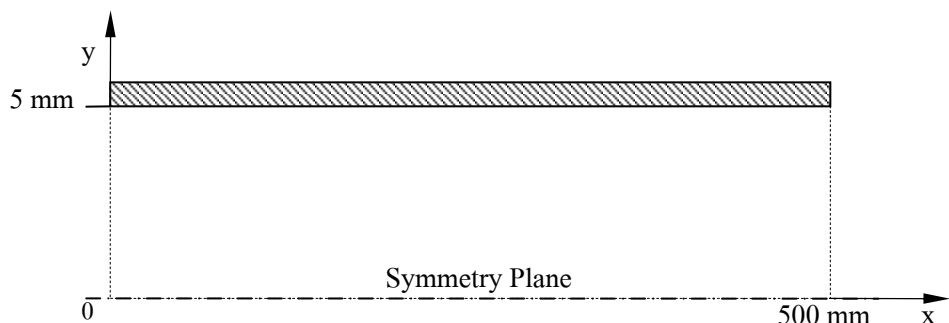
### 3.1.2 การไหลผ่านแผ่นขนาดใหญ่ที่ความดัน

การไหลนี้เป็นการไหลแบบความเร็วนานา พลเฉลยแม่นตรงสำหรับการไหลประเภทนี้สามารถหาได้จากการอินทิเกรตสมการนาเวียร์-โตก โดยตรงซึ่งจะได้คำตوبดังสมการที่ 3.1 (White, 1994)

$$u = -\frac{dP}{dx} \frac{h^2}{2\mu} \left( 1 - \frac{y^2}{h^2} \right) \quad (3.1)$$

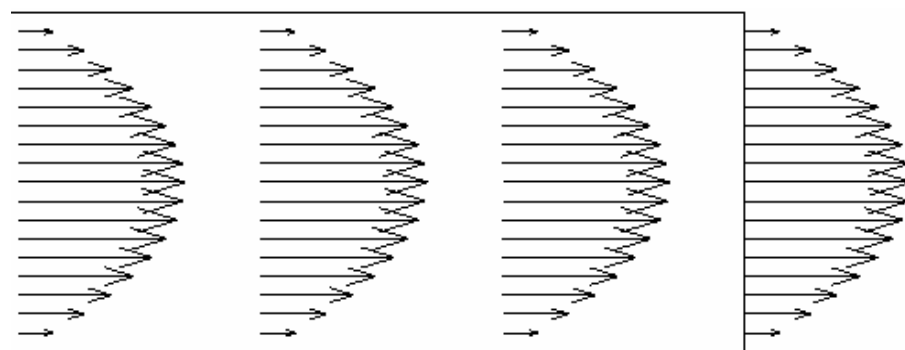
เมื่อ  $h$  คือ กว้างของระยะห่างระหว่างผนังท่อ

เนื่องจากระบบที่จะทำการจำลองมีลักษณะสมมาตรทำให้สามารถจำลองระบบโดยใช้การกำหนดโคล เมนเพียงครึ่งเดียวเท่านั้น ของไอลที่ไอลภายในระบบ คือ อากาศที่ความดัน 1 atm อุณหภูมิ 20 °C การคำนวณกำหนดให้เป็นการไอลผ่านแผ่นคู่ขนานที่มีความยาวทั้งหมด 500 mm มีระยะห่างระหว่างแผ่นคู่ขนานเป็น 10 mm ความแตกต่างของความดันสัตติที่ปากทางเข้า และที่ปากทางออกของโคล เมนเป็น 0.162 Pa ทั้งนี้การกำหนดโคล เมนในโปรแกรม CFX กำหนดให้มีความหนาในแนวแกน z เท่ากับหนึ่งเมช (2 mm) โดยลักษณะของแผ่นคู่ขนานดังกล่าวแสดงไว้ในรูปที่ 3.4 (รายละเอียดการจำลองแสดงไว้โดยละเอียดในภาคผนวก ก.2)

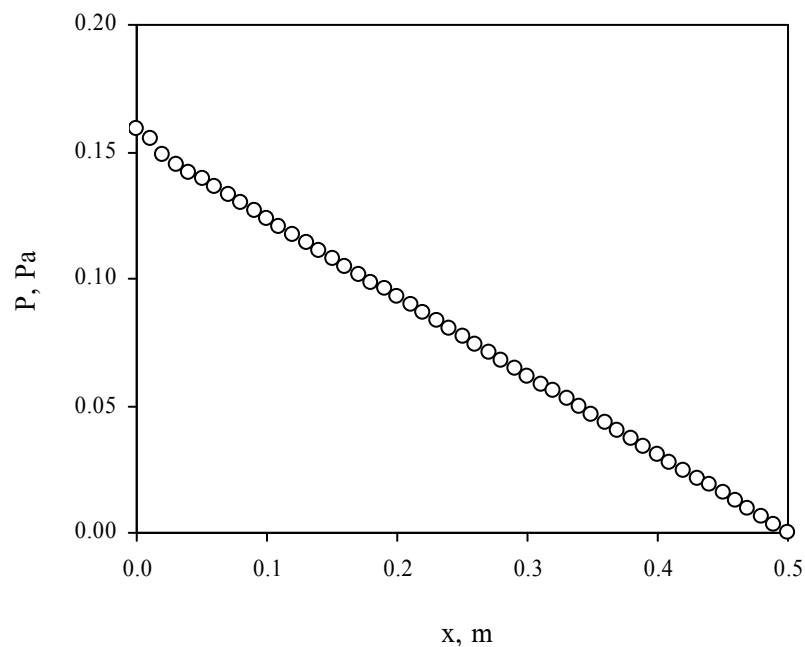


รูปที่ 3.4 แผนภาพแผ่นคู่ขนาน

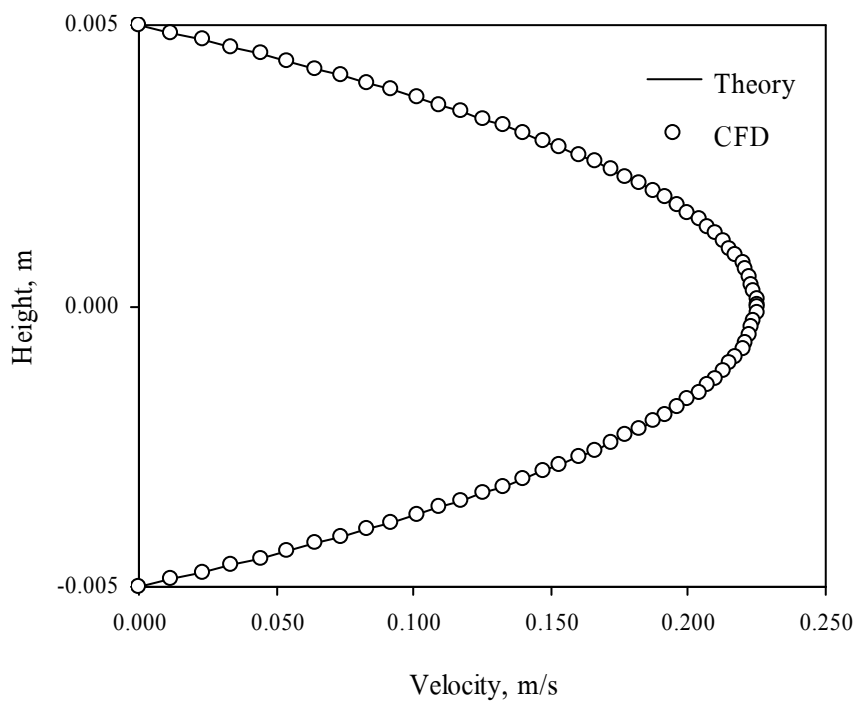
จากการจำลอง ของรูปความเร็วที่ระยะ  $x = 500 \text{ mm}$  มีลักษณะการกระจายตัวเป็นรูปพาราโบลาดังแสดงในรูปที่ 3.5 นอกจากนี้พบว่าความดันมีค่าสูงที่ปากท่อทางเข้า หลังจากนั้นค่อยๆ ลดลงจนกระทั่งมีค่าน้อยที่สุดที่ระยะ  $x = 500 \text{ mm}$  ดังแสดงในรูปที่ 3.6



รูปที่ 3.5 รูปความเร็วที่บริเวณปลายท่อ



รูปที่ 3.6 การกระจายตัวของความดันตลอดความยาวของท่อ



รูปที่ 3.7 ความเร็วของการไหลที่ความสูงต่าง ๆ เทียบกับค่าจากทางทฤษฎี

ความเร็วที่ได้จากการจำลองดังกล่าวเมื่อนำมาเปรียบเทียบกับค่าที่ได้จากการทดลองทฤษฎี ถือว่าให้ผลที่ดีมาก ค่าความเร็วที่ระบุความสูงต่าง ๆ เทียบกับค่าที่ได้จากการทดลองทฤษฎีแสดงในรูปที่ 3.7

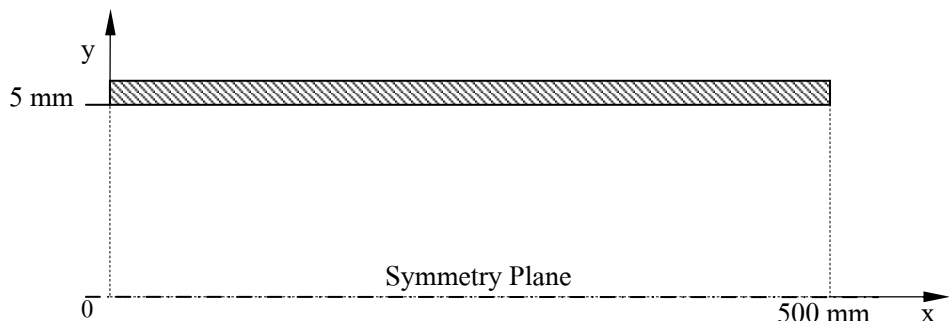
### 3.1.3 การไอลน์ท่อแบบความเร็วต่ำภายในท่อ

การไอลน์เป็นการไอลน์แบบความเร็วนานาในท่อกลม ซึ่งสามารถหาผลเฉลยแม่นยำโดยการอินทิเกรตสมการนาเวียร์-สโตค โดยตรง เช่นเดียวกับปัญหาการไอลน์ผ่านแผ่นขานภายในท่อแรงดัน ซึ่งจะได้ค่าตอบดังนี้ (White (1994))

$$u = -\frac{1}{4\mu} \frac{dp}{dx} (R^2 - r^2) \quad (3.2)$$

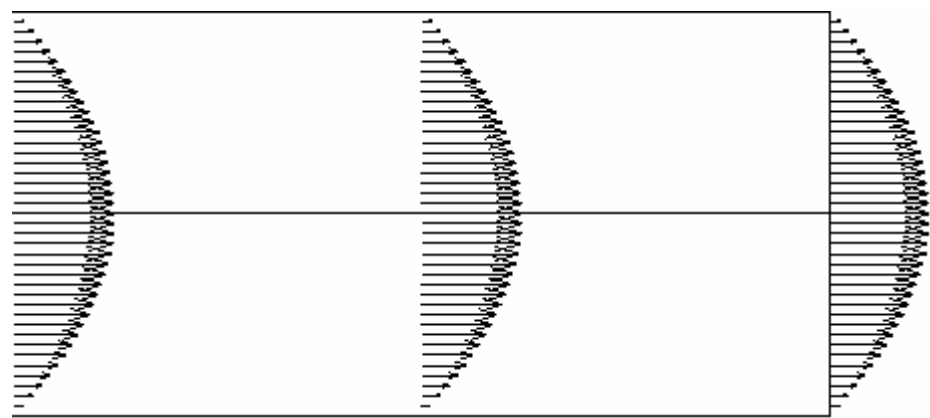
เมื่อ  $R$  คือรัศมีของท่อและ  $r$  คือระยะจากจุดศูนย์กลาง

การคำนวณนี้ได้กำหนดค่าพารามิเตอร์ต่าง ๆ เมื่อการไอลน์ผ่านแผ่นคู่ขานทุกประการ ยกเว้นการกำหนดให้ท่อเป็นท่อกลม และมีขนาดเส้นผ่านศูนย์กลางเป็น 5 mm ความแตกต่างของความดันสติตที่ขาเข้าและที่ขาออกถูกกำหนดให้มีค่าเท่ากันคือ 0.162 Pa ลักษณะของปัญหาและรายละเอียดท่อเป็นดังรูปที่ 3.8 (รายละเอียดการจำลองแสดงไว้โดยละเอียดในภาคผนวก ก.3)

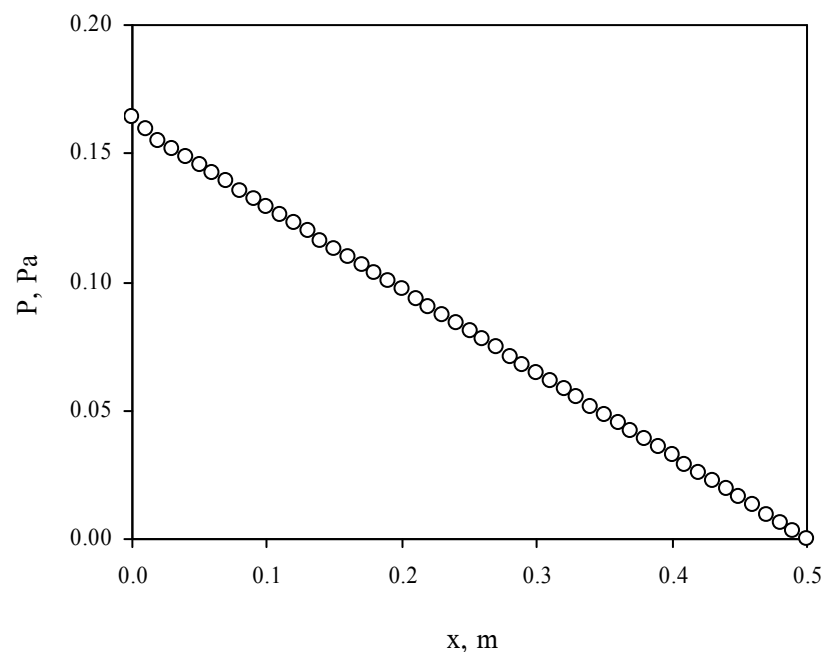


รูปที่ 3.8 แผนภาพท่อสำหรับปัญหาการไอลน์ท่อภายในท่อโดยได้ความดัน

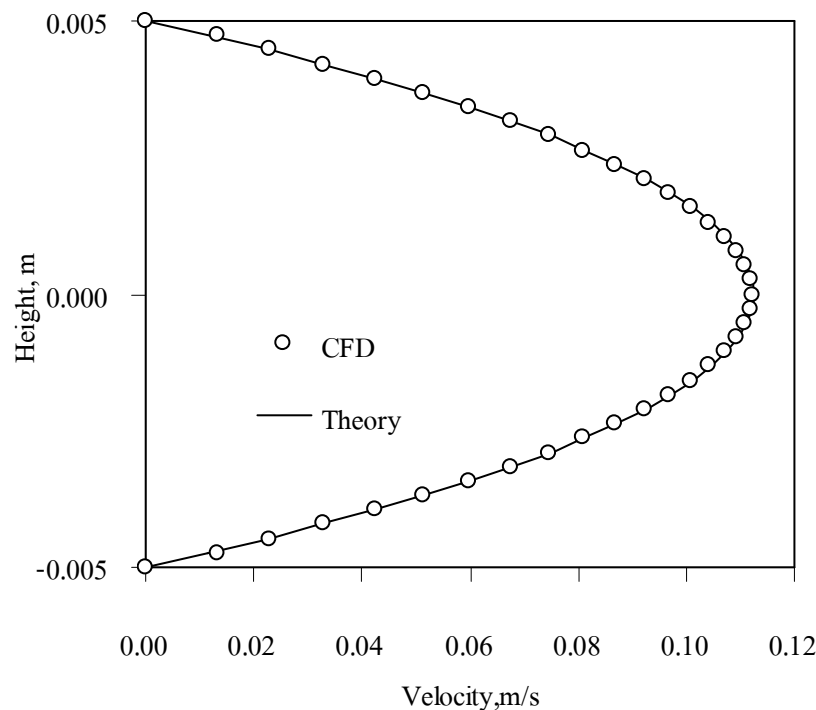
ผลการคำนวณปรากฏว่าค่าที่ได้มีความสอดคล้องกับทางทฤษฎีเป็นอย่างดี โดยความเร็วมีลักษณะดังภาพที่ 3.9 ภาพที่ 3.10 แสดงการกระจายตัวของความดันภายในระบบ และภาพที่ 3.11 แสดงการเปรียบเทียบความเร็วที่ได้จากการคำนวณที่มีความสอดคล้องกับความเร็วที่ได้จากการทดลองทฤษฎี



รูปที่ 3.9 รูปศรความเร็วที่ตำแหน่งต่าง ๆ



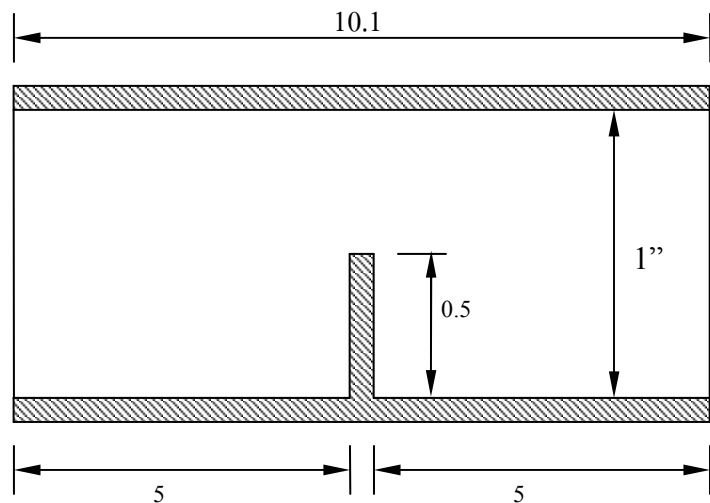
รูปที่ 3.10 การกระจายตัวของความดันความดันตลอดความยาวท่อ



รูปที่ 3.11 ความเร็วของการไหลเปรียบเทียบกับความเร็วทฤษฎี

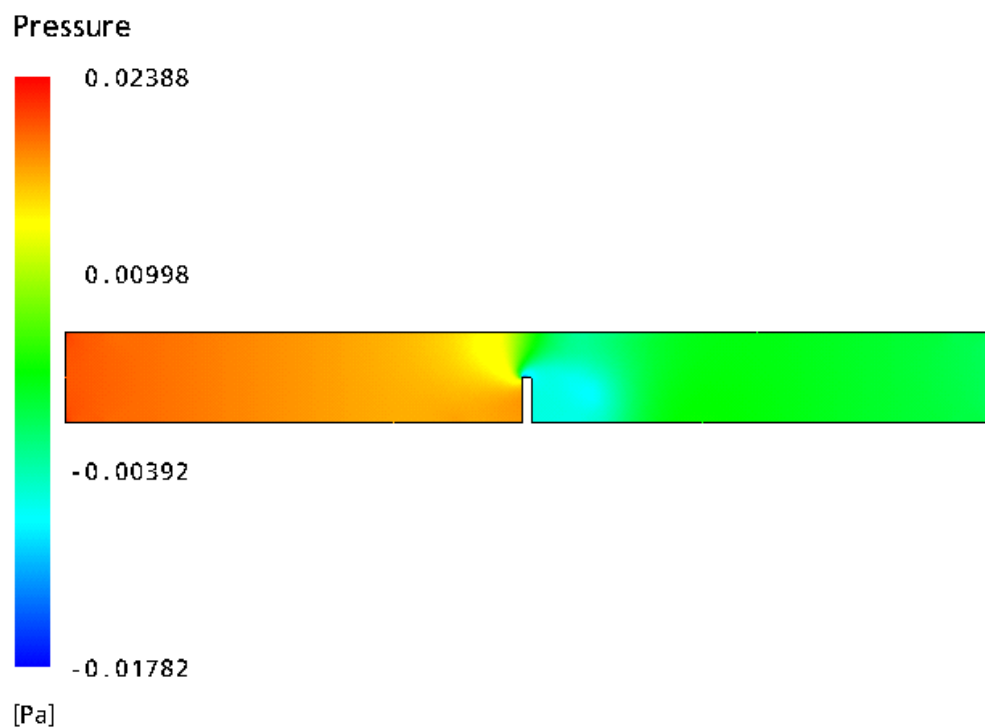
### 3.1.4 การไหลผ่านสิ่งกีดขวางแบบไม่อัดตัวที่สภาวะคงตัว

การไหลนี้มีลักษณะเป็นดังรูปที่ 3.12 ความยาวของห้องโดยรวมเป็น 5.1 นิ้ว ความสูงของห้องท่อเป็น 1 นิ้ว และมีสิ่งกีดขวางตั้งอยู่ในตำแหน่งตรงกลาง ห่างจากปลายห้องและปากห้องในระยะที่เท่ากันคือ 5 นิ้ว สิ่งกีดขวางดังกล่าวมีความสูงเป็นครึ่งหนึ่งของความสูงห้องคงตัวที่ 0.5 นิ้ว โดยของไหลที่ไหลภายในห้องที่มีสิ่งกีดขวางดังกล่าวคืออากาศที่ความดัน 1 atm และอุณหภูมิ  $20^{\circ}\text{C}$  การจำลองการไหลจะทำเป็นสามมิติซึ่งมีขนาดความหนาของเมฆเพียงเม็ดเดียวในแนวแกน  $z$  เช่นเดียวกับการไหลที่ได้กล่าวมาข้างต้น (รายละเอียดการจำลองแสดงไว้โดยละเอียดในภาคผนวก ก.4)

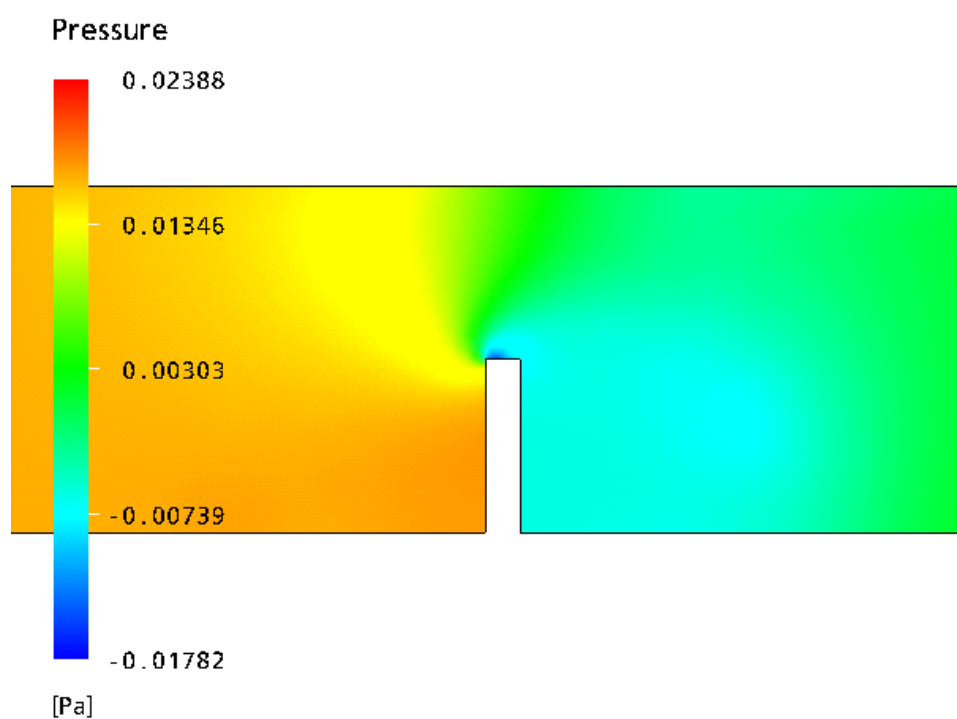


รูปที่ 3.12 แผนภาพห่อที่มีสิ่งกีดขวางอยู่ภายใน

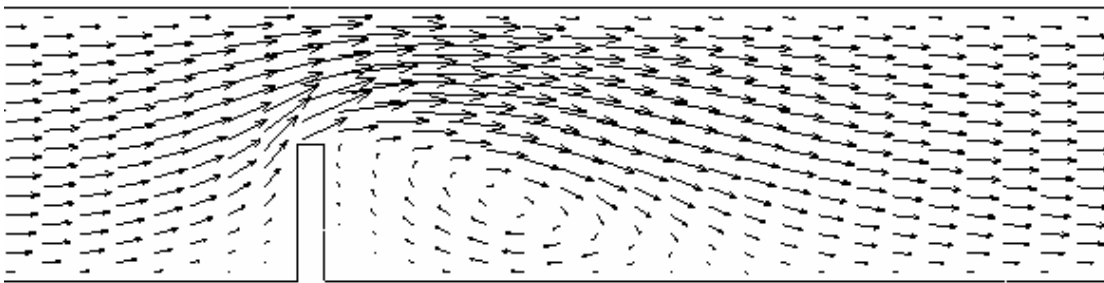
ผลการจำลองแสดงให้เห็นว่าความดันภายในห่อเมื่อค่าสูงที่ตำแหน่งปากห่อ ความดันบริเวณใกล้เคียงกับสิ่งกีดขวางมีความเปลี่ยนแปลงอย่างเห็นได้ชัด โดยเฉพาะบริเวณหลังสิ่งกีดขวางจะเห็นว่าความดันลดลงต่ำกว่าบริเวณอื่น ๆ และความดันต่ำสุดอยู่ที่บริเวณมุมยอดของสิ่งกีดขวาง ดังแสดงในรูปที่ 3.13 และ 3.14 นอกจากนี้ เมื่อพิจารณาจากรูปศรีความเร็วและเส้นแนวการไหล พบร่วมกับการหมุนวนบริเวณหลังสิ่งกีดขวาง และความเร็วบริเวณดังกล่าวมีค่าต่ำกว่าบริเวณอื่นอย่างชัดเจน รูปศรีความเร็วและเส้นแนวการไหลแสดงในรูปที่ 3.15 และ 3.16 ตามลำดับ



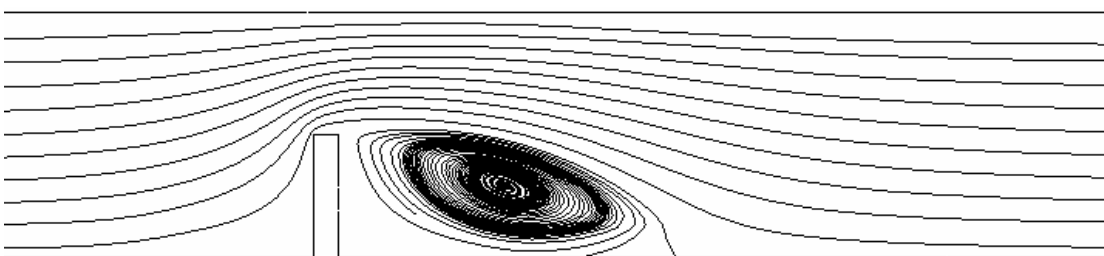
รูปที่ 3.13 ความดันตลอดแนวความยาวของท่อที่มีสิ่งกีดขวาง



รูปที่ 3.14 ความดันบริเวณไกด์สติงกีดขวาง



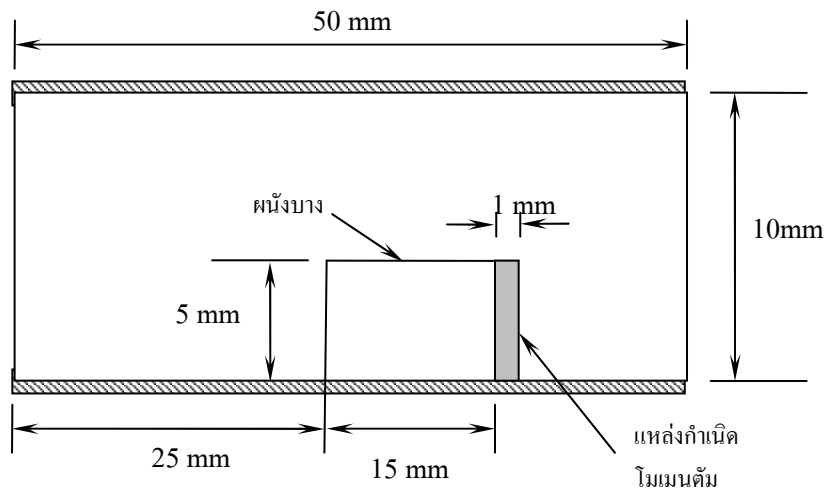
รูปที่ 3.15 รูปศรความเร็วภายในท่อที่มีสิ่งกีดขวาง



รูปที่ 3.16 เส้นแนวการไหลภายในท่อที่มีสิ่งกีดขวาง

### 3.1.5 การไหลผ่านแผ่นขนาดเนื้องจากแหล่งกำเนิดโน้ม-menตัมในแนวแกน

การไหลนี้เป็นการไหลภายในท่อสี่เหลี่ยมซึ่งมีความลึกไม่จำกัด ภายในท่อคิดตั้งแหล่งกำเนิดโน้ม-menตัม ซึ่งกำหนดให้แหล่งกำเนิดโน้ม-menตัมในแนวแกน  $x$  มีค่าเป็น  $10000 \text{ kg/m}^2 \cdot \text{s}^2$  แหล่งกำเนิดโน้ม-menตัมจะทำหน้าที่ดูดของไหลจากภายนอกให้ไหลผ่านเข้ามาในท่อซึ่งวางแผนอยู่ในความดันบรรยากาศ ลักษณะของโคลเมนเป็นดังรูปที่ 3.17 (รายละเอียดการจำลองแสดงไว้โดยละเอียดในภาคผนวก ก.5)

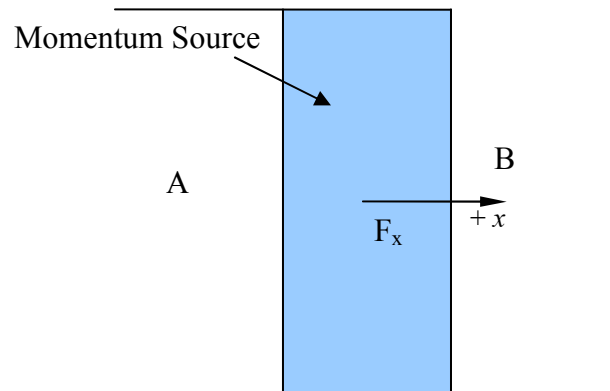


รูปที่ 3.17 แผนภาพท่อที่ติดตั้งแหล่งกำเนิดโมเมนตัม

การให้แหล่งกำเนิดโมเมนตัมก็คือการให้แรง ซึ่งโปรแกรม CFX จะกำหนดค่าดังกล่าวเข้าไปในสมการโมเมนตัมตามทิศที่ระบุโดยผู้ใช้ เช่น เมื่อผู้ใช้กำหนดค่า โดยผู้ใช้จะต้องกำหนดเป็นแหล่งกำเนิดโมเมนตัมต่อหน่วยปริมาตรดังสมการ

$$S_{mx} = \frac{F_{net,x}}{\nabla} \quad (\text{kg/m}^2/\text{s}^2) \quad (3.3)$$

แรงสัมพันธ์กับความดันคือ  $F = PA$  ดังนั้นการให้แหล่งกำเนิดโมเมนตัมจึงเปรียบเสมือนการให้ความดันโดยอ้อม ลักษณะการกำหนดค่าแหล่งกำเนิดโมเมนตัมสามารถกำหนดได้ทั้งสามทิศทาง

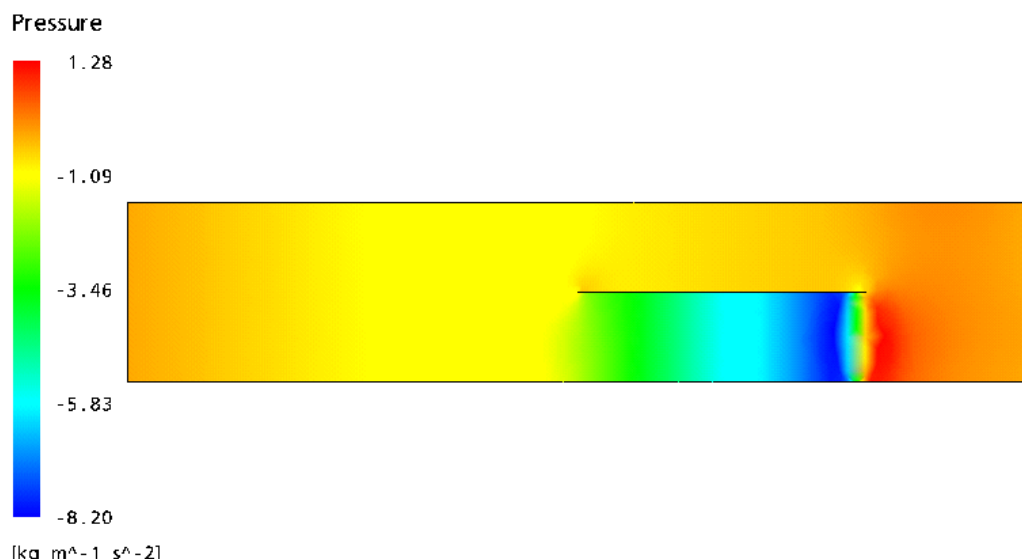


รูปที่ 3.18 แผนภาพลักษณะการกำหนดทิศทางของโมเมนตัมภายในโดเมน

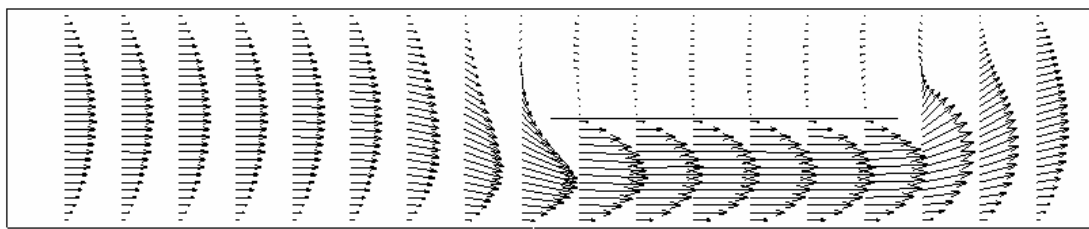
การเปลี่ยนแปลงความดันสามารถจะคาดการณ์ได้โดยพิจารณาจากรูปที่ 3.18 แหล่งกำเนิดโมเมนตัมถูกกำหนดให้กระทำในทิศ  $+x$  ดังนั้นของไอลบริเวณ B จะได้รับแรงกดซึ่งทำให้ของไอลบริเวณดังกล่าวมีความดันสูงขึ้น ในขณะที่ของไอลบริเวณ A จะได้รับแรงดึงซึ่งส่งผลให้ความดันความดันบริเวณดังกล่าวมีค่าลดต่ำลง ของไอลในบริเวณ B จึงจะมีความดันสูงกว่าความดันของของไอลในบริเวณ A ทั้งนี้เมื่อตรวจสอบค่าการกระจายของความดันภายในระบบที่ได้จากการจำลองพบว่ามีความสอดคล้องกับลักษณะที่ได้คาดการณ์ไว้ รูปที่ 3.19 แสดงการกระจายของความดันภายในโดเมน ค่าความดันสูงสุดและต่ำสุดภายในโดเมนมีค่า 1.28 และ -8.20 ตามลำดับ นอกจากนี้หากพิจารณาความสัมพันธ์ของแรงที่หน้าตัดใด ๆ กับความเร็วจะได้ว่าแรงสัมพันธ์กับความเร็วตามสมการ 3.4

$$F_x = \rho A u^2 \quad (3.4)$$

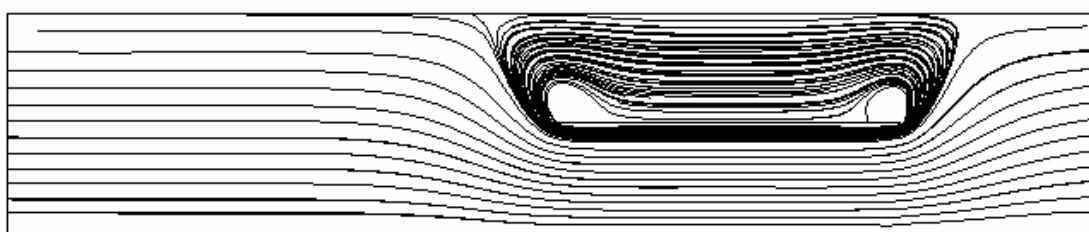
จากสมการจะเห็นว่าการให้แหล่งกำเนิดโมเมนตัมจะส่งผลให้มีการเปลี่ยนแปลงความเร็ว สำหรับการไอลกรณีนี้ แหล่งกำเนิดโมเมนตัมถูกติดตั้งในระบบซึ่งเริ่มต้นไม่มีความเร็ว กล่าวคือท่อถูกวางในแนวระนาบ และเปิดปลายออกสู่บรรยายกาศทั้งสองข้างก่อนการติดตั้ง ดังนั้นในตอนเริ่มต้นจึงไม่มีการไอลเกิดขึ้นภายในระบบ หลังจากติดตั้งแหล่งกำเนิดโมเมนตัม พิจารณาผลจากการจำลอง จะเห็นว่ามีการไอลเกิดขึ้นภายในระบบ โดยลักษณะของรูปทรงความเร็วและเส้นแนวการไอลภายในโดเมน แสดงในรูปที่ 3.20 และ 3.21 ตามลำดับ



รูปที่ 3.19 การกระจายตัวของความดันตลอดความยาวท่อ



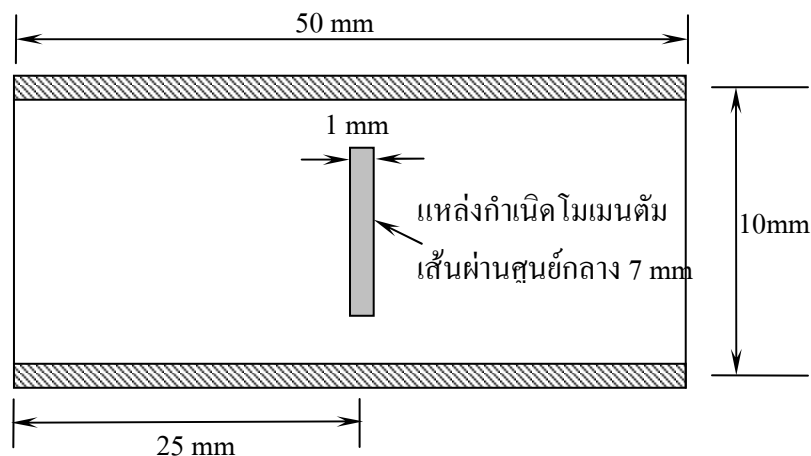
รูปที่ 3.20 รูปครรภารมีเร็วภายในท่อ



รูปที่ 3.21 เส้นแนวการไหลภายในท่อ

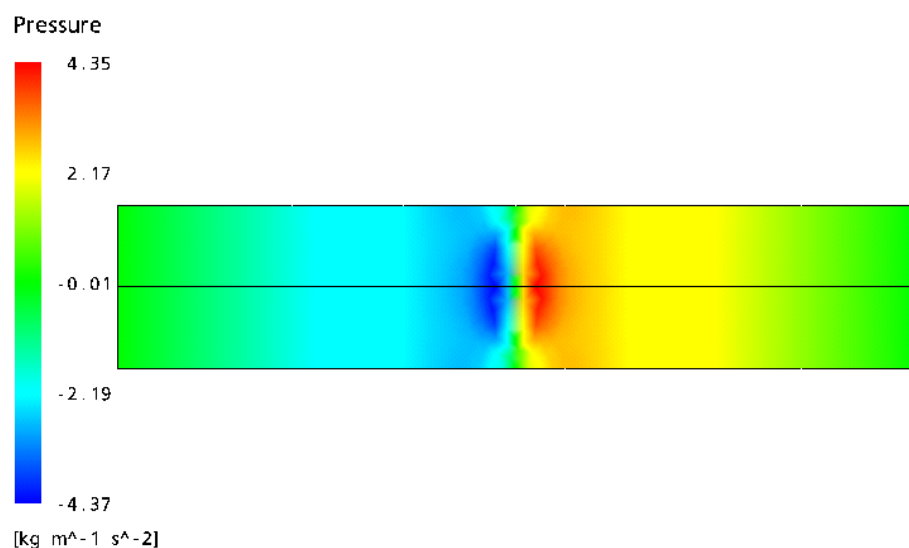
### 3.1.6 การไหลในท่อเนื่องจากการให้แหล่งกำเนิดโน้ม-menตัมในแนวแกนและแนวรัศมี

การไหลนี้เป็นการไหลภายในท่อคอลม ภายในท่อติดตั้งแหล่งกำเนิดโน้ม-menตัม ซึ่งให้แหล่งกำเนิดโน้ม-menตัมในแนวแกน  $x$  เป็น  $10000 \text{ kg/m}^2 \cdot \text{s}^2$  แหล่งกำเนิดโน้ม-menตัมจะทำหน้าที่ดูดของไหลจากภายนอกให้ไหลผ่านเข้ามาในท่อซึ่งวางแผนอยู่ในความดันบรรยายกาศ ลักษณะของโอดเมน เป็นดังรูปที่ 3.22 (รายละเอียดการจำลองแสดงไว้โดยละเอียดในภาคผนวก ก.6)

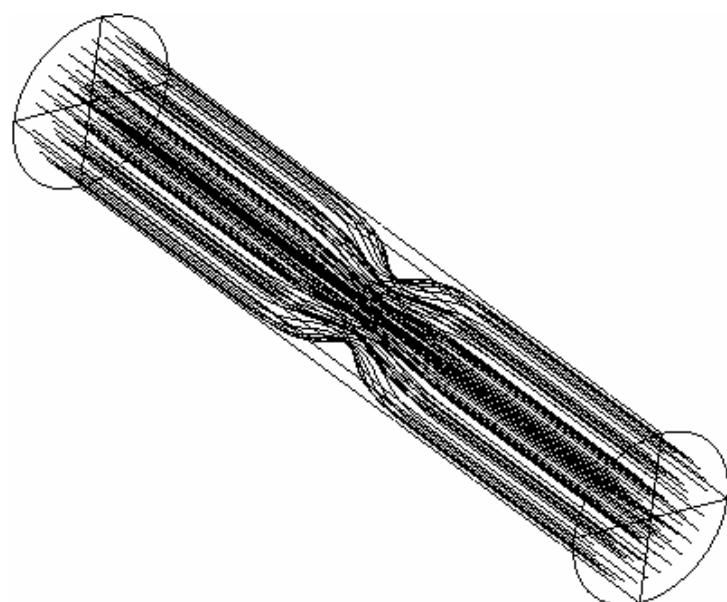


รูปที่ 3.22 แผนภาพห่อคอลมที่ติดตั้งแหล่งกำเนิดโน้ม-menตัมภายใน

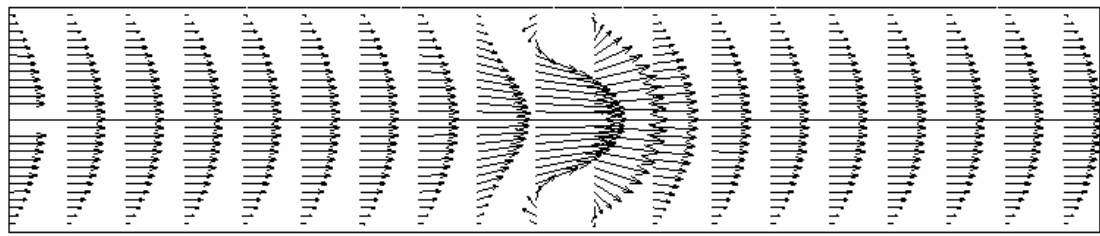
ผลการคำนวณที่ได้จากโปรแกรมเป็นไปตามรูปที่ 3.23 -3.25 ซึ่งจะเห็นว่าในบริเวณที่ของไอลกายในท่อถูกดูด เส้นแนวการไอลมีแนวโน้มวิ่งเข้าสู่แหล่งกำเนิดไมemenตัม โดยความดันก่อนถึงแหล่งกำเนิดไมemenตัมและหลังแหล่งกำเนิดไมemenตัมมีความสมเหตุสมผลกล่าวคือในบริเวณที่ถูกดูดจะมีค่าความดันต่ำ และบริเวณหลังแหล่งกำเนิดไมemenตัมซึ่งได้รับแรงผลักจะมีความดันที่สูงขึ้น



รูปที่ 3.23 การกระจายตัวของความดันตลอดความยาวท่อ

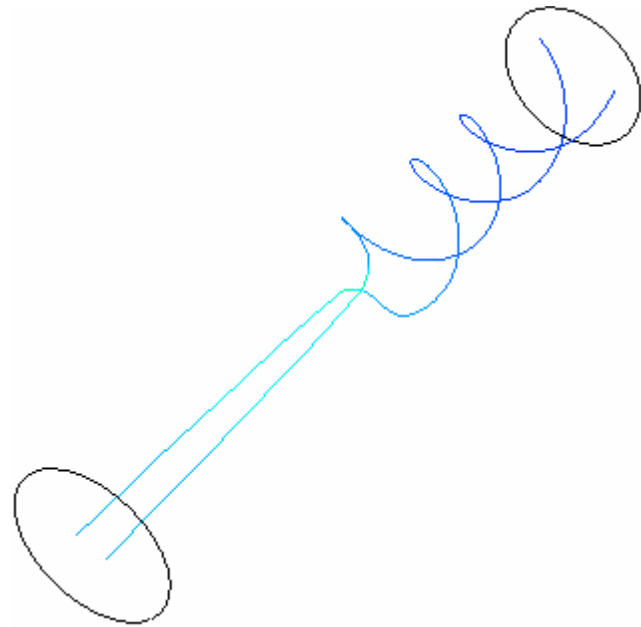


รูปที่ 3.24 เส้นแนวการไอลกายในท่อ

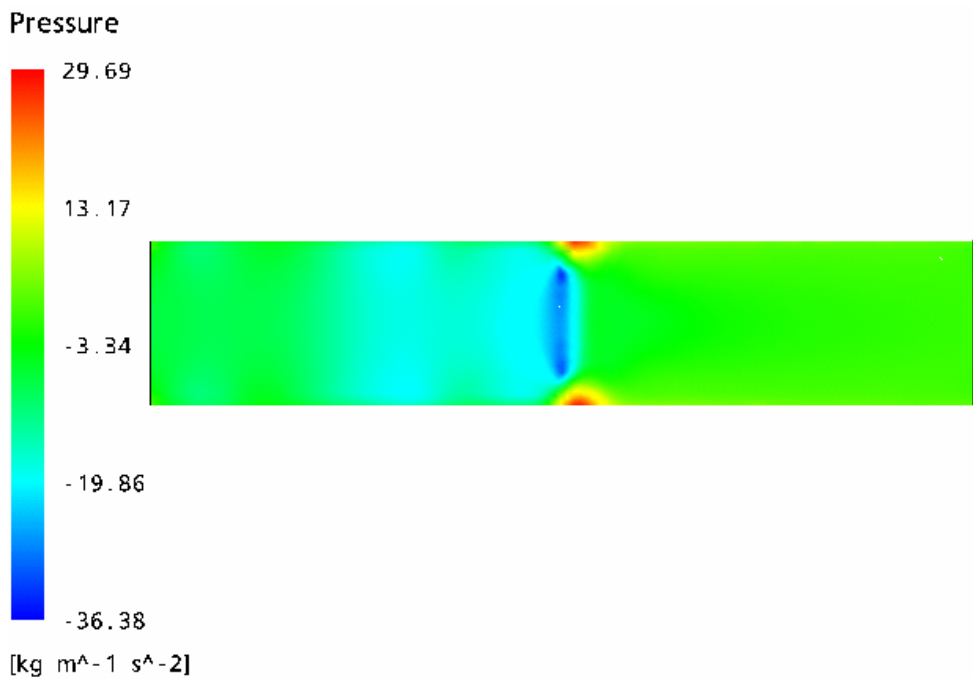


รูปที่ 3.25 รูปความเร็วภายในท่อ

นอกจากนี้ หากกำหนดให้เหล็กกำเนิดโอมเมนตัมมีค่าในแนวรัศมีด้วยแล้ว รูปแบบของเส้นแนวการไหลจะมีการบิดไปหลังจากผ่านแหล่งกำเนิดโอมเมนตัมที่บริเวณกลางท่อ โดย เกิดการหมุนวนเป็นเกลียวรอบท่อ ตลอดจนความดันในท่อที่ได้มีค่าเปลี่ยนไปดังรูปที่ 3.26 และ 3.27



รูปที่ 3.26 เส้นแนวการไหลเมื่อให้แหล่งกำเนิดโอมเมนตัมในแนวรัศมี



รูปที่ 3.27 ความดันตลอดแนวความยาวท่อเมื่อให้แหล่งกำเนิดโอมเมนตัมในแนวรัศมี

### 3.2 ลักษณะของถังตอกผลึกและหลักการทำงาน

ถังตอกผลึกที่จะทำการจำลองในงานวิจัยนี้มีขนาดและรูปแบบคล้ายคลึงกับถังตอกผลึกที่มีอยู่ในห้องปฏิบัติการสาขาวิศวกรรมเคมี มหาวิทยาลัยเทคโนโลยีสุรนารี ดังแสดงในรูปที่ 3.28 โดยกำหนดให้ถังตอกผลึกดังกล่าวเป็นถังตอกผลึกน้ำตาล จำลองประเภทต่อเนื่อง โดยการทำความเย็นตัวถังเป็นทรงกระบอกก้นมนซึ่งมีขนาดเล็ก มีขนาดเส้นผ่านศูนย์กลางเท่ากับ 137 mm ภายในถังตอกผลึกจำลองประกอบด้วย แผ่นกันแนวตั้ง (Vertical Baffle) จำนวน 4 แผ่น วางห่างกันในแนวรัศมีตัวละ 90 องศา แผ่นกันแนวตั้งนี้มีขนาดความกว้างของแผ่นเท่ากับ 24 mm สูง 98 mm และถูกติดตั้งไว้เพื่อเป็นตัวกันไฟข้องไฟловมีการไฟловนในแนวรัศมีน้อยที่สุด ส่วนกลางของตัวถังจะมีท่อน้ำ (Draft tube) ซึ่งมีท่อทำความเย็นขนาดอยู่ภายนอกตัวถัง ติดตั้งไว้ในแนวรัศมีรวมศูนย์กลางกับตัวถังตอกผลึกขนาดเส้นผ่านศูนย์กลางเท่ากับ 69 mm และมีการติดตั้งใบพัดเข้าไปที่ปลายของท่อน้ำ เพื่อให้ใบพัดดูดส่งของไฟลให้ไฟลลงสู่ด้านล่างแล้วไฟลวนกลับขึ้นไปใหม่เป็นวงรอบ ประเภทของใบพัดที่ใช้เป็นใบพัดแบบปั่นของไฟลให้เกิดการไฟลในแนวแกน แกนของใบพัดจะตรงกับแกนของตัวถังตอกผลึกพอดี



รูปที่ 3.28 ถังตอกผลึกจำลองในห้องปฏิบัติการวิศวกรรมเคมี

นอกจากนี้ยังมีท่อสำหรับปล่อยสารละลายเข้าไปในตัวถังอย่างต่อเนื่องและท่อสำหรับดูดสารละลายออกจากตัวถัง ท่อทั้งสองชนิดมีขนาดเท่ากันคือมีเส้นผ่านศูนย์กลางเป็น 6 mm และความยาวท่อที่หย่อนลงมาในระบบเท่ากับ 75 mm โดยท่อน้ำเข้าถูกติดตั้งในบริเวณห่างจากแกนกลางของถังออกมาระยะ 9 mm ซึ่งปลายท่อจะลุกหย่อนลงไปในบริเวณด้านในของท่อน้ำซึ่งทิศทางการไหลจะอยู่ในทิศไหลดง ส่วนท่อดูดออกถูกติดตั้งด้านนอกของท่อน้ำซึ่งการไหลดของของไหลดบริเวณดังกล่าวอยู่ในทิศที่ไหลดขึ้น ระยะห่างระหว่างแกนของท่อดูดออกกับแกนของถังผลึกเป็น 48.5 mm

สำหรับการทำงานของถังตอกผลึกนั้นจะใช้หลักการง่าย ๆ กล่าวคือ เมื่อต้องการให้เกิดการตอกผลึกจะปล่อยสารละลายที่มีสภาพใกล้ อิ่มตัวเข้าไปทางท่อน้ำเข้าด้วยอัตราการไหลดน้อย ๆ สารละลายที่ไหลดเข้าถังตอกผลึกจะไหลดผ่านท่อน้ำซึ่งมีขนาดทำความเย็นอยู่ภายใน เมื่อสารละลายถูกทำให้เย็นลง ก็จะมีสภาพอิ่มตัวยิ่งขึ้น ทำให้มีความสามารถในการละลายน้อยลง และเกิดการตอกผลึกออกมากบางส่วน ทั้งนี้ในขณะที่สารละลายอยู่ในถังตอกผลึกจะถูกใบพัดปั่นให้ไหลดผ่านท่อน้ำลงสู่ด้านล่างของตัวถังและไหลดย้อนกลับขึ้นไปด้านบน โดยผ่านแผ่นกันแนวตั้งซึ่งจะช่วยให้ของไหลดไหลดผ่านขึ้นไปด้านบนโดยเกิดการไหลดในแนวรัศมีน้อยลง หลังจากนั้นของไหลดก็จะวนกลับมาผ่าน

ท่อน้ำและไหลดงสู่ด้านล่าง เช่นเดิมเป็นวัสดุจกร ลักษณะการไหลดภัยในตัวถังตอกผลึกนั้นต้องการ การไหลดที่เป็นเอกรูปเพื่อให้คุณสมบัติของสารภายน้ำถังมีค่าใกล้เคียงกันที่สุด ซึ่งจะเป็นผลให้การ เจริญเติบโตของผลึกมีความสม่ำเสมอและได้ผลิตภัณฑ์ที่มีคุณภาพ

ของไหลดที่ไหลดอยู่ในระบบของถังตอกผลึกเป็นสารละลายน้ำตาลซูโครส ซึ่งมีความ หนาแน่นเป็น  $1342.7 \text{ kg/m}^3$  มีค่าความหนืดเท่ากับ  $236.77 \text{ mPa.s}$  ซึ่งสารละลายน้ำตาลซูโครส ดังกล่าวจะถูกปล่อยให้ไหลดเข้าสู่ถังผลึกที่อัตราการไหลด  $25 \text{ L/h}$  และถือว่าการตอกผลึกเป็น กระบวนการอุณหภูมิกิงที่ที่  $29^\circ\text{C}$

### 3.3 การจำลองลักษณะทางกายภาพของถังตอกผลึก

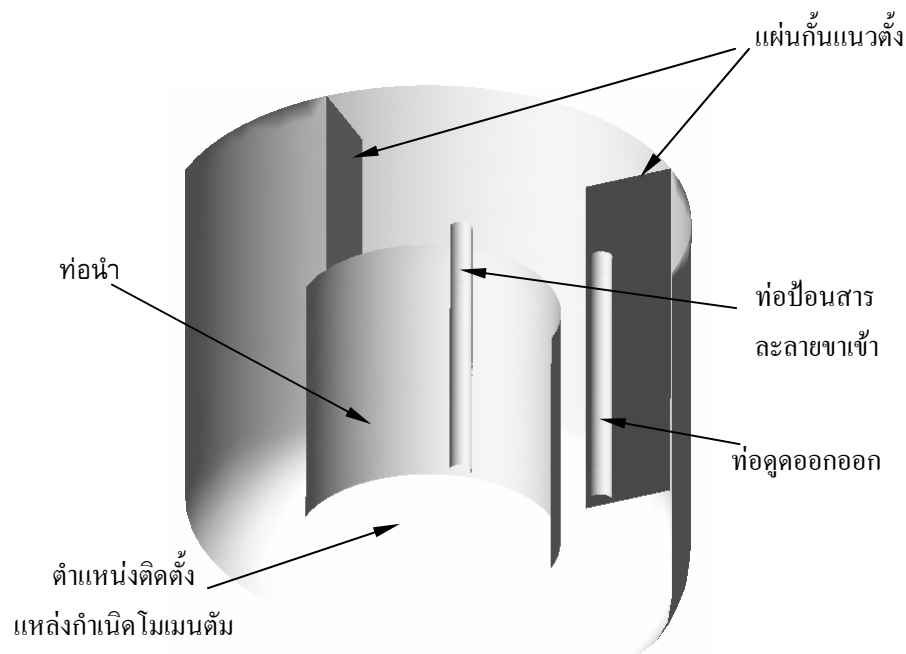
จากลักษณะของถังตอกผลึกจำลองข้างต้น สามารถนำมาสร้างต้นแบบลงในโปรแกรมเพื่อ การจำลองการไหลดโดยใช้โปรแกรม CFX ถังตอกผลึกที่ถูกสร้างขึ้นมีลักษณะตั้งรูปที่  $3.29$  และเพื่อ เป็นการทำให้ปัญหาง่ายขึ้น การจำลองลักษณะทางกายภาพของถังตอกผลึกจะเป็นไปตามสมมุติฐาน ดังต่อไปนี้

3.3.1 กำหนดให้ท่อน้ำและแผ่นกันแนวตั้งเป็นวัสดุผิวบางที่มีความหนาน้อยมาก การสร้าง ลักษณะทางกายภาพภายในโปรแกรมจึงกำหนดให้เป็นวัสดุที่ไม่มีความหนา

3.3.2 กำหนดให้ตัวถังด้านบนมีฝาปิดอยู่และมีสารละลายน้ำตาลซูโครสบรรจุอยู่เต็มถัง ดังนั้นจึงไม่มีผิวอิสระของของไหลดที่ด้านบนของถังตอกผลึก

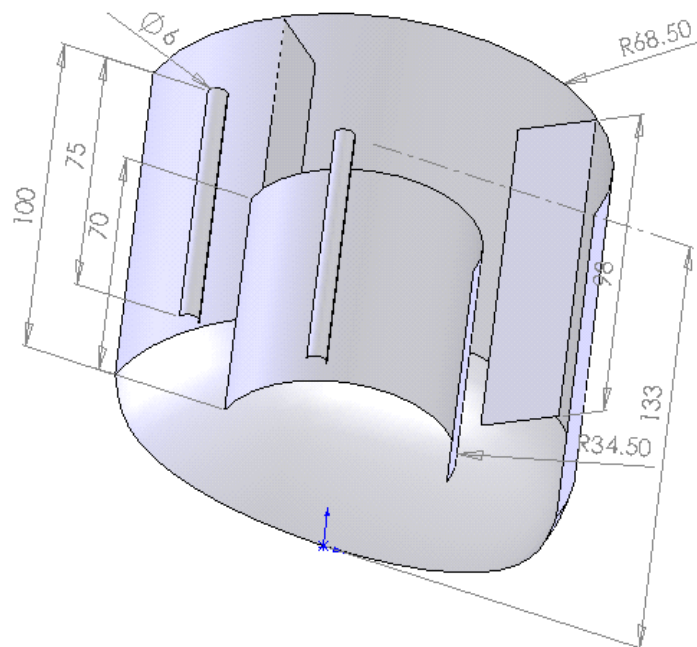
3.3.3 จุดประสงค์ในการติดตั้งท่อน้ำและแผ่นกันแนวตั้งเพิ่มเข้าไปกีเพื่อให้สารละลายเกิด การไหลดในแนวแกน ดังนั้นจึงจำลองใบพัด ด้วยแหล่งกำเนิดไม่มีน้ำในแนวแกนเท่านั้น

3.3.4 เนื่องจากระบบทองถังตอกผลึกมีความสมมาตร ในการจำลองจึงสร้างถังตอกผลึก จำลองแค่เพียงครึ่งถังเท่านั้น



รูปที่ 3.29 ถังตกผลึกจำลองที่สร้างขึ้นโดยใช้โปรแกรม CFX5.5.1 (ผ่าครึ่ง)

ขนาดของถังตกผลึกจำลองและส่วนประกอบที่ถูกสร้างขึ้นในโปรแกรม CFX นั้นได้มามาจากการวัดตัวถังตกผลึกจำลองที่มีอยู่ในห้องปฏิบัติการ โดยมีรายละเอียดดังแสดงในรูปที่ 3.30



รูปที่ 3. 30 รายละเอียดของถังตกผลึกจำลองที่สร้างขึ้นโดยใช้โปรแกรม CFX

### 3.4 การสร้างเมช (Mesh)

ในการจำลองการไหลจะใช้กรรมวิธีปริมาตรจำกัดโดยใช้เมชแบบไรีโครงสร้าง ปริมาตรทั้งหมดภายในถังตอกผลึกจะถูกแบ่งออกเป็นปริมาตรเล็ก ๆ ซึ่งในเรียกปริมาตรเล็ก ๆ ที่ถูกแบ่งนี้ว่า “เมช” (Mesh) ซึ่งอาจมีรูปร่างเป็นปริามิดหรือปริซึม หรือตามที่ผู้ใช้กำหนด โดยจุดยอดมุมภายในเมชเรียกว่าโนด (Node) ในโปรแกรม CFX นั้นการแบ่งเมชจะเริ่มจากการแบ่งเมชสองมิติที่พื้นผิว ก่อน (Surface Mesh) โดยรูปแบบที่เป็นค่าเริ่มต้นของโปรแกรมถูกกำหนดให้เป็นรูปสามเหลี่ยม หลังจากนั้นโปรแกรมจะแบ่งเมชสามมิติภายในตัวถัง โดยรูปแบบเมชที่ถูกแบ่งจะเป็นรูปปริามิด ฐานสามเหลี่ยมหรือฐานสี่เหลี่ยมซึ่งเป็นค่าเริ่มต้นของโปรแกรม เช่นกัน อย่างไรก็ตามผู้ใช้สามารถกำหนดครูปร่างของเมชเองได้ โดยสามารถกำหนดได้ทั้งในโปรแกรมและการนำเมชที่ถูกกำหนดจากโปรแกรมอื่นภายนอกเข้าไปคำนวณได้ ทั้งนี้การสร้างเมชภายในถังผลักถูกสร้างขึ้นโดยใช้ฟังก์ชันการกำหนดเมชภายในโปรแกรม CFX

#### 3.4.1 ขั้นตอนในการกำหนดเมช

การแบ่งเมชมีความสำคัญอย่างยิ่งต่อการคำนวณเพื่อหาผลลัพธ์ การแบ่งเมชที่ไม่เหมาะสมอาจทำให้การคำนวณไม่ถูกเข้า หรือได้ค่าผลลัพธ์ที่ไม่ถูกต้อง วิธีการที่ผู้ใช้วิจัยนำมาใช้ในการหาช่วงเมชที่เหมาะสมและให้คำตอบที่มีความถูกต้องในช่วงที่ยอมรับได้ แบ่งออกเป็น 4 ขั้นตอนคร่าว ๆ ดังนี้

ขั้นที่ 1 ทำการแบ่งเมชโดยกำหนดค่าระยะห่างระหว่างกันให้มีค่าสูง ซึ่งจะทำให้ได้เมชที่หยาบ (ค่าเริ่มต้นของโปรแกรมได้กำหนดไว้ให้เป็นประมาณ 5 % ของขนาดของโดเมน) หลังจากนั้นทำการคำนวณบันทึกผลที่ได้จากการจำลองการไหลไว้

ขั้นที่ 2 ทำการปรับค่าระยะห่างระหว่างเมชให้เล็กลง ซึ่งจะทำให้ได้เมชที่ละเอียดมากกว่าเมชที่ได้จากการแบ่งในรอบแรก ทำการคำนวณใหม่อีกครั้ง และบันทึกผล

ขั้นที่ 3 นำผลลัพธ์ที่ได้จากขั้นที่ 1 และขั้นที่ 2 มาเปรียบเทียบกัน

ขั้นที่ 4 หากผลลัพธ์ที่ได้จากระบบเมชทั้งสองระบบยังมีความแตกต่างกันมากเกินค่าที่กำหนดไว้ ก็จะทำการปรับเมชให้ละเอียดลงอีกเรื่อย ๆ ทำอย่างนี้เป็นวัฏจักรจนกระทั่งได้เมชที่เหมาะสมที่จะทำให้คำตอบไม่เปลี่ยนแปลงหรือเปลี่ยนแปลงไปน้อยกว่าค่าที่กำหนดไว้

ขั้นตอนทั้งสี่ขั้นข้างต้นเป็นแนวทางคร่าว ๆ อย่างไรก็ตาม การกำหนดเมชนั้นจะต้องเหมาะสมกับลักษณะของโดเมนในแต่ละพื้นที่ด้วย การกำหนดเมชไม่จำเป็นต้องกำหนดให้มีขนาดที่เท่ากันตลอดทั้งโดเมน ในบริเวณที่มีพื้นที่การไหลแคบ ๆ เช่นในท่อเข้าและท่อออก จะถูกกำหนดให้มีเมชละเอียดกว่าบริเวณอื่น ๆ รอบนอกเพื่อให้การคำนวณสมการของการไหล

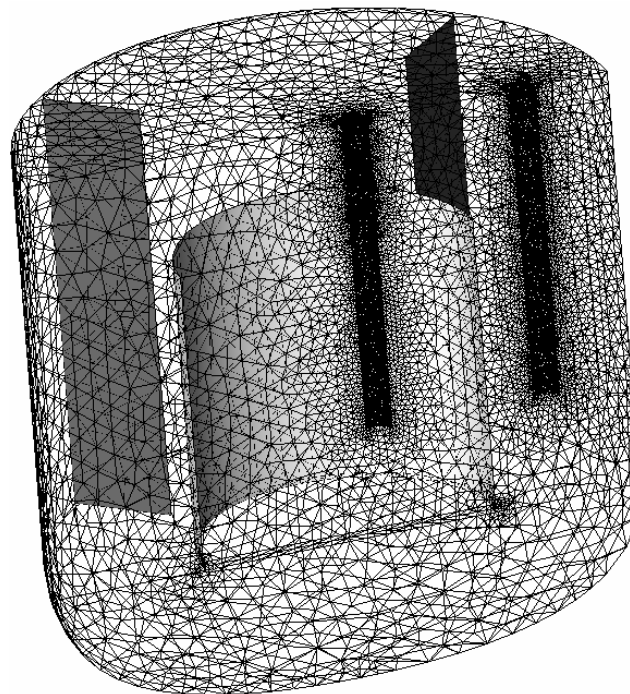
ถูกต้องมากขึ้น โดยเมษบริเวณดังกล่าวจะกำหนดให้มีความละเอียดเหมาะสมขนาดของท่อ การกำหนดเมษให้ละเอียดเฉพาะบางตำแหน่งสามารถทำได้โดยใช้ฟังก์ชันภายในโปรแกรมซึ่งมีลักษณะการกำหนดค่าพารามิเตอร์ต่าง ๆ เช่นเดียวกับการกำหนดเมษภายในโคน เมนูซึ่งหากเมษถูกกำหนดให้มีขนาดเหมาะสมมาก ในขณะที่เมษบริเวณรอบนอกถูกกำหนดให้มีขนาดใหญ่ ขนาดของเมษทั้งสองตำแหน่งมีความแตกต่างกันมากก็จะเกิดปัญหาในการสร้างเมษ เมษบางส่วนจะมีรูปร่างที่ไม่เหมาะสม เช่นอาจมีมุนที่เล็กจนเกินไป วิธีการแก้ปัญหาดังกล่าวคือ จะต้องลดความแตกต่างของขนาดของเมษทั้งสองตำแหน่งลง

การสร้างเมษด้วยวิธีนี้จะทำให้ได้เมษที่เหมาะสม ไม่ละเอียดจนเกินไปซึ่งจะทำให้ใช้เวลาในการคำนวนผลไม่มากจนเกินไป และในขณะเดียวกันก็ได้ผลลัพธ์ที่มีความถูกต้องในช่วงที่ยอมรับได้ การกำหนดเมษให้ละเอียดในครั้งเดียว อาจจะทำให้ได้เมษที่เล็กและเสียเวลาในการคำนวนมากเกินไปโดยไม่จำเป็น อีกทั้งการกำหนดเมษที่ละเอียดนี้หากมีความผิดพลาดในการระบุค่าพารามิเตอร์ต่าง ๆ ในโปรแกรม หรือต้องการคำนวนผลลัพธ์โดยการปรับค่าบางค่า เช่นค่าแหล่งกำเนิดโน้มnenต้มจะทำให้เสียเวลาในการคำนวนแต่ละรอบมากและเวลารวมที่ใช้ในการคำนวนหาผลลัพธ์มากเกินไป

#### 3.4.2 ลักษณะของเมษที่สร้างขึ้นภายในถังตอกผลึก

หลังจากทำการสร้างเมษาตามขั้นตอนที่ได้กล่าวในหัวข้อ 3.4.1 แล้ว เมษที่ถูกแบ่งภายในถังตอกผลึกมีลักษณะดังต่อไปนี้

- ก. เมษเล็ก ๆ ที่ถูกแบ่งนี้จะถูกกำหนดให้มีระยะห่างระหว่างแต่ละเมษได้ไม่เกิน 5.5 mm ในบริเวณที่เป็นพื้นที่ภายในถังโดยทั่ว ๆ ไป
- ข. พื้นที่บริเวณใกล้ ๆ ตลอดจนภายในท่อคุดออกและห่อนำเข้านี้กำหนดให้มีระยะห่างระหว่างเมษได้ประมาณ 0.5 mm เนื่องจากห่อทึ้งสองมีขนาดเล็กเมื่อเทียบกับตัวถัง นั่นคือมีเส้นผ่านศูนย์กลางเพียงแค่ 6 mm เท่านั้น บริเวณดังกล่าวจึงไม่สามารถแบ่งเมษให้มีขนาดใหญ่ได้ เนื่องจากจะส่งผลกระทบต่อความถูกต้องของคำตอบที่จะได้จากการจำลอง
- ค. เมษที่สร้างภายในถังตอกผลึกมีจำนวนโหนด จำนวนเมษ และจำนวนหน้าทึ้งหมด 73735 โหนด 376481 เมษ และ 40716 หน้า ตามลำดับ ลักษณะของเมษที่ได้แสดงไว้ในรูปที่ 3.31



รูปที่ 3.31 การแบ่งเมชภายในถังตอกผลึก

### 3.5 เงื่อนไขในการจำลอง การกำหนดเงื่อนไขค่าข้อมูลและค่าเริ่มต้น

#### 3.5.1 เงื่อนไขในการจำลอง

ในการจำลองการไหหลอดในถังตอกผลึกนี้ ของไหหลอดที่ใช้ในการจำลองคือสารละลายน้ำตาลซึ่งเป็นสารละลายที่มีความหนืดสูง ( $23677 \text{ kg/m}\cdot\text{s}$ ) มีความหนาแน่นเป็น  $1342.7 \text{ kg/m}^3$  กำหนดให้การไหหลอดเป็นการไหแบบรบกวนเรียบในย่านความเร็วต่ำและคงตัว กระบวนการที่เกิดขึ้นเป็นกระบวนการที่อุณหภูมิกคงที่ ไม่มีการถ่ายเทความร้อนภายในระบบ การไหจะถูกจำลองที่ค่าแหล่งกำเนิดโมเมนตัมต่างกันจำนวน 7 ค่า เริ่มตั้งแต่ค่าแหล่งกำเนิดโมเมนตัมเป็น 0 (กรณีไม่มีการใช้ใบพัดในการปั่นของไหหลอด)  $1000$   $10000$   $15000$   $18000$   $30000$  และ  $50000 \text{ kg/m}^2/\text{s}^2$  ตามลำดับ (ค่าแหล่งกำเนิดโมเมนตัมที่กำหนดคิดเป็นเปอร์เซ็นต์ของโมเมนตัมที่ตำแหน่งติดตั้งแหล่งกำเนิดในขณะแหล่งกำเนิดมีค่าเป็นศูนย์ได้เป็น  $0$   $0.252$   $2.518$   $3.777$   $4.532$   $7.554$  และ  $12.589\%$  ตามลำดับ) ทั้งนี้ค่าความดันอ้างอิงในการจำลองกำหนดให้มีค่าเป็น  $101325 \text{ Pa}$

#### 3.5.2 การกำหนดเงื่อนไขค่าข้อมูล

การกำหนดเงื่อนไขค่าข้อมูลภายในถังตอกผลึกโดยใช้โปรแกรม CFX สามารถกำหนดได้หลายประเภท ประเภทที่เลือกใช้ในการกำหนดเมชภายในถังตอกผลึกมีทั้งหมด 4 ประเภท โดยใช้ฟังก์ชันสำหรับเมชภายในโปรแกรมดังนี้

ก. Inlet

ข. Outlet ( Extrapolate)

ค. Wall

ง. Symmetry Plane

เงื่อนไขค่าของทั้งสี่ประเภทถูกกำหนดเข้าที่ตำแหน่งต่าง ๆ ดังนี้

#### 3.5.2.1 พื้นผิวน้ำตัดที่ทางเข้าของห้องน้ำเข้า

ตำแหน่งปากทางเข้าของห้องน้ำป้อนสารละลายเข้านี้จะมีการป้อนสารละลายเข้าสู่ระบบด้วยอัตราการ ไอล 25 ลิตรต่อชั่วโมง ดังนั้นจึงกำหนดให้เงื่อนไขค่าของบริเวณดังกล่าวเป็นประเภท Inlet ทิศทางการ ไอลตั้งฉากกับพื้นผิบริเวณที่กำหนด ทั้งนี้การกำหนดอัตราการ ไอล เปรียบเสมือนการกำหนดความเร็วในทิศตั้งฉากกับพื้นผิวน้ำ เนื่องจากโปรแกรมจะทำการคำนวณพื้นที่หน้าตัดดังกล่าวและหาค่าของความเร็วเฉลี่ยออกมา ซึ่งความเร็วเฉลี่ยดังกล่าวจะถูกนำมากำหนดเป็นค่าความเร็วที่ผิวน้ำ ๆ

#### 3.5.2.2 พื้นผิวน้ำตัดของปลายท่อดูดออก

กำหนดให้เงื่อนไขค่าของมีความดันสถิตอ้างอิงเป็นศูนย์ ซึ่งมีทิศการ ไอลในทิศทาง ไอลออกซึ่งตั้งฉากกับพื้นผิวตำแหน่งดังกล่าว ความเร็วทั้งสามแนวแกนที่ตำแหน่งดังกล่าวถือเป็นส่วนหนึ่งของตัวอุปกรณ์ที่จะได้จากการจำลอง โดยโปรแกรมจะใช้วิธีการ Extrapolate ในการคำนวณ

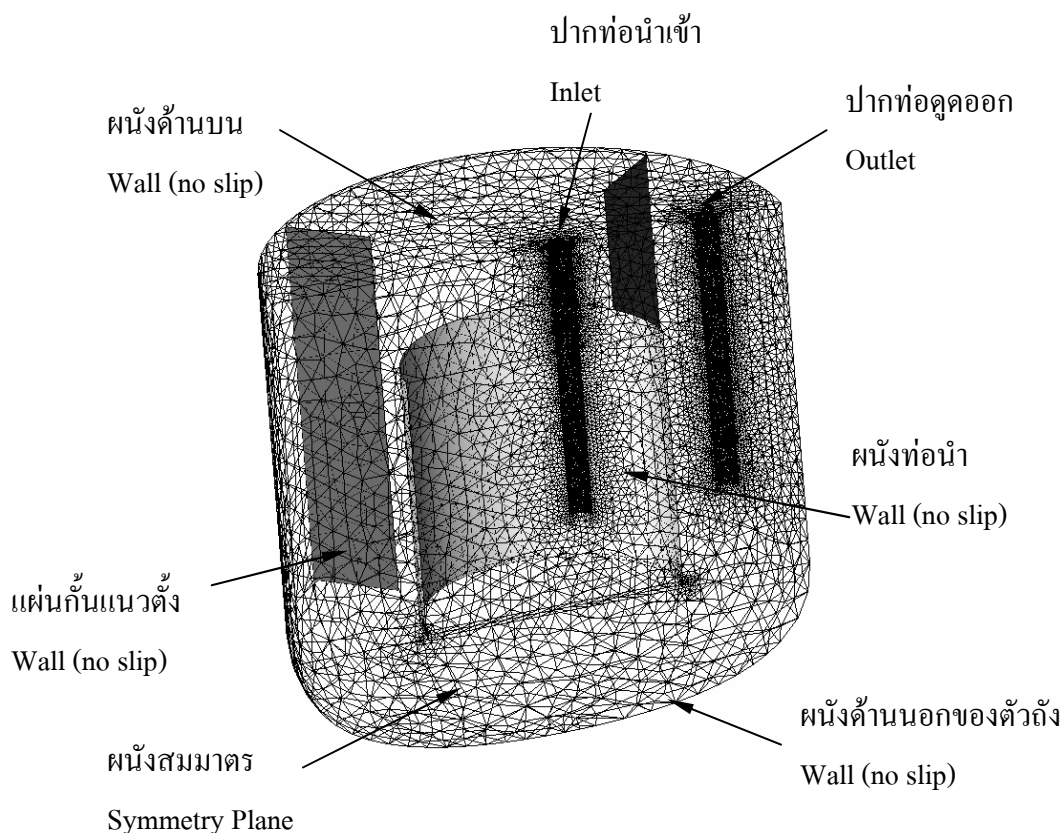
#### 3.5.2.3 พื้นผิวสมมาตร (Symmetry Plane)

พื้นผิบริเวณนี้ถูกกำหนดเงื่อนไขค่าของเป็นประเภท Symmetry Plane โดยลักษณะของเงื่อนไขค่าของที่กำหนดนี้จะไม่มีการ ไอลทะลุผ่านพื้นผิวนี้ ความเร็วในทิศที่ตั้งฉากกับพื้นผิวถูกกำหนดให้เป็น 0 นอกจากนี้ค่าคุณสมบัติใด ๆ ที่อยู่นอกโดเมนจะมีค่าเท่ากับตำแหน่งที่ห่างจากโดเมนเข้ามาเป็นระยะเท่ากันซึ่งเปรียบเสมือนพื้นผิวนี้เป็นกระจก

#### 5.3.2.4 บริเวณที่เป็นผนังของตัวถังตกลีก ผนังห่อ และผนังแผ่นกันแนวตั้ง

ส่วนที่เป็นผนังทุกชุดจะถูกกำหนดเงื่อนไขค่าของเป็นประเภท wall แบบที่ไม่มีการ ไอล (No-slip) ความเร็วบริเวณที่ติดกับผนังมีค่าเป็น 0 ในทุกแนวแกน และไม่มีการ ไอลเข้ามายกเว้นผนังดังกล่าว

การกำหนดเงื่อนไขค่าข้อมูลที่ต้องนับถ้วน เป็นดังรูปที่ 3.32



รูปที่ 3.32 การกำหนดเงื่อนไขค่าข้อมูลของถังตกผลึก

### 3.5.3 การกำหนดค่าเริ่มต้นในการคำนวณ

การจำลองการไหลแบ่งออกเป็นจีดรอฟซึ่งแบ่งไปตามค่าแหล่งกำเนิด โภmen ต้ม การกำหนดค่าเริ่มต้นในแต่ละกรณีมีความต่อเนื่องกันคือ เริ่มต้น ได้ทำการจำลองการไหลภายในถัง ตกผลึกที่ค่าแหล่งกำเนิด โภmen ต้ม เป็นศูนย์ ซึ่งกำหนดให้ค่าของความเร็วและความดันเริ่มต้น ภายใน โภmen เป็นศูนย์ทั้งหมด เมื่อได้คำตอบจากการจำลองที่ค่าแหล่งกำเนิด โภmen ต้ม เป็นศูนย์ แล้ว จะใช้ความเร็วและความดันที่เป็นคำตอบของการจำลองนี้เป็นค่าเริ่มต้นในการคำนวณหา คำตอบของการไหลซึ่งมีค่าแหล่งกำเนิด โภmen ต้ม เป็น 1000 และนำคำตอบที่ได้จากการจำลองการ ไหลที่ค่าแหล่งกำเนิด โภmen ต้ม เป็น 1000 ไปเป็นค่าเริ่มต้นของการจำลองที่ค่าแหล่งกำเนิด โภmen ต้ม ถัดไปคือ 10000 15000 18000 30000 และ 50000  $\text{kg/m}^2/\text{s}^2$  ต่อไปตามลำดับ การ กำหนดค่าเริ่มต้นแบบนี้เพื่อช่วยประหยัดเวลาในการคำนวณ

### 3.6 สรุป

ในบทนี้ได้นำเสนอการทดสอบโปรแกรมจำลองการไหล CFX กับระบบการไหลมาตรฐานเพื่อเปรียบเทียบผลที่ได้กับผลเฉลยแบบเชิงทฤษฎี การทดสอบนี้เพื่อตรวจสอบความถูกต้องของผลจากการคำนวณเชิงตัวเลขของโปรแกรมที่ใช้ และการตรวจสอบนี้ได้แสดงให้เห็นว่า ผลการจำลองการไหลมาตรฐานโดยการใช้โปรแกรม CFX นี้ มีความละเอียดและเที่ยงตรงอยู่ในเกณฑ์ที่ยอมรับได้ นอกจากนี้ยังเป็นการฝึกความชำนาญของผู้ใช้โปรแกรมด้วย

นอกจากนี้ ยังได้นำเสนอการสร้างแบบจำลองของถังตักผลึกในโปรแกรม CFX ด้วย โดยแสดงขั้นตอนในการกำหนดเมษฐภัยในถังอย่างละเอียด ซึ่งขั้นตอนการกำหนดเมษฐ์มีว่ามีความสำคัญต่อความถูกต้อง ความละเอียด และเวลาที่ใช้ ในการจำลองผลของโปรแกรมโดยตรง

ในส่วนสุดท้ายของบท ได้กล่าวถึงการกำหนดเงื่อนไขในการจำลองผล เงื่อนไขค่าคงและเงื่อนไขค่าเริ่มต้น ซึ่งการกำหนดเงื่อนไขเหล่านี้จะส่งผลต่อความถูกต้อง เวลาที่ใช้ในการคำนวณและเสถียรภาพต่อการถูเข้าของคำตอบ

## บทที่ 4

### ผลการจำลองและการอภิปรายผล

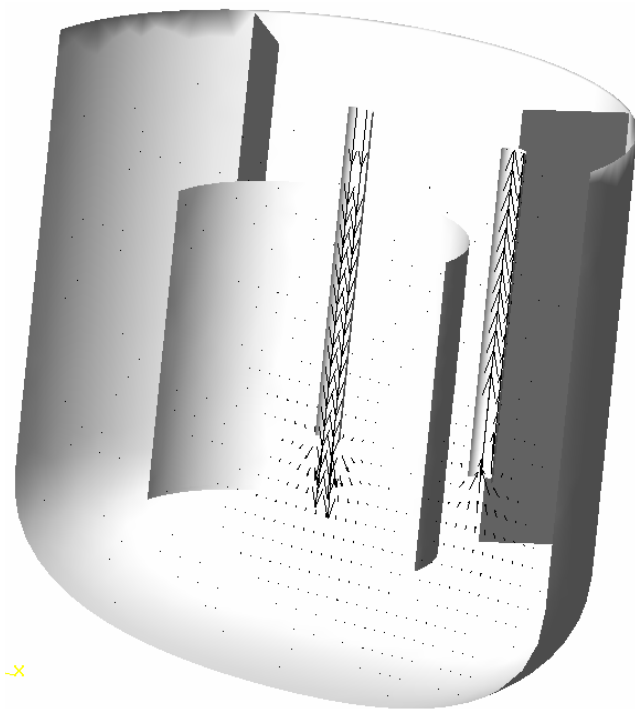
บทนี้เป็นการนำเสนอผลจากการจำลองเชิงตัวเลข โดยพิจารณาฐานรูปความเร็วภายในตัวถัง ตกผลึก รูปความเร็วบริเวณใกล้ห่อคุดออก เส้นแนวการไหล และคอนทัวร์ (Contour) ของขนาด ของความเร็วภายในถังตกผลึก ตลอดจนการวิเคราะห์ผลกระทบที่เกิดจากการไหลภายในถังตกผลึก อันเนื่องมาจากการให้ค่าแหล่งกำเนิดโมเมนตัมที่ต่างกัน

#### 4.1 ผลการจำลอง

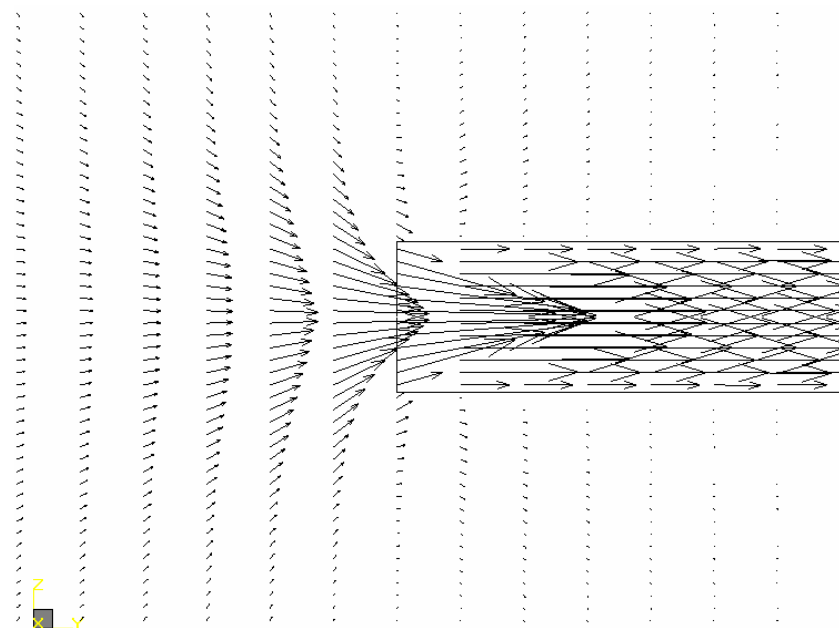
งานวิจัยนี้เป็นการจำลองการไหลในถังตกผลึกน้ำตามที่ได้เสนอโครงสร้างถังตกผลึก จำลองและการสร้างกริดไว้ในหัวข้อที่ 3.3 – 3.4 การทดสอบแบ่งออกเป็น 7 กรณีตามค่าแหล่งกำเนิดโมเมนตัมที่ใช้คือ 0 1000 10000 15000 18000 30000 และ 50000 (0 0.252 2.518 3.777 4.532 7.554 และ 12.589 % ของค่าโมเมนตัมที่ตำแหน่งติดตั้งแหล่งกำเนิด ในขณะที่ไม่ติดตั้งแหล่งกำเนิด) ดังต่อไปนี้

##### 4.1.1 ค่าแหล่งกำเนิดโมเมนตัม $0 \text{ kg/m}^2/\text{s}^2$

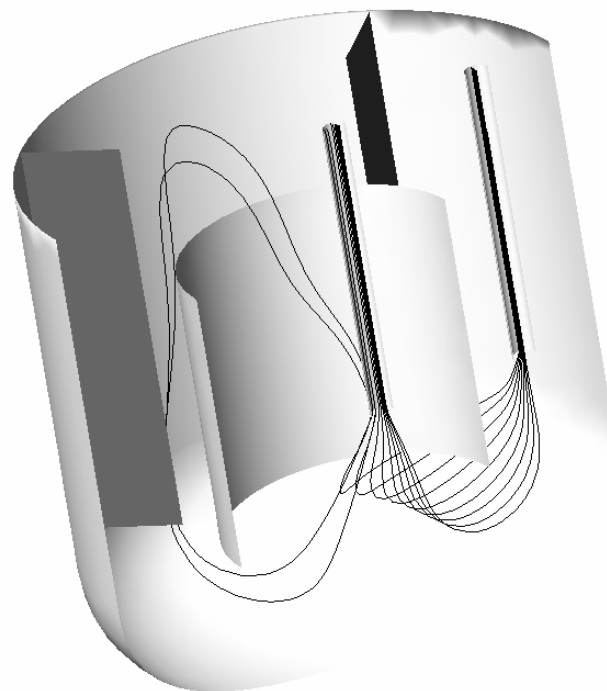
จากผลการจำลองการไหลภายในถังตกผลึกที่ค่าแหล่งกำเนิดโมเมนตัมเป็นศูนย์ ตรวจสอบค่าเลขเรย์โนลเด็ตที่ตำแหน่งติดตั้งแหล่งกำเนิดโมเมนตัมภายในห้องน้ำ พบว่ามีค่าเป็น 0.00904 ความเร็วภายในถังตกผลึกมีค่าต่ำมาก รูปที่ 4.1 แสดงให้เห็นรูปความเร็วภายในบริเวณถังตกผลึกมีค่าแตกต่างจากรูปความเร็วภายในห่อคุดออกและห้องน้ำเข้าอย่างชัดเจน ในรูปที่ 4.2 ความเร็วภายในถังมีค่าน้อยเมื่อเทียบกับความเร็วภายในห่อคุดออกและห้องน้ำเข้า การไหลมีลักษณะลู่เข้าหาห่อคุดออกเป็นวงกว้างอย่างชัดเจนซึ่งไม่เป็นการคุดออกแบบไอโซไคแนติกส์ (Non-Isokinetic Withdrawal) การลู่เข้าสู่ปากห้องน้ำที่ห้องน้ำเข้าอย่างชัดเจนยิ่งขึ้นเมื่อพิจารณาเส้นแนวการไหลดังแสดงในรูปที่ 4.3 กรณีนี้การไหลภายในถังตกผลึกถือว่าค่อนข้างสม่ำเสมอเมื่อพิจารณาจากเส้นคอนทัวร์ของขนาดของความเร็วในรูปที่ 4.4 อย่างไรก็ตาม ความเร็วภายในถังตกผลึกยังมีค่าที่ต่ำมาก ซึ่งไม่สามารถพาผลึกโดยเข้าสู่ห่อคุดออกได้



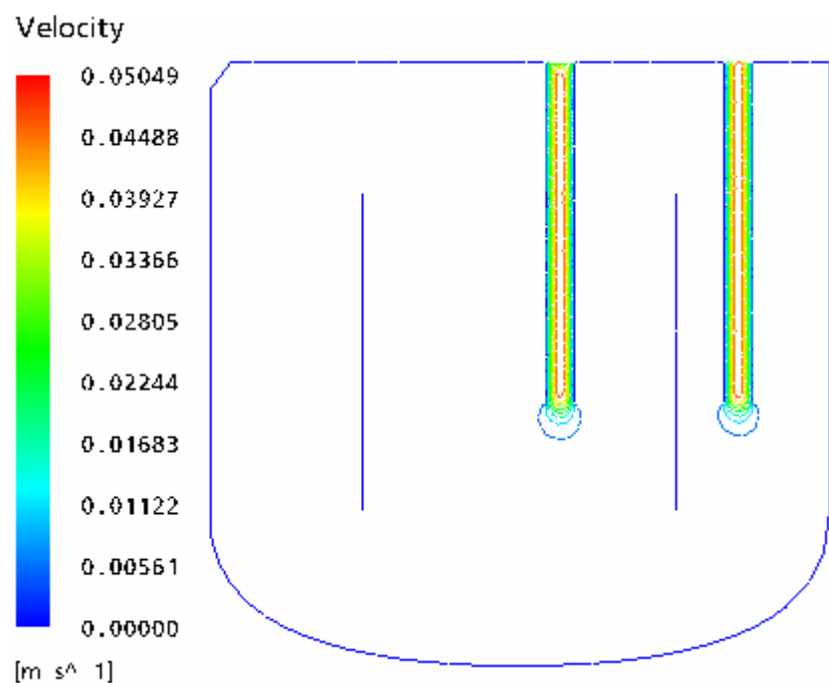
รูปที่ 4.1 รูปความเร็วที่เหล่งกำเนิดโอมเมนตัม =  $0 \text{ kg/m}^2/\text{s}^2$



รูปที่ 4.2 รูปความเร็วบริเวณโกลปากท่อดูดออกที่เหล่งกำเนิดโอมเมนตัม =  $0 \text{ kg/m}^2/\text{s}^2$



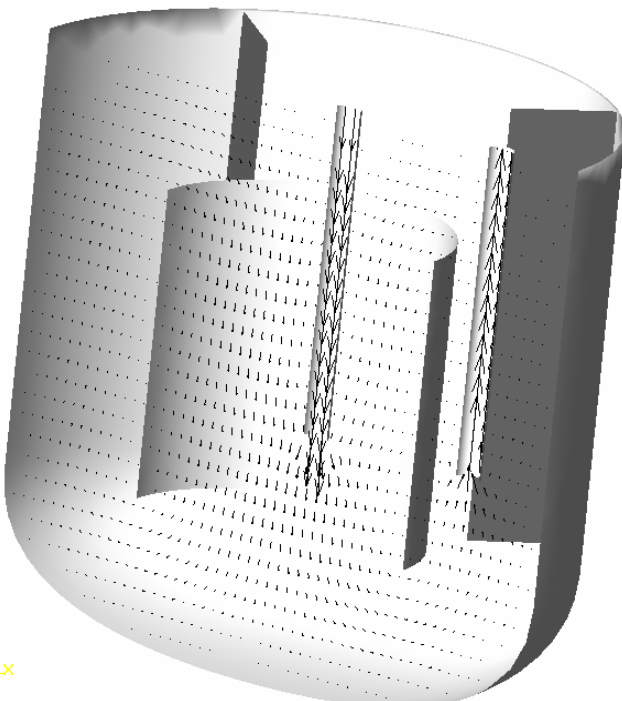
รูปที่ 4.3 เส้นแนวการไหล ที่แหล่งกำเนิดโมเมนตัม =  $0 \text{ kg/m}^2/\text{s}^2$



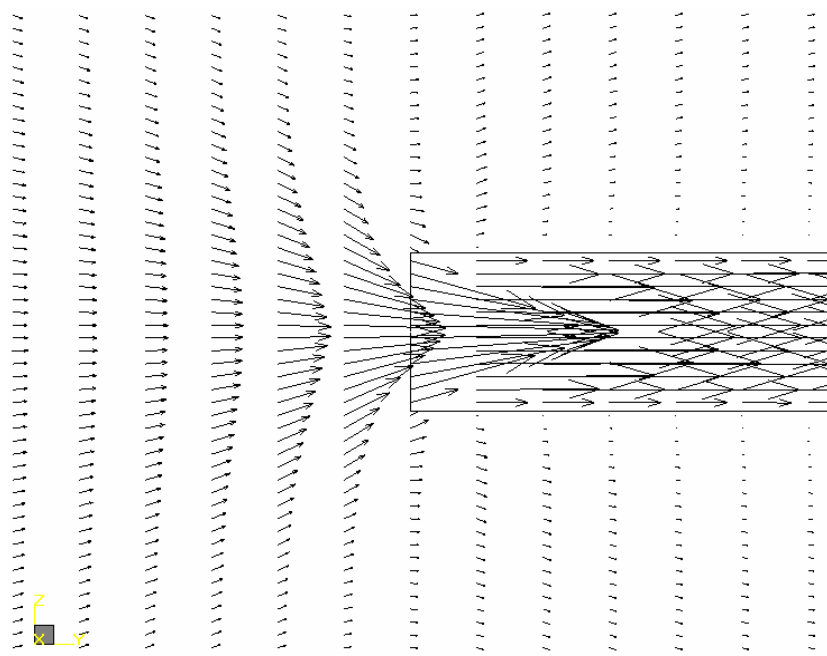
รูปที่ 4.4 คณทั่วของขนาดของความเร็วของการไหลในถังตกผลึก  
ที่ค่าแหล่งกำเนิดโมเมนตัม =  $0 \text{ kg/m}^2/\text{s}^2$

#### 4.1.2 ค่าแหล่งกำเนิดโน้ม-men ตัม $1000 \text{ kg/m}^2/\text{s}^2$

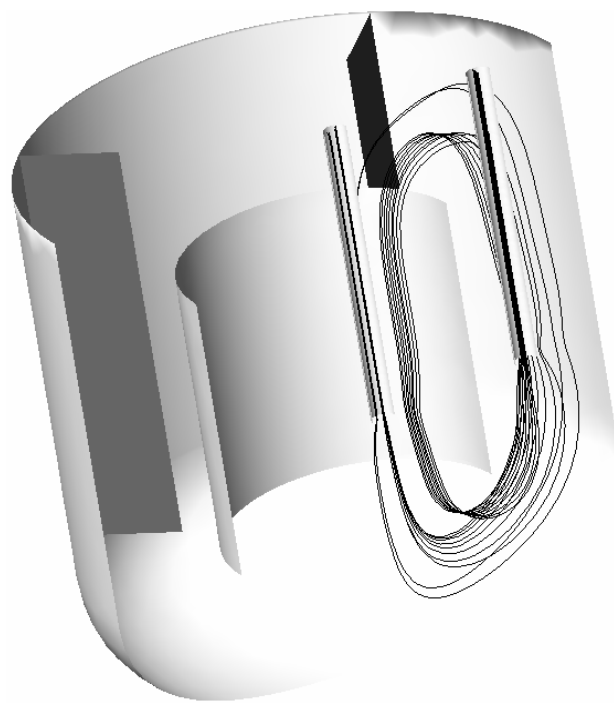
จากผลการจำลองการไหลดภัยในถังตอกผลึกที่ค่าแหล่งกำเนิดโน้ม-men ตัม  $1000 \text{ kg/m}^2/\text{s}^2$  ตรวจสอบค่าเลขเรย์โนลต์ที่ตำแหน่งติดตั้งแหล่งกำเนิดโน้ม-men ตัมภัยในท่อน้ำพบว่า มีค่าเป็น 0.1067 ความเร็วภัยในถังตอกผลึกมีค่าเพิ่มขึ้นมากกว่าการไม่ให้แหล่งกำเนิดโน้ม-men ตัม ความแตกต่างของความเร็วภัยในท่อ กับภายนอกท่อซึ่งมีค่าสูง พิจารณาจากรูปที่ 4.5 แสดงให้เห็น รูปทรงความเร็วภัยในบริเวณถังตอกผลึกมีค่าแตกต่างจากรูปทรงความเร็วภัยในท่อคูดออกและท่อ นำเข้าอย่างชัดเจน รูปที่ 4.6 แสดงให้เห็นความเร็วบริเวณใกล้ท่อคูดออกซึ่งมีค่าน้อยกว่าความเร็ว ภัยในท่องามและเกิดการไหลดลูกเข้าสู่ปากท่อเป็นวงกว้าง นั่นคือการคูดออกซึ่งไม่เป็นไอโซไค เนติกส์การลูกเข้าสู่ปากท่อจะเห็นได้อย่างชัดเจนยิ่งขึ้นเมื่อพิจารณาจากเส้นแนวการไหลดังแสดงใน รูปที่ 4.7 กรณีนี้การไหลดภัยในถังตอกผลึกถือว่าค่อนข้างสม่ำเสมอเมื่อพิจารณาจากเส้นคอนทัวร์ของ ขนาดของความเร็วในรูปที่ 4.8 อย่างไรก็ตามความเร็วเฉลี่ยในถังตอกผลึกที่ได้มีค่าปัจจุบันค่า ความเร็วที่ต่ำ และไม่สามารถพาผลึกให้ลอดเข้าสู่ท่อคูดออกได้



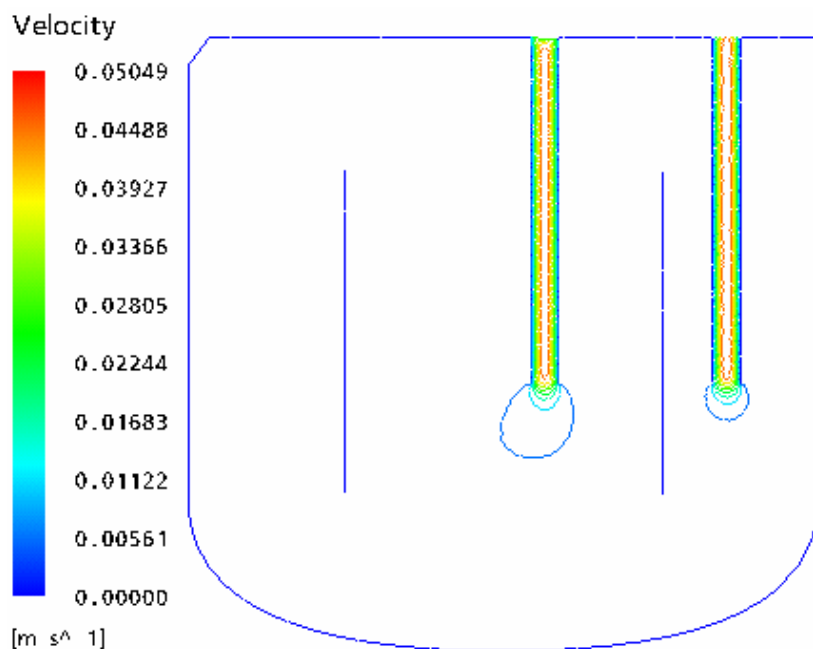
รูปที่ 4.5 รูปทรงความเร็วที่แหล่งกำเนิดโน้ม-men ตัม =  $1000 \text{ kg/m}^2/\text{s}^2$



รูปที่ 4.6 รูปทรงความเร็วบริเวณใกล้ปากท่อคูดออกที่แหล่งกำเนิด โนเมนตัม =  $1000 \text{ kg/m}^2/\text{s}^2$



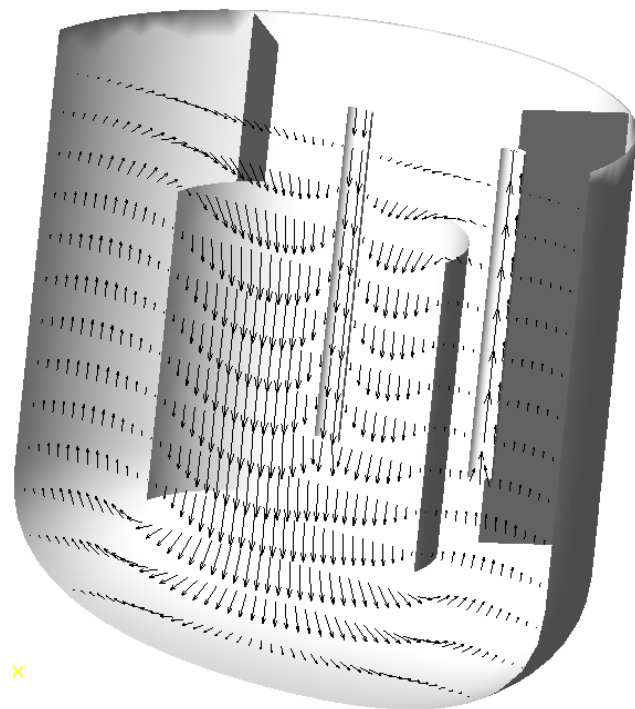
รูปที่ 4.7 เส้นแนวการไหล ที่แหล่งกำเนิด โนเมนตัม =  $1000 \text{ kg/m}^2/\text{s}^2$



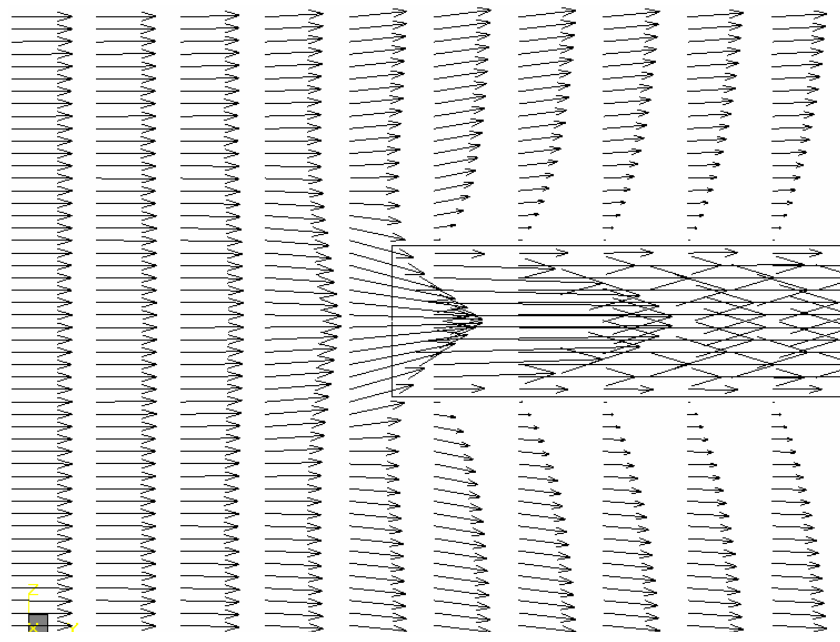
รูปที่ 4.8 ค่อนทัวร์ของขนาดของความเร็วของการไหลในถังตอกผลึก  
ที่ค่าแหล่งกำเนิดโน้ม-men ตัม =  $1000 \text{ kg/m}^2/\text{s}^2$

#### 4.1.3 ค่าแหล่งกำเนิดโน้ม-men ตัม $10000 \text{ kg/m}^2/\text{s}^2$

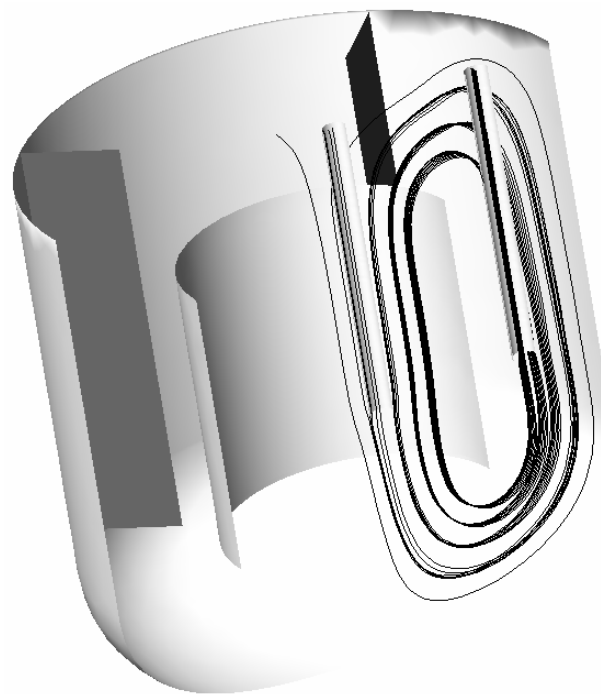
จากผลการจำลองการไหลภายในถังตอกผลึกที่ค่าแหล่งกำเนิดโน้ม-men ตัม  $10000 \text{ kg/m}^2/\text{s}^2$  ตรวจสอบค่าเลขเรียโนลต์ที่คำนวณตั้งแต่ต้นไปแล้วค่าเพิ่มขึ้นกว่าสองครั้งและค่าต่อไปนี้คือค่าเฉลี่ยที่ได้มาจากการจำลองที่ 4.9 แสดงให้เห็นรูปศรีษะความเร็วภายในบริเวณถังตอกผลึกมีค่าแตกต่างกันในแต่ละพื้นที่ รูปที่ 4.10 แสดงให้เห็นความเร็วบริเวณใกล้ห้องดูดออกซิงมีค่าน้อยกว่าความเร็วภายในห้องท่อ ทำให้เกิดการไหลกลับเข้าสู่ปากท่อ และถือว่าการดูดออกบังคับแรงกว่าสองครั้งของกรณีแรก และความเร็วภายในถังตอกผลึกไม่สม่ำเสมอเมื่อพิจารณาจากเส้นคอนทัวร์ของขนาดของความเร็วในรูปที่ 4.11 พบว่าบริเวณเส้นแนวการไหลที่ไหลเข้าสู่ห้องมีวงแ蹩ลงกว่าสองครั้งของกรณีแรก และความเร็วการไหลภายในถังตอกผลึกไม่สม่ำเสมอเมื่อพิจารณาจากเส้นคอนทัวร์ของขนาดของความเร็วในรูปที่ 4.12 โดยความเร็วจะมีค่าสูงที่บริเวณภายในห้องดูด而出 เมื่อของไหลไหลผ่านส่วนที่เป็นแหล่งกำเนิดโน้ม-men ตัม และไหลวนกลับไปด้านนอกของห้องดูด而出 ซึ่งมีพื้นที่หน้าตัดรวมมากกว่าทำให้ความเร็วบริเวณภายในห้องดูด而出 ต่ำกว่าภายในห้อง นอกจากนี้ยังพบว่าที่บริเวณจุดศูนย์กลางของก้นถังซึ่งความเร็วของของไหลที่ไหลผ่านมีพิเศษตั้งจากกับพื้นผิวนั้นมีความเร็วต่ำกว่าบริเวณรอบข้างอย่างชัดเจน



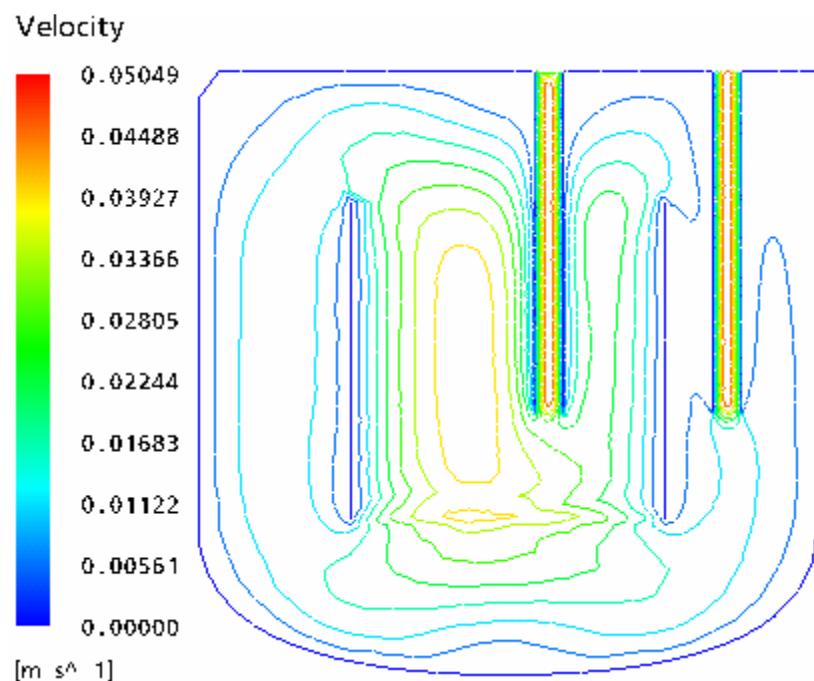
รูปที่ 4.9 รูปศรความเร็วที่เหล่งกำเนิด โอมเมนตัม =  $10000 \text{ kg/m}^2/\text{s}^2$



รูปที่ 4.10 รูปศรความเร็วบริเวณใกล้ปากท่อดูดออกที่เหล่งกำเนิด โอมเมนตัม =  $10000 \text{ kg/m}^2/\text{s}^2$



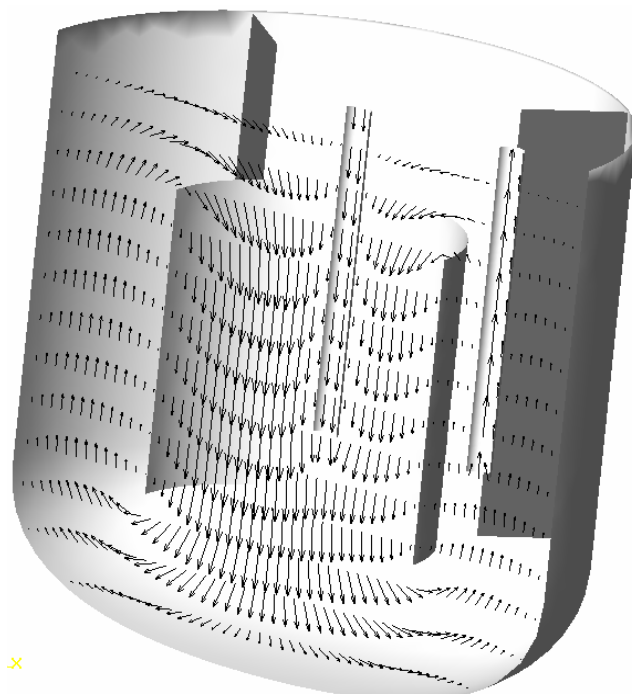
รูปที่ 4.11 เส้นแนวการไหล ที่แหล่งกำเนิดโน้ม men =  $10000 \text{ kg/m}^2/\text{s}^2$



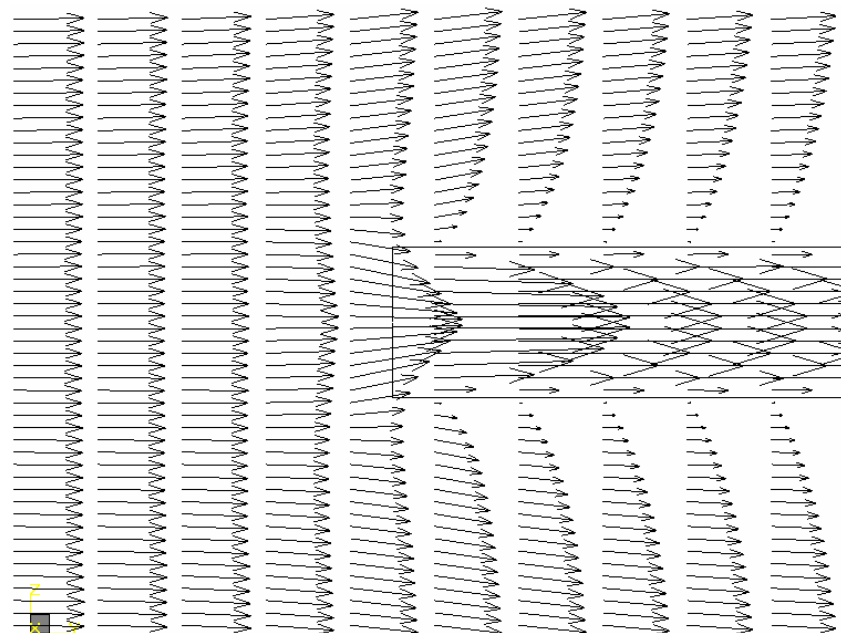
รูปที่ 4.12 ค่อนหัวร์ของขนาดของความเร็วของการไหลในถังทดลอง  
ที่ค่าแหล่งกำเนิดโน้ม men =  $10000 \text{ kg/m}^2/\text{s}^2$

#### 4.1.4 ค่าแหล่งกำเนิดโนมเมนตัม $15000 \text{ kg/m}^2/\text{s}^2$

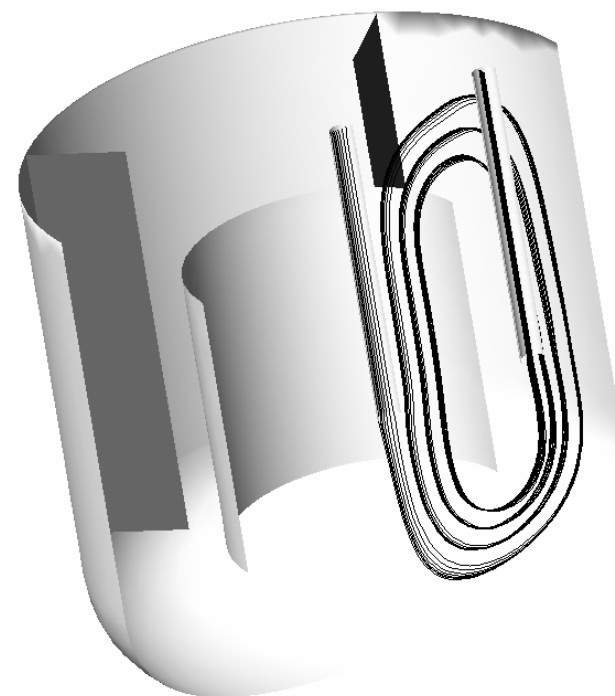
จากผลการจำลองการไหลภายในถังตอกผลึกที่ค่าแหล่งกำเนิดโนมเมนตัม  $15000 \text{ kg/m}^2/\text{s}^2$  ตรวจสอบค่าเลขเรย์โนลด์ที่คำนวณตั้งแต่ตัวตั้งแหล่งกำเนิดโนมเมนตัมภายในห้องน้ำพบว่ามีค่าเป็น  $1.3142$  ความเร็วภายในถังตอกผลึกมีค่าเพิ่มขึ้นกว่ากรณีที่ผ่านๆ มา พิจารณาจากรูปที่ 4.13 แสดงให้เห็นรูปทรงความเร็วภายในถังตอกผลึกมีค่าแตกต่างกันในแต่ละพื้นที่ รูปที่ 4.14 แสดงให้เห็นว่าความเร็วบริเวณใกล้ท่อคุดออกมีค่าน้อยกว่าความเร็วภายในท่อ ซึ่งยังทำให้มองเห็นการไหลลุ่เข้าสู่ปากท่ออยู่เล็กน้อย นั่นคือการดูดออกยังไม่เป็นไอโซไคเนติกส์ เมื่อพิจารณาจากรูปที่ 4.15 พบว่าบริเวณเส้นแนวการไหลที่ไหลเข้าสู่ท่อวงแหวน แต่ไม่แตกต่างจากกรณีแหล่งกำเนิดโนมเมนตัม  $10000 \text{ kg/m}^2/\text{s}^2$  มากนัก และความเร็วการไหลภายในถังตอกผลึกมีค่าไม่สม่ำเสมอเมื่อพิจารณาจากเส้นคงทัวร์ของขนาดของความเร็วในรูปที่ 4.16 โดยความเร็วจะมีค่าสูงที่บริเวณภายในห่อคราฟต์ เมื่อของไหลผ่านส่วนที่เป็นแหล่งกำเนิดโนมเมนตัม และไหลวนกลับไปด้านนอกของห่อคราฟต์ เนื่องจากบริเวณภายนอกมีพื้นที่หน้าตัดรวมมากกว่าทำให้ความเร็วภายนอกห่อคราฟต์มีค่าต่ำกว่า และพบว่าที่บริเวณจุดศูนย์กลางของก้นถังซึ่งความเร็วของของไหลที่ไหลผ่านมีทิศตั้งฉากกับพื้นผิวนั้นมีความเร็วต่ำกว่าบริเวณรอบข้าง เช่นเดียวกับกรณีแหล่งกำเนิดโนมเมนตัม เป็น  $10000 \text{ kg/m}^2/\text{s}^2$



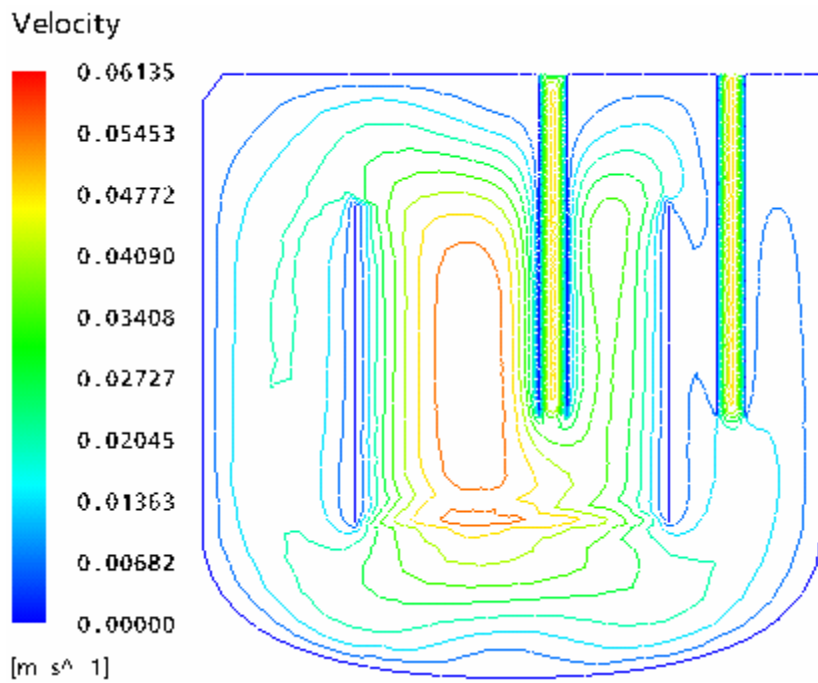
รูปที่ 4.13 รูปทรงความเร็วที่แหล่งกำเนิดโนมเมนตัม  $= 15000 \text{ kg/m}^2/\text{s}^2$



รูปที่ 4.14 รูปศรความเร็วบริเวณใกล้ปากท่อดูดออกที่แหล่งกำเนิด โมเมนตัม =  $15000 \text{ kg/m}^2/\text{s}^2$



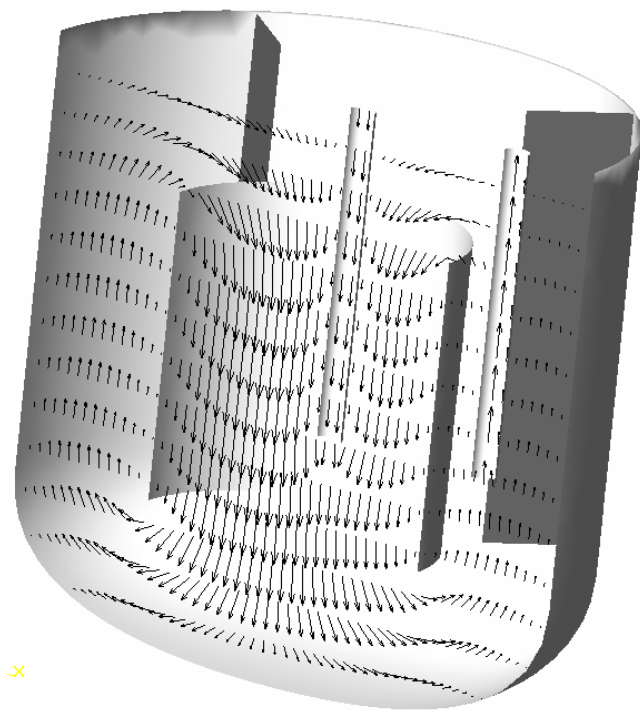
รูปที่ 4.15 เส้นแนวการไหลที่แหล่งกำเนิด โมเมนตัม =  $15000 \text{ kg/m}^2/\text{s}^2$



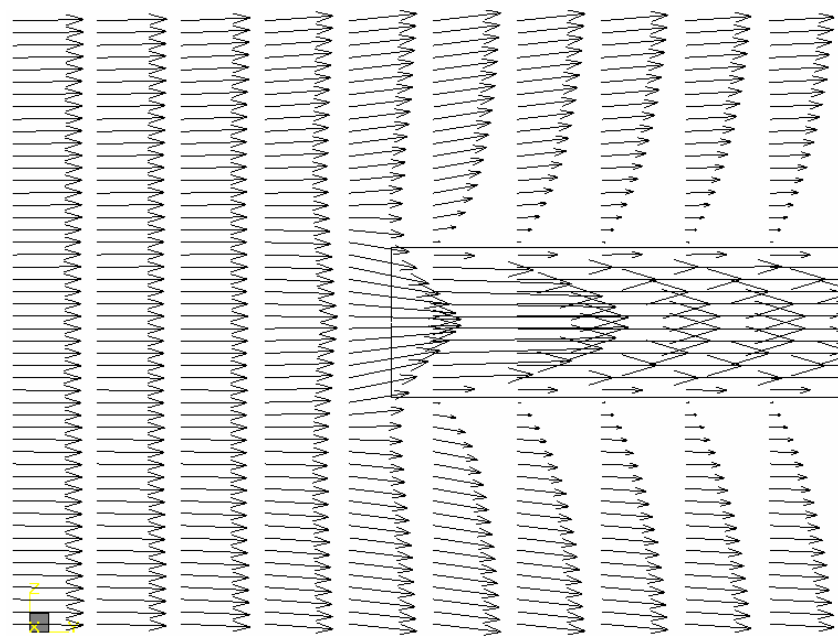
รูปที่ 4.16 ค่อนหัวร์ของขนาดของความเร็วของการไหลในถังตอกผลึก  
ที่ค่าแหล่งกำเนิดโมเมนตัม =  $15000 \text{ kg/m}^2/\text{s}^2$

#### 4.1.5 ค่าแหล่งกำเนิดโมเมนตัม $18000 \text{ kg/m}^2/\text{s}^2$

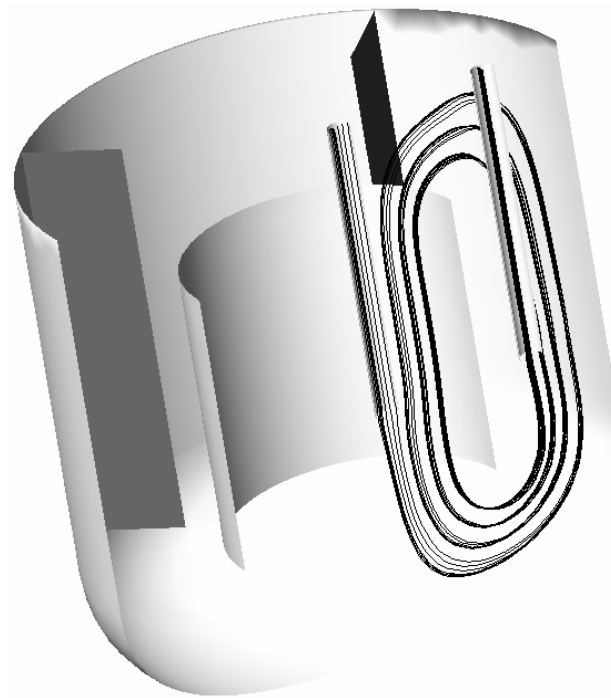
จากผลการจำลองการไหลภายในถังตอกผลึกที่ค่าแหล่งกำเนิดโมเมนตัม  $18000 \text{ kg/m}^2/\text{s}^2$  ตรวจสอบค่าเลขเรย์โนลด์ที่ตำแหน่งติดตั้งแหล่งกำเนิดโมเมนตัมภายในท่อน้ำ พบว่ามีค่าเป็น 1.5422 ความเร็วภายในถังตอกผลึกมีค่าเพิ่มขึ้น พิจารณาจากรูปที่ 4.17 แสดงให้เห็นรูปทรงความเร็วภายในถังตอกผลึกมีค่าแตกต่างกันในแต่ละพื้นที่ รูปที่ 4.18 แสดงให้เห็นว่าความเร็วบริเวณใกล้ท่อดูดออกมีค่าใกล้เคียงความเร็วเฉลี่ยภายในท่อ การไหลสู่เข้าสู่ปากท่อมีน้อยมาก เมื่อพิจารณาจากรูปที่ 4.19 พบว่าบริเวณเดินแนวการไหลที่ไหลเข้าสู่ท่อมีขนาดใกล้เคียงกับความบริเวณเดินแนวการไหลภายในท่อ แต่ไม่แตกต่างจากกรณีแหล่งกำเนิดโมเมนตัม  $15000 \text{ kg/m}^2/\text{s}^2$  มากนัก กรณีนี้ถือว่าการดูดออกมีลักษณะใกล้เคียงกับการดูดออกแบบ 'ไอโซ' ไคนติกส์มาก นอกจากนี้พบว่าความเร็วการไหลภายในถังตอกผลึกมีค่าไม่สม่ำเสมอเมื่อพิจารณาจากเดินทางหัวร์ของขนาดของความเร็วในรูปที่ 4.20 โดยความเร็วจะมีค่าสูงที่บริเวณภายในท่อdraft เมื่อของไหลไหลผ่านส่วนที่เป็นแหล่งกำเนิดโมเมนตัม และไหลวนกลับไปด้านนอกของซิ่งมีพื้นที่หน้าตัดรวมมากกว่าทำให้ความเร็วภายนอกท่อ draft มีค่าต่ำกว่า ส่วนบริเวณจุดศูนย์กลางของก้นถังซึ่งความเร็วของของไหลที่ไหลผ่านมีทิศตั้งฉากกับพื้นผิวนั้นยังคงมีความเร็วต่ำกว่าบริเวณรอบข้าง เช่นเดียวกับกรณีแหล่งกำเนิดโมเมนตัมอื่น ๆ



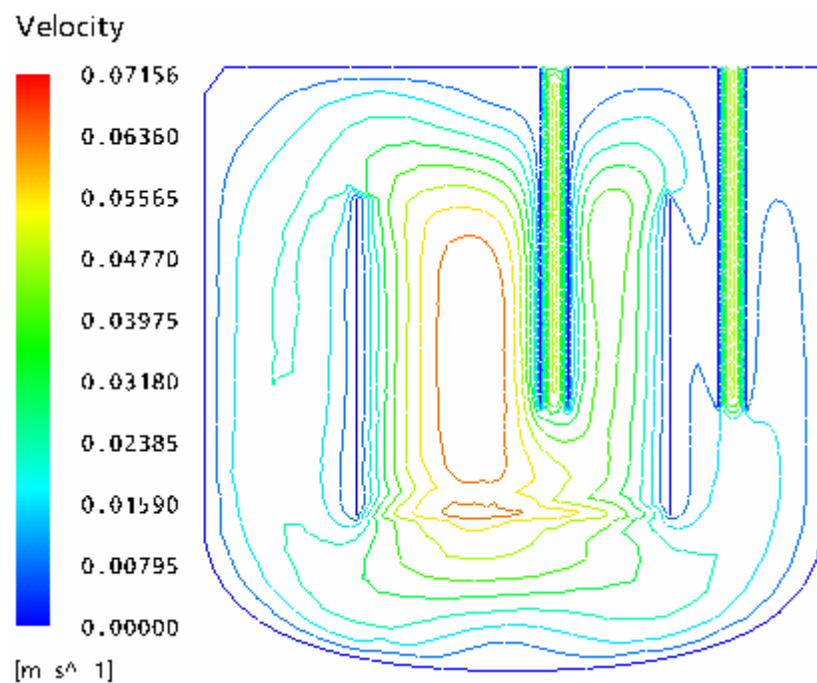
รูปที่ 4.17 รูปความเร็วที่เหล่งกำเนิดโมเมนตัม =  $18000 \text{ kg/m}^2/\text{s}^2$



รูปที่ 4.18 รูปความเร็วบริเวณใกล้ปากท่อดูดออกที่เหล่งกำเนิดโมเมนตัม =  $18000 \text{ kg/m}^2/\text{s}^2$



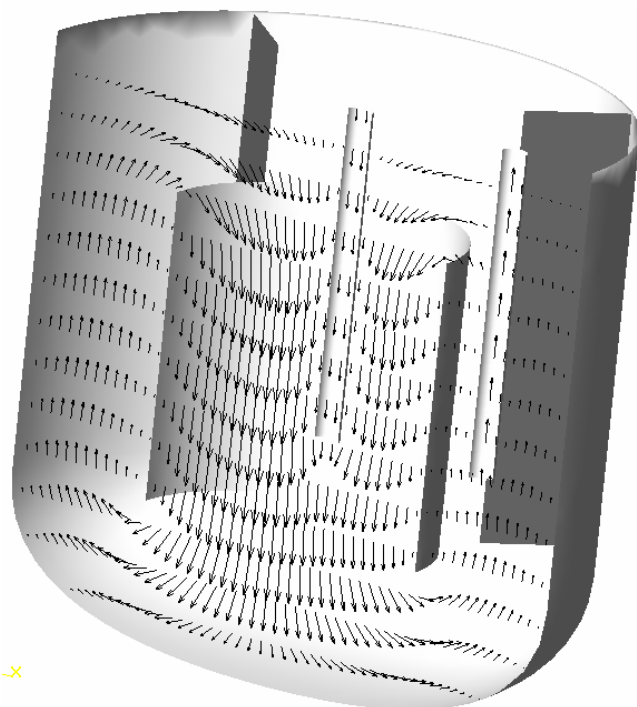
รูปที่ 4.19 เส้นแนวการไหล ที่ค่าแหล่งกำเนิดโมเมนตัม =  $18000 \text{ kg/m}^2/\text{s}^2$



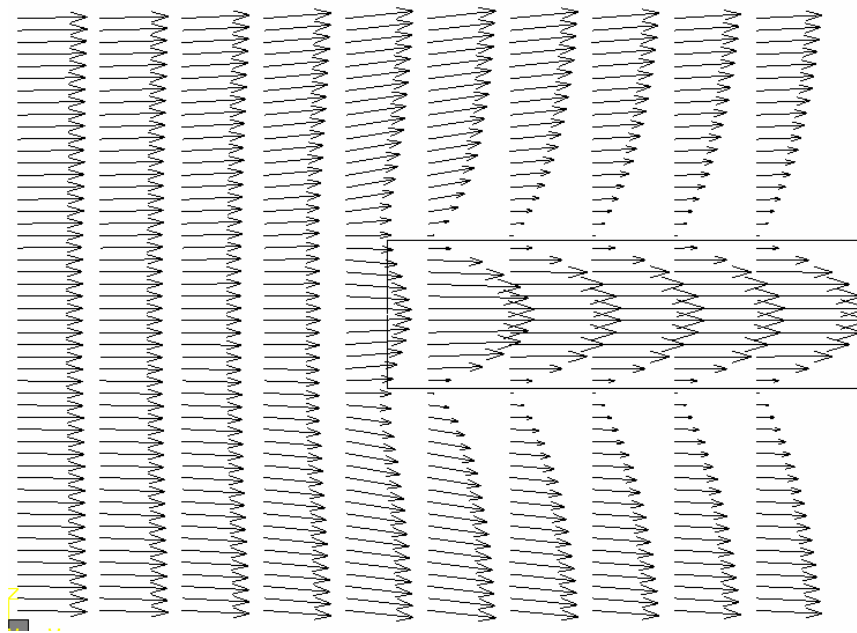
รูปที่ 4.20 ค่อนหัวร์ของขนาดของความเร็วของการไหลในถังตกรถึก  
ที่ค่าแหล่งกำเนิดโมเมนตัม =  $18000 \text{ kg/m}^2/\text{s}^2$

#### 4.1.6 ค่าแหล่งกำเนิดโมเมนตัม $30000 \text{ kg/m}^2/\text{s}^2$

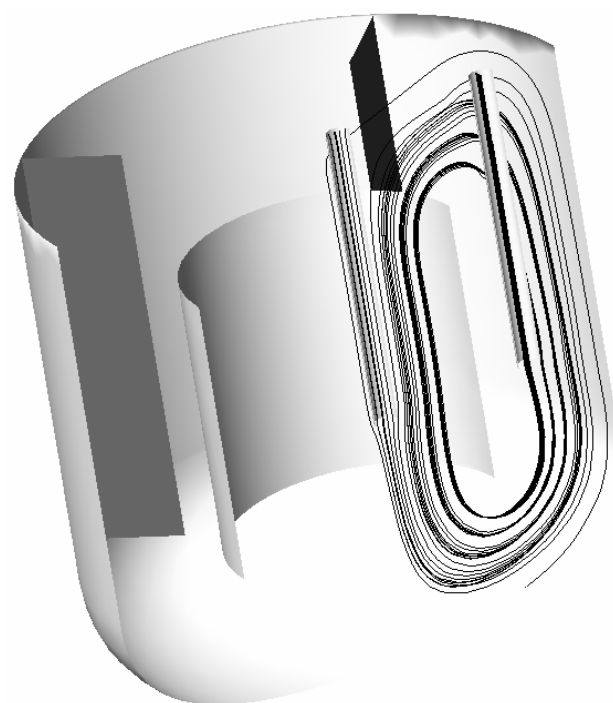
จากผลการจำลองการไหลภายในถังตอกพลีกที่ค่าแหล่งกำเนิดโมเมนตัม  $30000 \text{ kg/m}^2/\text{s}^2$  ตรวจสอบค่าเลขเรย์โนลด์ที่คำนวณได้ที่  $2.3774$  พิจารณาจากรูปที่ 4.21 แสดงให้เห็นรูปศรีความเร็วภายในถังตอกพลีกมีค่าแตกต่างกันในแต่ละพื้นที่ รูปที่ 4.22 แสดงให้เห็นว่าความเร็วบริเวณใกล้ห้องออกอากาศอย่างมากกว่าความเร็วภายในห้องที่อยู่ต่อไปนี้ ซึ่งยังทำให้มองเห็นการไหลเมื่ยงออกจากปากห้องเล็กน้อย ซึ่งถือว่าไม่เป็นการดูดออกแบบไอโซไคนเดกส์ แต่ก็มีความใกล้เคียง เมื่อพิจารณาจากรูปที่ 4.23 พบว่าบริเวณเด่นแนวการไหลที่ไหลเข้าสู่ห้องมีวงแคบ ความเร็วการไหลภายในถังตอกพลีกยังคงมีค่าไม่สม่ำเสมอเมื่อพิจารณาจากเส้นคอนทัวร์ของขนาดของความเร็วในรูปที่ 4.24 โดยความเร็วจะมีค่าสูงที่บริเวณภายในห้องห้องที่อยู่ต่อไปนี้ ซึ่งมีพื้นที่หน้าตัดรวมมากกว่าทำให้ความเร็วภายในห้องห้องที่อยู่ต่อไปนี้ลดลง โดยความเร็วจะมีค่าต่ำกว่าส่วนที่บริเวณจุดศูนย์กลางของก้นถังซึ่งความเร็วของของไหลที่ไหลผ่านมีทิศทางกับพื้นผิวนี้ พบว่ามีความเร็วต่ำกว่าบริเวณรอบข้าง



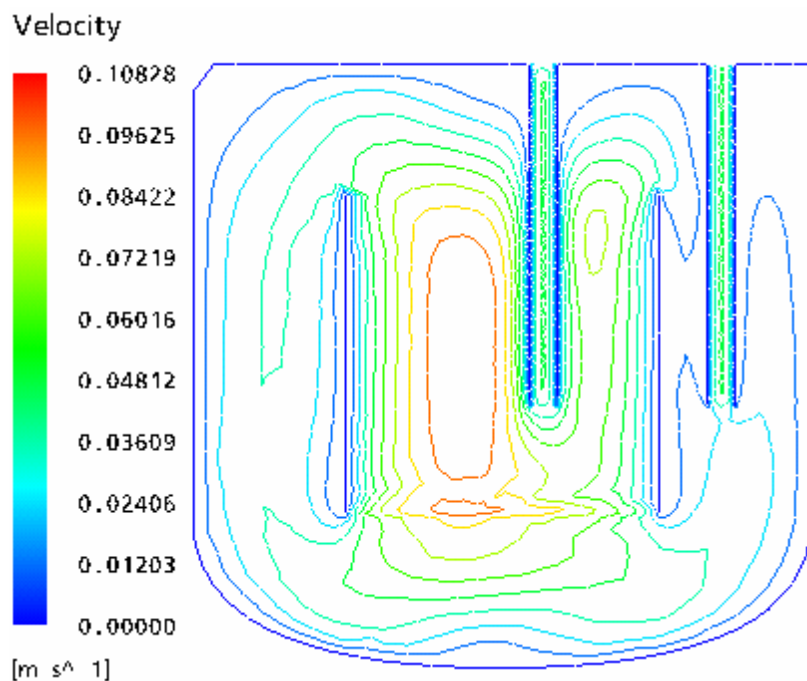
รูปที่ 4.21 รูปศรีความเร็วที่แหล่งกำเนิดโมเมนตัม =  $30000 \text{ kg/m}^2/\text{s}^2$



รูปที่ 4.22 รูปครรภ์ความเร็วบริเวณใกล้ปากท่อดูดออกที่แหล่งกำเนิด โมเมนตัม =  $30000 \text{ kg/m}^2/\text{s}^2$



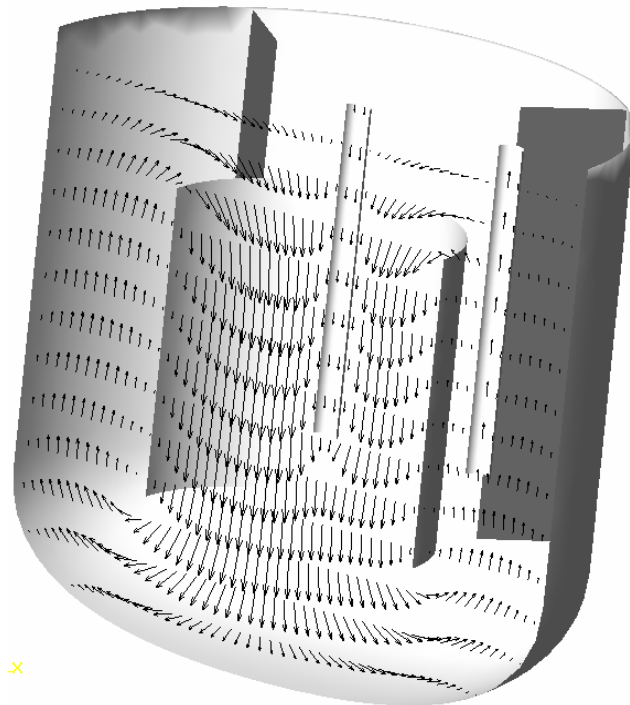
รูปที่ 4.23 เส้นแนวการไหลด ที่แหล่งกำเนิด โมเมนตัม =  $30000 \text{ kg/m}^2/\text{s}^2$



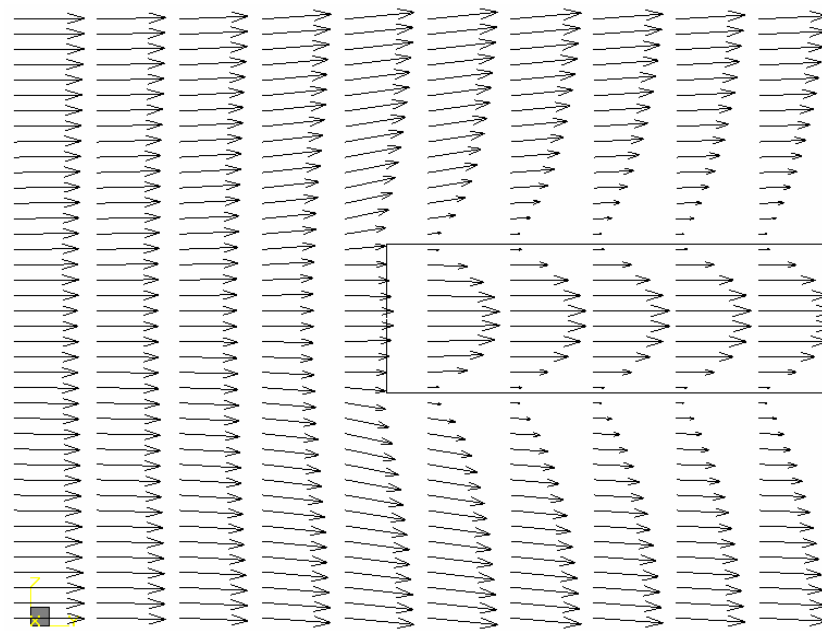
รูปที่ 4.24 ค่อนทัวร์ของขนาดของความเร็วของการไหหลในถังตอกผลึก  
ที่ค่าแหล่งกำเนิดโมเมนตัม =  $30000 \text{ kg/m}^2/\text{s}^2$

#### 4.1.7 ค่าแหล่งกำเนิดโมเมนตัม $50000 \text{ kg/m}^2/\text{s}^2$

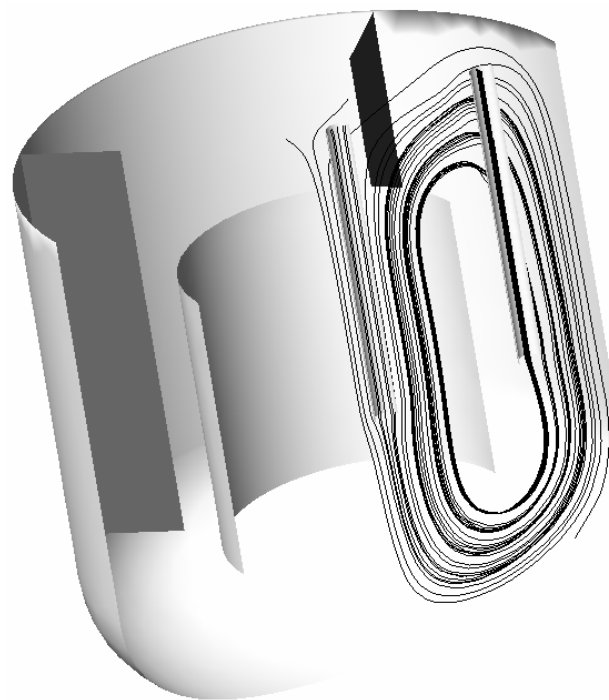
จากผลการจำลองการไหหลภายในถังตอกผลึกที่ค่าแหล่งกำเนิดโมเมนตัม  $50000 \text{ kg/m}^2/\text{s}^2$  ตรวจสอบค่าเลขเรียบโนลด์ที่ตำแหน่งติดตั้งแหล่งกำเนิดโมเมนตัมภายในห้องน้ำพบว่ามีค่าเป็น 3.5723 พิจารณาจากรูปที่ 4.25 แสดงให้เห็นรูปศรีความเร็วภายในถังตอกผลึกมีค่าแตกต่างกันในแต่ละพื้นที่ รูปที่ 4.26 แสดงให้เห็นว่าความเร็วบริเวณใกล้ห้องดูดออกมีค่าสูงกว่าความเร็วเฉลี่ยภายในห้องน้ำชัดเจน และการไหหลมีแนวโน้มเบี่ยงออกจากปากห้องน้ำยังเด่นชัด ซึ่งถือว่าการดูดออกไม่เป็นไปโดยไนโตริกส์ เมื่อพิจารณาจากรูปที่ 4.27 พบว่าบริเวณเส้นแนวการไหหลที่ไหหลเข้าสู่ห้องน้ำมีวงแคบ ความเร็วการไหหลภายในถังตอกผลึกยังคงมีค่าไม่สม่ำเสมอเมื่อพิจารณาจากเส้นค่อนทัวร์ของขนาดของความเร็วในรูปที่ 4.28 โดยความเร็วจะมีค่าสูงที่บริเวณภายในห้องดูดราฟต์ เมื่อของไหหลไหหลผ่านส่วนที่เป็นแหล่งกำเนิดโมเมนตัม และไหหลวนกลับไปด้านนอกของห้องดูดราฟต์ ซึ่งมีพื้นที่หน้าตัดรวมมากกว่าทำให้ความเร็วภายในห้องดูดราฟต์มีค่าต่ำกว่า นอกจากนี้พบว่าบริเวณจุดศูนย์กลางของก้นถังซึ่งความเร็วของของไหหลที่ไหหลผ่านมีทิศตั้งฉากกับพื้นผิวน้ำพบว่ามีความเร็วต่ำกว่าบริเวณรอบข้าง



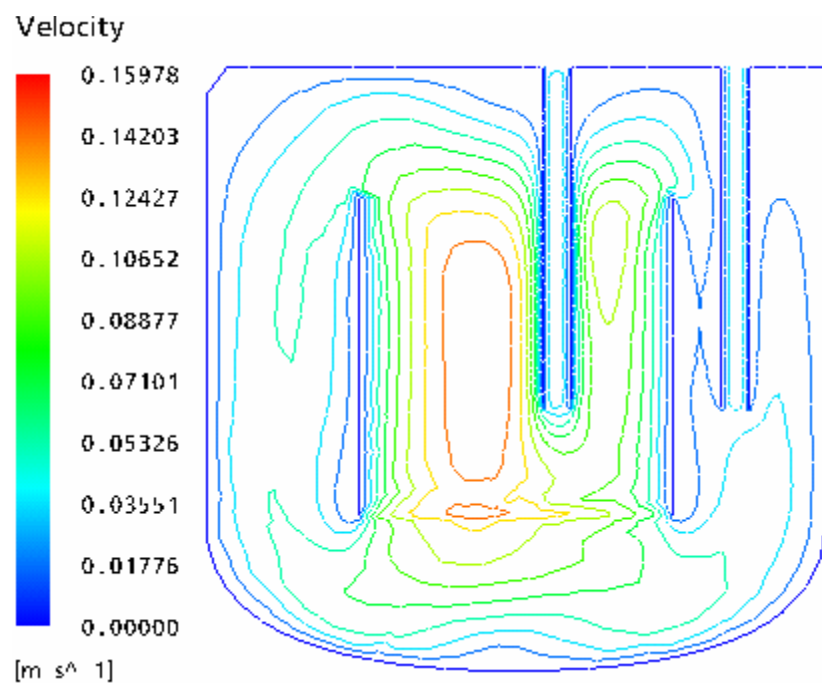
รูปที่ 4.25 รูปความเร็วที่เหล่งกำเนิดโมเมนตัม =  $50000 \text{ kg/m}^2/\text{s}^2$



รูปที่ 4.26 รูปความเร็วบริเวณใกล้ปากท่อดูดออกที่เหล่งกำเนิดโมเมนตัม =  $50000 \text{ kg/m}^2/\text{s}^2$



รูปที่ 4.27 เส้นแนวการไหล ที่แหล่งกำเนิดโมเมนตัม = $50000 \text{ kg/m}^2/\text{s}^2$



รูปที่ 4.28 ค่อนหัวร์ของขนาดของความเร็วของการไหลในถังตอกผลึก  
ที่ค่าแหล่งกำเนิดโมเมนตัม =  $50000 \text{ kg/m}^2/\text{s}^2$

## 4.2 อภิปรายผลการจำลอง

### 4.2.1 ความเป็นเอกธุรูปของการไฟลภายในถังตอกผลึก

จากผลการจำลองเชิงตัวเลขภายในถังตอกผลึกพบว่าการไฟลภายในถังตอกผลึกยังไม่มีความเป็นเอกธุรูปในทุกค่าของแหล่งกำเนิดโมเมนตัม พิจารณาจากรูปที่ 4.1 4.5 4.9 4.13 4.17 4.21 และ 4.25 ซึ่งแสดงธุรูปศรีความเร็วภายในถังตอกผลึกพบว่าความเร็วภายในท่อคราฟต์มีค่าสูงกว่าความเร็วภายนอกท่อคราฟต์ ทั้งนี้เนื่องจากพื้นที่หน้าตัดภายในท่อคราฟต์มีค่าน้อยกว่าพื้นที่หน้าตัดภายนอกนั้นเอง พิจารณาจากรูปเส้นคอนทัวร์ของขนาดของความเร็วที่ทุกค่าของโมเมนตัม สังเกตได้ว่าที่ก้นถังบริเวณจุดศูนย์กลาง จะมีความเร็วต่ำทำให้สามารถเกิดการตกตะกอนของผลึกและจับกันเป็นก้อนแข็งได้ ถึงแม้ว่าก้นของถังจะมีลักษณะโค้งแล้วก็ตาม อย่างไรก็ตามปัญหาที่เกิดขึ้นนี้สามารถแก้ไขได้โดยปรับลักษณะของก้นถัง โดยเพิ่มวัสดุรูปกรวยเข้าไปแทนที่บริเวณที่มีความเร็วต่ำนั้น

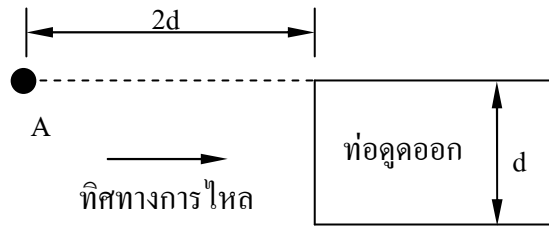
จากรูปที่ 4.4 4.8 4.12 4.16 4.20 4.24 และ 4.28 จะเห็นว่าการเพิ่มขนาดของแหล่งกำเนิดโมเมนตัม ไม่ส่งผลให้เกิดการเปลี่ยนแปลงธุรูปแบบการไฟลมากนัก แต่ทำให้ค่าความเร็วที่ได้เปลี่ยนไป โดยเฉพาะในกรณีที่ขนาดของแหล่งกำเนิดโมเมนตัมเป็น  $18000 \text{ kg/m}^2/\text{s}^2$  ขึ้นไป จะเห็นว่าลักษณะการไฟลมีรูปแบบที่ใกล้เคียงกันมาก นั่นคือช่วงของแหล่งกำเนิดโมเมนตัมที่ให้เข้าไปไม่มีผลต่อรูปแบบการไฟล แต่จะมีผลต่อความเร็วของของไฟลภายในถังตอกผลึก

### 4.2.2 ความเป็นไอโซไคโนติกส์ในการดูดออก

พิจารณาธุรูปศรีความเร็วบริเวณใกล้ปากท่อดูดออก จะเห็นว่าผลการจำลองที่ค่าโมเมนตัมเป็น 0 และ  $1000 \text{ kg/m}^2/\text{s}^2$  (รูปที่ 4.2 และ 4.6) ความเร็วภายในถังมีค่าน้อยเมื่อเทียบกับความเร็วในท่อดูดออกและท่อน้ำเข้า การไฟลมีลักษณะลุ่มเข้าหากันท่อดูดออกเป็นวงกว้างอย่างชัดเจน ซึ่งไม่เป็นการดูดออกแบบไอโซไคโนติกส์ ในกรณีที่เพิ่มค่าโมเมนตัมเป็น 10000 15000 และ  $18000 \text{ kg/m}^2/\text{s}^2$  (รูปที่ 4.10 4.14 และ 4.18) ความเร็วภายนอกท่อดูดออกจะเพิ่มขึ้นมากกว่าสองกรณีแรก และพบว่ามีการลุ่มเข้าของเส้นแนวการไฟลบริเวณปากท่อน้ำยิ่งเป็นลำดับ นั่นคือการไฟลเข้าใกล้การดูดออกแบบไอโซไคโนติกส์มากขึ้น

ในขณะที่ค่าโมเมนตัม 30000 และ  $50000 \text{ kg/m}^2/\text{s}^2$  นั้น พบว่าการไฟลบริเวณปากท่อมีการบานออกออกอย่างชัดเจน ดังรูปที่ 4.22 และ 4.26

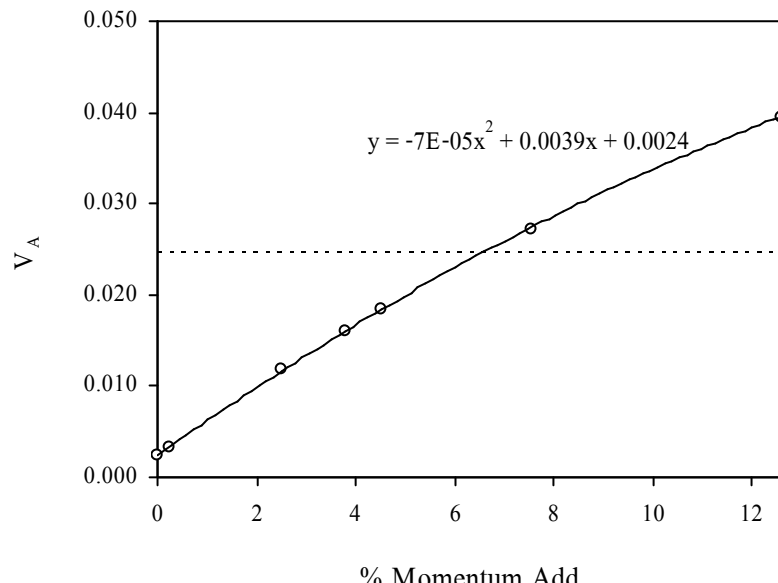
เมื่อพิจารณาความสัมพันธ์ของค่าแหล่งกำเนิดโมเมนตัมที่ให้ กับ ความเร็ว และความดัน ที่จุด A ซึ่งห่างจากปากทางเข้าของท่อดูดออกเป็นระยะเท่ากับสองเท่าของเส้นผ่านศูนย์กลางท่อ ดังรูปที่ 4.29



รูปที่ 4.29 แสดงตำแหน่งของจุด A

พบว่าความเร็วที่จุด A สัมพันธ์กับค่าแหล่งกำเนิดโมเมนตัมที่ให้ดังรูปที่ 4.30 เส้นประในแผนภาพแสดงความเร็วเฉลี่ยภายในห้อง ( $0.0245859 \text{ m/s}$ ) ซึ่งหากจุด A มีความเร็วใกล้เคียงกับความเร็วดังกล่าวก็จะทำให้การคูดออกเข้าใกล้การคูดออกแบบไอโซไคเนติกส์มากขึ้น จากแผนภาพนี้พบว่าค่าแหล่งกำเนิดโมเมนตัมที่เหมาะสมอันจะทำให้จุด A มีค่าความเร็วดังกล่าว และเข้าใกล้การคูดออกแบบไอโซไคเนติกส์มากที่สุดคือ

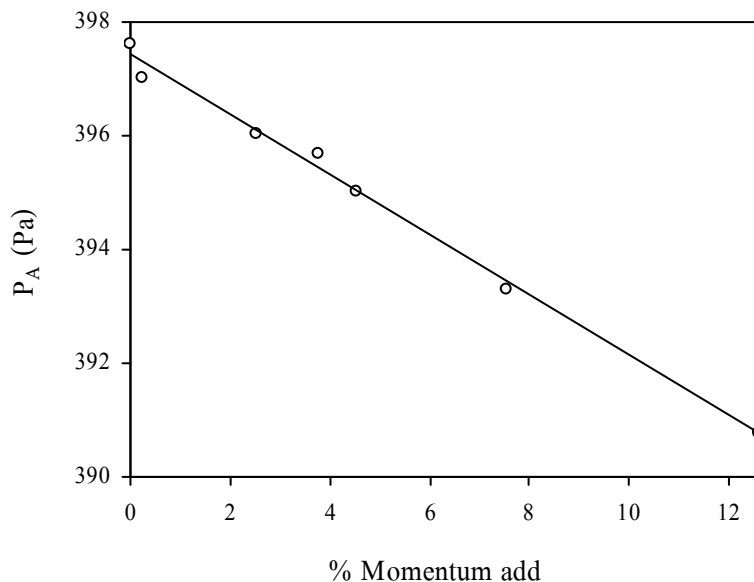
อจุดที่เส้นประและเส้นแนวโน้มของความเร็วตัดกันพอดี อยู่ที่ค่าแหล่งกำเนิดโมเมนตัมท่ากับ  $6.431\%$  ของค่าโมเมนตัมเริ่มต้น



รูปที่ 4.30 ความสัมพันธ์ระหว่างความเร็วที่ตำแหน่ง A กับค่าแหล่งกำเนิดโมเมนตัม

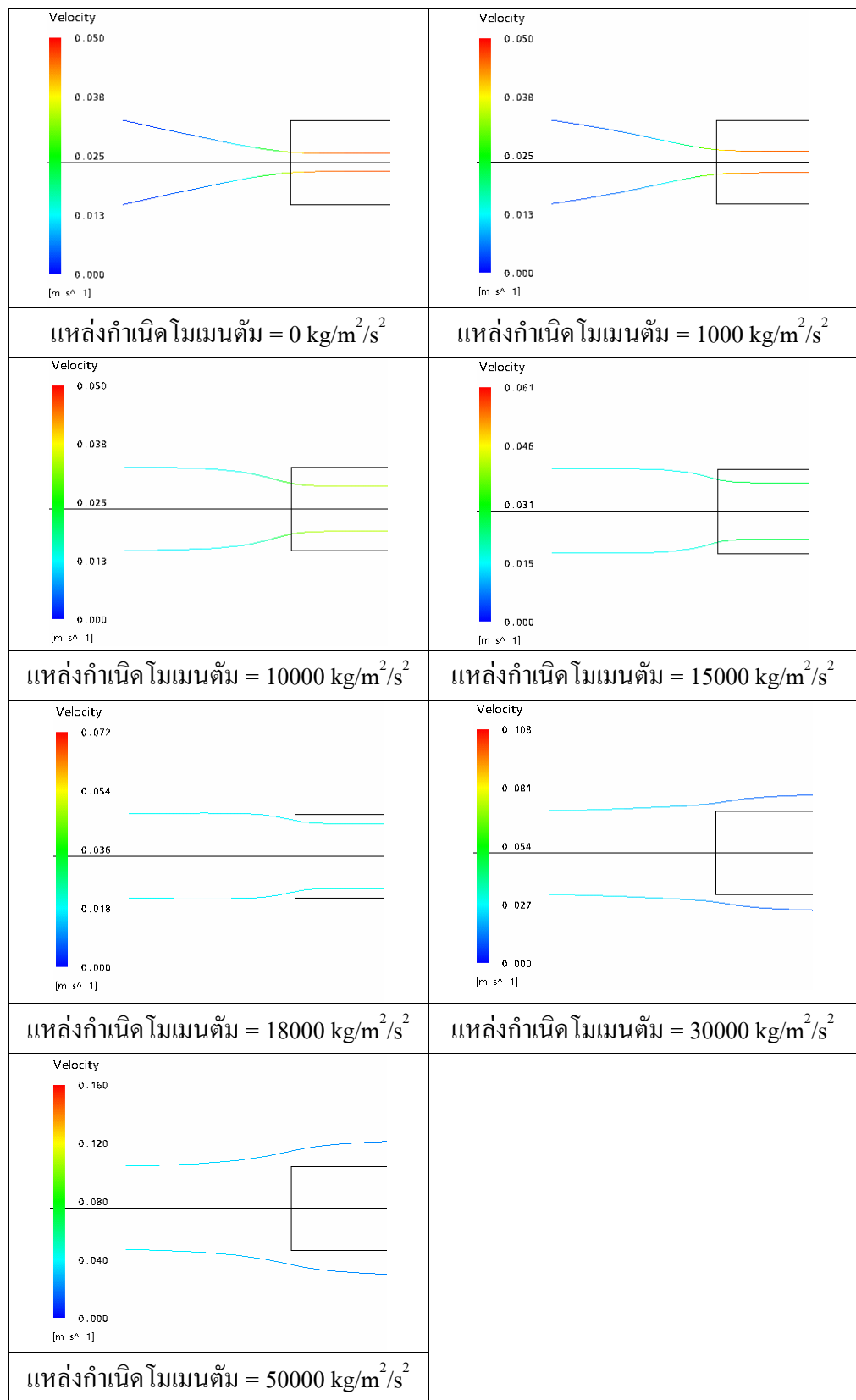
ในขณะที่ความดันที่จุด A ปรับไปตามค่าแหล่งกำเนิดโมเมนตัมที่ให้แบบเชิงเส้น ดังรูปที่ 4.31 โดยความดันมีค่าลดลงเรื่อยๆ เมื่อเพิ่มค่าแหล่งกำเนิดโมเมนตัม ซึ่งผลที่ได้สัมพันธ์

กับความเร็วที่ได้จากการจำลองและสอดคล้องกับสมการเบอร์นูลลี (Bernoulli equation) กล่าวคือ ความดันภายในห้องน้ำมีค่าลดลงเมื่อความเร็วมีค่าเพิ่มขึ้นในขณะที่พื้นที่หน้าตัดของห้องน้ำคงเดิม



รูปที่ 4.31 ความสัมพันธ์ระหว่างความดันที่ตำแหน่ง A กับค่าแหล่งกำเนิดโมเมนตัม

เส้นแนวการไหลจากจุด A ที่ค่าแหล่งกำเนิดโมเมนตัมที่ให้แตกต่างกันมีลักษณะเป็นดังรูปที่ 4.32 หากพิจารณาจากความเร็ว พบว่าที่ค่าแหล่งกำเนิดโมเมนตัม 18000 และ 30000  $\text{kg/m}^2/\text{s}^2$  จะให้ความเร็วที่จุด A เป็น  $0.0185 \text{ m/s}$  และ  $0.0273 \text{ m/s}$  ตามลำดับ ซึ่งจะเห็นว่าการให้แหล่งกำเนิดโมเมนตัม  $30000 \text{ kg/m}^2/\text{s}^2$  นั้นให้ค่าของความเร็วที่จุด A ใกล้เคียงกับความเร็วเฉลี่ยภายในห้องมากกว่าค่าแหล่งกำเนิดโมเมนตัม  $18000 \text{ kg/m}^2/\text{s}^2$  แต่เมื่อพิจารณาจากเส้นแนวการไหลจะเห็นว่าที่ค่าแหล่งกำเนิดโมเมนตัม  $30000 \text{ kg/m}^2/\text{s}^2$  มีการบานออกของเส้นแนวการไหลมากทั้งนี้จะเกิดจากผลกระทบของผนังของผิวที่ไม่มีการไถลเกิดขึ้น ทำให้เส้นแนวการไหลบานออกมากขึ้นเนื่องจากเกิดการคีบคลานของโมเมนตัมจากผนังท่อและเกิดชั้นซิดผิวขึ้นที่ผนังท่อ ดังกล่าว



รูปที่ 4.32 เปรียบเทียบเส้นแนวการไหลที่จุด A เมื่อค่าแหล่งกำเนิดโภมเมนตัมเปลี่ยนไป

### 4.3 สรุป

4.3.1 การจำลองการตกผลึกภายในถังตกผลึกน้ำตาลแบบทำความเย็นนี้ แสดงให้เห็นถึงรูปแบบการไหลที่มีลักษณะไม่เป็นเอกธุรุปไม่ว่าจะให้ค่าแหล่งกำเนิดโน้ม-men ตั้มเป็นเท่าใดก็ตาม

4.3.2 เมื่อพิจารณาการไหลอันเนื่องมาจากการดูดออกพบว่าค่าแหล่งกำเนิดโน้ม-men ตั้มที่ต่ำเกินไป การไหลจะมีลักษณะลุ่วเข้าหาท่อดูดออก ส่วนในกรณีที่ค่าโน้ม-men ตั้มสูงเกินไป จะทำให้การไหลเกิดการเบี่ยงเบนออกจากท่อดูดออกอย่างเห็นได้ชัด ซึ่งไม่เป็นการดูดออกแบบไอโซไคนเดกส์จากการจำลองผลพบว่า ค่าแหล่งกำเนิดโน้ม-men ตั้มเท่ากับ  $18000 \text{ kg/m}^2/\text{s}^2$  ทำให้การไหลมีลักษณะใกล้เคียงกับการดูดออกแบบไอโซไคนเดกส์ ซึ่งจะทำให้ได้ผลิตภัณฑ์ที่มีคุณภาพดี

4.3.3 จะเห็นได้ว่า การใช้โปรแกรมคอมพิวเตอร์ช่วยในการจำลองการไหลในถังตกผลึกนั้นทำให้สามารถทำงานคุณลักษณะการไหลภายในถัง ณ จุดต่าง ๆ และช่วยให้สามารถกำหนดจุดทำงานที่เหมาะสมของระบบการตกผลึกง่ายและรวดเร็วขึ้น ตลอดจนสามารถช่วยลดต้นทุนในการทดลอง ผลจากการจำลองนี้สามารถนำไปใช้พิจารณาเพื่อออกแบบหรือปรับปรุงกระบวนการตกผลึกของน้ำตาลให้ได้ผลึกที่มีคุณภาพต่อไป อย่างไรก็ตาม การจำลองผลด้วยโปรแกรมคอมพิวเตอร์ยังมีข้อจำกัด ซึ่งแม้ว่าประสิทธิภาพของตัวประมวลจะมีความเร็วและความถูกต้องสูง การตั้งสมมติฐานที่รัดกุมและเหมาะสมเพื่อลดความผุ่งขากซับซ้อนตลอดเวลาในการคำนวณ เช่น การกำหนดให้การตกผลึกเป็นแบบอุณหภูมิกคงที่ และไม่พิจารณาการถ่ายเทความร้อน เป็นต้น เป็นปัจจัยสำคัญในการจำลองผลของระบบการตกผลึกนี้ ดังนั้นเพื่อให้ได้ผลการจำลองที่สอดคล้องกับกระบวนการที่เกิดขึ้นจริงในถังตกผลึกมากที่สุด จึงมีความจำเป็นที่จะต้องพัฒนาและปรับปรุงแบบจำลองการไหลให้มีความสมจริงมากยิ่งขึ้น

## บทที่ 5

### สรุปและข้อเสนอแนะ

ในบทนี้จะกล่าวถึงผลสรุปของการทำวิจัย ข้อดีและข้อเสียของการให้แหล่งกำเนิดไมเม็นตัมที่มากเกินไปหรือน้อยเกินไป ตลอดจนข้อเสนอแนะในการปรับปรุงงานวิจัยชิ้นนี้ต่อไป โดยในหัวข้อ 5.1 จะกล่าวถึงผลสรุปของการทำวิจัย และในหัวข้อที่ 5.2 จะกล่าวถึงข้อเสนอแนะในการทำวิจัยต่อไป

#### 5.1 สรุปผลการวิจัย

5.1.1 การไหลในลังตอกพลิกน้ำตาลที่จำลองผลขึ้นมาไม่มีลักษณะไม่เป็นเอกธุปถั่งแม้ว่าจะมีการติดตั้ง Baffle และ ท่อصرفตัดแล้วก็ตาม

5.1.2 ค่าแหล่งกำเนิดไมเม็นตัมที่เปลี่ยนไป มีผลต่อการดูดออกแบบไอโซไคนติกส์ ซึ่งที่ค่าไมเม็นตัมน้อย ๆ จะทำให้พลิกขนาดเล็ก ๆ ไหลเข้าสู่ท่อมากเกินไป และอาจทำให้การไหลมีแรงผลักดันไมพอที่จะทำให้พลิกขนาดใหญ่ลอดอยเข้าท่อดูดออกได้ ทำให้เกิดการตกตะกอนไปรวมกันที่ก้นถังและจับกันเป็นก้อนแข็งได้ ในทางกลับกันการกำหนดค่าแหล่งกำเนิดไมเม็นตัมที่มากเกินไปจะให้ผลตรงกันข้ามคือการไหลจะมีแนวโน้มที่จะไหลออกจากปากท่อ พลิกขนาดเล็ก ๆ จะลดลงตามเส้นแนวทางการไหลและเข้าสู่ปากท่อน้อย ส่วนพลิกขนาดโตกว่า จะไหลเข้าปากท่อได้ผลกรอบจากการไหลที่เกี่ยวข้องกับการดูดออกทั้งสองประเภทนี้ไม่เป็นผลดีต่อกระบวนการผลิต พลิก เนื่องจากจะทำให้เกิดการแยกขนาดของพลิกภายในถัง และยากต่อการควบคุมกระบวนการตกพลิกให้ได้ผลผลิตที่มีคุณภาพสูง

5.1.3 ผลกรอบอย่างอื่นที่เกิดขึ้นเนื่องจากการให้ค่าแหล่งกำเนิดไมเม็นตัมที่มากเกินไป ได้แก่ การส่งผลให้เกิดการแตกหักของพลิก ซึ่งเกิดเนื่องจากการกรอบกันระหว่างพลิกกันในพัด พลิกกับพลิกด้วยกัน หรือพลิกกับภาชนะ การแตกหักดังกล่าวก็จะส่งผลกระทบต่อการเติบโตของ พลิก ทำให้ได้ผลผลิตพลิกที่มีคุณภาพต่ำ การให้ค่าแหล่งกำเนิดไมเม็นตัมที่มากเกินไปนอกจากจะมีผลกระทบต่อกระบวนการผลิตพลิกแล้วยังจะทำให้เกิดความลื่นเปลืองพลังงานในกระบวนการผลิต อีกด้วย

5.1.4 การทำวิจัยโดยนำความรู้เกี่ยวกับ CFD มาประยุกต์ใช้ในการวิเคราะห์การไหลลังตอก พลิกทำให้สามารถประยุกต์ด้านทุนในการทำวิจัยโดยได้ผลลัพธ์ที่เชื่อถือได้ และลดความยุ่งยากใน

การวัดค่าด้วยเครื่องแบบเดิมจะได้จากการทำการทดลอง และในหลายกรณีไม่สามารถทำการวัดค่าได้อย่างละเอียดทั่วทั้งโดเมน นอกจ้านี้ยังเป็นการพัฒนาการใช้คอมพิวเตอร์ช่วยวิเคราะห์เพื่อออกแบบถังต่อกันให้มีประสิทธิภาพมากขึ้นอีกทางหนึ่งด้วย

## 5.2 ข้อเสนอแนะในการวิจัยต่อไป

5.2.1 ศึกษาพฤติกรรมการไหลของอนุภาค โดยการจำลองอนุภาคลงไปในระบบด้วยเพื่อให้เห็นผลอย่างชัดเจน ว่าขนาดและความหนาแน่นของผลึกมีผลต่อการไหลภายในถังผลึกอย่างไรบ้าง และการความสามารถนำอนุภาคโดยเข้าสู่ท่อทางออกได้หรือไม่

5.2.2 ศึกษารากษณะของใบพัดที่ใช้ในการกวนสารแต่ละประเภทว่ามีความสามารถในการกวนสารละลายภายในถังแตกต่างกันอย่างไร เพื่อการปรับปรุงรากษณะของใบพัด หรือการเลือกใช้ประเภทของใบพัดที่เหมาะสมที่จะทำให้ประหยัดพลังงานมากที่สุดและได้คุณภาพของผลึกที่ดี

5.2.3 ศึกษาผลกระทบจากการวางแผนของท่อดูดออก ทั้งความสูง และระยะจากจุดศูนย์กลาง รวมถึงรูปร่างของท่อ เพื่อให้ได้รากษณะของท่อตามที่เหมาะสมในการดูดออกมากที่สุด อันจะไม่ทำให้เกิดการแยกขนาดของผลึก

5.2.4 พิจารณาผลกระทบของอุณหภูมิในการจำลองการไหล เพื่อให้ได้คำตอบที่ถูกต้องมากขึ้นในการทำนายค่าต่าง ๆ เนื่องจาก ในระบบที่ใหญ่ขึ้น การผสมกันภายในถังจะทำได้ยากขึ้น ทำให้อุณหภูมิในการต่อกันในแต่ละตำแหน่งในถังอาจไม่เท่ากัน

5.2.5 ขยายขอบเขตในการใช้ CFD ไปสู่การจำลองการไหลของอุปกรณ์ต่อกันที่มีใช้อยู่จริงในโรงงานอุตสาหกรรมเพื่อช่วยในการวิเคราะห์ระบบที่มีความจำเพาะเฉพาะเจาะจงในแต่ละปัญหามากขึ้น

## เอกสารอ้างอิง

- ทวิช จิตรสมบูรณ์ และ สุวรรณा อรรฐานเมศร์. (2000). โนมย่า: โปรแกรมเพื่อวิเคราะห์การไหล. *Suranaree Journal of Science and Technology* 7: 30-41.
- อัสวิทย์ ปัทมะเวณุ. (2540). ตามรอยน้ำตาล เล่มที่3. ชุดน้ำตาลไม่รู้จบ. กรุงเทพฯ : ที.พี.พรินท์
- Bakker, A., Fasano, J. B., and Myers, K. J. (1994) Effects of Flow Pattern on the Solids Distribution in a Stirred Tank. In **8th European Conference on Mixing** (pp 1-8). Cambridge, U.K.: IChemE Symposium
- Bakker, A., LaRoche, R. D., Wang, M., and Calabrese, R. V. (1998). **Sliding Mesh Simulation of Laminar Flow in Stirred Reactors** [On-line]. Available: <http://www.bakker.org/cfm>.
- Barresi, A., and Baldi, G. (1987). Solid dispersion in an agitated vessel. **Chemical Engineering Science** 42: 2949-2956
- Brucato A., Micale, G., Montante, G. and Scuzzarella, A. (2002). **Experimental investigation and CFD simulation of dense solid-liquid suspensions in a fully baffled mechanically stirred tank** [On-line]. Available: <http://www.software.aeat.com/cfxcommunity>
- Buurman, C., Resoort, G., and Plaschkes, A., (1986). Scaling-up rules for solid suspension in stirred vessels. **Chemical Engineering Science** 41:2865-2871.
- Ginter, D. M., and Loyalka, S. K. (1996). Apparent size-dependent growth in aggregating crystallizers. **Chemical Engineering Science** 55(14): 3685-3695.
- Gros, H., Kilpio, T., and Nurmi, J. (2001). Continuous cooling crystallization from solution. **Powder Technology** 121: 106-155.
- Jaworski, Z., Nienow, A.W., Koutsakos, E., Dyster K., and Bujalski, W. (1991). An LDA Study of Turbulent Flow in a Baffled Vessel Agitated by a Pitched Blade Turbine. **Chemical Engineering Journal of Research and Development** 69: 313-320.
- Kramer, H. J. M., Dijkstra, J. W., Verheijen, P. J. T., and Van Rosmalen, G. M. (2000). Modeling of industrial crystallizers for control and design purposes. **Powder Technology**, 108: 185-191
- Lamberto, D. J., Alvarez, M. M., and Muzzio, F. J. (1999). Experimental and computation investigation of the laminar flow structure in a stirred tank. **Chemical Engineering Science** 54: 919-942 .

- Liiri, M., Koiranen, T., and Aittamaa, J. (2002). Secondary nucleation due to crystal-impeller and crystal-vessel collisions by population balances in CFD-modelling. **Journal of Crystal growth** 237-239: 2188-2193.
- Liu, M., Andreasen, C.D., and Laroche, R. D. (2000) Visualization and quantification of laminar flow mixing in a stirred tank reactor. In B. Sen Gupta and S. Ibrahim (eds.). **Mixing and Crystallization** (15-27). Netherlands: Kluwer Academic Publishers.
- Maggioris, D., Goulas, A., Alexopoulos, A. H., Chatzi, E. G., and Kiparissides, C. (1998). Use of CFD in Prediction of Particle Size Distribution in Suspension Polymer Reactors. **An International Journal of Computer Applications in Chemical Engineering** 22: 315-22.
- Mathlouthi, M. (1995). **Sucrose: properties and applications**. New York : Blackie Academic & Professional.
- McCabe, and Warren, L. (1899). **Unit Operations of Chemical Engineering**. Singapore: McGraw-Hill.
- Mermann, A. (ed.). (2001). **Crystallization technology handbook**. New York : Marcel Dekker.
- Micale, G., and Montante, G. (1999). **On the simulation of two-phase solid-liquid stirred vessels** [On-line]. Available : <http://www.software.aeat.com/cfxcommunity>
- Montante, G., Lee, K. C., Brucato, A., and Yianneskis, M. (2001). Experiments and predictions of the transition of the flow pattern with impeller clearance in stirred tanks. **Chemical Engineering Science** 25: 729-735.
- Montante, G., Lee, K. C., Brucato, A., and Yianneskis, M. (2001). Numerical simulation of the dependency of flow pattern on impeller clearance in stirred vessels. **Chemical Engineering Science** 56: 3751-3770.
- N'yvlt, J. (1992). **Design of Crystallizers**. United State: CRC Press
- Nasr-El-Din, H. A., Mac Taggart, R. S., and Masliyah, J. H. (1996). Local solids concentration measurement in a slurry mixing tank. **Chemical Engineering Science** 51 (8): 1209-1220
- Nasr-El Din, H. A., Mac Taggart, R. S., and Masliyah, J. H. (1996). Local solid concentration measurement in a slurry mixing tank. **Chemical Engineering Science** 51: 1209-1220.
- Ohtaki, H. (1998). **Crystallization Process**. Japan : Wiley.
- Pennington, N. L., and Baker, C. W. (eds.). (1990). **Sugar a user guide to sucrose**. New York: Van Nostrand Reinhold.

- Rigby, G. D., Lane, G., and Evans, G. M. (2000) CFD modeling of hydrodynamic conditions within the wake of mixing impeller blades. In B. Sen Gupta and S. Ibrahim (eds.). **Mixing and Crystallization** (1-13). Netherlands: Kluwer Academic Publishers.
- Sahu, A. K., Kumar, P., Patwardhan, A. W., and Joshi, J.B. (1999). CFD modeling and mixing in stirred tanks. **Chemical Engineering Science** 54: 2285-2293
- Sha, Z. and Palosaari, S. (2000) Mixing and crystallization in suspensions. **Chemical Engineering Science** 55: 1797-1896.
- Sha, Z. Oinas, P. Louhi-Kultance, M. Yang G., and Palosaari, S. (2000) Application of CFD simulation to suspension crystallization-factors affecting size-dependent classification, **Powder Technology** 121: 20-25
- Sha, Z. Palosaari, S. Oinas, P., and Ogawa, K. (2001) CFD Simulation of Solid suspension in a stirred tank, **Journal of Chemical Engineering of Japan** 34(5): 621-626
- Shamlou, P., A, and Koutsakos, E. (1989). Solids suspension and distribution in liquids under turbulent agitation. **Chemical Engineering Science**, 44(3): 529-542.
- Shamlou, P., Ayazi, and Koutsakos, E. (1989). Solids suspension and distribution in liquids under turbulent agitation. **Chemical Engineering Science** 44(3): 529-542
- Shaw, C. T. (1992). **Using computational fluid Dynamics**. UK : Printice Hall International.
- Versteeg, H. K. and Malalasekera, W. (1995). **An introduction to computational fluid dynamics The finite volume method**. Malaysia: Longman Scientific & Technical.
- White, F. M. (1994). **Viscous Fluid Flow**. Singapore: McGraw-Hill.
- White, F. M. (1999). **Fluid Mechanics**. Singapore: McGraw-Hill.

ภาคผนวก ก

โครงสร้างและการทำงานของโปรแกรม CFX 5

CFX 5 เป็นโปรแกรมที่ใช้ในการจำลองพฤติกรรมทางกายภาพของระบบที่เกี่ยวข้องกับการไหลของของไอล การถ่ายเทความร้อน และอื่น ๆ โดยอาศัยการแก้สมการการไหลของของไอล (ในรูปพิเศษ) ในบริเวณที่สนใจ การทำงานของโปรแกรม CFX มีขั้นตอนของการทำงานแบ่งออกเป็น 3 ขั้นตอนดังนี้

### ก.1 ขั้นตอนก่อนการประมวลผล (Pre-processing)

เป็นขั้นตอนที่ใช้ในการกำหนดข้อมูลของปัญหา ก่อนที่จะส่งไปทำการคำนวณ โดยจะเกี่ยวข้องกับข้อมูลต่าง ๆ ดังนี้

- การกำหนดลักษณะรูปร่างของปัญหา (ในโปรแกรม CFX การกำหนดรูปร่างของปัญหาจะต้องอยู่บนพื้นฐานของสามมิติเท่านั้น)
- การระบุเงื่อนไขค่าขอบของปัญหา และค่าเริ่มต้น
- การสร้างกริดภายนอกเมนู
- การกำหนดคุณสมบัติของของไอลที่ใช้ เช่น ความหนาแน่น ความหนืด ความดัน อ้างอิง เป็นต้น

### ก.2 ขั้นตอนการประมวลผล (Processing)

ขั้นตอนนี้จะเป็นขั้นตอนการแก้ปัญหา และหาคำตอบของปัญหาออกมา โดยมีขั้นตอนการทำงานแยกเป็นข้อย่อย ๆ ได้ดังนี้

- สมการเชิงอนุพันธ์ย่อของถูกอินทิเกรตและประยุกต์เข้ากับแต่ละปริมาตรจำกัดเล็ก ๆ ที่ถูกแบ่ง
- สมการที่ถูกอินทิเกรตดังกล่าวจะถูกเปลี่ยนไปเป็นระบบสมการพิชคณิต ระบบสมการพิชคณิตเหล่านี้จะถูกแก้โดยกระบวนการคำนวณซ้ำ การแก้ไขปัญหาโดยการคำนวณซ้ำ ๆ จะสิ้นสุดลงเมื่อเกิดการถูกระเบ้า หรือผู้ใช้สั่งให้โปรแกรมหยุดทำการคำนวณ การคำนวณซ้ำแต่ละรอบจะรายงานผลของค่าความผิดพลาด คำตอบที่ได้จะมีความใกล้เคียงกับผลเฉลยแม่นตรงหรือไม่ขึ้นอยู่กับการกำหนดค่าต่าง ๆ ภายในโอดเมน การเลือกใช้วิธีการคำนวณที่เหมาะสม การกำหนดกริด ตลอดจนการให้ค่าเริ่มต้นใหม่ ไปที่ส่วนของการแสดงผลต่อไป และค่าเริ่มต้นในการคำนวณ หลังจากการคำนวณเสร็จสิ้น โปรแกรมจะทำการบันทึกผลการคำนวณซึ่งจะถูกส่งต่อไปที่ส่วนของการแสดงผลต่อไป

### ก.3 ขั้นตอนการแสดงผล (Post-processing)

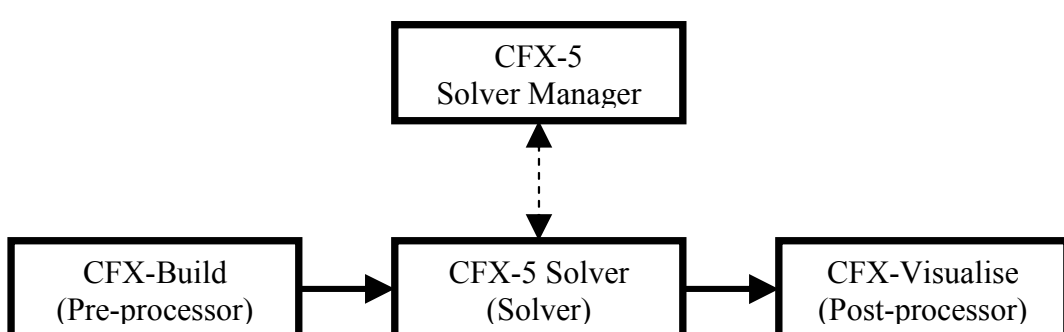
เป็นขั้นตอนสุดท้ายของโปรแกรม ซึ่งจะนำค่าที่ได้จากขั้นตอนการประมวลผลมาแสดง โปรแกรม CFX สามารถแสดงผลได้ในรูปแบบดังต่อไปนี้

- รูปร่างของโดเมน และปริมาตรจำกัดเล็ก ๆ ตลอดจนกริดที่แบ่งได้
- รูปความเร็ว แสดงทิศทางและขนาดของความเร็ว
- ตัวแปรสเกลาร์ต่าง ๆ เช่นความดัน และความเร็ว
- เส้นแนวการไหล
- เส้นคอนทัวร์
- พื้นผิว
- การเปลี่ยนตำแหน่ง เช่นการหมุน การเคลื่อนตัวของของไหลภายในโดเมน

CFX 5 ประกอบด้วยโปรแกรมย่อยทั้งหมด 4 โปรแกรมด้วยกัน โดยโปรแกรมทุกส่วนจะทำงานประสานกัน ผู้ใช้สามารถใช้งานได้ตั้งแต่ขั้นตอนก่อนการประมวลผลจนกระทั่งสิ้นสุด ขั้นตอนการแสดงผล โปรแกรมทั้งสี่ส่วนดังกล่าวได้แก่

- CFX-Build (Pre-processor)
- CFX-5 Solver (Solver)
- CFX-5 Solver Manager (CFD job manager)
- CFX-Visualise (Post-processor)

ขั้นตอนการทำงานของโปรแกรมมีความสัมพันธ์กันดังแผนภาพในรูปที่ ก.1



รูปที่ ก.1 การเชื่อมโยงกันของโปรแกรมย่อย

จากรูปที่ ก.1 CFX-5 Solver Manager เป็นโปรแกรมที่ติดต่อกับผู้ใช้ และแสดงผลการคำนวณ ค่าความผิดพลาดในแต่ละรอบที่คำนวณ ตลอดจนข้อมูลต่าง ๆ ก่อนการคำนวณที่จะถูกส่งเข้าสู่

กระบวนการประมวลผลในโปรแกรม CFX-5 Solver และผลการคำนวณบางส่วนเมื่อสิ้นสุดการคำนวณ ข้อมูลดังกล่าวจะถูกบันทึกลงในไฟล์ชนิดหนึ่งเรียกว่า Output file “ไฟล์ดังกล่าวสามารถเรียกขึ้นมาเพื่อตรวจสอบข้อมูลการป้อนเข้าตลอดจนค่าพารามิเตอร์ต่าง ๆ ได้โดยใช้โปรแกรม Text editor ที่มีอยู่โดยทั่วไป”

ภาคผนวก ข  
การทดสอบโปรแกรม

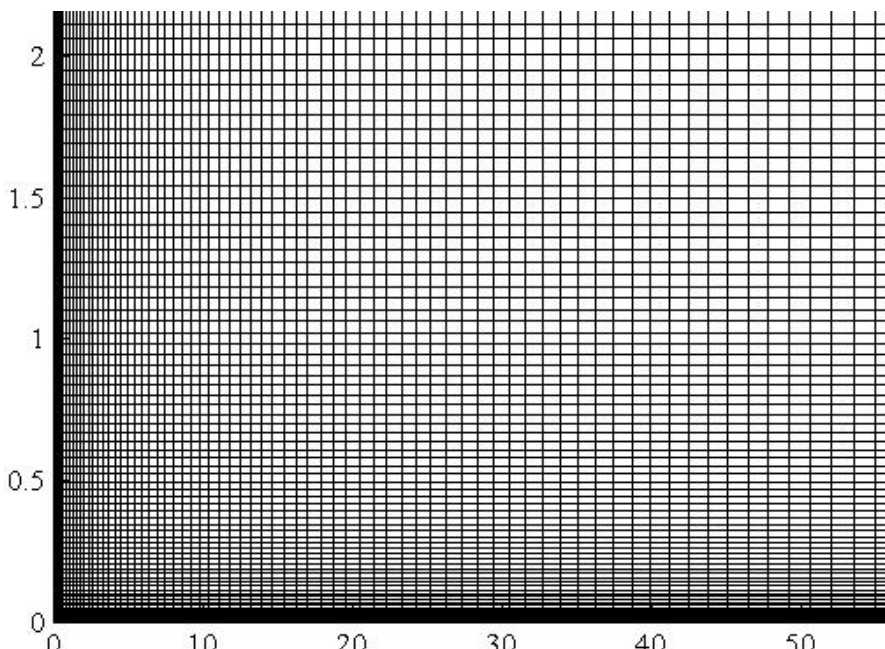
## ข.1 การไอลainชั้นผิวบางในย่านความเร็วต่ำ

### ข.1.1 โดเมนและปัญหา

การไอลain เป็นการไอลain ชั้นผิวบางผ่านเรียบ ซึ่งมีค่าตอบทางทฤษฎีที่เรียกว่า ค่าตอบของบลาเซียส รูปแบบของโดเมนที่ใช้ทดสอบแสดงไว้ในรูปที่ 3.1 ค่าพารามิเตอร์และการกำหนดเงื่อนไขต่าง ๆ เป็นไปตามข้อกำหนดในหัวข้อที่ 3.1.1 จากนั้น ทำการประมาณค่าความหนา ของชั้นชิดผิวโดยใช้ความสัมพันธ์  $\delta = 5.5x / \sqrt{Re_x} \approx 0.005$  (White, 1991) เพื่อใช้กำหนด ความสูงของโดเมนในแนวแกน y โดยกำหนดให้มีค่าเป็น  $5\delta$  หรือ  $3.75 \text{ mm}$  ซึ่งที่ความสูงดังกล่าว ถือว่ามีความสูงพอที่จะไม่ได้รับผลกระทบจากความหนืด

### ข.1.2 เมช

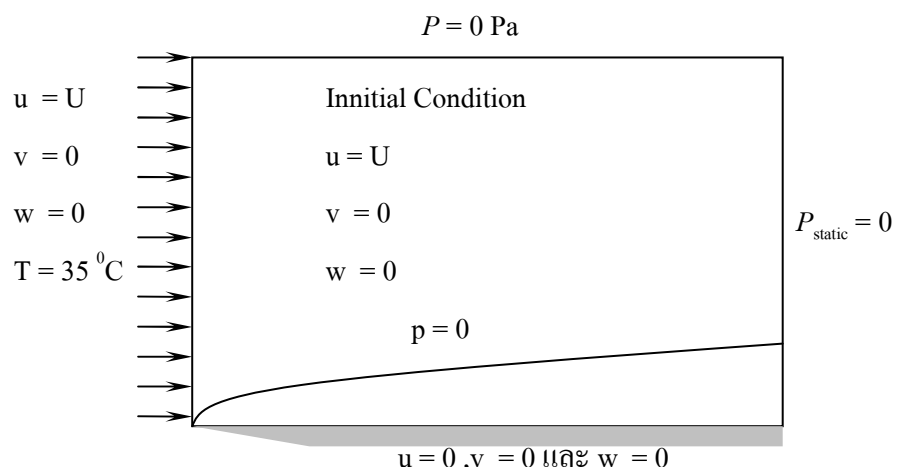
เมชภายในโดเมนลูกແบ่งให้มีความหนาแน่นสูงในบริเวณของชั้นผิวบางและ บริเวณทางเข้าเพื่อให้สามารถแก้สมการได้อย่างลูกต้องในย่านใกล้แผ่นเรียบซึ่งการไอลain มีการเปลี่ยนแปลงของความเร็วมากกว่าบริเวณที่ห่างออกไป โดยกำหนดจำนวนเมช ทั้งหมด 100 เมช ใน แนวแกน x โดยให้เมชมีการขยายขนาดขึ้นแบบเชิงเส้น โดยที่เมชสุดท้ายมีขนาดเป็น 260 เท่าของ เมชแรก ในแนวแกน y กำหนดให้มีจำนวนเมชทั้งหมด 100 เมช มีการขยายขนาดขึ้นแบบเชิงเส้น เช่นเดียวกัน เมชสุดท้ายมีขนาดเป็น 600 เท่าของเมชแรก ส่วนในทางแกน z มีความหนา 1 เมช มี ความหนาในแนวพุ่งออกจากหน้ากระดาษเท่ากับ  $0.5 \text{ mm}$  ลักษณะของเมชที่ได้แสดงในรูปที่ ข.1



รูปที่ ข.1 เมชในแนวแกน x และแกน y (บางส่วน) สำหรับปัญหาการไอลain ชั้นผิวบาง

### ข.1.3 เสื่อนไชค่าของ และค่าเริ่มต้นในการคำนวณ

การกำหนดเสื่อนไชค่าของของการไหลในชั้นผิวน้ำผ่านแผ่นเรียบเป็นดังนี้ ตำแหน่งทางเข้าถูกกำหนดให้มีความเร็วขนาดกับแผ่นเรียบและเป็นความเร็วค่าเดียว (White, 1994) มีค่า  $70.36 \text{ m/s}$  ความเร็วในทิศทางอื่นมีค่าเป็นศูนย์ ส่วนความดันน้ำถือว่าเป็นค่าตอบที่จะได้จาก การจำลอง โดยการทำ Extrapolate ตำแหน่งทางออกกำหนดเสื่อนไชค่าของเป็นประเภท Outlet (Extrapolate) โดยให้มีความดันเป็น  $0$  เมื่อเทียบกับความดันอ้างอิง ความเร็วทุกทิศทางถือว่าเป็น ค่าตอบของการจำลอง โดยการ Extrapolate เช่นเดียวกับกับขอบเขตของโดเมน ส่วนเสื่อนไชค่าของ ที่ผิวน้ำผ่านเรียบกำหนดให้เป็นพังที่ไม่มีการ โคลงของของไหล ดังนั้นความเร็วที่พังนี้มีค่าเป็น ศูนย์ทุกทิศทาง สำหรับพื้นผิวที่ขนานกับหน้ากระดาษทึ้งด้านหน้าและด้านหลัง กำหนดให้เป็นผิว สมมาตร (Symmetry plane) ซึ่งมีความเร็วในทิศตั้งฉากกับพื้นผิวดังกล่าวเป็นศูนย์ และค่าของตัว แปรที่อยู่ภายนอกโดเมนมีค่าเท่ากับค่าที่อยู่ภายในโดเมนเสมอว่าผิวดังกล่าวเป็นกระจกสะท้อนอยู่ การกำหนดเสื่อนไชค่าของของการทดสอบนี้แสดงไว้ในรูปที่ ข.2



รูปที่ ข.2 เสื่อนไชค่าของสำหรับปัญหาการไหลในชั้นผิวน้ำผ่านเรียบ

ค่าเริ่มต้นในการคำนวณภายในโดเมนกำหนดให้ความเร็วทิศบนน้ำกับการ ไหล (แกน  $x$ ) มีค่าเท่ากับความเร็วเริ่มต้นคือ  $70.36 \text{ m/s}$  ส่วนความเร็วในแกนที่เหลือ (แกน  $y$  และ  $z$ ) และความดัน มีค่าเป็นศูนย์ตลอดโดเมน

## ข.2 การไหลผ่านแผ่นขนาดความเร็วต่ำภายใต้ความดัน

### ข.2.1 โอดเมนและปัญหา

การไหลนี้เป็นการไหลแบบความเร็วขนาด ผลเฉลยแม่นตรงสำหรับการไหลประเทมนี้สามารถหาได้จากการอินพิเกรตสมการนาเวียร์สโตคโดยตรงซึ่งจะได้คำตอบดังสมการที่ 3.1 ซึ่งได้แสดงไว้ในบทที่ 3 และเพื่อความต่อเนื่องของการพิจารณาสมการที่เกี่ยวข้อง จึงได้นำเสนอสมการนี้อีกครั้ง ดังนี้

$$u = -\frac{dP}{dx} \frac{h^2}{2\mu} \left( 1 - \frac{y^2}{h^2} \right) \quad (\text{ข.1})$$

ความเร็วเฉลี่ยภายในห้อง ( $u_{av}$ ) คือ ปริมาตรการ ไหลต่อหน่วยพื้นที่ซึ่งมีค่าดังสมการ ข.2 (White, 1994)

$$u_{av} = \frac{-h^2}{3\mu} \frac{dp}{dx} = \frac{2}{3} u_{max} \quad (\text{ข.2})$$

เมื่อ  $u_{max}$  คือค่าความเร็วสูงสุดภายในห้องอยู่ที่ตำแหน่ง  $h = 0$  m จากสมการ ข.1 และ ข.2 คำนวน เกรเดียนต์ของความดันได้ดังสมการ ข.3

$$\frac{dp}{dx} = \frac{3\mu u_{av}}{h^2} \quad (\text{ข.3})$$

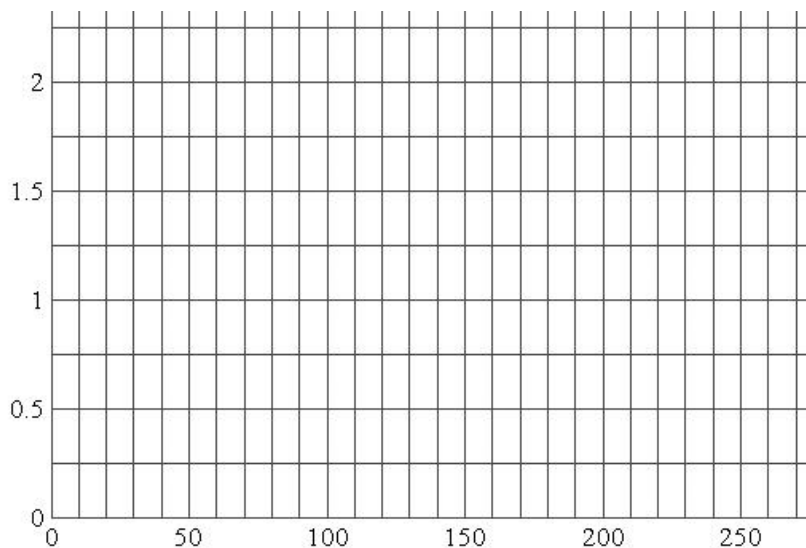
ค่า Reynold number (Re) คำนวนได้จากสมการ ข.4 (Kays และ Crawford, 1996)

$$Re = \frac{\rho u_{av} (2h)}{\mu} \quad (\text{ข.4})$$

รายละเอียดต่าง ๆ ของโอดเมนได้แสดงไว้ในหัวข้อที่ 3.1.2 และ ในรูปที่ 3.4

### ข.2.2 เมช

เมชในการไหลนี้ถูกกำหนดให้เป็นเมชเอกรูป (Uniform Grid) มีจำนวนเมชใน แกน x แกน y และแกน z เป็น 50 20 และ 1 เมช ตามลำดับ ลักษณะของเมชที่ได้เป็นดังรูปที่ ข.3

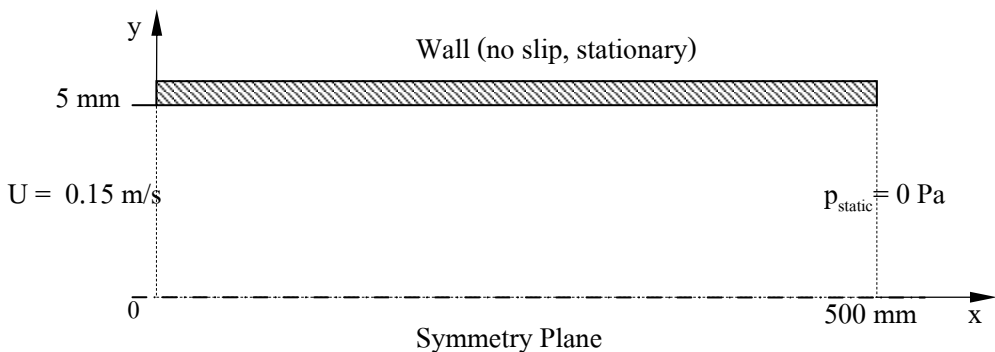


รูปที่ X.3 เมช (บางส่วน) สำหรับปัญหาการไหลผ่านแผ่นคู่ขนาดภายนอกที่ความดัน

### X.2.3 เงื่อนไขค่าข้อมูล และค่าเริ่มต้น

การคำนวณในขั้นต้นได้ประมาณความเร็วเฉลี่ยภายนอกที่ให้มีค่าเป็น  $0.15 \text{ m/s}$  ซึ่งจะทำให้ Reynold number (Re) มีค่าเป็น 100 ค่า Re ดังกล่าวถือว่ายังอยู่ในช่วงการไหลที่เป็น laminar (White, 1994) จากค่าความเร็วเฉลี่ยภายนอกที่ประมาณดังกล่าว สามารถนำไปคำนวณหาความเร็วสูงสุดภายนอกท่อและเกรเดียนต์ของความดันตามสมการ X.2 และ X.3 ได้  $0.225 \text{ m/s}$  และ  $0.234 \text{ Pa}$  ตามลำดับ ซึ่งทำให้ได้ความแตกต่างของความดันที่ปากทางเข้าและทางออกของท่อ มีค่าเป็น  $0.1755 \text{ Pa}$  (ความแตกต่างของความดันสถิตมีค่าเท่ากับ  $0.162$ )

ในการกำหนดเงื่อนไขค่าข้อมูลภายนอกที่โปรแกรม CFX ได้กำหนดให้ความเร็วที่ปากทางเข้าเป็นความเร็วค่าเดิมมีค่าเป็น  $0.15 \text{ m/s}$  ความเร็วในทิศทางที่เหลือกำหนดให้มีค่าเป็น 0 และความดันถือเป็นส่วนหนึ่งของคำตอบจากการ Extrapolate เงื่อนไขค่าข้อมูลที่ทางออกแบบกำหนดให้มีความดันสถิตเป็น 0 เมื่อเทียบกับความดันบรรยายภาพ ส่วนความเร็วทุกทิศทางเป็นคำตอบของการคำนวณซึ่งได้จากการ Extrapolate ส่วนที่เป็นพื้นผิวแผ่นคู่ขนาดกำหนดให้มีความเร็วที่ผิวสัมผัสมีค่าเป็น 0 ในทุกทิศทาง และความดันทางจากการ Extrapolate และเงื่อนไขค่าข้อมูลที่เส้นสมมติที่แสดงในรูปคลื่นพื้นผิวสมมติที่บนกับหน้ากระดาษทั้งด้านบนและด้านล่างกำหนดให้เป็นเงื่อนไขข้อมูลแบบผิวสมมติ คือไม่มีพลักช์ไหลผ่านผิวดังกล่าว และผิวดังกล่าวทำหน้าที่เสมือนกระจกสะท้อนค่าภายนอกโดยเมนให้เท่ากับค่าภายนอกโดยเมน โดยลักษณะ การกำหนดเงื่อนไขค่าข้อมูลเป็นไปตามรูปที่ X.4



รูปที่ ข.4 การกำหนดเงื่อนไขค่าของสำหรับปัญหาการไหลผ่านแผ่นคลื่นนานาภัยใต้ความดัน

### ข.3 การไหลในท่อแบบความเร็วต่ำภายใต้ความดัน

#### ข.3.1 โอดเมนและปัญหา

การไหลนี้เป็นการไหลแบบความเร็วนาน ผลเฉลยแม่นตรงสำหรับการไหลประเกณฑ์สามารถหาได้จากการอินทิเกรตสมการการนาเวียร์สโตคโดยตรงซึ่งจะได้คำตอบสมการที่ 3.2 ซึ่งได้แสดงไว้ในบทที่ 3 และเพื่อความต่อเนื่องของการพิจารณาสมการที่เกี่ยวข้อง จึงได้นำเสนอสมการนี้อีกครั้ง ดังนี้

$$u = -\frac{dP}{dx} \frac{1}{4\mu} (R^2 - r^2) \quad (\text{ข.5})$$

ความเร็วเฉลี่ยภายในท่อ ( $u_{av}$ ) คือ ปริมาตรการ ไหลต่อหน่วยพื้นที่ซึ่งมีค่าดังสมการ ข.6 (White, 1994)

$$u_{av} = \frac{-R^2}{8\mu} \frac{dp}{dx} = \frac{1}{2} u_{max} \quad (\text{ข.6})$$

เมื่อ  $u_{max}$  คือค่าความเร็วสูงสุดภายในท่อซึ่งอยู่ที่ตำแหน่ง  $r = 0$  m. จากสมการ ข.5 และ ข.6 คำนวณ เกรเดียนต์ของความดันได้ดังสมการ ข.7

$$\frac{dp}{dx} = \frac{8\mu u_{av}}{R^2} \quad (\text{ข.7})$$

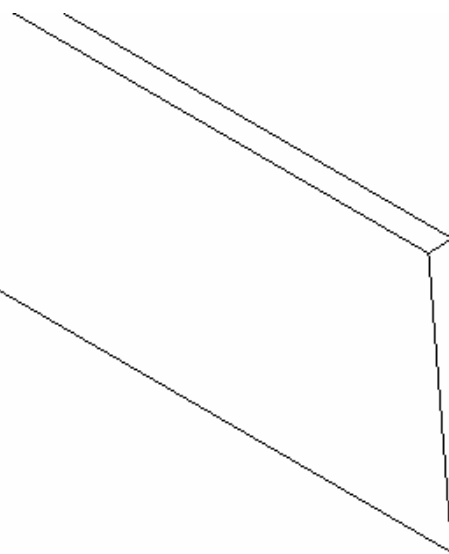
ค่า Reynold number (Re) หาได้จากสมการ ข.8 (Kays และ Crawford, 1996)

$$Re = \frac{\rho u_{av} (2r)}{\mu} \quad (\text{ข.8})$$

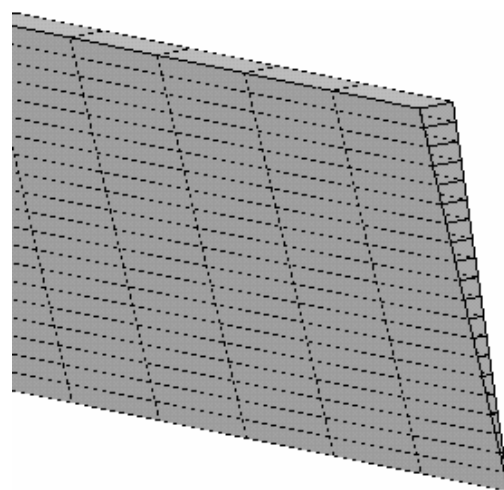
ในการคำนวณได้กำหนดค่าทุกคุณสมบัติเมื่อการไหลผ่านแผ่นคลื่นนานาภัย ยกเว้นการกำหนดให้ท่อเป็นท่อกลม และมีขนาดเส้นผ่าศูนย์กลางเป็น 5 mm ความแตกต่างของความดันสติตที่ขาเข้าและที่ขาออกถูกกำหนดให้มีค่าเท่ากันคือ 0.162 Pa รายละเอียดต่าง ๆ ของโอดเมนได้แสดงไว้ในหัวข้อที่ 3.1.3 และในรูปที่ 3.8

### ข.3.2 เมช

เนื่องจาก โอดเมน เป็นทรงกระบอกซึ่งสมมาตรในแนวแกนที่ 3 (แกน z) ดังนั้น โอดเมนสำหรับคำนวณจึงสามารถกำหนดเพียง 5 องศารอบแกน z เท่านั้นเพื่อเป็นการประหยัดเวลา และหน่วยความจำของคอมพิวเตอร์ โดยเมชในแนวแกน x y และ z ถูกแบ่งออกเป็น 20 50 และ 1 เมช ตามลำดับ ลักษณะของ โอดเมนและเมชที่ใช้ในการคำนวณเป็นดังรูปที่ ข.5 และ ข.6



รูปที่ ข.5 การแบ่ง โอดเมนที่ใช้ในการคำนวณ (บางส่วน)

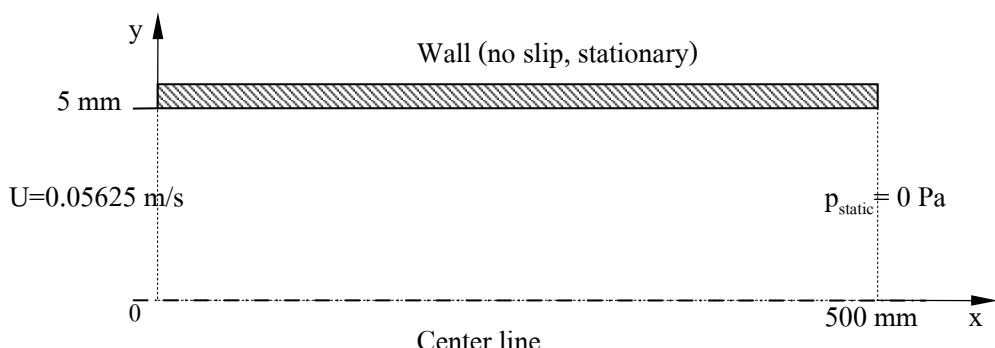


รูปที่ ข.6 ลักษณะของเมช (บางส่วน)

### ข.3.3 เงื่อนไขค่าข้อมูลและค่าเริ่มต้น

จากการกำหนดค่าความแตกต่างของความดันให้มีค่าเท่ากับความแตกต่างของความดันที่ใช้ในปัญหาการไหลผ่านแผ่นคู่บนน้ำ ทำให้สามารถคำนวณหาความเร็วเฉลี่ยภายในจากสมการ ข.6 ซึ่งมีค่าเป็น  $0.05625 \text{ m/s}$  และค่า Reynold number (Re) มีค่าเป็น 100 ค่า Re ดังกล่าวถือว่าอยู่ในช่วงการไหลที่เป็น laminar (White, 1994) นอกจากนี้ยังสามารถคำนวณหาค่าความเร็วสูงสุดภายในท่อได้  $0.1125 \text{ m/s}$  จากสมการ ข.5

ในการกำหนดเงื่อนไขค่าข้อมูลภายในโปรแกรม CFX ได้กำหนดให้ความเร็วที่ปากทางเข้าเป็นความเร็วค่าเดิมมีค่าเป็น  $0.05625 \text{ m/s}$  ความเร็วในทิศทางที่เหลือกำหนดให้มีค่าเป็น 0 และความดันถือเป็นส่วนหนึ่งของคำตอบจากการ Extrapolate เงื่อนไขค่าข้อมูลที่ทางออกกำหนดให้มีความดันสติกเป็น 0 เมื่อเทียบกับความดันบรรยายกาศ ส่วนความเร็วทุกทิศทางเป็นคำตอบของการคำนวณซึ่งได้จากการ Extrapolate ส่วนที่เป็นผนังของท่อกำหนดให้มีความเร็วที่ผิวสัมผัสมีค่าเป็น 0 ในทุกทิศทาง และความดันจาก การ Extrapolate และเงื่อนไขค่าข้อมูลที่ผิวสัมมาตรที่ทำมุ่งกันให้มีเงื่อนไขข้อมูลแบบ Periodic Pairs กล่าวคือที่หน้าตัดทั้งสองจะมีค่าพารามิเตอร์ต่าง ๆ เท่ากันตลอดพื้นผิวโดยลักษณะ การกำหนดเงื่อนไขค่าข้อมูลเป็นไปตามรูปที่ ข.7



รูปที่ ข.7 การกำหนดเงื่อนไขค่าข้อมูลสำหรับปัญหาการไหลในท่อภายใต้ความดัน

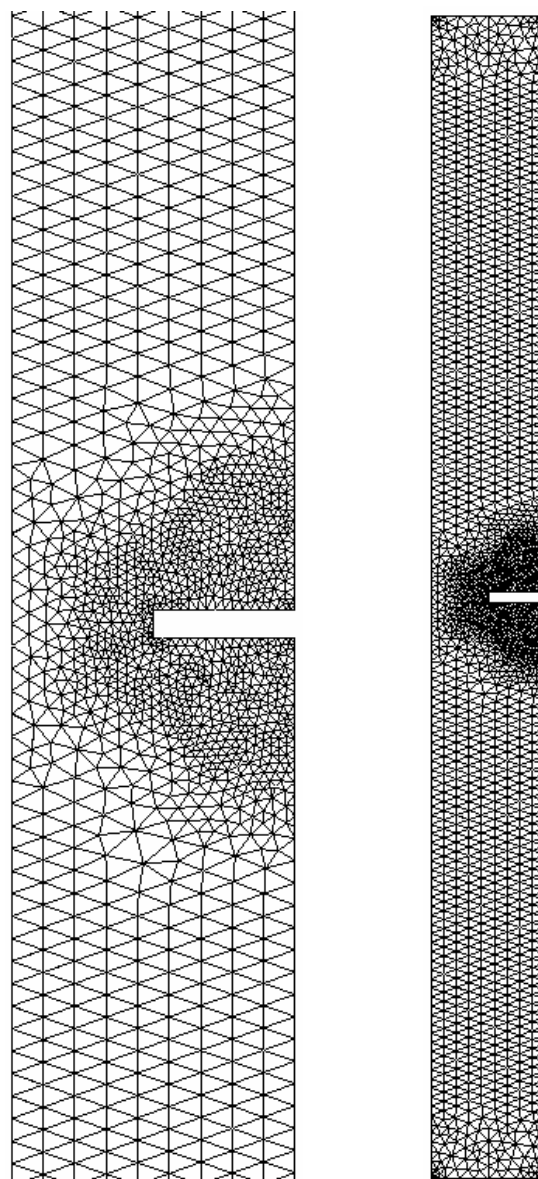
## ข.4 การไหลผ่านลิ้นกีดขวางแบบไม้อัดตัวที่สภาวะคง

### ข.4.1 โอดเมนและปัญหา

รายละเอียดของปัญหาการไหลในท่อผ่านลิ้นกีดขวางได้แสดงไว้ในหัวข้อ 3.1.4 และในรูปที่ 3.12

#### ข.4.2 เมช

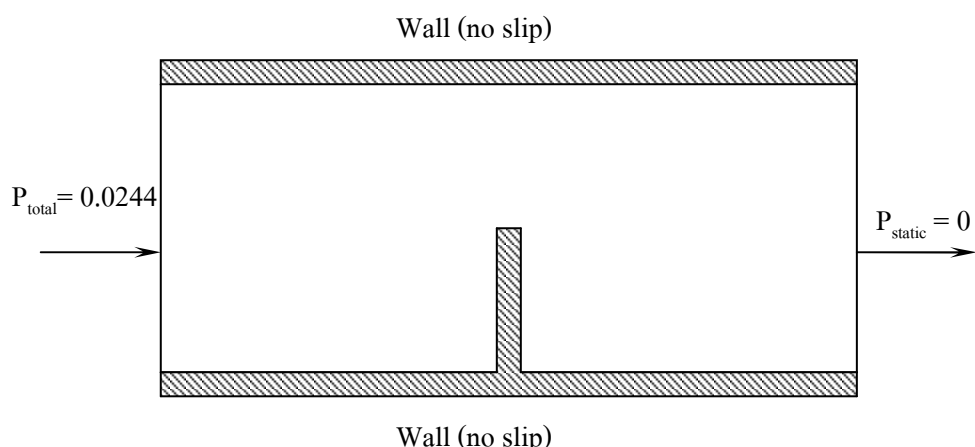
สำหรับเมชในปัญหานี้ได้เลือกใช้เมชแบบ ไรโกรงสร้างซึ่งเป็นการกำหนดเมชภายในโปรแกรมที่สัดส่วนและรวดเร็วโดยโดยกำหนดให้เมชมีความละเอียดในบริเวณที่มีสิ่งกีดขวางเนื่องจากภาคการณ์ว่าบริเวณดังกล่าวจะมีการเปลี่ยนแปลงของความดันและความเร็วมากกว่าบริเวณอื่น ๆ โดยเมชที่ได้จากการสร้างภายในโปรแกรมมีจำนวนโหนด จำนวนเมช และจำนวนหน้าเท่ากับ 4422 โหนด 12583 เมช และ 8468 หน้า ตามลำดับ ลักษณะของเมชแสดงในรูปที่ ข.8



รูปที่ ข.8 การแบ่งเมชสำหรับปัญหาการไหลในท่อผ่านสิ่งกีดขวาง (ภาพขยายและภาพเต็ม)

### ข.4.3 เจื่อนไหค่าของ และค่าเริ่มต้น

การกำหนดเจื่อนไหค่าของเป็นไปตามรูปที่ ข.9 กล่าวคือความดันรวมที่ทางเข้ามีค่าเป็น  $0.0244 \text{ Pa}$  (ทั้งนี้จากการกำหนดเจื่อนไหค่าของของปัญหาการไหลในท่อและการไหลผ่านแผ่นคู่ขนาดใหญ่ได้แรงดันน้ำ การกำหนดเจื่อนไหค่าของที่ตำแหน่งทางเข้า ไม่ว่าจะกำหนดให้เป็นความเร็วหรือค่าความดันรวมก็จะให้ได้ผลลัพธ์ที่คล้ายคลึงกันมาก) ค่าความเร็วในแนวแกนอื่น ๆ กำหนดให้มีค่าเป็น  $0$  ส่วนความดันให้เป็นส่วนหนึ่งของคำตอบ ซึ่งคำนวนได้จากการ Extrapolate ของพื้นผิวสมมาตรซึ่งขนาดกับระยะทางกำหนดให้มีเจื่อนไหค่าของแบบ Symmetry Plane และค่าความเร็วและความดันเริ่มต้นในการคำนวนกำหนดให้มีค่าเป็นศูนย์



รูปที่ ข.9 การกำหนดเจื่อนไหค่าของของปัญหาการไหลในท่อผ่านลิ่งกีดขวาง

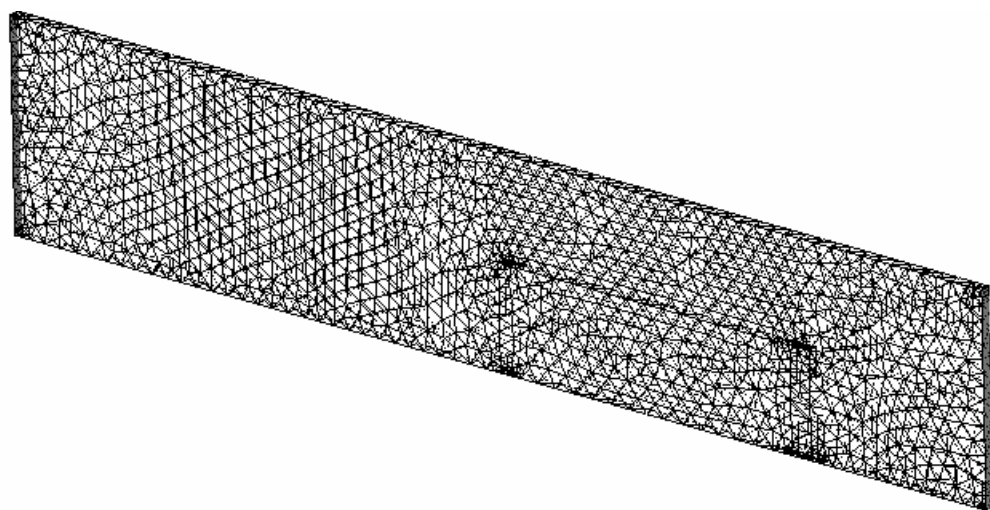
## ข.5 การไหลผ่านแผ่นขนาดเนื้องจากแหล่งกำเนิดโน้ม-men ตามในแนวแกน

### ข.5.1 โดเมนและปัญหา

รายละเอียดของปัญหาการไหลในท่อผ่านลิ่งกีดขวางได้แสดงไว้ในหัวข้อ 3.1.5 และในรูปที่ 3.17

### ข.5.2 เมช

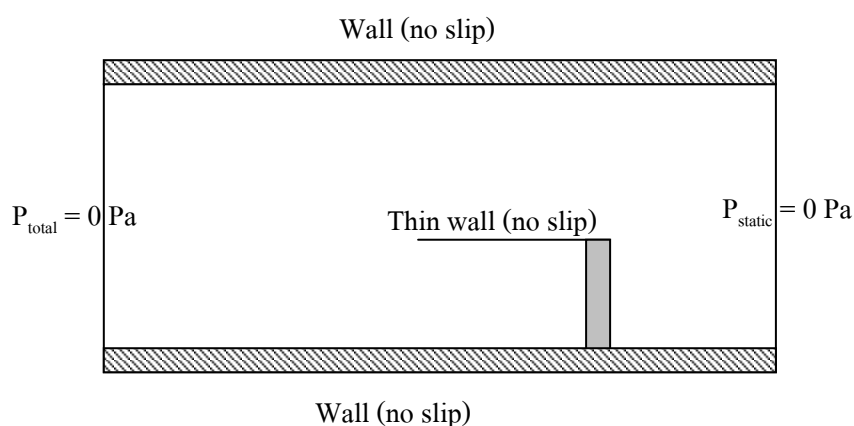
สำหรับการไหลนี้ได้กำหนดให้เมษภายในโดเมนเป็นเมชแบบไร้โครงสร้างโดยเมชที่ได้จากการสร้างภายในโปรแกรมมีจำนวนโหนด จำนวนเมช และจำนวนหน้าท่ากับ 2485 โหนด 6998 เมช และ 4968 หน้า ตามลำดับ ลักษณะของเมชแสดงในรูปที่ ข.10



รูปที่ ข.10 เมชไร์โกรงสร้างที่กำหนดภายในโดเมน

### ข.5.3 เสื่อนไขค่าขอบ และค่าเริ่มต้น

การกำหนดเสื่อนไขค่าขอบเป็นไปตามรูปที่ ข.11 ที่ปากทางเข้าของท่อกำหนดให้มีความดันรวมเท่ากับความดันภายนอก เมื่อของไหลภายนอกท่อถูกผลักดันให้เกิดการไหลโดยแหล่งกำเนิดโน้มnenตัมค่าความดันสถิตจะลดลงส่วนความดันพลวตรจะมีค่ามากขึ้น โดยทั้งสองส่วนรวมกันจะมีค่าเท่ากับความดันบรรยายกาศนั่นเอง ที่ปากท่อทางออกถูกกำหนดความดันสถิตย์ให้มีค่าเท่ากับความดันบรรยายกาศ และผนังห่อผิวนางที่ถูกติดตั้งอยู่ภายนอกสร้างให้เป็นพื้นผิวนางซึ่งไม่คิดความหนาในการคำนวณ ผิวนี้ถูกกำหนดให้มีเสื่อนไขค่าขอบประเภท Wall แบบไม่มีการติด และส่วนของพื้นผิวสามารถซึ่งนานกับกระดาษกำหนดให้มีเสื่อนไขค่าขอบแบบ Symmetry Plane ซึ่งค่าความเร็วและความดันเริ่มต้นในการคำนวณภายนอกในโดเมนกำหนดให้มีค่าเป็นศูนย์



รูปที่ ข.11 ลักษณะการกำหนดเสื่อนไขค่าขอบภายนอกในโดเมน

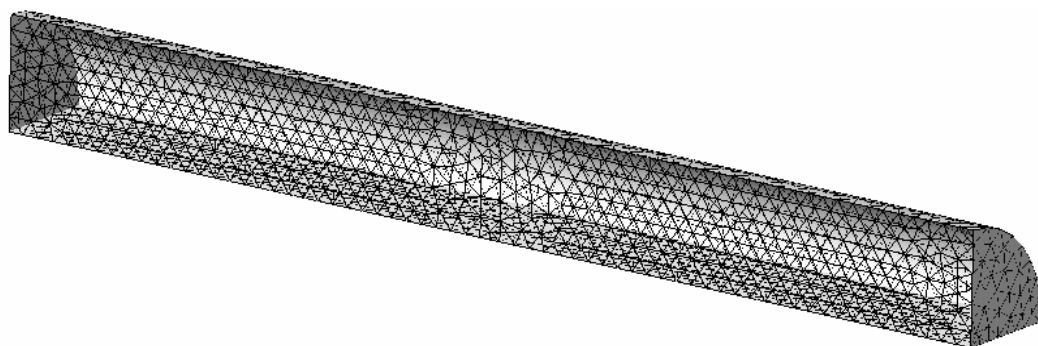
## ข.6 การไฟลайнท่อเนื่องจากการให้แหล่งกำเนิดโมเมนตัมในแนวแกนและในแนวรัศมี

### ข.6.1 โดเมนและปัญหา

รายละเอียดของปัญหาการไฟลайнท่อผ่านสิ่งกีดขวางได้แสดงไว้ในหัวข้อ 3.1.6 และในรูปที่ 3.22

### ข.6.2 เมช

สำหรับการไฟลนี้ได้กำหนดให้เมชภายในโดเมนเป็นเมชแบบไร์โกรงสร้าง โดยสร้างเมชเพียงแค่  $\frac{1}{4}$  ของโดเมนทั้งหมดเท่านั้นเนื่องจากโดเมนมีความสมมาตรในแนวแกน ในความเป็นจริง ควรจะสร้างเมชเป็นรูปพายโดยใช้มุมเล็ก ๆ เท่านั้น อย่างไรก็ตามเมชที่สร้างสำหรับโดเมนนี้ได้ใช้มุมถึง 90 องศา เพื่อความสะดวกในการแสดงผลในโปรแกรม ซึ่งอยู่บนพื้นฐานที่ใช้เวลาในการคำนวณไม่นานมากนัก (ต่ำกว่า 1 ชั่วโมง) เมชที่ได้จากการสร้างภายในโปรแกรมมีลักษณะดังรูปที่ ข.12



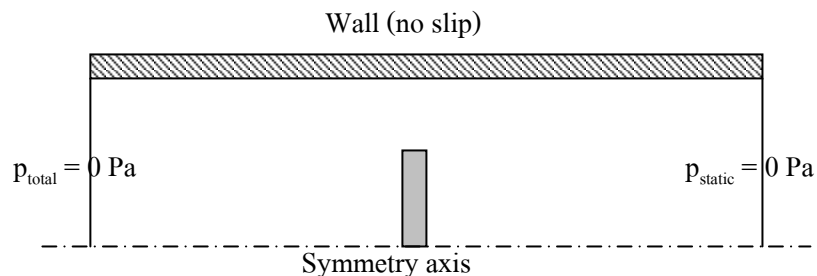
รูปที่ ข.12 เมชที่ใช้ภายในโดเมน

จำนวนโหนด จำนวนเมชและจำนวนหน้าที่ได้จากการแบ่งเมชมีจำนวนทั้งสิ้น 4249 โหนด 19547 เมช และ 3520 หน้า ตามลำดับ

### ข.6.3 เสื่อนไชค่าขอบ และค่าเริ่มต้น

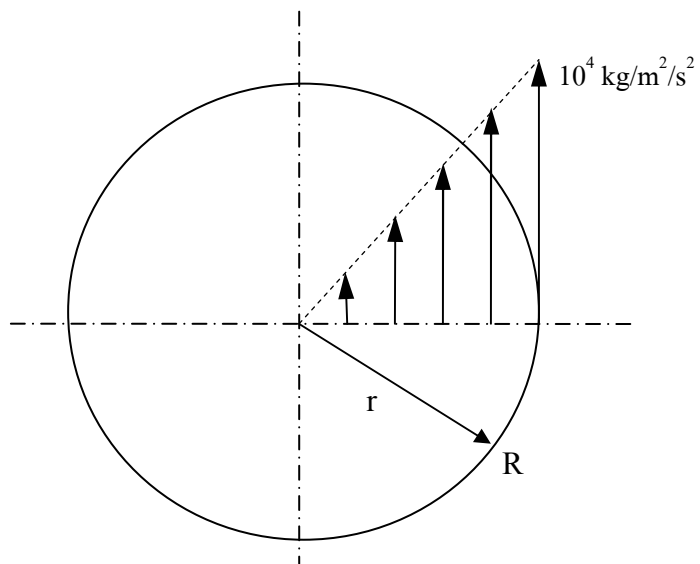
การกำหนดเสื่อนไชค่าขอบเป็นไปตามรูปที่ ข.13 ซึ่งคล้ายคลึงกับการกำหนดเสื่อนไชค่าขอบในปัญหาการไฟลผ่านแผ่นขยายซึ่งติดตั้งแหล่งกำเนิดโมเมนตัมภายใน โดยกำหนดความดันที่ทางเข้ามีค่าเท่ากับความดันบรรยากาศ และความดันสถิตที่ทางออกมีค่าเท่ากับความดันบรรยากาศ ที่ผนังท่อกำหนดเสื่อนไชค่าขอบเป็นแบบ Wall แบบไม่มีการไอล และส่วนของโดเมนที่เป็นผิวสมมาตรกำหนดให้มีลักษณะเสื่อนไชค่าขอบเป็นประเภท Periodic pairs สำหรับในส่วน

ของค่าเริ่มต้นในการคำนวณ ได้กำหนดให้ความเร็วในทุกทิศทางและความดันเริ่มต้นมีค่าเป็นศูนย์ตลอดโดเมน



รูปที่ ข.13 ลักษณะการกำหนดเงื่อนไขค่าข้อมูลในโดเมน

สำหรับในการฉีดสอดแทรกกำเนิดโมเมนตัมในแนวแกน ได้กำหนดให้แทвлงกำเนิดโมเมนตัมในแนวรัศมีให้มีค่ามากที่สุดเท่ากับโมเมนตัมในแนวแกน และเปลี่ยนแปลงไปตามรัศมี โดยที่ระยะ  $r = R$  ของแทвлงกำเนิดโมเมนตัมมีค่าเท่ากับแทвлงกำเนิดโมเมนตัมในแนวแกน ในที่นี่มีค่าเท่ากับ  $10^4 \text{ kg/m}^2/\text{s}^2$  และที่ระยะ  $r = 0$  จะได้ค่าแทвлงกำเนิดโมเมนตัมเป็นศูนย์ ด้วย ลักษณะการกำหนดค่าให้แทвлงกำเนิดโมเมนตัมในแนวรัศมีเป็นดังรูปที่ ข.14



รูปที่ ข.14 ลักษณะการให้โมเมนตัมในแนวแกน

ภาคผนวก ค  
ตารางสรุปงานวิจัยที่เกี่ยวข้อง

### ตาราง ก.1 สรุปงานวิจัยที่เกี่ยวข้อง

วิธีการดำเนินงานวิจัย	ปีที่ศึกษา	กลุ่มผู้วิจัย	รายละเอียด	ผลการศึกษา
ทดลอง	1968 1987 1989 2000	Buurman,Resoort and Plaschkes// Barresi and Baldi // Shamlou,Ayazi andKoutsakos// Sha and Palosaari	ศึกษาการทดสอบ และผลกระทบของการไหลดต่อการกระจายตัวของผลึกภายในลังผลึกแบบต่อเนื่อง	การไหลดภายในลังผลึกมีการทดสอบไม่สมบูรณ์ดังสมมติฐาน MSMPR และการกระจายตัวของผลึกภายในลังเป็นฟังก์ชันของความสูงของระดับของไหลดความเป็นเอกลักษณ์ของการกระจายตัวของอนุภาคที่น้อยกว่าความเร็วของใบพัดที่ใช้ในการปั่นของไหลดความหนาแน่นภายในลังต่ำกว่าไม่เท่ากับความหนาแน่นในสารละลายที่คุณออก
	1991	Joworski et al,	ศึกษาความเร็วของของไหลดในลังผลึกโดยใช้เทคนิค LDV ในการตรวจวัด	พบว่าบริเวณก้นลังมีความเร็วต่ำกว่าบริเวณอื่นและเป็นสาเหตุให้เกิดการตกตะกอนในบริเวณดังกล่าว
CFD	1998 2001	Bakker, Fasano and Mayers // Montente, Lee, Brucato and Yannesis	ศึกษาผลกระทบจากประเภทและขนาดของใบพัดรวมถึงจำนวนใบพัด ที่มีต่อการไหลด และการกระจายตัวของอนุภาค	การใช้ใบพัดต่างประเภทกันและขนาดต่างกันในการทดสอบที่แตกต่างกัน และการกระจายตัวของอนุภาคจะดีขึ้นเมื่อเพิ่มจำนวนใบพัดในลัง
	1998	Maggioris et al,	ดำเนินการไหลดภายในลังปฏิกรณ์สำหรับผลิตไฟลีเมอร์ และใช้ในการดำเนินการแยกหักและหลอมรวมกันของเม็ดไฟลีเมอร์	ฟังก์ชันการแยกหักเสียหายและการหลอมรวมกัน สามพันธ์กันขนาดของเม็ดไฟลีเมอร์และอัตราการสูญเสียพลังงาน (Energy dissipation rate) บริเวณที่มีความเร็วต่ำจะเกิดการหลอมรวมกันของเม็ดไฟลีเมอร์
	1999	Lamberto et al,	ศึกษาการแบ่งรวมของของการไหลด	การแบ่งรวมของของการไหลดสามพันธ์กับค่าเลขเรย์โนลเด็ตและค่าแทนงการวางแผนใบพัด
	2001	Sha et al,	ใช้ CFD ในการศึกษาหาฟังก์ชันการแบ่งแยกของขนาดผลึก	ฟังก์ชันการแบ่งแยกสามพันธ์กับความสูง ความเร็วของใบพัด ตลอดจนรูปร่างของลังต่ำกว่า

ตาราง ก.1 (ต่อ)

วิธีการดำเนินงานวิจัย	ปีที่ศึกษา	กลุ่มผู้วิจัย	รายละเอียด	ผลการศึกษา
แบบจำลองทางคณิตศาสตร์	2002	Brucato et al,	ศึกษาผลกระทบของความเร็วรอบของใบพัดที่มีต่อความหนาของชั้นของไอลที่ไม่มีอนุภาคประปนอยู่	เมื่อความเร็วรอบของใบพัดเพิ่มขึ้นจะทำให้ความหนาของชั้นดังกล่าวลดลง
	1999	Sahu et al,	เสนอแนวคิดในการทำงานอัตตราการสูญเสียพลังงานแบบปั่นป่าน (Turbulent energy dissipation rate) ภายในถังกว้าง ว่าไม่ควรใช้ค่าเดียวกันตลอดโดยmen ควรจะปรับเปลี่ยนไปตามความสูงของถัง	ไม่เห็นผลที่ได้แตกต่างอย่างชัดเจนเมื่อเปรียบเทียบกับการทำงานของถังกล่าวโดยใช้วิธีอื่น
	2002	Liiri, Koiranen and Aittamaa	เสนอแบบจำลองทางคณิตศาสตร์เพื่อใช้ในการวิเคราะห์หนานาดที่ได้ที่สุดของผลึกที่แตกหักเสียหาย โดยการนำความเร็วเฉพาะจุดมาใช้แทนความเร็วนลีกภายในถัง	แบบจำลองทางคณิตศาสตร์ ให้ผลการทำงานที่ใกล้เคียงกับการทดลองมากขึ้นกว่าแบบจำลองเดิมที่นิยมใช้อยู่

## ภาคผนวก ๑

รายละเอียดของ code บางส่วนที่เกี่ยวข้องกับการกำหนดค่าเข้าสู่โปรแกรม

## ๔.๑ การไฟล์ในชั้นผิวบางในย่านความเร็วต่ำ

```

This run of the CFX-5.5.1 Solver started at 14:32:34 on 31 Jul 2003 by user
jackie1 on JACKIE (intel_athlon_winnt5.1) using the command:
C:\CFX\CFX-5.5.1\bin\5.5.1\perllib\cfx5solve.pl -stdout-comms -batch -ccl
Using the CFX-5 Solver optimised for the winnt architecture from
C:\CFX\CFX-5.5.1\bin\5.5.1\winnt\solver-pvm.exe.
Setting up CFX-5 Solver run ...
+-----+
|           CFX Command Language for Run           |
|                                                 |
+-----+
LIBRARY :
MATERIAL : myair
    Option = Pure Substance
PROPERTIES :
    Option = General Fluid
    Density = 1.018 [kg m^-3]
    Dynamic Viscosity = 2.06E-5 [kg m^-1 s^-1]
END
END
EXECUTION CONTROL :
PARTITIONER STEP CONTROL :
    Runtime Priority = Standard
PARTITIONING TYPE :
    MeTiS Type = k-way
    Option = MeTiS
END
END
RUN DEFINITION :
    Definition File = BLrefine.def
    Run Mode = Full
END
SOLVER STEP CONTROL :
    Runtime Priority = Standard

EXECUTABLE SELECTION :
    Double Precision = Off
    Use 64 Bit = Off
END
PARALLEL ENVIRONMENT :
    Option = Serial
    Parallel Mode = PVM
END
END
FLOW :
SOLUTION UNITS :
    Mass Units = [kg]
    Length Units = [m]
    Time Units = [s]
    Temperature Units = [K]
    Angle Units = [rad]
    Solid Angle Units = [sr]
END
SIMULATION TYPE :
    Option = Steady State
END
DOMAIN : BLrefine
    Location = BLrefine
    Coord Frame = Coord 0
    Fluids List = myair
DOMAIN MODELS :
    DOMAIN MOTION :
        Option = Stationary

```

```

END
BUOYANCY MODEL :
  Option = Non Buoyant
END
REFERENCE PRESSURE :
  Reference Pressure = 1.0133E5 [Pa]
END
END
FLUID MODELS :
TURBULENCE MODEL :
  Option = Laminar
END
HEAT TRANSFER MODEL :
  Option = None
END
THERMAL RADIATION MODEL :
  Option = None
END
END
BOUNDARY : inflow
Boundary Type = INLET
Location = inflow
Coord Frame = Coord 0
BOUNDARY CONDITIONS :
FLOW REGIME :
  Option = Subsonic
END
MASS AND MOMENTUM :
  Option = Normal Speed
  Normal Speed = 7.E1 [m s^-1]
END
END
END
BOUNDARY : outflow
Boundary Type = OUTLET
Location = outflow
Coord Frame = Coord 0
BOUNDARY CONDITIONS :
FLOW REGIME :
  Option = Subsonic
END
MASS AND MOMENTUM :
  Option = Average Static Pressure
  Relative Pressure = 0.00 [Pa]
END
END
END
BOUNDARY : freestream
Boundary Type = OUTLET
Location = freestream
Coord Frame = Coord 0
BOUNDARY CONDITIONS :
FLOW REGIME :
  Option = Subsonic
END
MASS AND MOMENTUM :
  Option = Static Pressure
  Relative Pressure = 0.00 [Pa]
END
END
END
BOUNDARY : plate
Boundary Type = WALL
Location = plate
Coord Frame = Coord 0
BOUNDARY CONDITIONS :
WALL INFLUENCE ON FLOW :
  Option = No Slip

```

```

        END
        END
    END
    BOUNDARY : symback
        Boundary Type = SYMMETRY
        Location = symback
        Coord Frame = Coord 0
    END
    BOUNDARY : symfront
        Boundary Type = SYMMETRY
        Location = symfront
        Coord Frame = Coord 0
    END
INITIALISATION :
    Option = Automatic
END
END
SOLVER CONTROL :
CONVERGENCE CONTROL :
    Maximum Number of Iterations = 1000
    Timescale Control = Auto Timescale
END
CONVERGENCE CRITERIA :
    Residual Type = RMS
    Residual Target = 1.E-10

END
ADVECTION SCHEME :
    Option = Upwind
END
DYNAMIC MODEL CONTROL :
    Global Dynamic Model Control = Yes
END
END
END
COMMAND FILE :
Version = 5.5.1
END
+-----+
|           Solver                         |
|                                           |
+-----+
+-----+
|           CFX-5 Solver 5.5.1               |
|                                           |
+-----+
|           Version 2002.05.29-23.00          |   Wed May 29 23:00:33 2002 |
|                                           |
|                                           |
|                                           |
+-----+
|           Copyright 1996-2002 AEA Technology plc. |
+-----+
+-----+
|           Job Information                  |
+-----+
Run mode:    serial run
Host computer: JACKIE
Job started: Thu Jul 31 14:32:48 2003
+-----+
|           Memory Usage Information         |
+-----+
Data Type      Kwords  Words/Node   Kbytes  Bytes/Node
Real           5436.1   266.45     21234.7   1065.79
Integer        1579.4   77.42      6169.6    309.66

```

```

Character      812.0    39.80    792.9    39.80
Logical        10.0     0.49     39.1     1.96
Double         16.0     0.78    125.0     6.27
+-----+
|       Total Number of Nodes, Elements, and Faces      |
+-----+
Domain Name : BLrefine
  Total Number of Nodes          = 20402
  Total Number of Elements       = 10000
  Total Number of Hexahedrons    = 10000
  Total Number of Faces          = 20400
+-----+
|       Average Scale Information   |
+-----+
Domain Name : BLrefine
  Global Length                  = 5.7236E-03
  Density                        = 1.0180E+00
  Dynamic Viscosity              = 2.0600E-05
  Velocity                        = 0.0000E+00
+-----+
|       The Equations Solved in This Calculation   |
+-----+
Subsystem Name : Momentum and Mass
  U-Mom
  V-Mom
  W-Mom
  P-Mass
CFD Solver started: Thu Jul 31 14:32:57 2003
+-----+
|       Convergence History      |
+-----+
===== Timescale Information =====
!
!   Equation   |   Type   |   Timescale   !
+-----+-----+-----+
! U-Mom      | Auto Timescale | 2.45296E-05 !
! V-Mom      | Auto Timescale | 2.45296E-05 !
! W-Mom      | Auto Timescale | 2.45296E-05 !
! P-Mass     | Auto Timescale | 2.45296E-05 !
+-----+-----+-----+
+-----+
|       Variable Range Information   |
+-----+
Domain Name : BLrefine
+-----+
|   Variable Name      |   min   |   max   |
+-----+
| Velocity u           | -4.35E-03 | 7.84E+01 |
| Velocity v           | -4.87E-01 | 1.30E+01 |
| Velocity w           | 0.00E+00 | 0.00E+00 |
| Pressure              | -5.69E+00 | 2.31E+03 |
| Density               | 1.02E+00 | 1.02E+00 |
| Dynamic Viscosity     | 2.06E-05 | 2.06E-05 |
+-----+
+-----+
|       CPU Requirements of Numerical Solution   |
+-----+
Subsystem Name      Discretization   Linear Solution
                   (secs. %total) (secs. %total)
-----
Momentum and Mass    3.21E+03 61.7 %    1.99E+03 38.3 %
-----
Summary             3.21E+03 61.7 %    1.99E+03 38.3 %
+-----+
|       Job Information      |
+-----+

```

```

Host computer: JACKIE
Job finished: Thu Jul 31 16:13:09 2003
Total CPU time: 5.494E+03 seconds
  or: (      0:     1:    31:  34.471 )
        ( Days: Hours: Minutes: Seconds )

```

End of solution stage.  
This run of the CFX-5 Solver has finished.

## ๑.๒ การใช้หล่อผ่านแผ่นขนาดแบบความเร็วต่ำภายในตัวความดัน

This run of the CFX-5.5.1 Solver started at 23:52:37 on 26 Jul 2003 by user jackie1 on JACKIE (intel\_athlon\_winnnt5.1) using the command:  
C:\CFX\CFX-5.5.1\bin\5.5.1\perllib\cfxsolve.pl -stdout-comms -batch -ccl  
Using the CFX-5 Solver optimised for the winnt architecture from C:\CFX\CFX-5.5.1\bin\5.5.1\winnt\solver-pvm.exe.  
Setting up CFX-5 Solver run ...

```

+-----+
|           CFX Command Language for Run           |
+-----+
LIBRARY :
MATERIAL : myair1atm20c
Option = Pure Substance
PROPERTIES :
  Option = General Fluid
  Density = 1.2 [kg m^-3]
  Dynamic Viscosity = 1.8E-5 [kg m^-1 s^-1]
END
END
EXECUTION CONTROL :
PARTITIONER STEP CONTROL :
  Runtime Priority = Standard
PARTITIONING TYPE :
  MeTiS Type = k-way
  Option = MeTiS
END
RUN DEFINITION :
  Definition File = Puniform.def
  Run Mode = Full
END
SOLVER STEP CONTROL :
  Runtime Priority = Standard
EXECUTABLE SELECTION :
  Double Precision = Off
  Use 64 Bit = Off
END
PARALLEL ENVIRONMENT :
  Option = Serial
  Parallel Mode = PVM
END
FLOW :
SOLUTION UNITS :
  Mass Units = [kg]
  Length Units = [m]
  Time Units = [s]
  Temperature Units = [K]
  Angle Units = [rad]
  Solid Angle Units = [sr]
END
SIMULATION TYPE :
```

```

Option = Steady State
END
DOMAIN : Puniform
  Location = Puniform
  Coord Frame = Coord 0
  Fluids List = myair1atm20c
  DOMAIN MODELS :
    DOMAIN MOTION :
      Option = Stationary
    END
    BUOYANCY MODEL :
      Option = Non Buoyant
    END
    REFERENCE PRESSURE :
      Reference Pressure = 1.0133E5 [Pa]
    END
  FLUID MODELS :
    TURBULENCE MODEL :
      Option = Laminar
    END
    HEAT TRANSFER MODEL :
      Option = None
    END
    THERMAL RADIATION MODEL :
      Option = None
    END
  END
  BOUNDARY : in
    Boundary Type = INLET
    Location = in
    Coord Frame = Coord 0
    BOUNDARY CONDITIONS :
      FLOW REGIME :
        Option = Subsonic
      END
      MASS AND MOMENTUM :
        Option = Total Pressure
        Relative Pressure = 1.755E-1 [Pa]
      END
      FLOW DIRECTION :
        Option = Normal to Boundary Condition
      END
    END
  END
  BOUNDARY : out
    Boundary Type = OUTLET
    Location = out
    Coord Frame = Coord 0
    BOUNDARY CONDITIONS :
      FLOW REGIME :
        Option = Subsonic
      END
      MASS AND MOMENTUM :
        Option = Average Static Pressure
        Relative Pressure = 0.00 [Pa]
      END
    END
  END
  BOUNDARY : topwall
    Boundary Type = WALL
    Location = topwall
    Coord Frame = Coord 0
    BOUNDARY CONDITIONS :
      WALL INFLUENCE ON FLOW :
        Option = No Slip
      END
    END
  END

```

```

END
BOUNDARY : center
Boundary Type = SYMMETRY
Location = center
Coord Frame = Coord 0
END
BOUNDARY : symback
Boundary Type = SYMMETRY
Location = symback
Coord Frame = Coord 0
END
BOUNDARY : symfront
Boundary Type = SYMMETRY
Location = symfront
Coord Frame = Coord 0
END
INITIALISATION :
Option = Automatic
END
END
SOLVER CONTROL :
CONVERGENCE CONTROL :
Maximum Number of Iterations = 1000
Timescale Control = Auto Timescale
END
CONVERGENCE CRITERIA :
Residual Type = RMS
Residual Target = 1.E-10
END
ADVECTION SCHEME :
Option = Upwind
END
DYNAMIC MODEL CONTROL :
Global Dynamic Model Control = Yes

END
END
END
COMMAND FILE :
Version = 5.5.1
END
+-----+
|           Solver           |
+-----+
+-----+
|           CFX-5 Solver 5.5.1 |
+-----+
| Version 2002.05.29-23.00   | Wed May 29 23:00:33 2002 |
+-----+
| Copyright 1996-2002 AEA Technology plc. |
+-----+
+-----+
|           Job Information    |
+-----+
Run mode:    serial run
Host computer: JACKIE
Job started: Sat Jul 26 23:52:50 2003
+-----+
|           Memory Usage Information |
+-----+
Data Type      Kwords  Words/Node   Kbytes  Bytes/Node

```

```

Real          2569.8   1199.71   10038.2   4798.83
Integer        265.5    123.93    1036.9    495.71
Character      809.3    377.82    790.3    377.82
Logical         10.0     4.67     39.1     18.67
Double          16.0     7.47     125.0    59.76
+-----+
|       Total Number of Nodes, Elements, and Faces      |
+-----+
Domain Name : Puniform
  Total Number of Nodes           =      2142
  Total Number of Elements        =      1000
  Total Number of Hexahedrons     =      1000
  Total Number of Faces          =      2140
+-----+
|       Average Scale Information   |
+-----+
Domain Name : Puniform
  Global Length                  = 1.7100E-02
  Density                        = 1.2000E+00
  Dynamic Viscosity              = 1.8000E-05
  Velocity                       = 0.0000E+00
+-----+
|       The Equations Solved in This Calculation   |
+-----+
Subsystem Name : Momentum and Mass
  U-Mom
  V-Mom
  W-Mom
  P-Mass
CFD Solver started: Sat Jul 26 23:52:52 2003
+-----+
|       Convergence History      |
+-----+
===== Timescale Information ! =====
!   Equation   |   Type    |   Timescale   !
+-----+-----+-----+
! U-Mom      | Auto Timescale | 1.34142E-02 !
! V-Mom      | Auto Timescale | 1.34142E-02 !
! W-Mom      | Auto Timescale | 1.34142E-02 !
! P-Mass     | Auto Timescale | 1.34142E-02 !
+-----+
CFD Solver finished: Sun Jul 27 00:08:04 2003
Execution terminating: maximum number of time-step iterations,
or maximum time has been reached.
===== Boundary Flow and Total Source Term Summary =====
+-----+
|       U-Mom      |
+-----+
Boundary : in             1.8751E-06
Boundary : out            -2.9573E-07
Boundary : topwall        -1.5794E-06
Global Balance :           -1.7167E-11
Global Imbalance, in %:   0.0000 %

+-----+
|       V-Mom      |
+-----+
Boundary : center        7.7363E-05
Boundary : in             5.6740E-09
Boundary : out            -7.7175E-09
Boundary : topwall        -7.7361E-05
Global Balance :           -7.2760E-12
Global Imbalance, in %:   0.0000 %

+-----+
|       W-Mom      |
+-----+

```

```

+-----+
Boundary : in           8.7247E-16
Boundary : out          1.4231E-15
Boundary : symback      1.9340E-04
Boundary : symfront     -1.9340E-04
Boundary : topwall       -1.9843E-14
+-----+
Global Balance :          -1.9843E-14

Global Imbalance, in %:   0.0000 %
+-----+
|          P-Mass          |
+-----+
Boundary : in           1.7203E-06
Boundary : out          -1.7203E-06
+-----+
Global Balance :          -4.7748E-11

Global Imbalance, in %:   -0.0028 %
===== Wall Force and Moment Summary =====
=====

Note: Pressure integrals exclude the reference pressure. To include
it, set the expert parameter 'include pref in forces = t'.

+-----+
|          Pressure Force On Walls          |
+-----+
X-Comp.   Y-Comp.   Z-Comp.
topwall    0.0000E+00  7.7368E-05  0.0000E+00
+-----+
|          Viscous Force On Walls          |
+-----+
X-Comp.   Y-Comp.   Z-Comp.
topwall   1.5794E-06 -6.2038E-09  1.9843E-14
+-----+
|          Pressure Moment On Walls        |
+-----+
X-Comp.   Y-Comp.   Z-Comp.
topwall   -7.7368E-08 0.0000E+00  1.2863E-05
+-----+
|          Viscous Moment On Walls        |
+-----+
X-Comp.   Y-Comp.   Z-Comp.
topwall   6.2038E-12  1.5794E-09 -7.8909E-09
+-----+
|          Locations of Maximum Residuals |
+-----+
|   Equation   |   Node # |   X   |   Y   |   Z   |
+-----+
| U-Mom      | 1634 | 1.000E-02 | 2.750E-03 | 2.000E-03 |
| V-Mom      | 2050 | 9.000E-02 | 4.750E-03 | 2.000E-03 |
| W-Mom      | 1    | 0.000E+00 | 0.000E+00 | 0.000E+00 |
+-----+
| P-Mass     | 2095 | 3.000E-02 | 5.000E-03 | 2.000E-03 |
+-----+
|          Peak Values of Residuals        |
+-----+
|   Equation   |   Loop # | Peak Residual | Final Residual |
+-----+
| U-Mom      | 1    | 9.66905E-01 | 3.38722E-07 |
| V-Mom      | 17   | 2.55053E-05 | 8.72484E-08 |
| W-Mom      | 1    | 2.19165E-06 | 6.12190E-08 |
| P-Mass     | 1    | 4.12962E-04 | 2.52018E-08 |
+-----+

```

```

+-----+
|          False Transient Information      |
+-----+
|   Equation    |   Type    |   Elapsed Pseudo-Time  |
+-----+
| U-Mom       | Auto     | 1.38681E+01          |
| V-Mom       | Auto     | 1.38681E+01          |
| W-Mom       | Auto     | 1.38681E+01          |
| P-Mass      | Auto     | 1.38681E+01          |
+-----+
+-----+
|          Average Scale Information        |
+-----+
Domain Name : Puniform
  Global Length           = 1.7100E-02
  Density                 = 1.2000E+00
  Dynamic Viscosity       = 1.8000E-05
  Velocity                = 1.5644E-01
  Advection Time          = 1.0931E-01
  Reynolds Number          = 1.7834E+02
+-----+
|          Variable Range Information       |
+-----+
Domain Name : Puniform
+-----+
|   Variable Name          |   min    |   max   |
+-----+
| Velocity u               | 5.35E-04 | 2.15E-01 |
| Velocity v               | -1.16E-02 | 1.83E-04 |
| Velocity w               | -2.94E-15 | 2.94E-15 |
| Pressure                 | 5.76E-10 | 1.65E-01 |
| Density                  | 1.20E+00 | 1.20E+00 |
| Dynamic Viscosity        | 1.80E-05 | 1.80E-05 |
+-----+
+-----+
|          CPU Requirements of Numerical Solution |
+-----+
Subsystem Name      Discretization   Linear Solution
                   (secs. %total) (secs. %total)
----- ----- -----
Momentum and Mass  4.40E+02 78.7 %  1.19E+02 21.3 %
----- -----
Summary            4.40E+02 78.7 %  1.19E+02 21.3 %
+-----+
|          Job Information          |
+-----+
Host computer: JACKIE
Job finished: Sun Jul 27 00:08:07 2003
Total CPU time: 6.349E+02 seconds
  or: ( 0: 0: 10: 34.913 )
  ( Days: Hours: Minutes: Seconds )

```

End of solution stage.  
This run of the CFX-5 Solver has finished.

### 4.3 การใช้ไลน์ท่อแบบความเร็วต่ำภายในตัวจำลอง

This run of the CFX-5.5 Solver started at 1:34:7 on 7 Aug 2003 by user Administrator on CFX\_LAB (intel\_p2\_winnt5.0) using the command:  
 C:\CFX\CFX-5.5\bin\5.5\cfx5solve -stdout-comms -batch -ccl -  
 Using the CFX-5 Solver optimised for the winnt architecture from  
 C:\CFX\CFX-5.5\bin\5.5\winnt\solver-pvm.exe.  
 Setting up CFX-5 Solver run ...

```

+-----+
|           |
+-----+

```

```

+-----+
|           Solver          |
+-----+
+-----+
|           CFX-5 Solver 5.5   |
+-----+
| Version 2001.10.11-23.00    | Thu Oct 11 23:00:10 2001 |
+-----+
+-----+
| Copyright 1996-2001 AEA Technology plc. All rights reserved.   |
+-----+
+-----+
|           Job Information   |
+-----+

```

Run mode: serial run

Host computer: CFX\_LAB  
 Job started: Thu Aug 7 01:34:34 2003

```

+-----+
|           Memory Usage Information   |
+-----+
+-----+
| Data Type      Kwords  Words/Node   Kbytes  Bytes/Node |
| Real           2489.1   1190.37     9722.9   4761.47 |
| Integer         267.9    128.11     1046.4    512.44 |
| Character       682.6    326.43     666.6    326.43 |
| Logical          10.0     4.78      39.1     19.13 |
| Double           8.0      3.83      62.5     30.61 |
+-----+
|           Total Number of Nodes, Elements, and Faces   |
+-----+

```

Domain Name : Puniform tube

Total Number of Nodes	=	2091
Total Number of Elements	=	1000
Total Number of Prisms	=	50
Total Number of Hexahedrons		= 950
Total Number of Faces	=	2090

```
+-----+
|           Command File          |
+-----+
```

LIBRARY :  
 MATERIAL : myair  
 Option = Pure Substance  
 PROPERTIES :  
 Option = General Fluid  
 Density = 1.2 [kg m^-3]

Dynamic Viscosity = 1.8E-5 [kg m^-1 s^-1]

END

END

END

EXECUTION CONTROL :

PARTITIONER STEP CONTROL :

Runtime Priority = Standard

PARTITIONING TYPE :

MeTIS Type = k-way

Option = MeTIS

```

END
END
RUN DEFINITION :
  Definition File = d:/cfxwork/5.0/Poiseuilli_tube/Puniform_tube.def
  Run Mode = Full
END
SOLVER STEP CONTROL :
  Runtime Priority = Standard
EXECUTABLE SELECTION :
  Double Precision = Off
END
PARALLEL ENVIRONMENT :
  Option = Serial
  Parallel Mode = PVM
END
END
FLOW :
  SOLUTION UNITS :
    Mass Units = [kg]
    Length Units = [m]
    Time Units = [s]
    Temperature Units = [K]
    Angle Units = [rad]
    Solid Angle Units = [sr]

END
SIMULATION TYPE :
  Option = Steady State
END
DOMAIN : Puniform tube
  Location = Puniform tube
  Coord Frame = Coord 0
  Fluids List = myair
DOMAIN MODELS :
  DOMAIN MOTION :
    Option = Stationary
  END
  BUOYANCY MODEL :
    Option = Non Buoyant
  END
  REFERENCE PRESSURE :
    Reference Pressure = 1.0133E5 [Pa]
  END
FLUID MODELS :
  TURBULENCE MODEL :
    Option = Laminar
  END
  HEAT TRANSFER MODEL :
    Option = None
  END
  THERMAL RADIATION MODEL :
    Option = None
  END
  END
  BOUNDARY : inflow
    Boundary Type = INLET
    Location = inflow
    Coord Frame = Coord 0
  BOUNDARY CONDITIONS :

    FLOW REGIME :
      Option = Subsonic
    END
    MASS AND MOMENTUM :
      Option = Normal Speed
      Normal Speed = 5.625E-2 [m s^-1]

```

```

        END
    END
END
BOUNDARY : outflow
    Boundary Type = OUTLET
    Location = outflow
    Coord Frame = Coord 0
BOUNDARY CONDITIONS :
    FLOW REGIME :
        Option = Subsonic
    END
    MASS AND MOMENTUM :
        Option = Average Static Pressure
        Relative Pressure = 0.00 [Pa]
    END
    END
END
BOUNDARY : tubewall
    Boundary Type = WALL
    Location = tubewall
    Coord Frame = Coord 0
BOUNDARY CONDITIONS :
    WALL INFLUENCE ON FLOW :
        Option = No Slip
    END
    END
END
BOUNDARY : periodic1
    Boundary Type = PERIODIC
    Location = periodic1
    Coord Frame = Coord 0
END
BOUNDARY : periodic2
    Boundary Type = PERIODIC
    Location = periodic2
    Coord Frame = Coord 0
END
INITIALISATION :
    Option = Automatic
END
SOLVER CONTROL :
    CONVERGENCE CONTROL :
        Maximum Number of Iterations = 1000
        Timescale Control = Auto Timescale
    END
    CONVERGENCE CRITERIA :
        Residual Type = RMS
        Residual Target = 1.E-10
    END
    ADVECTION SCHEME :
        Option = Upwind
    END
    DYNAMIC MODEL CONTROL :
        Global Dynamic Model Control = Yes
    END
END
COMMAND FILE :
    Version = 5.5
END
+-----+
|          Average Scale Information          |
+-----+

```

Domain Name : Puniform tube  
 Global Length = 8.1669E-03  
 Density = 1.2000E+00

```

Dynamic Viscosity          = 1.8000E-05
Velocity                   = 0.0000E+00
+-----+
|      The Equations Solved in This Calculation      |
+-----+

```

Subsystem Name : Momentum and Mass

U-Mom

V-Mom

W-Mom

P-Mass

CFD Solver started: Thu Aug 7 01:34:38 2003

CFD Solver finished: Thu Aug 7 02:11:06 2003

Execution terminating: maximum number of time-step iterations,  
or maximum time has been reached.

---

Boundary Flow and Total Source Term Summary

---

```

+-----+
|      U-Mom      |
+-----+
Boundary   : inflow           1.8338E-07
Boundary   : outflow          -5.5039E-09
Boundary   : Periodic         5.1369E-19
Boundary   : tubewall         -1.7788E-07
Global U-Mom Balance:        -7.9297E-12
Global Imbalance, in %:     0.0000 %

+-----+
|      V-Mom      |
+-----+
Boundary   : inflow           4.6994E-10
Boundary   : outflow          -5.8538E-10
Boundary   : Periodic         1.7611E-05
Boundary   : tubewall         -1.7611E-05
Global V-Mom Balance:        -7.2760E-12
Global Imbalance, in %:     0.0000 %

+-----+
|      W-Mom      |
+-----+
Boundary   : inflow           2.0517E-11
Boundary   : outflow          -2.5560E-11
Boundary   : Periodic         7.6895E-07
Boundary   : tubewall         -7.6890E-07
Global W-Mom Balance:        3.8654E-11
Global Imbalance, in %:     0.0000 %

+-----+
|      P-Mass      |
+-----+
Boundary   : inflow           7.3538E-08
Boundary   : outflow          -7.3533E-08
Global P-Mass Balance:       4.5972E-12
Global Imbalance, in %:     0.0063 %

```

---



---

Wall Force and Moment Summary

---

Note: Pressure integrals exclude the reference pressure. To include it, set the expert parameter 'include pref in forces = t'.

```

+-----+
|      Pressure Force On Walls      |
+-----+
X-Comp.    Y-Comp.    Z-Comp.
tubewall    0.0000E+00  1.7612E-05  7.6893E-07

```

Viscous Force On Walls					
tubewall	X-Comp.	Y-Comp.	Z-Comp.		
	1.7788E-07	-7.2127E-10	-3.0343E-11		
Pressure Moment On Walls					
tubewall	X-Comp.	Y-Comp.	Z-Comp.		
	-1.1627E-14	-1.2807E-07	2.9333E-06		
Viscous Moment On Walls					
tubewall	X-Comp.	Y-Comp.	Z-Comp.		
	5.7377E-15	3.8598E-11	-8.8592E-10		
Locations of Maximum Residuals					
Equation	Node #	X	Y	Z	
U-Mom	153	5.000E-01	5.000E-04	0.000E+00	
V-Mom	104	1.000E-02	5.000E-04	0.000E+00	
W-Mom	1181	7.000E-02	7.471E-04	6.537E-05	
P-Mass	979	9.000E-02	4.750E-03	0.000E+00	
Peak Values of Residuals					
Equation	Loop #	Peak Residual	Final Residual		
U-Mom	2	1.75172E-02	9.38670E-07		
V-Mom	2	1.30030E-03	1.32501E-07		
W-Mom	2	1.57456E-04	1.00550E-06		
P-Mass	1	6.28939E-05	3.48850E-08		
False Transient Information					
Equation	Type	Elapsed Pseudo-Time			
U-Mom	Auto	3.36503E+01			
V-Mom	Auto	3.36503E+01			
W-Mom	Auto	3.36503E+01			
P-Mass	Auto	3.36503E+01			
Average Scale Information					

Domain Name : Puniform tube

Global Length	=	8.1669E-03
Density	=	1.2000E+00
Dynamic Viscosity	=	1.8000E-05
Velocity	=	8.0797E-02
Advection Time	=	1.0108E-01
Reynolds Number	=	4.3991E+01

Variable Range Information

Domain Name : Puniform tube

Variable Name	min	max
Velocity u	2.68E-04	1.15E-01
Velocity v	-9.04E-03	1.43E-04
Velocity w	-7.88E-04	1.47E-05
Pressure	-1.16E-09	1.65E-01

```

+-----+
| Density | 1.20E+00 | 1.20E+00 |
| Dynamic Viscosity | 1.80E-05 | 1.80E-05 |
+-----+
+-----+
| CPU Requirements of Numerical Solution | 
+-----+


Subsystem Name Discretization Linear Solution
(secs. %total) (secs. %total)
-----
Momentum and Mass 1.26E+03 83.4 % 2.51E+02 16.6 %
-----
Summary 1.26E+03 83.4 % 2.51E+02 16.6 %
+-----+
| Job Information | 
+-----+
Host computer: CFX_LAB
Job finished: Thu Aug 7 02:11:11 2003
Total CPU time: 1.733E+03 seconds
or: ( 0: 0: 28: 52.541 )
( Days: Hours: Minutes: Seconds )


```

End of solution stage.  
This run of the CFX-5 Solver has finished.

#### ๔.4 การไฟล์ผ่านสิ่งกีดขวางแบบไม่อัดตัวที่สภาพะคง

This run of the CFX-5.5.1 Solver started at 16:43:33 on 27 Jul 2003 by user jackie1 on JACKIE (intel\_athlon\_winnt5.1) using the command:

```
C:\CFX\CFX-5.5.1\bin\5.5.1\perllib\cfx5solve.pl -stdout-comms -batch -ccl
```

Using the CFX-5 Solver optimised for the winnt architecture from  
C:\CFX\CFX-5.5.1\bin\5.5.1\winnt\solver-pvm.exe.

Setting up CFX-5 Solver run ...

```

+-----+
| CFX Command Language for Run | 
+-----+


LIBRARY :
MATERIAL : GeneralBump
Option = Pure Substance
PROPERTIES :
Option = General Fluid
Density = 1.2 [kg m^-3]
Dynamic Viscosity = 1.8E-5 [kg m^-1 s^-1]
END
END
EXECUTION CONTROL :
PARTITIONER STEP CONTROL :
Runtime Priority = Standard
PARTITIONING TYPE :
MeTiS Type = k-way
Option = MetIS
END
END
RUN DEFINITION :
Definition File = bump.def
Run Mode = Full
```

```

END
SOLVER STEP CONTROL :
  Runtime Priority = Standard
EXECUTABLE SELECTION :
  Double Precision = Off
  Use 64 Bit = Off
END
PARALLEL ENVIRONMENT :
  Option = Serial
  Parallel Mode = PVM
END
END
FLOW :
  SOLUTION UNITS :
    Mass Units = [kg]
    Length Units = [m]
    Time Units = [s]
    Temperature Units = [K]
    Angle Units = [rad]
    Solid Angle Units = [sr]
END
SIMULATION TYPE :
  Option = Steady State
END
DOMAIN : bump
  Location = bump
  Coord Frame = Coord 0
  Fluids List = GeneralBump
DOMAIN MODELS :
  DOMAIN MOTION :
    Option = Stationary
  END
  BUOYANCY MODEL :
    Option = Non Buoyant
  END
  REFERENCE PRESSURE :
    Reference Pressure = 1.0133E5 [Pa]
  END
FLUID MODELS :
  TURBULENCE MODEL :
    Option = Laminar
  END
  HEAT TRANSFER MODEL :
    Option = None
  END
  THERMAL RADIATION MODEL :
    Option = None
  END
END
BOUNDARY : inlet
  Boundary Type = INLET
  Location = inlet
  Coord Frame = Coord 0
BOUNDARY CONDITIONS :
  FLOW REGIME :
    Option = Subsonic
  END
  MASS AND MOMENTUM :
    Option = Total Pressure
    Relative Pressure = 2.4443E-2 [Pa]
  END
  FLOW DIRECTION :
    Option = Normal to Boundary Condition
  END
END
END

```

```

BOUNDARY : outlet
  Boundary Type = OUTLET
  Location = outlet
  Coord Frame = Coord 0
  BOUNDARY CONDITIONS :
    FLOW REGIME :
      Option = Subsonic
    END
    MASS AND MOMENTUM :
      Option = Average Static Pressure
      Relative Pressure = 0.00 [Pa]
    END
  END
  BOUNDARY : ductwall
  Boundary Type = WALL
  Location = ductwall
  Coord Frame = Coord 0
  BOUNDARY CONDITIONS :
    WALL INFLUENCE ON FLOW :
      Option = No Slip
    END
  END
  BOUNDARY : periodic1
  Boundary Type = PERIODIC
  Location = periodic1
  Coord Frame = Coord 0
END
  BOUNDARY : periodic2
  Boundary Type = PERIODIC
  Location = periodic2
  Coord Frame = Coord 0
END
INITIALISATION :
  Option = Automatic
END
SOLVER CONTROL :
CONVERGENCE CONTROL :
  Maximum Number of Iterations = 1000
  Timescale Control = Auto Timescale
END
CONVERGENCE CRITERIA :
  Residual Type = RMS
  Residual Target = 1.E-10
END
ADVECTION SCHEME :
  Option = Upwind
END
DYNAMIC MODEL CONTROL :
  Global Dynamic Model Control = Yes
END
END
COMMAND FILE :
  Version = 5.5.1
END

```

```

+-----+
|           Solver           |
|                           |
+-----+

```

```
+-----+
|          CFX-5 Solver 5.5.1           |
| Version 2002.05.29-23.00      Wed May 29 23:00:33 2002 |
|                                     |
|                                     |
| Copyright 1996-2002 AEA Technology plc. |
+-----+
```

```
+-----+
|          Job Information           |
+-----+
```

Run mode: serial run

Host computer: JACKIE  
 Job started: Sun Jul 27 16:43:47 2003

```
+-----+
|          Memory Usage Information   |
+-----+
```

Data Type	Kwords	Words/Node	Kbytes	Bytes/Node
Real	2882.9	651.95	11261.4	2607.79
Integer	782.4	176.93	3056.1	707.71
Character	808.6	182.86	789.7	182.86
Logical	10.0	2.26	39.1	9.05
Double	16.0	3.62	125.0	28.95

```
+-----+
|          Total Number of Nodes, Elements, and Faces   |
+-----+
```

Domain Name : bump

Total Number of Nodes	=	4422
Total Number of Elements	=	12583
Total Number of Tetrahedrons	=	12583
Total Number of Faces	=	8468

```
+-----+
|          Average Scale Information   |
+-----+
```

Domain Name : bump

Global Length	= 1.4879E-02
Density	= 1.2000E+00
Dynamic Viscosity	= 1.8000E-05
Velocity	= 0.0000E+00

```
+-----+
|          The Equations Solved in This Calculation   |
+-----+
```

```
+-----+
```

Subsystem Name : Momentum and Mass

U-Mom

V-Mom

W-Mom

P-Mass

CFD Solver started: Sun Jul 27 16:43:51 2003

## 4.5 การไฟลผ่านแผ่นขนาดเนื่องจากแหล่งกำเนิดโมเมนตัมในแนวแกน

This run of the CFX-5.5 Solver started at 6:14:53 on 7 Aug 2003 by user Administrator on CFX\_LAB (intel\_p2\_wint5.0) using the command:

C:\CFX\CFX-5.5\bin\5.5\cfx5solve -stdout-comms -batch -ccl -

Using the CFX-5 Solver optimised for the winnt architecture from C:\CFX\CFX-5.5\bin\5.5\winnt\solver-pvm.exe.

Setting up CFX-5 Solver run ...

```
+-----+
|           Solver           |
+-----+
+-----+
|           CFX-5 Solver 5.5   |
+-----+
| Version 2001.10.11-23.00    Thu Oct 11 23:00:10 2001 |
+-----+
| Copyright 1996-2001 AEA Technology plc. All rights reserved. |
+-----+
+-----+
|           Job Information   |
+-----+
Run mode: serial run
```

Host computer: CFX\_LAB

Job started: Thu Aug 7 06:15:22 2003

```
+-----+
|           Memory Usage Information |
+-----+
```

Data Type	Kwords	Words/Node	Kbytes	Bytes/Node
-----------	--------	------------	--------	------------

Real	1960.9	789.08	7659.7	3156.34
Integer	476.8	191.87	1862.5	767.49
Character	712.9	286.88	696.2	286.88
Logical	10.0	4.02	39.1	16.10
Double	8.0	3.22	62.5	25.75

```
+-----+
|           Total Number of Nodes, Elements, and Faces      |
+-----+
```

Domain Name : MSplane

Total Number of Nodes = 2485

```

Total Number of Elements          =      6998
Total Number of Tetrahedrons     =      6998
Total Number of Faces           =      4968
+-----+
|           Command File        |
+-----+
LIBRARY :
MATERIAL : myair
Option = Pure Substance
PROPERTIES :
    Option = General Fluid
    Density = 1.3427E3 [kg m^-3]
    Dynamic Viscosity = 2.3677E-1 [kg m^-1 s^-1]
END
END
EXECUTION CONTROL :
PARTITIONER STEP CONTROL :
    Runtime Priority = Standard
PARTITIONING TYPE :
    MeTiS Type = k-way
    Option = MetIS
END
RUN DEFINITION :
    Definition File = MSplane.def
    Run Mode = Full
END

SOLVER STEP CONTROL :
    Runtime Priority = Standard
EXECUTABLE SELECTION :
    Double Precision = Off
END
PARALLEL ENVIRONMENT :
    Option = Serial
    Parallel Mode = PVM
END
END
FLOW :
SOLUTION UNITS :
    Mass Units = [kg]
    Length Units = [m]
    Time Units = [s]
    Temperature Units = [K]
    Angle Units = [rad]
    Solid Angle Units = [sr]
END
SIMULATION TYPE :
    Option = Steady State
END
DOMAIN : MSplane
    Location = MSplane
    Coord Frame = Coord 0
    Fluids List = myair
DOMAIN MODELS :
    DOMAIN MOTION :
        Option = Stationary
    END
    BUOYANCY MODEL :
        Option = Non Buoyant
    END
REFERENCE PRESSURE :
    Reference Pressure = 1.0133E5 [Pa]
END

```

```

END
FLUID MODELS :
TURBULENCE MODEL :
  Option = Laminar
END
HEAT TRANSFER MODEL :
  Option = None
END
THERMAL RADIATION MODEL :
  Option = None
END
END
SUBDOMAIN : innerduct
  Location = innerduct
  Coord Frame = Coord 0
END
SUBDOMAIN : pump
  Location = pump
  Coord Frame = Coord 0
SOURCES :
  MOMENTUM SOURCE :
    Momentum Source X Component = 1.E4 [kg m^-2 s^-2]
    Momentum Source Y Component = 0.00 [kg m^-2 s^-2]
    Momentum Source Z Component = 0.00 [kg m^-2 s^-2]
  END
END
END
BOUNDARY : inflow
  Boundary Type = INLET
  Location = inflow
  Coord Frame = Coord 0
  BOUNDARY CONDITIONS :
    FLOW REGIME :
      Option = Subsonic
    END
  MASS AND MOMENTUM :
    Option = Total Pressure
    Relative Pressure = 0.00 [Pa]
  END
  FLOW DIRECTION :
    Option = Normal to Boundary Condition
  END
END
END
BOUNDARY : outflow
  Boundary Type = OUTLET
  Location = outflow
  Coord Frame = Coord 0
  BOUNDARY CONDITIONS :
    FLOW REGIME :
      Option = Subsonic
    END
  MASS AND MOMENTUM :
    Option = Average Static Pressure
    Relative Pressure = 0.00 [Pa]
  END
END
END
END
BOUNDARY : ductwall
  Boundary Type = WALL
  Location = ductwall
  Coord Frame = Coord 0
  BOUNDARY CONDITIONS :
    WALL INFLUENCE ON FLOW :
      Option = No Slip
    END
  END
END
END

```

```

BOUNDARY : innerductwall011
  Boundary Type = WALL
  Location = innerductwall01
  Coord Frame = Coord 0
  BOUNDARY CONDITIONS :
    WALL INFLUENCE ON FLOW :
      Option = No Slip
    END
  END
END
BOUNDARY : innerductwall012
  Boundary Type = WALL
  Location = innerductwall01
  Coord Frame = Coord 0
  BOUNDARY CONDITIONS :
    WALL INFLUENCE ON FLOW :
      Option = No Slip
    END
  END
END
BOUNDARY : innerductwall021
  Boundary Type = WALL
  Location = innerductwall02
  Coord Frame = Coord 0
  BOUNDARY CONDITIONS :
    WALL INFLUENCE ON FLOW :
      Option = No Slip
    END
  END
END
BOUNDARY : innerductwall022
  Boundary Type = WALL
  Location = innerductwall02
  Coord Frame = Coord 0
  BOUNDARY CONDITIONS :
    WALL INFLUENCE ON FLOW :
      Option = No Slip
    END
  END
END
BOUNDARY : symfront
  Boundary Type = SYMMETRY
  Location = symfront
  Coord Frame = Coord 0
END
BOUNDARY : symback
  Boundary Type = SYMMETRY
  Location = symback
  Coord Frame = Coord 0
END
INITIALISATION :
  Option = Automatic
END
END
SOLVER CONTROL :
CONVERGENCE CONTROL :
  Maximum Number of Iterations = 1000
  Timescale Control = Auto Timescale
END
CONVERGENCE CRITERIA :
  Residual Type = RMS
  Residual Target = 1.E-10
END
ADVECTION SCHEME :
  Option = Upwind
END
DYNAMIC MODEL CONTROL :
  Global Dynamic Model Control = Yes

```

```

    END
END
END
COMMAND FILE :
Version = 5.5
END
+-----+
|       Average Scale Information      |
+-----+
Domain Name : MSplane
  Global Length          = 6.2996E-03
  Density                = 1.3427E+03
  Dynamic Viscosity      = 2.3677E-01
  Velocity               = 0.0000E+00
+-----+
|       The Equations Solved in This Calculation   |
+-----+

```

Subsystem Name : Momentum and Mass

U-Mom

V-Mom

W-Mom

P-Mass

CFD Solver started: Thu Aug 7 06:15:26 2003  
 CFD Solver finished: Thu Aug 7 06:48:28 2003

```
=====
Boundary Flow and Total Source Term Summary
=====
```

```
+-----+
|       U-Mom           |
+-----+
Boundary : ductwall          -1.6428E-05
Boundary : inflow            -2.7160E-08
Boundary : innerductwall011   -7.7205E-06
Boundary : innerductwall021   -8.4022E-07
Boundary : outflow           -5.0066E-08
Boundary : innerductwall012   2.2816E-07
Boundary : innerductwall022   -1.6257E-07
Sub-Domain : pump            2.5000E-05
-----+
Global U-Mom Balance:        1.8190E-12
Global Imbalance, in %:      0.0000 %
```

```
+-----+
|       V-Mom           |
+-----+
Boundary : ductwall          -3.7412E-05
Boundary : inflow            -3.9857E-09
Boundary : innerductwall011   3.9245E-05
Boundary : innerductwall021   1.4291E-06
Boundary : outflow           -9.8761E-08
Boundary : innerductwall012   -2.8770E-06
Boundary : innerductwall022   -2.8201E-07
-----+
Global V-Mom Balance:        6.9065E-12
```

Global Imbalance, in %: 0.0000 %

W-Mom		
Boundary : ductwall	2.7280E-08	
Boundary : inflow	2.8021E-09	
Boundary : innerductwall011	-2.4443E-09	
Boundary : innerductwall021	1.0175E-09	
Boundary : outflow	4.1313E-10	
Boundary : symback	-5.7455E-04	
Boundary : symfront	5.7453E-04	
Boundary : innerductwall012	2.0688E-09	
Boundary : innerductwall022	-1.7488E-09	

Global W-Mom Balance: -2.9240E-11

Global Imbalance, in %: 0.0000 %

P-Mass		
Boundary : inflow	1.1777E-05	
Boundary : outflow	-1.1777E-05	

Global P-Mass Balance: -2.7285E-12

Global Imbalance, in %: 0.0000 %

---

#### Wall Force and Moment Summary

---

Note: Pressure integrals exclude the reference pressure. To include it, set the expert parameter 'include pref in forces = t'.

Pressure Force On Walls			
	X-Comp.	Y-Comp.	Z-Comp.
ductwall	6.3132E-13	3.7426E-05	3.5609E-16
innerductwall011	0.0000E+00	-3.8763E-05	0.0000E+00
innerductwall021	0.0000E+00	-1.6946E-06	0.0000E+00
innerductwall012	0.0000E+00	2.9144E-06	0.0000E+00
innerductwall022	0.0000E+00	3.3913E-07	0.0000E+00

Viscous Force On Walls			
	X-Comp.	Y-Comp.	Z-Comp.
ductwall	1.6428E-05	-1.3253E-08	-2.7280E-08
innerductwall011	7.7205E-06	-4.8226E-07	2.4443E-09
innerductwall021	8.4022E-07	2.6549E-07	-1.0175E-09
innerductwall012	-2.2816E-07	-3.7313E-08	-2.0688E-09
innerductwall022	1.6257E-07	-5.7121E-08	1.7488E-09

Pressure Moment On Walls			
	X-Comp.	Y-Comp.	Z-Comp.
ductwall	-9.3551E-09	1.3673E-16	1.2721E-06
innerductwall011	9.6909E-09	0.0000E+00	-1.3157E-06

innerductwall021	4.2051E-10	0.0000E+00	-6.8330E-08
innerductwall012	-7.2861E-10	0.0000E+00	9.2502E-08
innerductwall022	-8.4343E-11	0.0000E+00	1.3749E-08

Viscous Moment On Walls			
	X-Comp.	Y-Comp.	Z-Comp.
ductwall	-4.1166E-11	4.8183E-09	-1.4099E-08
innerductwall011	1.3246E-10	1.8698E-09	-5.0852E-08
innerductwall021	-7.1549E-11	2.5605E-10	6.6032E-09
innerductwall012	-1.1085E-12	1.2207E-11	-5.3712E-10
innerductwall022	2.2463E-11	-3.0292E-11	-3.1214E-09

Locations of Maximum Residuals					
Equation	Node #	X	Y	Z	
U-Mom	96	4.000E-02	1.875E-03	0.000E+00	
V-Mom	286	3.750E-02	7.690E-04	5.000E-04	
W-Mom	2407	3.236E-02	6.794E-04	3.221E-04	
P-Mass	90	3.953E-02	7.596E-11	5.000E-04	

Peak Values of Residuals			
Equation	Loop #	Peak Residual	Final Residual
U-Mom	1	5.11329E-04	3.13453E-10
V-Mom	2	5.12196E-05	1.61526E-10
W-Mom	2	1.23111E-05	2.37204E-11
P-Mass	2	1.77214E-03	2.55305E-09

False Transient Information		
Equation	Type	Elapsed Pseudo-Time
U-Mom	Auto	3.28797E+01
V-Mom	Auto	3.28797E+01
W-Mom	Auto	3.28797E+01
P-Mass	Auto	3.28797E+01

Average Scale Information		
---------------------------	--	--

Domain Name : MSplane

Global Length	= 6.2996E-03
Density	= 1.3427E+03
Dynamic Viscosity	= 2.3677E-01
Velocity	= 2.2268E-03
Advection Time	= 2.8290E+00
Reynolds Number	= 7.9551E-02

Variable Range Information		
----------------------------	--	--

```

Domain Name : MSplane
+-----+
| Variable Name | min | max |
+-----+
| Velocity u | -5.24E-04 | 6.58E-03 |
| Velocity v | -2.06E-03 | 2.07E-03 |
| Velocity w | -3.94E-05 | 3.31E-05 |
| Pressure | -8.20E+00 | 1.28E+00 |
| Density | 1.34E+03 | 1.34E+03 |
| Dynamic Viscosity | 2.37E-01 | 2.37E-01 |
+-----+

+-----+
| CPU Requirements of Numerical Solution | 
+-----+


Subsystem Name Discretization Linear Solution
(secs. %total) (secs. %total)
-----
Momentum and Mass 1.39E+03 85.5 % 2.37E+02 14.5 %
-----
Summary 1.39E+03 85.5 % 2.37E+02 14.5 %

```

```

+-----+
| Job Information | 
+-----+

```

Host computer: CFX\_LAB  
 Job finished: Thu Aug 7 06:48:34 2003  
 Total CPU time: 1.820E+03 seconds  
 or: ( 0: 0: 30: 20.087 )  
 ( Days: Hours: Minutes: Seconds )

End of solution stage.

## 4.6 การไฟล์ในท่อเนื่องจากการให้แหล่งกำเนิดโภmenตัมในแนวแกน

This run of the CFX-5.5 Solver started at 8:25:56 on 7 Aug 2003 by user Administrator on CFX\_LAB (intel\_p2\_winnt5.0) using the command:

C:\CFX\CFX-5.5\bin\5.5\cfx5solve -stdout-comms -batch -ccl -

Using the CFX-5 Solver optimised for the winnt architecture from C:\CFX\CFX-5.5\bin\5.5\winnt\solver-pvm.exe.

Setting up CFX-5 Solver run ...

```

+-----+
|           Solver           | 
+-----+
+-----+
|           CFX-5 Solver 5.5           | 
+-----+
| Version 2001.10.11-23.00      Thu Oct 11 23:00:10 2001 | 
+-----+
| Copyright 1996-2001 AEA Technology plc. All rights reserved. | 
+-----+

```

```

+-----+
|          Job Information          |
+-----+

Run mode:    serial run

Host computer: CFX_LAB
Job started:  Thu Aug  7 08:26:24 2003

+-----+
|          Memory Usage Information   |
+-----+

Data Type      Kwords  Words/Node   Kbytes  Bytes/Node
Real           2392.3   563.02     9344.8   2252.07
Integer        783.4    184.37     3060.1   737.48
Character      688.7    162.09     672.6    162.09
Logical         10.0     2.35       39.1     9.41
Double          8.0      1.88       62.5    15.06

+-----+
|          Total Number of Nodes, Elements, and Faces   |
+-----+

Domain Name : MStube

Total Number of Nodes          =      4249
Total Number of Elements       =      19547
Total Number of Tetrahedrons   =      19547

Total Number of Faces          =      3520

+-----+
|          Command File          |
+-----+

LIBRARY :
MATERIAL : myair
Option = Pure Substance
PROPERTIES :
  Option = General Fluid
  Density = 1.3427E3 [kg m^-3]
  Dynamic Viscosity = 2.3677E-1 [kg m^-1 s^-1]
END
END
EXECUTION CONTROL :
PARTITIONER STEP CONTROL :
  Runtime Priority = Standard
PARTITIONING TYPE :
  MeTiS Type = k-way
  Option = MeTiS
END
END
RUN DEFINITION :
  Definition File = MStube.def
  Run Mode = Full
END
SOLVER STEP CONTROL :
  Runtime Priority = Standard
EXECUTABLE SELECTION :
  Double Precision = Off
END

```

```

PARALLEL ENVIRONMENT :
  Option = Serial
  Parallel Mode = PVM
END
END
FLOW :
  SOLUTION UNITS :
    Mass Units = [kg]
    Length Units = [m]
    Time Units = [s]
    Temperature Units = [K]
    Angle Units = [rad]
    Solid Angle Units = [sr]
END
SIMULATION TYPE :
  Option = Steady State
END
DOMAIN : MStube
  Location = MStube
  Coord Frame = Coord 0
  Fluids List = myair
DOMAIN MODELS :
  DOMAIN MOTION :
    Option = Stationary
  END
  BUOYANCY MODEL :
    Option = Non Buoyant
  END
  REFERENCE PRESSURE :
    Reference Pressure = 1.0133E5 [Pa]
  END
FLUID MODELS :
  TURBULENCE MODEL :
    Option = Laminar
  END
  HEAT TRANSFER MODEL :
    Option = None
  END
  THERMAL RADIATION MODEL :
    Option = None
  END
END
SUBDOMAIN : pump
  Location = pump
  Coord Frame = Coord 0
SOURCES :
  MOMENTUM SOURCE :
    Momentum Source X Component = 1.E4 [kg m^-2 s^-2]
    Momentum Source Y Component = 0.00 [kg m^-2 s^-2]
    Momentum Source Z Component = 0.00 [kg m^-2 s^-2]
  END
  END
BOUNDARY : inflow
  Boundary Type = INLET
  Location = inflow
  Coord Frame = Coord 0
BOUNDARY CONDITIONS :
  FLOW REGIME :
    Option = Subsonic
  END
  MASS AND MOMENTUM :
    Option = Total Pressure
    Relative Pressure = 0.00 [Pa]
  END
  FLOW DIRECTION :

```

```

        Option = Normal to Boundary Condition
    END
END
BOUNDARY : outlet
    Boundary Type = OUTLET
    Location = outlet
    Coord Frame = Coord 0
BOUNDARY CONDITIONS :
    FLOW REGIME :
        Option = Subsonic
    END
    MASS AND MOMENTUM :
        Option = Average Static Pressure
        Relative Pressure = 0.00 [Pa]
    END
    END
    BOUNDARY : tubewall
        Boundary Type = WALL
        Location = tubewall
        Coord Frame = Coord 0
    BOUNDARY CONDITIONS :
        WALL INFLUENCE ON FLOW :
            Option = No Slip
        END
    END
    BOUNDARY : periodic1
        Boundary Type = PERIODIC
        Location = periodic1
        Coord Frame = Coord 0
    END
    BOUNDARY : periodic2
        Boundary Type = PERIODIC
        Location = periodic2
        Coord Frame = Coord 0
    END
INITIALISATION :
    Option = Automatic
END
SOLVER CONTROL :
CONVERGENCE CONTROL :
    Maximum Number of Iterations = 1000
    Timescale Control = Auto Timescale
END

CONVERGENCE CRITERIA :
    Residual Type = RMS
    Residual Target = 1.E-10
END
ADVECTION SCHEME :
    Option = Upwind
END
DYNAMIC MODEL CONTROL :
    Global Dynamic Model Control = Yes
END
END
COMMAND FILE :
    Version = 5.5
END
+-----+
|          Average Scale Information      |
+-----+

```

Domain Name : MStube

Global Length	= 9.8559E-03
Density	= 1.3427E+03
Dynamic Viscosity	= 2.3677E-01
Velocity	= 0.0000E+00

+-----+  
|      The Equations Solved in This Calculation      |  
+-----+

Subsystem Name : Momentum and Mass

U-Mom

V-Mom

W-Mom

P-Mass

CFD Solver started: Thu Aug 7 08:26:29 2003

CFD Solver finished: Thu Aug 7 08:51:14 2003

=====  
Boundary Flow and Total Source Term Summary  
=====

+-----+		+-----+
U-Mom		
+-----+		+-----+
Boundary : inflow	-5.0098E-07	
Boundary : outlet	-5.8037E-07	
Boundary : Periodic	1.5313E-11	
Boundary : tubewall	-9.4646E-05	
Sub-Domain : pump	9.5727E-05	
+-----+		+-----+
Global U-Mom Balance:	2.1828E-11	
Global Imbalance, in %:	0.0000 %	

+-----+		+-----+
V-Mom		
+-----+		+-----+
Boundary : inflow	2.8847E-06	
Boundary : outlet	-2.9393E-06	
Boundary : Periodic	-2.5668E-06	
Boundary : tubewall	2.6349E-06	
+-----+		+-----+
Global V-Mom Balance:	1.3552E-08	
Global Imbalance, in %:	0.0142 %	

+-----+		+-----+
W-Mom		
+-----+		+-----+
Boundary : inflow	2.8854E-06	
Boundary : outlet	-2.9359E-06	
Boundary : Periodic	-2.5445E-06	
Boundary : tubewall	2.6103E-06	
+-----+		+-----+
Global W-Mom Balance:	1.5373E-08	
Global Imbalance, in %:	0.0161 %	

```

+-----+
|          P-Mass          |
+-----+
Boundary   : inflow           5.0559E-05
Boundary   : outlet          -5.0559E-05
-----+
Global P-Mass Balance:      -2.1828E-11
Global Imbalance, in %:     0.0000 %

=====
Wall Force and Moment Summary
=====

Note: Pressure integrals exclude the reference pressure. To include
it, set the expert parameter 'include pref in forces = t'.

+-----+
|          Pressure Force On Walls          |
+-----+
tubewall      X-Comp.    Y-Comp.    Z-Comp.
              -2.1713E-08 -2.4376E-06 -2.4631E-06

+-----+
|          Viscous Force On Walls          |
+-----+
tubewall      X-Comp.    Y-Comp.    Z-Comp.
              9.4668E-05 -1.9731E-07 -1.4721E-07

+-----+
|          Pressure Moment On Walls        |
+-----+
tubewall      X-Comp.    Y-Comp.    Z-Comp.
              -4.2711E-11 -3.5314E-06  3.5322E-06

+-----+
|          Viscous Moment On Walls         |
+-----+
tubewall      X-Comp.    Y-Comp.    Z-Comp.
              1.0641E-10  2.7863E-07 -2.8150E-07

+-----+
|          Locations of Maximum Residuals |
+-----+
| Equation | Node # |   X   |   Y   |   Z   |
+-----+
| U-Mom   | 2769 | 2.583E-02 | 6.159E-04 | 7.408E-04 |
| V-Mom   | 2449 | 2.139E-02 | 4.260E-03 | 9.906E-04 |
| W-Mom   | 365  | 1.952E-02 | 3.334E-03 |-1.250E-10 |
| P-Mass  | 1208 | -3.402E-10 | 5.373E-04 | 3.192E-04 |
+-----+

+-----+
|          Peak Values of Residuals       |
+-----+
| Equation | Loop # | Peak Residual | Final Residual |
+-----+
| U-Mom   | 1     | 9.20130E-04 | 4.91599E-10 |
| V-Mom   | 2     | 1.01315E-04 | 2.91045E-10 |
| W-Mom   | 2     | 1.04294E-04 | 2.84336E-10 |
| P-Mass  | 2     | 3.93595E-03 | 5.35510E-09 |
+-----+

```

```

+-----+
+-----+
|           False Transient Information      |
+-----+
|   Equation    |   Type    |   Elapsed Pseudo-Time  |
+-----+
| U-Mom       | Auto     | 2.92508E+01          |
| V-Mom       | Auto     | 2.92508E+01          |
| W-Mom       | Auto     | 2.92508E+01          |
| P-Mass      | Auto     | 2.92508E+01          |
+-----+
+-----+
|           Average Scale Information        |
+-----+
Domain Name : MStube
  Global Length          = 9.8559E-03
  Density                = 1.3427E+03
  Dynamic Viscosity      = 2.3677E-01
  Velocity               = 2.6093E-03
  Advection Time         = 3.7772E+00
  Reynolds Number         = 1.4584E-01
+-----+
|           Variable Range Information       |
+-----+
Domain Name : MStube
+-----+
|   Variable Name          |   min    |   max    |
+-----+
| Velocity u              | -2.56E-03 | 1.06E-02 |
| Velocity v              | -2.04E-03 | 2.03E-03 |
| Velocity w              | -2.04E-03 | 2.03E-03 |
| Pressure                | -4.37E+00 | 4.35E+00 |
| Density                 | 1.34E+03  | 1.34E+03 |
| Dynamic Viscosity        | 2.37E-01  | 2.37E-01 |
+-----+
+-----+
|           CPU Requirements of Numerical Solution |
+-----+
Subsystem Name      Discretization    Linear Solution
                   (secs. %total)  (secs. %total)
----- -----
Momentum and Mass  1.12E+03 83.5 %  2.21E+02 16.5 %
----- -----
Summary            1.12E+03 83.5 %  2.21E+02 16.5 %

+-----+
|           Job Information             |
+-----+
Host computer: CFX_LAB
Job finished: Thu Aug 7 08:51:19 2003
Total CPU time: 1.433E+03 seconds
  or: ( 0: 0: 23: 52.600 )
  ( Days: Hours: Minutes: Seconds )

End of solution stage.

```

## ๔.7 การไฟล์ในถังตอกผลึก

เนื่องจากการไฟล์มีทั้งหมด 7 กรณี แต่ละกรณีมีความแตกต่างกันที่ค่าแหล่งกำเนิดไม่เหมือนกันที่กำหนดในโปรแกรมเท่านั้น การแสดง code จึงแสดงเพียงกรณีเดียว

This run of the CFX-5.5.1 Solver started at 17:36:38 on 7 Jul 2003 by user Jackie1 on JACKIE (intel\_athlon\_winnt5.1) using the command:

```
C:\CFX\CFX-5.5.1\bin\5.5.1\perllib\cfx5solve.pl -stdout-comms -batch -ccl
-Using the CFX-5 Solver optimised for the winnt architecture from
C:\CFX\CFX-5.5.1\bin\5.5.1\winnt\solver-pvm.exe.
```

Setting up CFX-5 Solver run ...

```
+-----+
|           CFX Command Language for Run           |
+-----+
LIBRARY :
MATERIAL : sugar
Option = Pure Substance
PROPERTIES :
    Option = General Fluid
    Density = 1.3427E3 [kg m^-3]
    Dynamic Viscosity = 2.3677E-1 [kg m^-1 s^-1]
END
END
EXECUTION CONTROL :
PARTITIONER STEP CONTROL :
    Runtime Priority = Standard
PARTITIONING TYPE :
    MeTiS Type = k-way
    Option = MeTiS
END
END
RUN DEFINITION :
Definition File = d:/cfxwork/crystallizer/halfmodel/halfmodel.def
Initial Values File = d:/cfxwork/crystallizer/halfmodel/halfmodel_025.r\
es
    Run Mode = Full
END
SOLVER STEP CONTROL :
    Runtime Priority = Standard
EXECUTABLE SELECTION :
    Double Precision = Off
    Use 64 Bit = Off
END
PARALLEL ENVIRONMENT :
    Option = Serial
    Parallel Mode = PVM
END
END
FLOW :
SOLUTION UNITS :
    Mass Units = [kg]
    Length Units = [m]
    Time Units = [s]
    Temperature Units = [K]
    Angle Units = [rad]
    Solid Angle Units = [sr]
END
SIMULATION TYPE :
    Option = Steady State
END
```

```

DOMAIN : halfmodel
  Location = halfmodel
  Coord Frame = Coord 0
  Fluids List = sugar
  DOMAIN MODELS :
    DOMAIN MOTION :
      Option = Stationary
    END
    BUOYANCY MODEL :
      Option = Non Buoyant
    END
    REFERENCE PRESSURE :
      Reference Pressure = 1.0133E5 [Pa]
    END
  END
  FLUID MODELS :
    TURBULENCE MODEL :
      Option = Laminar
    END
    HEAT TRANSFER MODEL :
      Option = None
    END
    THERMAL RADIATION MODEL :
      Option = None
    END
  END
  SUBDOMAIN : draft
    Location = draft
    Coord Frame = Coord 0
  END
  SUBDOMAIN : baffle
    Location = baffle
    Coord Frame = Coord 0
  END
  SUBDOMAIN : outtube
    Location = outtube
    Coord Frame = Coord 0
  END
  SUBDOMAIN : impeller
    Location = impeller
    Coord Frame = Coord 0
  SOURCES :
    MOMENTUM SOURCE :
      Momentum Source X Component = 0.00 [kg m^-2 s^-2]
      Momentum Source Y Component = -50000 [kg m^-2 s^-2]
      Momentum Source Z Component = 0.00 [kg m^-2 s^-2]
    END
  END
  SUBDOMAIN : intube
    Location = intube
    Coord Frame = Coord 0
  END
  BOUNDARY : inflow
    Boundary Type = INLET
    Location = inflow
    Coord Frame = Coord 0
  BOUNDARY CONDITIONS :
    FLOW REGIME :
      Option = Subsonic
    END
    MASS AND MOMENTUM :
      Option = Mass Flow Rate
      Mass Flow Rate = 4.6712E-4 [kg s^-1]
    END
    FLOW DIRECTION :
      Option = Normal to Boundary Condition
    END

```

```

    END
END
BOUNDARY : outflow
  Boundary Type = OUTLET
  Location = outflow
  Coord Frame = Coord 0
  BOUNDARY CONDITIONS :
    FLOW REGIME :
      Option = Subsonic
    END
  MASS AND MOMENTUM :
    Option = Static Pressure
    Relative Pressure = 0.00 [Pa]
  END
END
END
BOUNDARY : draftwall011
  Boundary Type = WALL
  Location = draftwall011
  Coord Frame = Coord 0
  BOUNDARY CONDITIONS :
    WALL INFLUENCE ON FLOW :
      Option = No Slip

  END
END
END
BOUNDARY : draftwall012
  Boundary Type = WALL
  Location = draftwall012
  Coord Frame = Coord 0
  BOUNDARY CONDITIONS :
    WALL INFLUENCE ON FLOW :
      Option = No Slip
  END

  END
END
BOUNDARY : draftwall021
  Boundary Type = WALL
  Location = draftwall021
  Coord Frame = Coord 0
  BOUNDARY CONDITIONS :
    WALL INFLUENCE ON FLOW :
      Option = No Slip
  END
END
END
BOUNDARY : draftwall022
  Boundary Type = WALL
  Location = draftwall022
  Coord Frame = Coord 0
  BOUNDARY CONDITIONS :
    WALL INFLUENCE ON FLOW :
      Option = No Slip
  END
END
END
END
BOUNDARY : inwall011
  Boundary Type = WALL
  Location = inwall011
  Coord Frame = Coord 0
  BOUNDARY CONDITIONS :
    WALL INFLUENCE ON FLOW :
      Option = No Slip
  END
END
END
END

```

```

BOUNDARY : inwall012
  Boundary Type = WALL
  Location = inwall012
  Coord Frame = Coord 0
  BOUNDARY CONDITIONS :
    WALL INFLUENCE ON FLOW :
      Option = No Slip
    END
  END
END
BOUNDARY : inwall021
  Boundary Type = WALL
  Location = inwall021
  Coord Frame = Coord 0
  BOUNDARY CONDITIONS :
    WALL INFLUENCE ON FLOW :
      Option = No Slip
    END
  END
END
BOUNDARY : inwall022
  Boundary Type = WALL
  Location = inwall022
  Coord Frame = Coord 0
  BOUNDARY CONDITIONS :
    WALL INFLUENCE ON FLOW :
      Option = No Slip
    END
  END
END
BOUNDARY : outwall1
  Boundary Type = WALL
  Location = outwall1
  Coord Frame = Coord 0
  BOUNDARY CONDITIONS :
    WALL INFLUENCE ON FLOW :
      Option = No Slip
    END
  END
END
BOUNDARY : outwall2
  Boundary Type = WALL
  Location = outwall2
  Coord Frame = Coord 0
  BOUNDARY CONDITIONS :
    WALL INFLUENCE ON FLOW :
      Option = No Slip
    END
  END
END
BOUNDARY : baffle1
  Boundary Type = WALL
  Location = baffle1
  Coord Frame = Coord 0
  BOUNDARY CONDITIONS :
    WALL INFLUENCE ON FLOW :
      Option = No Slip
    END
  END
END
BOUNDARY : baffle2
  Boundary Type = WALL
  Location = baffle2
  Coord Frame = Coord 0
  BOUNDARY CONDITIONS :
    WALL INFLUENCE ON FLOW :
      Option = No Slip
    END
  END
END

```

```

END
END
BOUNDARY : sym
  Boundary Type = SYMMETRY
  Location = sym
  Coord Frame = Coord 0
END
BOUNDARY : Default
  Boundary Type = WALL
  Location = Default
  Coord Frame = Coord 0
BOUNDARY CONDITIONS :
  WALL INFLUENCE ON FLOW :
    Option = No Slip
  END
END
INITIALISATION :
  Option = Automatic
END
END
SOLVER CONTROL :
CONVERGENCE CONTROL :
  Maximum Number of Iterations = 100
  Timescale Control = Auto Timescale
END
CONVERGENCE CRITERIA :
  Residual Type = RMS
  Residual Target = 1.E-10
END
ADVECTION SCHEME :
  Option = Upwind
END
DYNAMIC MODEL CONTROL :
  Global Dynamic Model Control = Yes
END
END
COMMAND FILE :
  Version = 5.5.1
END

```

Solver

```
+-----+
|                               CFX-5 Solver 5.5.1
|-----+
| Version 2002.05.29-23.00      Wed May 29 23:00:33 2002 |
|-----+
| Copyright 1996-2002 AEA Technology plc.
+-----+
```

```

+-----+
|           Job Information          |
+-----+

Run mode:    serial run

Host computer: JACKIE
Job started:  Mon Jul  7 17:37:21 2003

+-----+
|           Memory Usage Information |
+-----+

Data Type      Kwords  Words/Node   Kbytes  Bytes/Node
Real           25760.8   349.37    100628.1   1397.48
Integer        11914.4   161.58    46540.6    646.34
Character       890.3    12.07     869.4     12.07
Logical         10.0     0.14     39.1      0.54
Double          16.0     0.22     125.0     1.74

+-----+
|           Total Number of Nodes, Elements, and Faces |
+-----+

Domain Name : halfmodel

Total Number of Nodes             =    73735
Total Number of Elements          =  376481
Total Number of Tetrahedrons      =  376481
Total Number of Faces             =    40716

+-----+
|           Initial Conditions Supplied by Fields in the Input Files |
+-----+

Domain Name : halfmodel
Pressure
Pressure.Gradient
Shear Strain Rate
Total Pressure
Velocity

+-----+
|           Average Scale Information          |
+-----+

Domain Name : halfmodel
Global Length                  = 9.7038E-02
Density                        = 1.3427E+03
Dynamic Viscosity              = 2.3677E-01
Velocity                       = 2.8414E-02
Advection Time                 = 3.4152E+00
Reynolds Number                = 1.5636E+01

+-----+
|           The Equations Solved in This Calculation          |
+-----+

Subsystem Name : Momentum and Mass

```

U-Mom

V-Mom

W-Mom

P-Mass

CFD Solver started: Mon Jul 7 17:37:29 2003  
 CFD Solver finished: Mon Jul 7 19:13:25 2003

Execution terminating: maximum number of time-step iterations,  
 or maximum time has been reached.

```
=====
Boundary Flow and Total Source Term Summary
=====
```

U-Mom		
Boundary	: baffle1	1.2295E-03
Boundary	: draftwall011	2.2233E-03
Boundary	: draftwall021	5.4820E-05
Boundary	: inflow	3.0889E-06
Boundary	: inwall011	5.4429E-05
Boundary	: inwall021	4.1167E-04
Boundary	: outflow	-2.0465E-07
Boundary	: outwall1	1.0160E-03
Boundary	: sym	-2.9413E-07
Boundary	: Default	-3.9056E-03
Boundary	: draftwall012	-9.9255E-04
Boundary	: draftwall022	-1.4029E-05
Boundary	: inwall012	3.4362E-06
Boundary	: inwall022	-3.0552E-06
Boundary	: outwall2	6.8126E-06
Boundary	: baffle2	-8.7440E-05
-----		
Global Balance :	-8.7100E-08	
Global Imbalance, in %: 0.0000 %		

V-Mom		
Boundary	: baffle1	-4.6596E-03
Boundary	: draftwall011	-6.9397E-03
Boundary	: draftwall021	6.5068E-05
Boundary	: inflow	-1.0329E-02
Boundary	: inwall011	4.8499E-03
Boundary	: inwall021	1.0193E-03
Boundary	: outflow	-2.5701E-05
Boundary	: outwall1	-1.4851E-03
Boundary	: sym	1.7902E-08
Boundary	: Default	9.2094E-02
Boundary	: draftwall012	2.2858E-02
Boundary	: draftwall022	4.9161E-04
Boundary	: inwall012	3.4096E-03
Boundary	: inwall022	2.1762E-03
Boundary	: outwall2	-5.4912E-03
Boundary	: baffle2	-4.6841E-03
Sub-Domain	: impeller	-9.3349E-02
-----		
Global Balance :	5.2154E-07	

Global Imbalance, in %: 0.0000 %

	W-Mom	
Boundary : baffle1	1.2863E+00	
Boundary : draftwall011	-1.8441E+00	
Boundary : draftwall021	-2.6562E-02	
Boundary : inflow	-4.9548E-05	
Boundary : inwall011	-9.9345E-02	
Boundary : inwall021	-6.6061E-02	
Boundary : outflow	4.2976E-05	
Boundary : outwall1	-1.7364E-01	
Boundary : sym	-6.6244E+00	
Boundary : Default	6.7921E+00	
Boundary : draftwall012	1.6887E+00	
Boundary : draftwall022	2.5776E-02	
Boundary : inwall012	1.2680E-01	
Boundary : inwall022	1.1387E-01	
Boundary : outwall2	8.7846E-02	
Boundary : baffle2	-1.2873E+00	

Global Balance : 2.0266E-06

Global Imbalance, in %: 0.0000 %

	P-Mass	
Boundary : inflow	4.6712E-04	
Boundary : outflow	-4.6707E-04	

Global Balance : 5.4832E-08

Global Imbalance, in %: 0.0117 %

---

#### Wall Force and Moment Summary

---

Note: Pressure integrals exclude the reference pressure. To include it, set the expert parameter 'include pref in forces = t'.

	Pressure Force On Walls			
	X-Comp.	Y-Comp.	Z-Comp.	
baffle1	-1.1272E-03	1.5370E-08	-1.2867E+00	
draftwall011	-1.9686E-03	-2.6586E-03	1.8414E+00	
draftwall021	-4.8741E-05	2.7003E-05	2.6530E-02	
inwall011	-3.0126E-06	-4.6799E-07	9.9302E-02	
inwall021	-1.9404E-04	-1.7073E-06	6.6031E-02	
outwall1	-5.0330E-04	1.8375E-07	1.7356E-01	
Default	3.8898E-03	-1.2390E-01	-6.7867E+00	
draftwall012	1.8296E-03	2.5251E-03	-1.6912E+00	
draftwall022	4.0935E-05	-2.6518E-05	-2.5747E-02	
inwall012	3.4431E-06	6.8453E-07	-1.2678E-01	
inwall022	4.0594E-06	9.3028E-06	-1.1392E-01	
outwall2	-2.9104E-07	-6.1646E-06	-8.7868E-02	
baffle2	1.7869E-04	-1.5348E-08	1.2863E+00	

+-----+

Viscous Force On Walls			
	X-Comp.	Y-Comp.	Z-Comp.
baffle1	-1.0220E-04	4.6596E-03	4.9541E-04
draftwall011	-2.5473E-04	9.5983E-03	2.6204E-03
draftwall021	-6.0796E-06	-9.2071E-05	3.1933E-05
inwall011	-5.1420E-05	-4.8494E-03	4.3677E-05
inwall021	-2.1763E-04	-1.0176E-03	3.0634E-05
outwall1	-5.1265E-04	1.4849E-03	7.3270E-05
Default	1.5756E-05	3.1803E-02	-5.3383E-03
draftwall012	-8.3720E-04	-2.5383E-02	2.4885E-03
draftwall022	-2.6906E-05	-4.6509E-04	-2.9712E-05
inwall012	-6.8925E-06	-3.4103E-03	-2.6764E-05
inwall022	-9.9353E-07	-2.1856E-03	5.1280E-05
outwall2	-6.5248E-06	5.4974E-03	2.1524E-05
baffle2	-9.1713E-05	4.6841E-03	1.0290E-03

Pressure Moment On Walls			
	X-Comp.	Y-Comp.	Z-Comp.
baffle1	-6.4085E-02	9.0986E-05	4.6562E-05
draftwall011	6.6945E-02	-1.8159E-07	9.8299E-05
draftwall021	4.0040E-05	-9.4588E-09	9.7630E-07
inwall011	4.7900E-03	-8.9372E-04	-4.7366E-09
inwall021	5.6482E-03	-5.9428E-04	1.6388E-05
outwall1	1.0828E-02	-8.4179E-03	3.8833E-05
Default	-2.4536E-01	-5.9571E-05	-4.2906E-04
draftwall012	-6.2037E-02	2.2176E-07	-1.1982E-04
draftwall022	-3.8686E-05	-5.1381E-08	-9.4452E-07
inwall012	-6.3393E-03	1.1410E-03	-7.4244E-08
inwall022	-9.8050E-03	1.0253E-03	-3.1776E-07
outwall2	-4.3957E-03	4.2616E-03	-3.1934E-07
baffle2	6.4074E-02	-1.2983E-05	-8.3409E-06

Viscous Moment On Walls			
	X-Comp.	Y-Comp.	Z-Comp.
baffle1	2.0293E-04	8.5835E-06	2.1671E-06
draftwall011	3.3557E-04	1.8561E-05	4.0177E-06
draftwall021	-1.3605E-06	5.0121E-07	3.9422E-07
inwall011	-8.3225E-06	-2.0227E-07	-4.0134E-05
inwall021	6.0071E-07	4.4871E-07	9.0005E-06
outwall1	1.1409E-05	-1.8492E-06	1.1128E-04
Default	1.9925E-03	1.6190E-05	-6.4487E-05
draftwall012	-4.0270E-04	2.1654E-05	3.8903E-05
draftwall022	-8.7107E-06	1.6337E-07	1.5511E-06
inwall012	-7.1644E-06	2.5158E-07	-3.0511E-05
inwall022	9.3747E-07	-4.5888E-07	-1.9577E-05
outwall2	1.0940E-05	-1.0350E-06	2.6683E-04
baffle2	2.6448E-04	8.2787E-06	2.3294E-06

Locations of Maximum Residuals			
Equation	Node #	X	Y
U-Mom	70262	5.112E-02	2.466E-02
V-Mom	7991	5.017E-02	1.000E-01
W-Mom	17147	2.872E-02	-2.518E-02
P-Mass	42583	4.923E-02	9.634E-02

Peak Values of Residuals			
Equation	Loop #	Peak Residual	Final Residual
U-Mom	2	2.55650E-04	7.73714E-08
V-Mom	1	2.31765E-03	2.09388E-07
W-Mom	2	2.45396E-04	8.80229E-08
P-Mass	2	1.20873E-04	2.37551E-08

False Transient Information		
Equation	Type	Elapsed Pseudo-Time
U-Mom	Auto	1.05761E+02
V-Mom	Auto	1.05761E+02
W-Mom	Auto	1.05761E+02
P-Mass	Auto	1.05761E+02

Average Scale Information	
Global Length	= 9.7038E-02

Domain Name : halfmodel

Density	= 1.3427E+03
Dynamic Viscosity	= 2.3677E-01
Velocity	= 4.1368E-02
Advection Time	= 2.3457E+00
Reynolds Number	= 2.2764E+01

Variable Range Information		
Variable Name	min	max
Velocity u	-7.21E-02	7.00E-02
Velocity v	-1.60E-01	5.52E-02
Velocity w	-6.85E-02	7.10E-02
Pressure	3.55E-01	7.54E+02
Density	1.34E+03	1.34E+03
Dynamic Viscosity	2.37E-01	2.37E-01

CPU Requirements of Numerical Solution		
Subsystem Name	Discretization (secs. %total)	Linear Solution (secs. %total)
Momentum and Mass	4.45E+03 80.9 %	1.05E+03 19.1 %
Summary	4.45E+03 80.9 %	1.05E+03 19.1 %

Job Information
-----------------

Host computer: JACKIE  
Job finished: Mon Jul 7 19:13:39 2003  
Total CPU time: 5.679E+03 seconds  
or: ( 0: 1: 34: 38.515 )  
( Days: Hours: Minutes: Seconds )

End of solution stage.

This run of the CFX-5 Solver has finished.

## ประวัติผู้เขียน

นางสาวจารุวรรณ ตั้งตันสกุลวงศ์ เกิดเมื่อวันที่ 26 กุมภาพันธ์ พุทธศักราช 2519 สำเร็จการศึกษาวิศวกรรมศาสตรบัณฑิต(วิศวกรรมเครื่องกล) จากมหาวิทยาลัยเทคโนโลยีสุรนารี จังหวัดนครราชสีมา เมื่อปีพุทธศักราช 2542 ภายหลังสำเร็จการศึกษาได้เข้าทำงานในตำแหน่งผู้ช่วยสอน และช่วยวิจัย สังกัดสาขาวิชาวิศวกรรมเครื่องกล สำนักวิชาวิศวกรรมศาสตร์ มหาวิทยาลัยเทคโนโลยีสุรนารี จากประสบการณ์การทำงานที่เกี่ยวข้องกับการศึกษาในหลาย ๆ ด้าน ทำให้เกิดแรงจูงใจที่จะศึกษาต่อในระดับบัณฑิตศึกษาเพื่อเป็นการพัฒนาความรู้ความสามารถให้กับตนเอง จึงได้เข้าศึกษาต่อในสาขาวิชาวิศวกรรมเครื่องกล สำนักวิชาวิศวกรรมศาสตร์ มหาวิทยาลัยเทคโนโลยีสุรนารี ในปีพุทธศักราช 2544